

GM 46948

CAMPAGNE DE FORAGE, PROPRIETE DESJARDINS

Documents complémentaires

Additional Files



Licence



Licence

Cette première page a été ajoutée
au document et ne fait pas partie du
rapport tel que soumis par les auteurs.

Énergie et Ressources
naturelles

Québec 



Kiwatin

Ministère de l'Énergie et des Ressources

Service de la Géoinformation

25 JUIL 1988

Date: _____

No G.M.: 46948

EXPLORATION BREX INC.

CAMPAGNE DE FORAGE

PROPRIETE DESJARDINS,

CANTON DE DESJARDINS,
ABITIBI, QUEBEC.

VOLUME I

DANIEL TURCOTTE
B. SC. GEOLOGUE

ALAIN VACHON
INGENIEUR GEOLOGUE

Le 29 FEVRIER 1988

ÉNERGIE ET RESSOURCES
SECTEUR MINES

26 MAI 1988

Bureau régional Val d'Or

BR-DJ1-F1

SOMMAIRE

Ce rapport présente les résultats d'une campagne de sondage effectuée de novembre 1987 à février 1988 sur les blocs Est et Ouest de la propriété Desjardins. Cette propriété est constituée de 81 claims qui couvrent une superficie approximative de 1 242 hectares dans le quart sud-est du canton de Desjardins à 30 kilomètres au nord de la ville de Lebel sur Quévillon, Abitibi, Québec.

Cette campagne de sondage fait suite à la découverte par Riocanex d'une zone aurifère sur le bloc Ouest. Vingt-cinq sondages au diamant totalisant 4 824 mètres furent complétés durant ce programme: vingt-deux dans le secteur de la découverte de Riocanex et trois sur le bloc Est.

La minéralisation aurifère mise à jour sur le bloc Ouest est constituée de six zones distinctes; une zone principale orientée ENE-WSW et cinq autres zones d'orientation E-W. En général, les teneurs et les largeurs observées sont plutôt erratiques sauf dans un segment de 75 mètres de la zone principale et d'un secteur isolé de la zone #2 où elles sont d'ordre économique. Ces six zones seraient situées sur le prolongement occidental présumé des minéralisations aurifères de Mines Sullivan, immédiatement à l'est. L'or se retrouve invariablement dans une zone très altérée minéralisée en pyrite disséminée.

Les résultats encourageants du programme d'exploration effectué en 1987-88 justifient pleinement la poursuite des travaux. La campagne d'exploration de 1988-89 comprendra des forages au diamant sur plusieurs cibles d'intérêt et des travaux de coupe de lignes, de levés géophysique et géologique suivis de forage au diamant sur la demie sud du bloc Ouest.



TABLE DES MATIERES

VOLUME I

	PAGE
I- INTRODUCTION	1
II- PROPRIETE, LOCALISATION ET ACCES	1
III- GEOLOGIE REGIONALE	4
IV- TRAVAUX ANTERIEURS	6
V- GEOLOGIE DE LA PROPRIETE	8
VI- RESULTATS DES TRAVAUX ANTERIEURS	12
VII- RESULTATS DE LA CAMPAGNE DE SONDAGE DE BREX	15
A) BLOC OUEST	17
B) BLOC EST	26
VIII- CONCLUSION ET RECOMMANDATIONS	28

LISTE DES APPENDICES

APPENDICE 1	BIBLIOGRAPHIE	30
APPENDICE 2	LISTE DES TRAVAUX ANTERIEURS	31
APPENDICE 3	LISTE DES CLAIMS	34
APPENDICE 4	LISTE DU PERSONNEL	35

LISTE DES FIGURES ET TABLEAUX DANS LE TEXTE

FIGURE 1	LOCALISATION GENERALE (1: 5 000 000)	2
FIGURE 2	LOCALISATION DES CLAIMS (1: 50 000)	3
FIGURE 3	GEOLOGIE REGIONALE ((1: 250 000)	5
FIGURE 4A	COMPILATION ET GEOLOGIE BLOC OUEST (1: 20 000)	9
FIGURE 4B	COMPILATION ET GEOLOGIE BLOC EST (1: 20 000)	10
TABLEAU 1	LEGENDE ACCOMPAGNANT LES FIGURES 4A ET 4B	11
TABLEAU 2	SOMMAIRE DES TRAVAUX DE SONDAGES	13
TABLEAU 3	PARAMETRES TECHNIQUES	16
TABLEAU 4	INTERSECTIONS AURIFERES ZONE PRINCIPALE	23
TABLEAU 5	AUTRES ZONES AURIFERES	25



CARTES EN POCLETTE

CARTE 1	COMPILATION GEOLOGIQUE BLOC OUEST (1: 2 500)
CARTE 2	COMPILATION GEOLOGIQUE BLOC EST (1: 2 500)
CARTE 3	COMPILATION GEOLOGIQUE BLOC OUEST (1: 500)
CARTE 4	COMPILATION GEOLOGIQUE BLOC OUEST (1: 500)
CARTE 5	COUPE LONGITUDINALE ZONE PRINCIPALE (1: 500)

VOLUME II ET III

JOURNAUX DE SONDAGE ET CERTIFICATS D'ANALYSE

VOLUME IV

SECTIONS DE SONDAGE



I- INTRODUCTION

Ce rapport présente les résultats de la campagne de sondage 1987-1988 effectuée sur la propriété Desjardins d'Exploration Brex Inc. dans le canton de Desjardins, Abitibi, Québec. L'objectif principal de ce programme était de préciser l'étendue de la zone aurifère découverte sur le bloc Ouest par Riocanex en 1986- 1987.

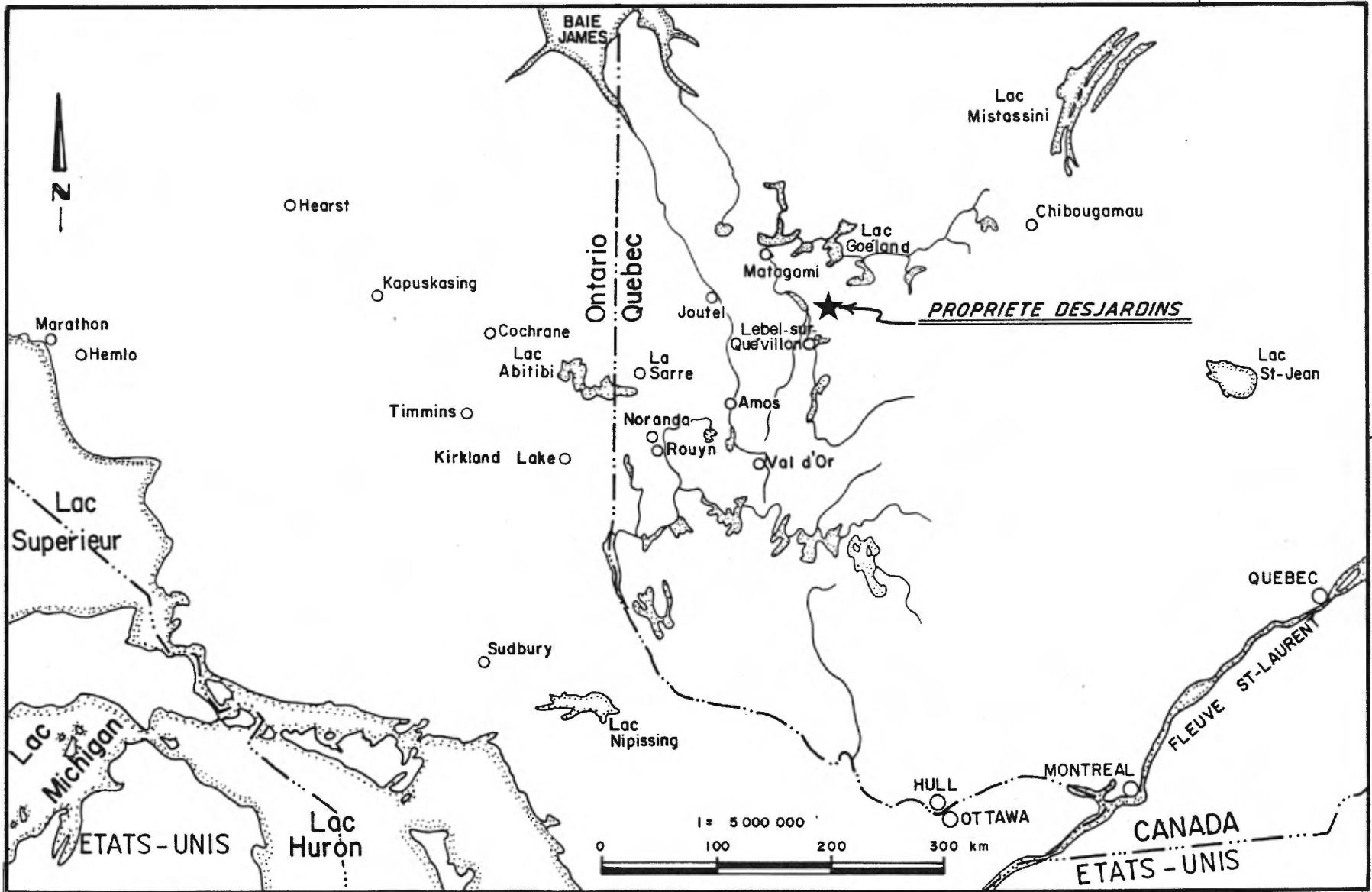
La réalisation des travaux et l'interprétation des résultats a été effectuée par Kiwatin Services Géoscientifiques Inc. de Val d'Or et la gérance fut assumée par Exploration Brex Inc.

II- PROPRIETE, LOCALISATION ET ACCES

La propriété Desjardins est située à 30 kilomètres au nord de la ville de Lebel sur Quévillon et à 35 kilomètres à l'ouest du village de Miquelon, Abitibi, Québec (figure 1). Elle consiste en 81 claims répartis en deux blocs non contigus connus comme les blocs Est et Ouest et de deux claims isolés près du bloc Ouest. Elle couvre une superficie approximative de 1 242 hectares dans le quart sud-est du canton de Desjardins (figure 2). La liste des claims protégeant ces terrains est donnée à l'appendice 3.



72°00'



48°00'

Figure: 1

EXPLORATION BREX INC.

PROPRIETE DESJARDINS (*blocs "EST" & "OUEST"*)

LOCALISATION GENERALE

KIWORTHIN



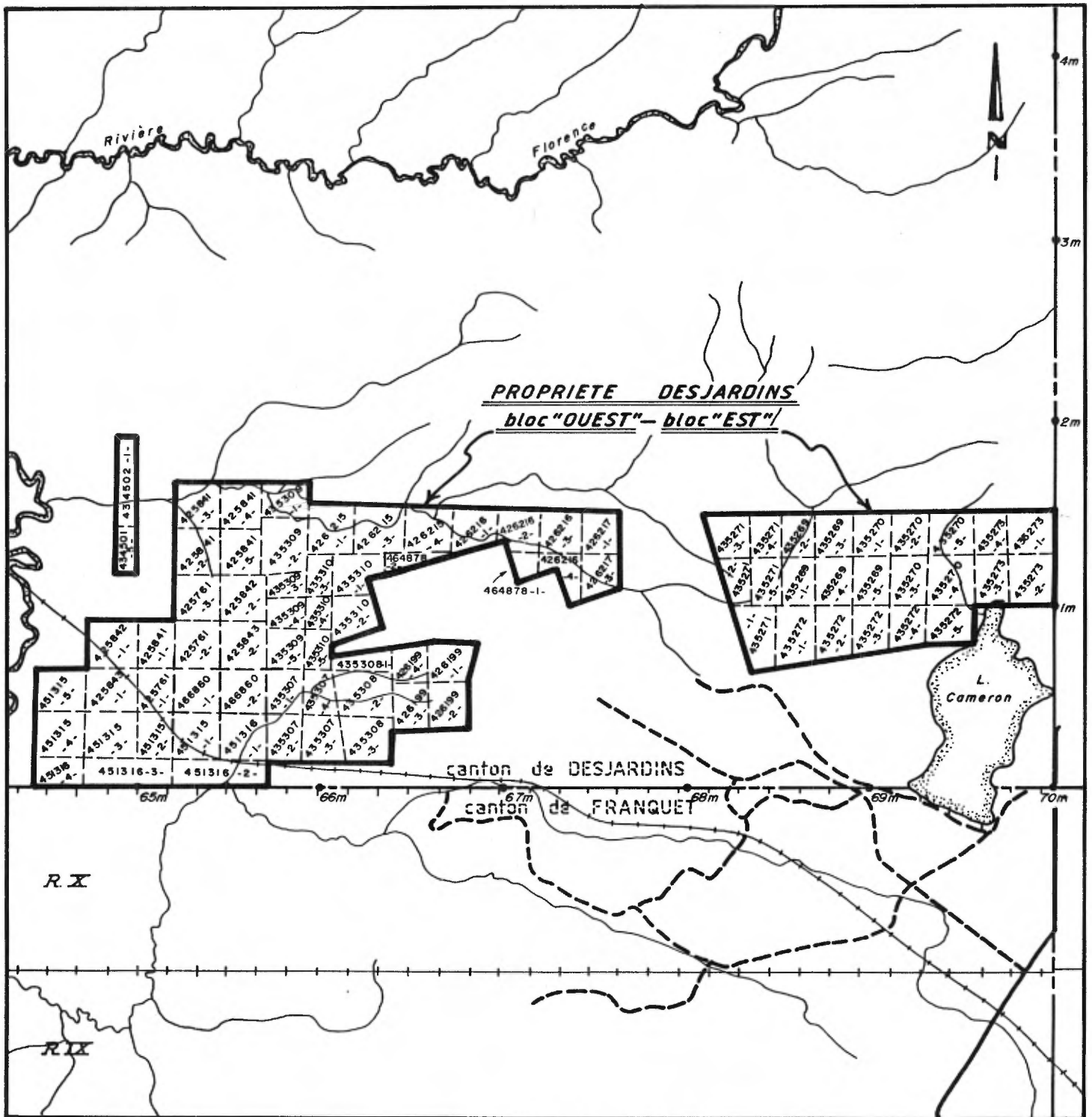


Figure 2

EXPLORATION BREX INC.
PROPRIETE DESJARDINS
(blocs "EST" & "OUEST")
LOCALISATION DES CLAIMS

Echelle 1:50 000



Kiwatin

EXPLORATION BREX INC., PROPRIETE DESJARDINS, LE 29 FEVRIER 1988

L'accès à la propriété est relativement difficile, mais possible par un chemin gravelé d'une longueur de 8 kilomètres, qui joint la route régionale #113 reliant les villes de Senneterre et de Chapais. Le chemin de fer du Canadien National traverse la partie sud du bloc Ouest.

Les affleurements sont rares et le relief de la propriété est moyennement accidenté. Le recouvrement, d'une épaisseur d'environ 15 mètres, est surtout constitué de sable et de gravier.

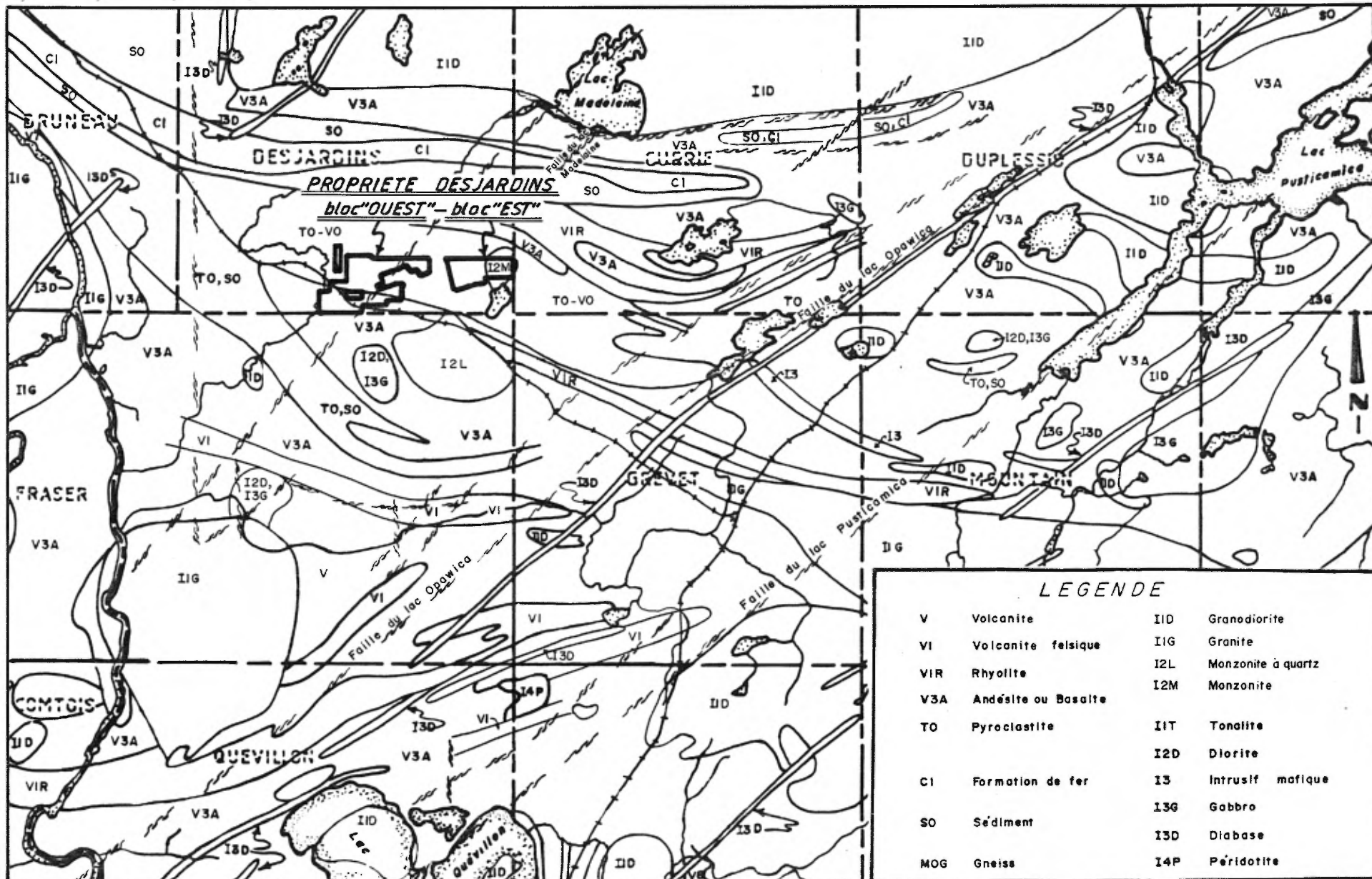
III- GEOLOGIE REGIONALE

La région a fait l'objet de reconnaissance géologique par Bell (1900), Longley (1937), Mackenzie (1935) et Sproule (1940).

Elle fait partie de la zone interne (septentrionale) de la ceinture de roches vertes de l'Abitibi appartenant à la province structurale du Supérieur (Dimroth et al, 1982). Toutes les roches du secteur sont d'âge Archéen à l'exception des dykes de gabbro diabase d'âge Protérozoïque (figure 3).

La propriété se situe dans une bande de volcanites de composition mafique à felsique. Un intrusif de composition monzonitique tronque ces volcanites dans la partie est du bloc Est. Au sud de la propriété, des coulées basaltiques à andésitiques forment une épaisse séquence dans laquelle de minces intercalations de volcanites felsiques sont rencontrées. Quelques stocks de composition granodioritique à gabbroïque y ont été cartographiés.





Modifié de AVRAMTCHEV, LABEL-DROLET DPV-744 (1981)

Figure: 3

EXPLORATION BREX INC.

PROPRIETE DESJARDINS (blocs "EST" & "OUEST")

GEOLOGIE REGIONALE

5 km 0 1 : 250 000 5 10 Km



EXPLORATION BREX INC., PROPRIETE DESJARDINS, LE 29 FEVRIER 1988

Au nord de la propriété, une séquence volcano-sédimentaire constituée d'unités de basalte, de felsite, de formation de fer et de sédiment est observée. Cette séquence est bordée au nord par le batholite post-tectonique du Lac Waswanipi. Gauthier (1986) décrit que l'empilement volcanique observé dans le secteur de Miquelon, juste à l'est, évolue du nord au sud (du lac Waswanipi au lac Pusticamica) d'un volcanisme mafique effusif à la base à un volcanisme felsique explosif au sommet.

La schistosité régionale qui s'oriente WNW-ESE, est localement bien développée. Un système de failles d'orientation NE, traverse les blocs Ouest et Est. Ce système s'apparente vraisemblablement aux importantes failles régionales du lac Opawica (Sharma et Lacoste, 1981) et du lac Pusticamica (Gauthier, 1986) qui traversent la région (figure 3).

IV- TRAVAUX ANTERIEURS

Les travaux d'exploration effectués sur la propriété datent de 1936. Ils font suite à la découverte d'un gîte d'or par Flordin Mines Ltd sur les terrains adjacents. Un résumé de ces travaux est présenté dans les paragraphes suivants et la liste des documents consultés est donnée en appendice 2.

Dès 1936, Granada Gold Mines et Florence River Gold Mines creusèrent quelques tranchées sur les blocs Est et Ouest (GM-8178-B et 8178-C). Florence River Gold Mines complétèrent également 2 sondages (#7 et 8) totalisant 374 mètres dans le coin nord-ouest du bloc Ouest (GM-8178-A).



EXPLORATION BREX INC., PROPRIETE DESJARDINS, LE 29 FEVRIER 1988

Au début des années 1950, New Jersey Zinc Explorations et N.A. Thimmins Explorations complétèrent des levés géologique et géophysique sur les blocs Est et Ouest (GM-637, 1192, 1280, 1321-B et 6285). Neuf courts sondages totalisant environ 1 350 mètres sont également rapportés dans le coin sud-ouest du bloc Est (GM-1321-B).

En 1959, Railhead Mines Limited compléta des levés géophysiques aériens sur un vaste secteur incluant l'actuelle propriété (GM-7797 et 9186).

Après une période d'acalmie d'environ 20 ans, Falconbridge Nickel Mines et Mattagami Lake Mines complétèrent divers levés géophysiques sur l'ensemble de la propriété (GM-33499, 33705, 33706, 34479, 34534). De plus, Mattagami Lake Mines ont foré deux sondages totalisant 249 mètres (TD-79-6 et TC-81-22) sur la demie sud du bloc Ouest (GM-34571 et 37711).

En 1981, Inco compléta des levés géologique et géophysique sur une bonne partie du bloc Ouest (GM-37622). Durant cette même année, SOQUEM effectua des levés géophysiques suivis d'un sondage au diamant (471-01-1) d'une longueur de 79 mètres dans la partie sud du bloc Ouest (GM-34534 et 34671).

En 1986-1987, la propriété actuelle, fut optionnée par Riocanex. Un programme d'exploration systématique comprenant des levés géologique et géophysique (GM-43830) suivis de 13 sondages (1 552 mètres) fut réalisé sur le bloc Ouest (Riocanex, Feb 1987 and July 1987). En 1987-1988, la propriété fut optionnée par les Explorations Brex Inc.. Ils y réalisèrent un programme d'exploration comprenant de la coupe de lignes, des levés magnétométrique et électromagnétique de même que 24 sondages au diamant totalisant 4 824 mètres. Les résultats de ces travaux seront traités au chapitre VII de ce rapport.



V- GEOLOGIE DE LA PROPRIETE

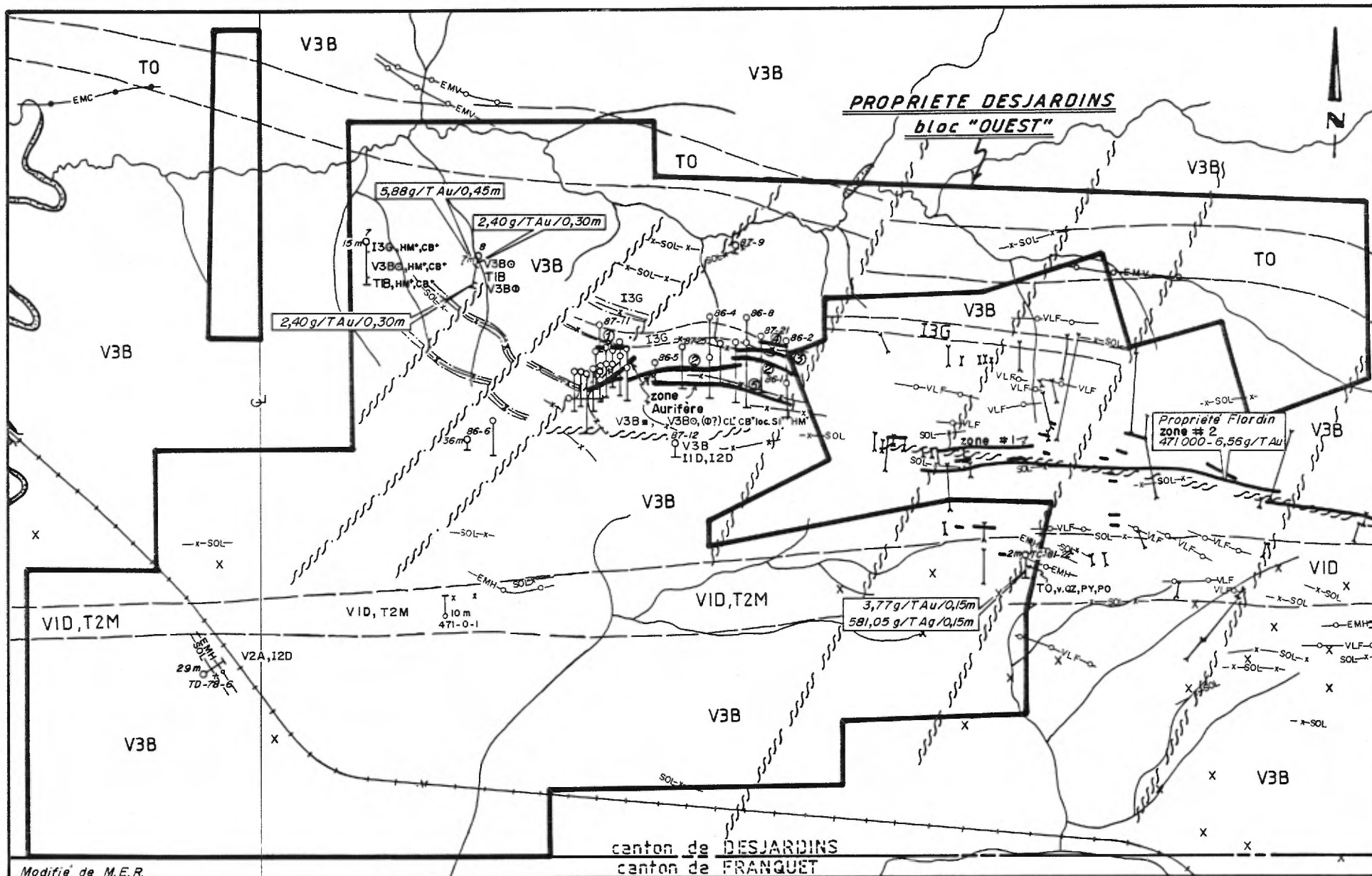
Une synthèse des informations géoscientifiques recueillies sur la propriété Desjardins est présentée aux figures 4A et 4B. Les principales sources de ces données proviennent des travaux de RioCanex et Exploration Brex Inc., Falconbridge Nickel, Mattagami Lake Mines, Soquem et de Inco. Les travaux de Sullivan Mines (Gauthier, 1983), exécutés sur la propriété adjacente (propriété Flordin), ont également servi à cette interprétation.

Le bloc Est est constitué principalement d'une séquence intercalaire de volcanite mafique, de tufs graphiteux et de dykes concordants ou filons-couche de gabbro-diorite. Cette séquence est tronquée à l'est par un petit stock monzonitique (stock du lac Cameron) qui occupe toute la moitié est de ce bloc (figure 4B).

Le bloc Ouest est surtout composé de basalte amygdalaire, bréchiq ue et coussiné avec quelques minces intercalations de tuf intermédiaire à felsique. Un horizon de tuf dacitique, traverse le sud du bloc Ouest, tandis qu'un horizon de tuf traverse le nord des blocs Est et Ouest (figure 4A et 4B). De nombreux dykes ou filons-couche de diorite de dimensions modestes sont observés dans ces volcanites. Ces diorites, uniquement décrites dans les journaux de sondage, pourraient cependant représenter des coulées grenues de basalte ou d'andésite. Des dykes felsiques tardifs de composition intermédiaire recoupent toutes ces roches.

Les lithologies sont fortement imprégnées d'une schistosité pénétrante sub-parallèle à l'orientation (WNW-ESE) des couches. Plusieurs zones de cisaillements et de failles ont été observées dans les sondages et/ou ont été interprétées d'après les différents levés géophysiques. Deux systèmes d'orientation différente, l'un NE et l'autre EW sont interprétés sur la propriété. Le système EW se caractérise surtout





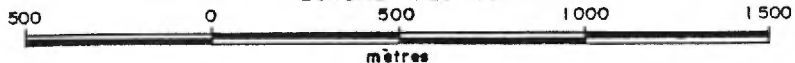
Modifié de M.E.R.

Figure 4 a

Légende: voir tableau 1

EXPLORATION BREX INC.
PROPRIETE DESJARDINS (bloc "OUEST")
COMPILATION & GEOLOGIE

Echelle 1:20 000



KWORTH



Roches Volcaniques

VO	Indéterminées
V1D	Dacite
V2A	Andésite
V3B	Basalte

Roches Intrusives

I1D	Granodiorite
I2D	Diorite
I2M	Monzonite
I3G	Gabbro




Roches Volcanoclastiques

TO	Tuf Indéterminé
T1B	Tuf à blocs
T2M	Tuf à cendre fin

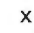
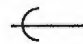
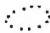
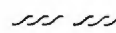

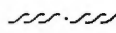





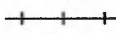


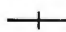
SUFFIXES

GP	Graphite
v.QZ	Veine de quartz
PY	Pyrite
PO	Pyrrhotine
CB+	Carbonatation
CL+	Chloritisation
HM+	Hématisation
SI+	Silicification

STRUCTURES

	Coussinée
	Amygdalaire
	Massif

SYMBOLES

	Affleurements -isolé		Strie glaciaire sens connu
	-aire d'...		Faïlle présumée
	Contact géologique présumé		Faïlle d'après levés géophysiques
	Contact géologique d'après levés géophysiques		Tranchée
	Sondage projection horizontale		Ancienne mine avec galeries souterraines
	Veine de quartz		Voie ferrée
	Stratification -inclinée		Chemin pavé
	-verticale		

ANOMALIES GEOPHYSIQUES






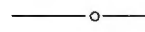




	VLF		Anomalie électromagnétique, très basse fréquence
	EMC		Anomalie électromagnétique aérienne, système conventionnel
	EMV		Anomalie électromagnétique, à composante verticale
	EMH		Anomalie électromagnétique, à composante horizontale
	SOL		Anomalie magnétique au sol
	HG		Anomalie gravimétrique

TABLEAU 1
Legende Figure 3



Kiwatin

par des zones de cisaillements sub-concordantes, qui plus à l'est, sont hôtes des minéralisations aurifères de la propriété Flordin de Mines Sullivan.

VI- RESULTATS DES TRAVAUX ANTERIEURS

Vingt-sept sondages au diamant totalisant approximativement 3 604 mètres ont été complétés sur les blocs Est et Ouest. Un sommaire de ces travaux est présenté au tableau 2. La majeure partie de ces travaux a été réalisée sur les extensions de la structure de Flordin qui traverserait d'est en ouest la partie centrale du bloc Ouest. Cette structure est hôte de deux zones aurifères connues comme la zone #2 (471,000T à 6,65 g/T Au) et la veine Cartwright (91 400 T à 11 g/T Au) sur la propriété Flordin de Mines Sullivan immédiatement à l'est (Gauthier, 1983).

Les travaux de Riocanex se sont restreints à la demie nord du bloc Ouest de la propriété Desjardins. Ils ont consisté en coupe de lignes, levés géophysiques, géologiques et forage au diamant (13 trous, 86-1 à 87-13, totalisant 1 552 mètres). Les travaux de géophysique (EM-T.B.F., MAG et P.P.) ont permis de détecter plusieurs conducteurs ainsi que d'esquisser la présence de linéaments magnétiques vraisemblablement associés à des zones de failles. Les seules informations quant à la géologie de cette partie de la propriété proviennent de l'examen des carottes de sondage puisqu' aucun affleurement n'a été découvert lors du levé géologique. Les affleurements montrés à la figure 4A proviennent de la carte de compilation géoscientifique du Ministère de l'Energie et des Ressources. Dix des treize sondages ont été réalisés dans le quadrilatère délimité par les lignes 8+00W à 1+00W de 5+00N à 2+00N, où un grand nombre d'anomalies P.P. avaient été décelées. Les trois autres sondages ont été forés au nord et au sud de ce secteur sur des anomalies P.P. continues ou isolées. Deux de ces sondages, 86-6 et 87-9, n'ont pas atteint le socle rocheux.



TABEAU 2: SOMMAIRE DES TRAVAUX DE SONDAGE

NOMBRE DE TROUS	FORE PAR	LONGUEUR (mètres)	LOCALISATION	CIBLE	RESULTATS
2	FLORENCE RIVER GOLD MINE	374	demie-nord du bloc Ouest	prolongement occidental présumé de la structure de Flordin	trois intersections d'or sur de courtes largeurs
13	RICCANEX	1 552	demie-nord du bloc Ouest	prolongement occidental présumé de la structure de Flordin	mise à jour d'une zone aurifère d'une longueur de 700 mètres
21	EXPLORATION BREX INC.	4 311	demie-nord du bloc Ouest	extension latérale et en profondeur de la zone aurifère de Riocanex	mise à jour de six zones aurifères incluant celle de Riocanex
2	MATTAGAMI LAKE MINES	249	demie-sud du bloc Ouest	anomalie géophysique	une zone minéralisée (3,77 g/T/Au/0,15 m) (581,05 g/T/Ag/0,15 m)
1	SOQUEM	79	demie-sud du bloc Ouest	anomalie géophysique	aucune teneur
9	COMPAGNIE NON DISPONIBLE	~1 350	sud-ouest du bloc Est	anomalie géophysique	non disponible
3	EXPLORATION BREX INC.	513	demie-sud du bloc Est	anomalie géophysique	aucune teneur



EXPLORATION BREX INC., PROPRIETE DESJARDINS, LE 29 FEVRIER 1988

Ces sondages ont permis de mettre à jour une zone aurifère orientée E-W qui s'étend de la ligne 1+00W (Gauthier et Vachon, 1987). Cette zone a été reconnue par six sondages forés à maille très espacée qui ont principalement recoupé des coulées de basalte variablement altérées et cisillées et quelques horizons de gabbro.

La meilleure intersection a été recoupée dans le trou 87-10 à quelques mètres de l'interface mort-terrain-socle rocheux (3,69 g/T Au sur 7,69 mètres incluant 7,78 g/T Au sur 2,32 mètres) où un élargissement et un enrichissement de la zone peut-être notée. Ailleurs sur le bloc Ouest, les teneurs sont généralement erratiques sur des largeurs très variables. Les tableaux 4 et 5 présentent les meilleures intersections d'or obtenues dans tous les sondages de Riocanex.

D'autres teneurs intéressantes ont également été mises à jour ailleurs sur la propriété. A l'ouest des travaux de Riocanex, Florence River Gold Mines a foré deux trous dont un, le 8, a retourné 2,40 g/T Au sur 0,30 et 5,88 g/T Au sur 0,45 mètre dans un basalte bréchique et amygdalaire variablement altéré (figure 4A). Le type d'environnement géologique rencontré à cet endroit présente plusieurs similitudes avec celui de la zone aurifère découverte par Riocanex. Enfin, dans la demie-sud du bloc Ouest, une bande de volcanites felsiques à intermédiaires a été forée par SOQUEM et Mattagami Lake Mines Ltd.. Un des trois sondages (TC-81-22), situé près de la bordure est des claims, a retourné des teneurs anormales en or (3,77 g/T) et en argent (581,05 g/T) sur 0,15 mètre dans un tuf dacitique cisillé, altéré et faiblement minéralisé en pyrite (figure 4A).



VII- RESULTATS DE LA CAMPAGNE DE SONDAGE DE BREX

La campagne de sondage d'Exploration Brex Inc. a été effectuée sur les blocs Ouest et Est de la propriété Desjardins. Vingt-cinq sondages au diamant de type BQ totalisant 4 824 mètres ont été complétés durant la période de novembre 1987 à février 1988. Vingt-deux trous furent implantés sur le bloc Ouest pour tester la zone aurifère mise à jour par les travaux de Riocanex (carte 1, 3 et 4, en pochette), tandis que trois sondages ont investigué des anomalies électromagnétiques et magnétiques sur le bloc Est (carte 2, en pochette).

En général, tous ces trous ont été forés en direction sud (180 à 210°) sauf le 88-31 qui était à 090°. Des tests d'inclinaison de type "Roto Dip" ont été effectués à tous les 30 mètres le long des sondages. Les journaux de sondage et les certificats d'analyse sont présentés aux volumes II et III et les sections de sondage à l'échelle 1: 500 sont donnés au volume IV. Les paramètres techniques de tous les sondages sont donnés au tableau 3.



TABLEAU 3: PARAMETRES TECHNIQUES

DDH	DEBUT	FIN	LIGNE	STATION	INCLINAISON	ORIENTATION	TUBAGE	LONGUEUR
DJ-87-14	87-11-09	87-11-11	8+00 W	3+33.7 N	-50	180°	en place	163.37
DJ-87-15	87-11-11	87-11-13	8+25 W	3+25 N	-50	180°	en place	203.00
DJ-87-16	87-11-13	87-11-18	7+75 W	3+44 N	-50	180°	en place	181.66
DJ-87-17	87-11-18	87-11-19	8+00 W	3+10 N	-50	180°	enlevé	138.99
DJ-87-18	87-11-19	87-11-24	8+50 W	3+07.5 N	-50	180°	enlevé	294.44
DJ-87-19	87-11-24	87-12-01	12+00 W	1+50 N	-55	180°	enlevé	187.76
DJ-87-20	87-12-01	87-12-03	7+50 W	3+44 N	-50	180°	en place	114.60
DJ-87-21	87-12-03	87-12-05	2+00 W	4+40 N	-50	180°	enlevé	260.91
DJ-87-22	87-12-08	87-12-11	7+25 W	3+70 N	-50	180°	enlevé	196.90
DJ-87-23	87-12-11	87-12-13	8+75 W	3+20 N	-50	180°	enlevé	181.66
DJ-87-24	87-12-13	87-12-15	9+00 W	3+20 N	-50	180°	enlevé	190.80
DJ-87-25	87-12-15	87-12-16	5+00 W	4+00 N	-50	180°	en place	188.25
DJ-88-26	88-01-04	88-01-09	3+00 W	4+20 N	-50	180°	enlevé	273.10
DJ-88-03	88-01-09	88-01-09	4+00 W	3+70 N	-46	180°	enlevé	57.91
DJ-88-27	88-01-09	88-01-12	2+50 W	4+15 N	-50	180°	enlevé	224.33
DJ-88-28	88-01-18	88-01-22	7+00 W	4+00 N	-48	180°	enlevé	218.24
DJ-88-29	88-01-22	88-02-03	7+75 W	4+05 N	-50	180°	enlevé	203.00
DJ-88-30	88-02-03	88-02-05	7+50 W	3+95 N	-50	180°	enlevé	190.80
DJ-88-31	88-02-05	88-02-07	9+10 W	2+25 N	-50	090°	enlevé	184.71
DJ-88-32	88-02-05	88-02-10	8+12.5 W	3+90 N	-50	180°	enlevé	196.00
DJ-88-33	88-02-15	88-02-17	7+25 W	4+25 N	-50	180°	en place	181.66
DJ-88-34	88-02-18	88-02-21	3+50 W	4+20 N	-50	180°	enlevé	278.50
DJ-88-35	88-02-21	88-02-23	10+00 E	3+57 S	-54	210°	en place	189.10
DJ-88-36	88-02-23	88-02-25	9+74 E	4+68.5 S	-50	210°	enlevé	181.66
DJ-88-37	88-02-25	88-02-28	21+00 E	2+00 S	-50	197°	enlevé	142.04
							total	4 823.39



EXPLORATION BREX INC., PROPRIETE DESJARDINS, LE 29 FEVRIER 1988

A) BLOC OUEST

La campagne de sondage effectuée sur ce bloc peut se diviser en trois parties; la première étant constituée de 15 trous forés à maille serrée entre les lignes 7+00W et 9+10W pour tester les extensions verticales et latérales de l'intersection aurifère du trou 87-10 (7,78 g/T Au/2,32 m); la deuxième composée de 6 trous forés entre les lignes 5+00W et 2+00W pour compléter et localement réduire la maille de forage de la zone aurifère; et finalement d'un trou, sur la ligne 12+00W, pour investiguer une anomalie P.P. résistivité au sud de la zone. Les paragraphes ci-dessous présentent une description détaillée des différentes lithologies et des minéralisations aurifères décelées.

GEOLOGIE DETAILLEE

En résumé, seulement deux unités géologiques (basalte et gabbro) ont été formellement reconnues lors de l'examen des carottes de sondage de la campagne effectuée par Brex (sondages #87-14 à 88-34 et l'extension du 86-3) et d'un ré-examen sommaire des trous de Riocanex (sondage 86-1 à 87-13). Cependant, l'unité de basalte a été divisée d'après les différents faciès texturaux observés. Ces faciès sont les suivants: basalte massif, magnétique, tacheté, bréchique- amygdalaire -coussiné, rubanné et cisailé. Nous désirons aviser le lecteur que l'interprétation présentée aux plans de surface #1, 3 et 4 tient compte d'un certain regroupement de quelques uns de ces faciès et du fait que, lorsque cisailés et altérés, plusieurs de ces faciès n'étaient pas identifiables.

GABBRO

L'unité de gabbro qui s'étend des lignes 8+00W à 1+00W, a été reconnue dans les trous 87-11, 88-33, 86-4, 87-8, 87-21 et 86-2. La roche est constituée d'environ 55% de cristaux trappus d'amphibole baignant dans une pâte verdâtre feldspathique. Dans l'ensemble, la granulométrie est grossière, la texture homogène sauf à l'extrémité est (trou 87-8, 87-21 et 86-2) où la



Kiwatin

EXPLORATION BREX INC., PROPRIETE DESJARDINS, LE 29 FEVRIER 1988

roche devient plus schisteuse, foliée et finement grenue. L'épaisseur moyenne de cette unité est de 50 mètres (trou 87-11 et 87-4). Les contacts sont marqués par une zone de trempe caractérisée par une intense carbonatisation, silicification et une diminution graduelle de la granulométrie. La roche est en outre faiblement chloritisée et épidotisée. Elle contient jusqu'à 15% de magnétite en cristaux octaédriques de 1 à 3 mm d'arête. Des traces de pyrite et de chalcopryrite ont été localement observées dans des veines de quartz.

BASALTE MASSIF

Ce faciès, comme son nom l'indique, est massif à légèrement schisteux, de couleur vert moyen à foncé et de granulométrie fine à moyenne. La roche est généralement très homogène et souvent intercalée avec des coulées typiquement amygdalaires, bréchiques et coussinées.

En général, la roche est moyennement carbonatisée, chloritisée et localement épidotisée et silicifiée. Des quantités très variables de pyrite (trace à 5%) disséminée et en veinules de même que des concentrations très locales de magnétite disséminée y sont observées.

BASALTE MAGNETIQUE

Cet horizon n'a été observé qu'aux extrémités est et ouest du secteur foré où des anomalies magnétométriques de forte intensité ont été détectées. La roche est de couleur gris foncé, massive, silicifiée, fracturée (10° avec l'axe de carotte) et injectée d'un réseau de veinules de quartz. Elle contient des traces à 5% de pyrite et une forte proportion de magnétite disséminée. La granulométrie très fine de la magnétite rend impossible une estimation, même approximative, de sa proportion. Ce faciès contient également de 10 à 40% de bandes ou zones très chloritisées et schisteuses. Les contacts tantôt diffus tantôt graduels avec le matériel gris suggèrent fortement qu'il s'agit de la



Kiwatin

EXPLORATION BREX INC., PROPRIETE DESJARDINS, LE 29 FEVRIER 1988

même roche. Ce faciès pourrait-être le reflet d'une zone tectonisée marquée par des déformations en compression (zone chloritisée schisteuse) et en dilatation (zone silicifiée magnétique et micro-fracturée). D'autre part, l'aspect plutôt talqueux du basalte cisailé à proximité pourrait aussi signifier qu'il s'agit d'une roche ultramafique.

BASALTE TACHETE

Ce faciès est relativement typique et facile à identifier. Il réfère à la présence d'agrégats de minéraux mafiques recristallisés de 0,5 à 1 cm de diamètre dans une matrice légèrement plus pâle; la matrice étant vert moyen à foncé, cisailée et fortement chloritisée. Cette recristallisation serait produite par l'effet combiné altération-métamorphisme d'une lave grenue ou d'un gabbro cisailé. Le développement très irrégulier de cette texture explique en partie les corrélations effectuées entre les faces tacheté, massif et schisteux.

BASALTE AMYGDALAIRE, COUSSINE ET BRECHIQUE

Cette unité est la plus répandue sur la propriété. Elle peut également présenter des variations texturales ne comprenant qu'un seul ou une combinaison de deux des constituants. Cependant, le faciès typique est de couleur vert foncé à gris verdâtre, à grains très fins, variablement altéré et cisailé. La roche contient des passées d'aspect nettement fragmentaire ou bréchique constituées de "fragments" ou bandes fortement amygdalaires de 1 à 10 centimètres plus pâle que le reste de la roche. Ces zones fragmentaires ou bréchiques pourraient dériver d'une intense déformation de coulées typiquement coussinées et amygdalaires avec des intercalations de matériel hyaloclastique ou de mince horizon d'exalite. Cette hypothèse est étayée par l'observation d'une altération différentielle vraisemblablement reliée à la composition primaire des lithologies. Cette unité est affectée par une forte schistosité (cisaillement) qui est invariablement accompagnée d'une intense



carbonatisation et chloritisation et plus localement d'une forte silicification et hématisation. Le contenu en sulfure, pyrite surtout, est généralement faible (<1%) sauf dans les zones où une altération beige ("buff") typique fut observée, où il peut atteindre 10 à 15%. Un peu de magnétite est également observé dans ces zones altérées et ailleurs dans l'unité.

BASALTE RUBANNE

Cette unité n'a été reconnue que dans les trous 86-2, 86-5, 87-21 et 87-27. Elle est très finement grenue, de couleur vert olive à gris bleuté. La roche est constituée de 10 à 30% de bandes, lits ou injections de matériel blanchâtre siliceux dans une matrice verdâtre à gris bleuté. Ces bandes sont toujours sub-parallèles à la schistosité et généralement introduites de veinules de quartz sub-concordantes. Elles sont souvent accompagnées d'une forte silicification et d'une légère hématisation qui déborde au delà des contacts tandis que le reste de l'unité est modérément silicifié et épidotisé. La roche est localement micro-plissée (kink-band), micro-faillée et bréchique.

BASALTE CISAILLE-SCHISTE A CHLORITE-CARBONATE-"TALC"

Cette unité n'est présente que dans les trous 87-18, 87-23, 87-24 et 88-31 dans l'extrémité ouest de la zone aurifère principale. Il s'agit d'une roche très cisailée, très molle et d'aspect lustré. Cette unité pourrait-être le résultat de la déformation intense des unités de basalte tacheté et/ou de basalte magnétique à proximité. Le talc n'a pas formellement été identifié mais sa présence est fortement soupçonnée. Il pourrait donc s'agir aussi d'une lave ultramafique altérée.



STRUCTURE

L'interprétation du cadre structural de la demie nord du bloc Ouest a été effectuée à l'aide des différents levés géophysiques réalisés par Riocanex et Brex et suite à l'examen de toutes les carottes de sondage. Le levé magnétométrique de détail, réalisé entre les ligne 1+00W et 15+00W de L.B.O. à 7+00N, révèle qu'il existe deux patrons magnétiques bien distincts délimités par la présence d'une faille d'orientation NE-SW (L11+50W/L.B.O à L3+50N/7+00N). Au nord-ouest de cette faille, les lithologies sont orientées WNW-ESE et sont affectées par deux failles sub-parallèles d'orientation NE-SW. Ces failles sont interprétées par des décrochements soudains d'axes magnétiques continus de forte intensité. Au sud-est, le cadre structural est plus compliqué et caractérisé par la présence d'axes magnétiques plissés et faillés et par de nombreuses discontinuités abruptes du champ magnétique. Ces discontinuités ou linéaments suggèrent la présence de plusieurs réseaux de failles orientées NE-SW, N-S et E-W qui affecteraient des volcanites d'orientation E-W.

Quant aux travaux de sondage, ils ont principalement permis de préciser la position de la zone de faille qui sépare les deux patrons magnétiques. Cette zone se situe immédiatement au nord-ouest d'un axe magnétique curvilinéaire de forte intensité. Elle se traduit par la présence de zones de cisaillement intense, de zones fragmentaires cisailés et altérées, de zones très silicifiées et micro-fracturées, de zones de déformation en compression et dilatation dans les trous 87-14, 15, 18, 23, 24 et 88-29, 30, 31, 32 et 33. Ailleurs sur la propriété, des zones de cisaillement intense et la présence d'une faille dans le trou 88-34 ont été reconnues. Egalement, une unité de basalte rubané observé dans les trous 86-2, 87-21, 87-26 et 87-21, occuperait vraisemblablement le coeur d'un pli ouvert vers l'est dont l'axe serait orienté E-W. Cependant, il nous a été impossible d'établir clairement le cadre structural du reste du bloc Ouest.



MINERALISATION

La campagne de Brex a conduit à une ré-interprétation du nombre et de l'attitude des zones minéralisées découvertes par Riocanex. Ainsi, ces travaux ont mis à jour une zone aurifère principale et cinq autres zones de moindre importance réparties entre les lignes 8+00W et 1+00W (cartes 1, 3 et 4 en pochette et figure 4A).

La zone aurifère principale a été mise à jour suite au forage de détail exécuté entre les lignes 7+00W et 9+10W. Cette zone est orientée 060° et suit de très près le contact sud avec un axe magnétique de forte intensité. La zone se termine sur une faille NE-SW vers la section 8+75W alors qu'elle demeure toujours ouverte à son extrémité est et en profondeur (cartes 3 et 5, en pochette). Il faut ici souligner qu'au moment où la campagne de forage s'est terminée, les résultats d'analyse du trou 88-28 qui se situe le plus à l'est, n'étaient toujours pas disponibles. Il faut également mentionner que l'aspect légèrement différent de la minéralisation aurifère dans ce trou a fait que cette zone n'a pu être reconnue visuellement. Ceci explique pourquoi aucun sondage n'a été complété plus à l'est. La zone a été reconnue entre les lignes 8+75W et 7+00W et en général, elle présente des épaisseurs (0,30 m à 7,60 m) et des teneurs (1,11 à 11,10 g/T Au) variables. Cependant, entre les lignes 8+00W et 7+50W à des profondeurs verticales respectives de 25 et 65 mètres, la zone révèle des teneurs très intéressantes sur des largeurs appréciables (87-10; 7,78 g/T Au sur 2,32 mètres, 87-16; 5,07g/T Au sur 2,35 mètres et 87-20; 5,34 g/T Au sur 2,10 mètres). Habituellement, la zone est simple à l'exception de la section 7+50W (trou 87-20) où un dédoublement (5,34 g/T Au sur 2,10 mètres et 2,49 g/T Au sur 2,50 mètres) a été observé. Le pendage varie de 080° vers le nord à sub-vertical (carte 8, 11, 14 et 16). De plus, elle présente une bonne continuité verticale malgré des teneurs et des largeurs de moindre importance recoupées au niveau 100 mètres (carte 5, en pochette).



EXPLORATION BREX INC., PROPRIETE DESJARDINS, LE 29 FEVRIER 1988

La minéralisation aurifère se trouve dans une zone fortement silicifiée riche en carbonate de fer. Ce type d'altération est connu dans le secteur minier comme "altération buff" et se retrouve par exemple sur le gîte aurifère de Mines Sullivan immédiatement à l'est (Gauthier, 1983). La roche prend alors une couleur beige chamois à gris pâle et est injectée de fines veinules de quartz dans toutes les directions. La pyrite, dont la quantité varie de 1 à 15%, est le seul sulfure observé. On y retrouve également un peu de magnétite. Il faut également noter ici qu'il semble exister une relation directe entre la proportion de pyrite et les teneurs d'or obtenues. Généralement, les plus fortes teneurs d'or proviennent des zones où le contenu en pyrite est le plus élevé. Le tableau 4 ci-dessous présente les meilleures intersections de forage dans cette zone.

TABLEAU 4- INTERSECTIONS AURIFERES ZONE PRINCIPALE

<u>SECTION</u>	<u>TROU</u>	<u>DE</u>	<u>A</u>	<u>LONG.</u> (m)	<u>Au</u> (g/T)
7+00W	88-28	92,93	93,27	0,34	3,00
7+25W	87-22	83,20	83,50	0,30	2,36
	88-33	142,45	143,42	0,97	3,22
7+50W	87-20	74,45	76,55	2,10	5,34
	87-20	79,10	81,60	2,50	2,49
	88-30	112,20	113,72	1,52	3,30
	88-30	138,30	138,72	0,42	3,00
7+75W	87-16	94,45	96,80	2,35	5,07
	88-29	154,70	155,90	1,20	2,31
8+00W	87-10	32,68	35,00	2,32	7,78
	87-14	84,40	85,20	0,80	2,98
	87-17	55,00	56,00	1,00	3,25
8+12.5W	88-32	161,80	162,20	0,40	2,80
8+25W	87-15	96,40	96,95	0,55	11,10
8+50W	87-18	89,15	89,70	0,55	1,11

EXPLORATION BREX INC., PROPRIETE DESJARDINS, LE 29 FEVRIER 1988

Cinq autres zones de minéralisation aurifère peuvent également être interprétées sur la propriété (carte 3 et 4, en pochette). Elles sont grosso-modo orientées E-W mais, la maille de forage trop espacée dans ce secteur, rend quelquefois difficile les corrélations latérales des intersections minéralisées. En général, la minéralogie, l'altération et la minéralisation de ces zones sont identiques à celles de la zone principale. Les paragraphes qui suivent présentent un bref sommaire de chacune de ces zones. Les meilleures intersections sont présentées au tableau 5.

- ZONE 1:** s'étend des lignes 8+00W à 7+25W et a été recoupée par trois sondages. La zone est ouverte en profondeur et latéralement. Elle se situe au contact sud d'un axe magnétique de forte intensité.
- ZONE 2:** traverse presque tout le secteur foré de la ligne 1+00W à la ligne 7+00W. La zone a été reconnue par 11 sondages espacés de 50 à 100 mètres. Elle se termine immédiatement à l'ouest de la section 7+00W et se dirige à l'extérieur des claims vers l'est. A la section 3+50W, la zone serait vraisemblablement déplacée vers le nord d'environ 25 mètres. Cette faille a été recoupée dans le sondage 88-34.
- ZONE 3:** s'étend des lignes 2+50W à 1+00W où plus à l'est elle se dirige à l'extérieur des claims. Cette zone traverse un axe magnétique de haute intensité. Elle est située à 25 mètres au nord de la zone 2 et lui est sub-parallèle.
- ZONE 4:** s'étend des lignes 2+00W à 1+00W à 50 mètres au nord de la zone 2. Une des intersections est située dans un gabbro (87-21) sur le flanc nord d'un axe magnétique et l'autre dans un basalte amygdalaire et coussiné (86-2) sur le flanc sud d'un axe magnétique distinct et immédiatement au sud d'une anomalie P.P.
- ZONE 5:** se situe au sud (70 mètres) de la zone 2 entre les lignes 4+00W et 1+00W où plus à l'est elle se dirige en dehors des limites des claims. Un axe magnétique de forte intensité est situé immédiatement au nord de la zone.

TABLEAU 5: AUTRES ZONES AURIFERES

LIGNE	TROU	DE (mètres)	A (mètres)	LONGUEUR (mètres)	AU g/T	
ZONE 1						
7+25W	88-33	49.30	50.60	1.30	3.32	
7+75W	88-29	31.39	32.00	0.61	1.14	
8+00W	87-10	95.84	96.34	0.50	5.70	
ZONE 2						
1+00W	86-2	138.99	139.49	0.50	17.50	
2+00W	87-21	124.50	125.05	0.55	1.32	
2+50W	88-27	88.30	89.50	1.20	1.80	
3+00W	88-26	118.25	122.10	3.85	2.82	
	88-26	132.30	133.12	0.82	9.81	zone double
3+50W	88-34	105.46	106.96	1.50	1.11	
		132.00	132.90	0.90	2.55	zone double
4+00W	86-3	68.00	68.65	0.65	2.95	
	86-4	215.90	218.33	2.33	3.78	
5+00W	87-25	100.40	101.00	0.60	1.56	
6+00W	86-5	56.10	56.35	0.25	3.13	
7+00W	86-13	56.90	58.14	1.24	3.21	
	88-28	123.95	124.45	0.50	2.27	
ZONE 3						
1+00W	86-2	108.51	108.68	0.17	2.90	
2+00W	87-21	91.50	92.10	0.60	2.26	
2+50W	88-27	49.18	50.60	1.42	1.40	
ZONE 4						
1+00W	86-2	73.97	74.52	0.55	2.95	
2+00W	87-21	50.00	50.50	0.50	5.50	
ZONE 5						
1+00W	86-1	96.30	96.75	0.45	2.65	
2+50W	87-7	24.38	25.06	1.20	1.82	
2+50W	88-27	187.76	188.50	0.74	3.21	
3+00W	88-26	219.00	220.50	1.50	3.04	
3+50W	88-34	-	-	-	-	
4+00W	86-3	129.00	130.50	1.50	2.50	
	86-4	240.25	241.75	1.50	3.30	



B) BLOC EST**GEOLOGIE DETAILLEE**

Les descriptions qui suivent sont basées sur l'information recueillie à partir des sondages 88-35, 36 et 37 exécutés sur le bloc Est de la propriété Desjardins.

Les sondages 88-35 et 36 ont recoupé une épaisse séquence de volcanites interlitées de tuf graphiteux minéralisé qui expliquent les anomalies électromagnétique et magnétométrique et les conducteurs EM-INPUT détectés à cet endroit.

VOLCANITE

Les volcanites constituent l'unité dominante sur cette partie de la propriété. Elles sont très finement grenues, de couleur gris moyen à gris foncé, chloritisées, carbonatisées et localement silicifiées. En général, la roche est fracturée, localement bréchifiée et injectée de veines et veinules de quartz-carbonate.

TUF GRAPHITEUX

Des horizons de tufs à cendre intermédiaire graphiteux sont intercalés dans les volcanites. Ils sont noirs, microplissés, localement bien lités et injectés de veinules de quartz-carbonate. La matrice est fine, siliceuse et contient environ 5 à 10% de graphite et jusqu'à 25% de sulfures.

Le sondage 88-37 effectué dans le coin sud-est de la propriété avait pour but de tester un linéament magnétométrique d'orientation E-W interprété comme une faille. Le sondage a recoupé une monzonite de couleur rougeâtre à grain grossier montrant une texture granitique. La monzonite est composée d'environ 45% de feldspath, 38% de plagioclase, 15% de biotite-chlorite-amphibole et de 2% de quartz interstitiel.

EXPLORATION BREX INC., PROPRIETE DESJARDINS, LE 29 FEVRIER 1988

La roche est micro-fracturée et injectée de petites veinules ou filonnets d'hématite. Des dykes décimétriques granitiques sont injectés dans la monzonite.

La faille présumée correspond à une zone intensément fracturée entre 24,43 et 43,18 m le long du trou. A cet endroit, la roche devient localement silicifiée avec environ 3% de veinules de quartz et calcite. La micro-fracturation, plus intense dans cette zone, confère à la roche une couleur rouge brique clair. Certains plans de fracture, dont l'angle avec l'axe de la carotte se situe vers 30°, présentent une chloritisation importante. Ces fractures contiennent jusqu'à 5% de pyrite disséminée.

MINERALISATION

Les forages effectués dans les horizons de volcanites et de tuf graphiteux révèlent des minéralisations en pyrite et pyrrhotine variant de 1 à 25%. Les sulfures se concentrent principalement aux épontes des veinules de quartz-carbonate et aux contacts entre les différentes lithologies. Ils se présentent en placage dans les fractures, en fine dissémination, en veinules et plus localement sous formes de lits massifs et de nodules de 0,1 à 10 centimètres. Le forage effectué dans la monzonite a recoupé une zone comprenant 1% de magnétite hypidiomorphe et environ 3 à 5% de pyrite très finement disséminée observée dans et aux épontes des fractures remplies de veinules de quartz-carbonate.

L'analyse de toutes les zones d'intérêt des sondages 88-35, 36 et 37 n'a pas révélé de teneur anormale en or.



VIII- CONCLUSION ET RECOMMANDATIONS

La campagne de sondage de 1987-88 effectuée sur les blocs Est et Ouest a permis de préciser le contexte géologique et structural de ces claims et de délimiter plus précisément les extensions de la zone aurifère mise à jour par Riocanex.

Cette zone aurifère se situe à environ 300 mètres au nord du prolongement occidental de la structure de Flordin. Elle a été ré-interprétée comme une zone principale orientée ENE-WSW et cinq autres zones E-W. Il se pourrait que les zones découvertes sur la propriété Desjardins constitue l'extension occidentale de la structure de Flordin et que le décalage observé résulte d'un jeu de faille. La zone principale, qui a été suivie sur une longueur de 175 mètres, se termine abruptement à l'ouest sur une faille orientée NE-SW mais demeure ouverte vers l'est et en profondeur où cependant les teneurs et les largeurs sont de moindre importance. Cette zone fut l'objet d'une campagne de forage à maille serrée alors que sur les cinq autres, une maille de forage plus lâche a rendu les corrélations des lithologies et des zones aurifères localement difficiles. La minéralisation aurifère, pour toutes les zones mises à jour, est invariablement associée à une zone silicifiée et carbonatisée minéralisée en pyrite. Outre cette constante association avec ce type d'altération, la seule autre relation concernant la minéralisation aurifère est le fait qu'elle occupe dans le cas des zones principales, 1 et 5 le flanc sud d'axe magnétique de forte intensité.

Les teneurs d'or détectées dans les six zones aurifères interprétées sur le bloc Ouest sont erratiques sur de courtes sections. Cependant, un segment de 75 mètres de longueur de la zone principale a révélé des teneurs d'ordre économique jusqu'à une profondeur verticale de 80 mètres. D'autres segments de nature similaire pourraient vraisemblablement exister ailleurs sur la propriété; ex: dans la zone 2 au voisinage du trou 86-4.

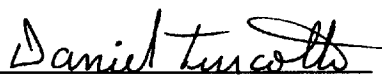


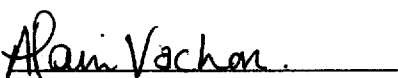
EXPLORATION BREX INC., PROPRIETE DESJARDINS, LE 29 FEVRIER 1988

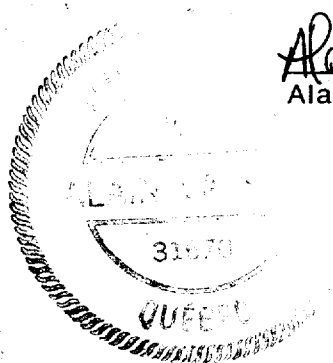
Le programme d'exploration effectué en 1987-88 a permis de préciser le cadre géologique et métallogénique de la propriété Desjardins et plus particulièrement du bloc Ouest. Les résultats plutôt encourageants du programme effectué justifient pleinement la poursuite des travaux d'exploration. Ces travaux devraient comprendre:

- 800 mètres de forage au diamant sur la zone principale afin de vérifier les extensions orientales et en profondeur;
- 300 mètres de forage au diamant sur un axe magnétique de forte intensité situé à 125 mètres au nord de la zone 1;
- 300 mètres de forage au diamant dans le secteur du trou #8 de Florence River Gold Mines où des teneurs d'or intéressantes ont été mises à jour dans un environnement géologique similaire à celui des zones principales et 1 à 5;
- 500 mètres de forage au diamant pour vérifier la continuité en profondeur de l'intersection aurifère du trou 86-4, zone 2;
- 35 kilomètres de coupe de lignes, des levés magnétométrique (35 km) et de polarisation provoquée (15 km), de cartographie, du décapage mécanique et du forage au diamant (400 mètres) dans le secteur du trou TC-81-22 où d'intéressantes teneurs en or et en argent ont été détectées.

Val d'Or, le 29 février 1988


Daniel Turcotte, B. Sc. géologue


Alain Vachon, ing. géologue



Kiwatin

APPENDICE 1

BIBLIOGRAPHIE

- Bell, R., 1900 -**Report on the Geology of the Bassin of the Nottaway River**- Geological Survey of Canada Ottawa, annual report vol XIII part k.
- Dimroth, E. – Imreh, L.– Goulet, N. – Rocheleau, M., 1982 –**Evolution of the south central part of the Archean Abitibi Belt, Quebec. Part 1: Stratigraphy and paleogeographic model**- Canadian Journal of Earth Science; vol. 19, pp. 1729-1758.
- Gauthier, J., 1983 -**Propriété Flordin, Rapport de travaux 1981-82, canton de Desjardins, Projet #220**- Groupe Minier Sullivan.
- Gauthier, J., 1986, -**Cartographie géologique, secteur Miquelon, Projet lac Madeleine, M.E.R.**,- rapport préliminaire, à l'échelle 1: 20 000, (sous presse).
- Longley, W.N., 1937 -**Région de Grevet, Abitibi-est**- Service des Mines, Québec, rapport annuel 1936, partie B, carte 406.
- Mackenzie, G.S, 1935 -**Currie Mao-Area, Abitibi District**- Q.B.M. Am. Rept., Pt. "B", pp 81-108, Map no 353, 1936.
- Sharma, K.N.M., Lacoste, P., 1981 -**Gand (S.W.) et l'Espérance (N.W.)**- Ministère de l'Energie et des Ressources, Québec, D.P. 852.
- Sproule, J.C., 1940 -**Pusticamika Lake, Abitibi Territory**- Geological Survey of Canada, Ottawa, carte 570-A.
- Vachon, A., et Gauthier, J., 1987 -**Rapport de Présentation, Exploration Brex Inc., propriété Desjardins**, Août 1987.



APPENDICE 2**LISTE DES TRAVAUX ANTERIEURS**

- GM 637 **Geological Report, New Jersey Zinc Exploration Ltd, Currie/Desjardins Twps, by Goranson E.A., Parliment H., 1950.**
- GM 1192 **Report on Magnétic, Electromagnetic and Gravity Surveys, New Jersey Zinc Exploration Ltd, Desjardins twp, by Mc Murry H.V., 1951.**
- GM 1280 **Report on Magnetic Survey, N.Q. Timmins (1938) Ltd, Desjardins twp, bu Honeymain K.G., Smith L.G., 1950.**
- GM 1321-B **1 Geological Plan With DDH Location, New Jersey Zinc Exploration Ltd, Currie/Desjardins twp., by Goranson E.A., 1951.**
- GM 6285 **Report on Gravimetric Survey, Dominion Gulf Co/New Jersey Zinc Expl. Ltd, Claims Agar, Report on Gravimetric Survey, Currie/Desjardins twps, by Hammers S., Poneroy R.F. 1950.**
- GM 7797 **Report on Airborne Mag Survey, Railhead Mines Ltd, Claims Boucher, Claims Carr, Claims Dufour, Claims Gamble, Claims Thompson, Brunneau/Currie/ Desjardin/ Noyelles twps., by Prendergase J.B., 1959.**
- GM 8178-A **7 DDH Log with Sampling, Florence River Gold Mines Ltd, Desjardins twp., by King R.B. 1936.**
- GM 8178-B **Letter Report on Exploration Work, Granada Gold Mines Ltd, Desjardins Twp, 1936.**
- GM 1178-C **1 Property Plan with Geology and Location of Trenches, Florence River Gold Mines Ltd, Desjardins/Franquet twps, 1936.**



EXPLORATION BREX INC., PROPRIETE DESJARDINS, LE 29 FEVRIER 1988

- GM 9186 **Report on Airborne EM Survey, Railhead Mines Ltd/Yellow Pan Gold Mines Ltd, Bruneau/Currie/Desjardins/Noyelles, by Pemberton R.H., 1959.**
- GM 33499 **Report on Mag and EM Surveys, Falconbridge Nickel Mines Ltd, Currie/Desjardins/Franquet/Grevet twps, by Lavoie C., 1977.**
- GM 33705 **Report on A Magnetic Survey, Desjardins twp, by Sullivan D.L., 1978.**
- GM 33706 **Report on Mag and EM Survey, Desjardins twp, Sullivan D.L., 1978.**
- GM 34479 **Report on Mag and EM Survey, Mattagami Lake Mines Ltd, Desjardins twp., by Sutherland D.B., 1978.**
- GM 34534 **Rapport Géophysique 11-471 Grevet, SOQUEM, canton de Desjardins et autres, Lebel, A., 1978.**
- GM 34571 **1 DDH Log, Mattagami Lake Mines Ltd/Noranda Mines Ltd, Desjardins twp, by Sullivan J., 1979.**
- GM 34671 **Rapport de la Campagne de Sondage, SOQUEM, Projet Grevet 11-471, Champagne, M., 1979.**
- GM 37622 **Report on Geological and Geophysical (MAG & EM) Survey, Compagnie de Nickel du Canadien Ltée, Claims Dionne, Desjardins Projet, Desjardins/Currie/ Franquet/ Grevet twps, by Phipps D., Ginghty G.J., 1981.**
- GM 37711 **Diamond Drilling Hole TC-81-22 , Themines Project Group C., Mattagami Lake Exploration Ltd., Desjardins twp., by Sullivan P., 1981.**
- GM 43830 **Report on Magnetic, Induced Polarization and Electromagnetic (VLF) Surveys, Geotest Option Project, Exploration Rio Algom Inc., Desjardins twp., by Beckmann H., 1986.**



EXPLORATION BREX INC., PROPRIETE DESJARDINS, LE 29 FEVRIER 1988

- **Diamond Drill Report, Holes 86-1 to 6, Geotest Option, Riocanex, Desjardins twp., by Blewett K., February 10, 1987.**
- **Diamond Drill Report, Holes 87-7 to 87-13, Geotest Option, Riocanex, Desjardins twp., by C.H. Bertoni, Blewett K., July 1987.**
- **Rapport de Levé Magnétométrique, Propriété Desjardins, Bloc Ouest, Val d'Or Géophysique, janvier 1988.**
- **Rapport de Levés Mangétométrique et électromagnétique, (T.B.F.), propriété Desjardin, Bloc Est, Léo Audet Exploration Inc., novembre 1987.**



EXPLORATION BREX INC., PROPRIETE DESJARDINS, LE 29 FEVRIER 1988

APPENDICE 3

LISTE DES CLAIMS

<u>PERMIS</u> #	<u>CLAIMS</u> #	<u>SUPERFICIE</u> superficie	<u>DATE</u>	
			Jalonnement	Expiration
425761	1 à 2	32	13-04-85	12-04-88
425761	3	16	14-04-85	12-04-88
425841	1	16	13-04-85	12-04-88
425841	2 à 5	64	14-04-85	12-04-88
425842	1	16	13-04-85	12-04-88
425842	2	16	14-04-85	12-04-88
425843	1	16	13-04-85	12-04-88
425843	2	16	14-04-85	12-04-88
426199	1 à 4	64	28-10-85	27-10-87
426215	1, 3, 4	48	09-09-85	08-09-88
426216	1 à 4	59	09-10-85	09-09-88
426217	1 et 3	32	11-09-85	10-09-88
434501	5	8	21-06-85	20-06-88
434502	1	16	21-06-85	20-06-88
435271	1 à 5	80	07-11-85	06-11-87
435272	1 à 5	80	08-11-85	07-11-87
435307	1 à 4	64	13-11-85	12-11-87
435308	1 à 3	48	15-11-85	14-11-87
435309A	1 à 4	56	12-11-85	11-11-87
435309B	5	12	13-11-85	12-11-87
435310A	1 à 2	32	15-11-85	14-11-87
435310B	3 à 5	41	14-11-85	13-11-87
435269	1 à 5	80	07-11-85	06-11-87
435270	1 à 5	80	08-11-85	07-11-87
435273	1 à 4	64	07-11-85	06-11-87
451315	1 à 5	80	05-11-86	04-11-87
451316	1 à 4	64	05-11-86	04-11-87
466860	1 et 2	32	19-01-88	18-01-89
464878	1 et 2	<u>10</u>	27-10-87	26-10-88

1 242 hectares



Kiwatin

APPENDICE 4

LISTE DU PERSONNEL

Coupe de lignes	
-bloc Est	Léo Audet Exploration Inc., Val d'Or, Québec
-bloc Ouest	Réjean Picard, Barraute, Québec
Levé géophysique	
-bloc Est	Léo Audet Exploration Inc., Val d'Or, Québec
-bloc Ouest	Val d'Or Géophysique, Val d'Or, Québec
Forage	
-bloc Est et Ouest	Sondex Inc, Val d'Or, Québec
Description et Supervision au site de forage	Nancy Reardon, B. Sc. géol. Daniel Turcotte, B. Sc. géol. Yves Méthot, M. Sc. géol. Alain Vachon, Ing. géol. KIWATIN Services Géoscientifiques
Echantillonnage et manipulation	Stéphane Lagacé Claude Nadeau KIWATIN Services Géoscientifiques
Laboratoire	Chimitec Ltée 700 rue Nérée Tremblay Ste-Foy, Québec
Planification et organisation de la campagne	Claude Britt, Expl. Brex Inc. Alain Vachon, Kiwatin Jacquelin Gauthier, Kiwatin
Mise en plan	Sylvie Rhéaune, Kiwatin Julie Tardif, Kiwatin
Traitement de texte	Olga Racicot KIWATIN Services Géoscientifiques 50 boul Lamaque, bureau 200 Val d'Or, Québec, J9P-2H6



TABLE DES MATIERES

VOLUME II

JOURNAUX DE SONDAGE

DJ-8 ⁶ 8 -03	DJ-8 7 -26
DJ-87-14	DJ-88-27
DJ-87-15	DJ-88-28
DJ-87-16	DJ-88-29
DJ-87-17	DJ-88-30
DJ-87-18	DJ-88-31
DJ-87-19	DJ-88-32
DJ-87-20	DJ-88-33
DJ-87-21	DJ-88-34
DJ-87-22	DJ-88-35
DJ-87-23	DJ-88-36
DJ-87-24	DJ-88-37
DJ-87-25	



Collet		Client EXPLORATION BREX INC.	Tests d'inclinaison			Sondage #		DJ-86-03		
Grille			Profond	Angle	Azimet	Commencé le	88-01-09			
Projet		DESJARDINS	152.50	-35.00	180.00	Terminé le	88-01-09			
Ligne 4+00 W			Propriété DESJARDINS	183.00		-34.00	Decrit par	N. REARDON		
Station 3+70 N		Canton/Rang/Lot				Date	88-01-10			
Elévation		Claim 435310-1				Longueur	57.91 m			
Azimet 180.00		Coordonnées				Co. forage	SONDEX			
Angle -46.00		Notes CASING PULLED OUT				Objectifs	To invintigate possi- ble gold zone associated with border of mag higt (by extending hole 86-03 by 200')			
						Résultats	NO GOLD ZONE INTERSECTED			
Profondeur		Description	Echantillon			Au	Ag			
De	A		Numéro	De	A	Long.	g/T	g/T		
124.97	170.20	SHEARED, PILLOW? "PSEUDO-FRAGMENTAL" v. f. to f. gr. dark gray-green with 15-20% mm to cm (but gen approx. 1 cm) green chloritic bands parallel to sch. (60 C.A.) - pillow rims? But: loc. appears fragmental, gray sections str. CB+ as 15-20% mm gray-white spots Elongated parallel to sch. - with incr. shear CB appears as mm bands parallel to sch - incr. shear and incr. CB spots downhole, occ. mm CB veins at various angles to C.A., loc. mm tension gashes 0-20 C.A. sl. to med magnetic gen Tr. to 2% PY loc. to 5% 126.10 - 126.60: sch. deflected 0 to C.A. 127.45 - 138.70 : Freg chloritic bands contain PY-CB pods to 1 cm (75-80% PY) these pods occur. as clusters in the CL bands which are gen 1-3 cm in width 3-5% PY 134.40 - 137.20 f. to m gr. mod. to str. HM+ mafic dyke pink-red to pink-								
			106901	124.97	126.50	1.53	0.03			
			106902	126.50	127.45	0.95	0.07			
			106903	127.45	129.00	1.55	0.07			
			106904	129.00	130.50	1.50	2.50			
			106905	130.50	132.00	1.50	0.03			
			106905	132.00	133.50	1.50	0.03			
			106907	133.50	134.87	1.37	0.14			
			106908	134.87	136.25	1.38	0.03			
			106909	136.25	137.20	0.95	0.03			
			106910	137.20	138.70	1.50	0.03			
			106911	138.70	140.00	1.30	0.03			
			106912	140.00	141.50	1.50	-0.03			

Profondeur		Description	Numéro	Echantillon			Au g/T	Ag g/T		
De	A			De	A	Long.				
		gray/green mottled, homogeneous, 2-3% f. diss. PY. upper contact sharp, 30 C.A. deflects sch. lower contact not seen.	106913	141.50	143.00	1.50	0.07			
			106914	143.00	144.50	1.50	0.03			
			106915	144.50	146.00	1.50	0.07			
		158.75 - 158.88	106916	146.00	147.50	1.50	-0.03			
		White/green (chloritic) mottled int. dyke sharp concordant contacts, no min.	106917	147.50	149.00	1.50	-0.03			
			106918	149.00	150.50	1.50	-0.03			
			106938	150.50	152.00	1.50	-0.03			
		168.45 - 170.20:	106919	152.00	153.47	1.47	0.13			
		incr. shear, 5-10% "white wavy" CB+	106920	155.00	156.50	1.50	0.11			
170.20	179.25	MIXED ZONE	106921	158.00	159.50	1.50	0.04			
			106922	161.00	162.50	1.50	0.45			
			106923	164.00	165.50	1.50	0.05			
		cm intercalations of volcanic and mod. green f. gr. sheared gabbro (or possible volcanic) which becomes coarser grained downhole, sch. 55-60 C.A., volcanic seditoms (as 124.97	106924	167.00	168.45	1.45	-0.03			
		170.20) are sl. SI+, occ. SI, HM+, and str. CB+	106925	168.45	169.15	0.70	-0.03			
			106926	169.15	170.20	1.05	-0.03			
			106927	170.20	171.60	1.40	-0.03			
		Tr. to 1% PY., SI magnetic,	106928	171.60	173.00	1.40	-0.03			
			106929	173.00	174.50	1.50	0.18			
			106930	174.50	175.56	1.06	-0.03			
		173.45 - 173.57:	106931	175.56	176.40	0.84	-0.03			
		sl. SI+, mod. HM+, 4% v.f. diss. PY	106932	176.40	177.50	1.10	-0.03			
			106933	177.50	178.45	0.95	-0.03			
		173.81 - 173.90:	106934	178.45	179.25	0.80	-0.03			
		sl. SI+, mod. HM+, 2% v.f. diss. PY.								
179.25	182.88	SHEARED GABBRO	106935	179.25	180.04	0.79	-0.03			
		m. gr. homogeneous mod. olive green, str. CB+, sl. to mod. EP+ (some EP-CB pods to 3 cm) mod. CL+, occ. mm to cm QZ-CB veins parallel to sch. (55-60 C.A.), occ. mm CB tension gashes 0-20 C.A. Tr. PY, sl. to mod magnetic,	106936	180.04	181.56	1.52	-0.03			
			106937	181.56	182.88	1.32	-0.03			
	182.88	E.O.H. (CASING PULLED OUT)								

Profondeur		Description	Numéro	Echantillon			Au g/T	Ag g/T		
De	A			De	A	Long.				
		131.65-132.73 spotty (CC), <1% v.f. diss. PY one 2 mm PY band in frag. at 53 C.A. cutting sch. 65 C.A.								
		135.05-135.55 2% f. diss PY a QZ vein (2 cm) with PY, 3 mm cc vein with PY								
		135.55-136.44- brecc, pale brown CC pod, 1-2% f. diss. PY								
		136.44-136.76-1-2% f. diss. PY								
		136.76-137.80-1-2% v. f. diss PY								
		137.80-138.14-v.f.g.<1%PY								
		138.38-138.99-beige alt. (CB-SI+?) 5-10% assoc. f. diss. PY perpendicular QZ assoc. frag. at 48 A.C.								
		140.87-141.36-1-2% f. diss. PY								
		141.88-142.36-1% diss PY, some PY pods								
		142.59-142.68- int. dyke gray sch. <1% v.f. diss PY sharp contacts								
		90928-includes dyke perpendicular tuff frag enriched in PY	90928	142.36	142.79	0.43	0.03			
		90929-1% f. diss PY, 144.65-144.73-int. dyke no min. sharp contacts	90929	144.07	145.07	1.00	-0.03			
		90930-1-3% f. diss PY frag 57 C.A.	90930	145.07	146.07	1.00	-0.03			
		90931-1-2% f. diss PY some CB veins <1 cm	90931	146.07	146.71	0.64	-0.03			
		90932-1-2% f. diss PY some CB veins <1 cm	90932	146.71	147.67	0.96	0.07			
		90933-1-2% f. dis PY CB pods alt. MT	90933	147.67	148.00	0.33	-0.03			
		90934-1-2% f. dis PY CB pods alt. MT	90934	148.00	149.03	1.03	-0.03			
		90934-1-2% f. diss PY incr cc spots, one QZ-CB pod 4 cm	90935	149.03	149.92	0.89	-0.03			
		90935-1-2% f. diss PY	90936	149.92	150.85	0.93	-0.03			
		90936-1-2% f. diss PY	90937	150.85	151.85	1.00	-0.03			
		90937-1-2% f. diss PY	90938	151.85	152.43	0.58	0.16			
		90938-1-2% f. diss PY	90939	152.43	152.73	0.30	-0.03			
		90939-zone of SI/HM, 2% diss PY	90940	152.73	153.78	1.05	-0.03			
		90940-1-2% f. diss PY	90941	153.78	154.80	1.02	-0.03			
		90941- idem, frags 56 to C.A.	90942	154.80	155.77	0.97	-0.03			
		90942- idem	90943	155.77	156.80	1.03	0.11			
		90943- idem	90944	156.80	157.90	1.10	-0.03			
		90944- idem, bands 60 to C.A.	90945	157.90	158.20	0.30	-0.03			

Profondeur		Description	Numéro	Echantillon			Au g/T	Ag g/T		
De	A			De	A	Long.				
		116.00-129.00- incr. CB alt. as irreg. lt. gray-green veins/lenses, to 5 cm, gen. follow sch, assoc. PY loc. to 30% occurring as bands at the margins of CB alt., PY decreasing down hole.	90902	116.40	117.36	0.96	0.64			
		-QZ and QZ-CB veins to 1.5 cm	90905	117.36	118.00	0.64	-0.03			
		-sch. gen. 50 to C.A.	90906	118.00	118.78	0.78	-0.03			
		-1% diss. cubic PY	90907	118.78	119.78	1.00	-0.03			
		116.40-117.30	90908	119.78	120.78	1.00	-0.03			
		-zone of inc. min., to 35% PY	90951	120.78	121.22	0.44	0.05			
		-loc. str. magnetic at the top of the zone.	90909	121.22	122.28	1.06	0.20			
		123.36-123.66-int. (?) dyke, doliated at 50 C.A. sharp contacts, 5 mm zone of SI+ at margins (90911)	90910	122.28	123.36	1.08	0.11			
		125.89-126.37-zone of brown red alt.-SI+ at margins.	90911	123.36	123.66	0.30	0.42			
		-90911	90912	123.66	125.01	1.35	0.13			
		125.89-126.37-zone of brown red alt.-SI+, HM poss CB (ankerite)	90913	125.01	125.89	0.88	0.04			
		-cut by 2 sets of QZ CB veins: #1: HM, no reaction to acid gen concord to sch, sometimes cuts sch. #2: approx 90 to sch, cut and displaced 5 mm by set #1	90914	125.89	123.37	0.48	-0.03			
		-2% f. diss. cubic PY	90915	126.37	127.37	1.00	-0.03			
		127.45-127.50-str. magnetic band 20% MT (1mm), 3% diss PY	90916	127.37	128.17	0.80	0.23			
		129.00-163.37-(129.00-134.60(box 20) dropped at drill)	90917	128.17	129.05	0.88	-0.03			
		-tuff, less well banded, less CB alt. varies from banded to spotty (white cc spots), sch. 53 to C.A.	90918	131.05	131.36	0.31	-0.03			
		-1-2% f. diss. PY loc. in discont. mm bands, to sch., and often cut by CB veins <1 cm	90851	131.36	131.65	0.29	-0.03			
		-non to v. st. magnetic	90919	131.65	132.73	1.08	0.06			
		131.05-131.36	90920	135.05	135.55	0.50	0.06			
		dyke (or zone of med. brown alt.?) -SI+, mineral lineation (CL?) 70-90 to C.A. <1% diss. PY	90921	135.55	136.44	0.89	0.03			
		-last 5 cm barren milky QZ, sharp contacts	90922	136.44	136.76	0.32	-0.03			
		131.42-131.65	90923	136.76	137.80	1.04	-0.03			
		-SI+, foliated (lt gray, dk gray bands (<1mm)	90924	137.80	138.14	0.34	-0.03			
		-3% diss PY	90925	138.38	138.99	0.61	0.06			
			90926	140.87	141.36	0.49	-0.03			
			90927	141.88	142.36	0.48	-0.03			

Profondeur		Description	Echantillon			Au	Ag		
De	A		Numéro	De	A	Long.	g/T	g/T	
87.40	163.37	MAFIC FRAGMENTAL TUFF	90476	81.50	82.70	1.25	-0.03		
			90477	82.75	83.17	0.42	0.04		
		-v.f. gr., dk blue gray to dk. gray green, sch., contains abundant round CC. sils to 4 mm showing regrowth (rims); also CB, QZ-CB (and QZ-CB-, field?) (reg. and irreg.) veinlets <1 cm	90478	83.17	84.40	1.23	0.21		
		-black frags. (lapilli?) to 1,5 cm rare to abundant, tuff appears banded.							
		-diss. PY. tr. to 10%, loc. in beds? <1 cm							
		-gen. non to sl. magnetic, occ. mod. magnetic.							
		84.40-90.85	90479	84.40	85.20	0.80	2.98		
		-transition zone from green sch. volcanic to tuff having alternating v. f. gr. blue gray and f. gr. green bands	90480	85.20	86.25	1.05	0.04		
		90477-some QZ-CB veins (barren), one QZ-CB. pod has 5% PY	90481	86.25	87.60	1.35	-0.03		
		-sch. (47 C.A.) cut at a shallow angle by fractures (70 C.A.) filled by cramy C.B.? and by cc veinlets approx. perpendicular to sch.	90482	87.60	87.90	0.30	-0.03		
		90479-first 50 cm: Sl+ (faint buff alt.), massive, black magnetic bands <1cm	90483	90.85	92.10	1.25	0.07		
		-2% PY v.f. diss. or assoc. with mm veins (loc. 50% PY over 4 cm), tr. C.P.	90484	92.10	93.30	1.20	0.03		
		-last 30 cm as 84.40-90.85	90485	93.30	94.30	1.00	0.06		
		90.85-116.00	90486	94.30	96.00	1.70	0.08		
		-schi. 50 to 55 to C.A.	90487	96.00	97.50	1.50	0.05		
		-zone of abundant frag. to 4 cm	90488	97.50	99.50	1.50	-0.03		
		-1 to 2% PY (diss) loc to 10% as bands <1 cm	90489	99.00	100.50	1.50	-0.03		
		-mm CC, stringers perpendicular to C.A. offsetting QZ-CB pod 2 mm	90490	100.50	102.00	1.50	-0.03		
		96.75-96.90 and 98.30-98.50	90491	102.00	102.30	0.30	-0.03		
		-zone of rusty alt., this alt. also occurs on fracture planes in this section of core.	90492	102.30	103.45	1.15	-0.03		
		102.15-102.22-pink/red (HM) dyke, contacts 90 C.A. no min.	90493	103.45	103.70	0.25	-0.03		
		103.45-103.70-pink (sl. HM) dyke, mafic, mineral lineation at 74 C.A. schi. just uphole is deflected to a greater angle	90494	103.70	104.15	0.45	-0.03		
			90495	105.80	107.00	1.20	-0.03		
			90496	107.00	108.50	1.50	-0.03		
			90497	109.00	109.90	0.90	-0.03		
			90498	110.50	111.50	1.00	-0.03		
			90499	111.50	113.00	1.50	-0.03		
			90500	113.00	114.00	1.00	-0.03		
			90904	115.00	116.00	1.00	-0.03		
			90901	116.00	116.40	0.40	0.07		

Profondeur		Description	Numéro	Echantillon			Au g/T	Ag g/T		
De	A			De	A	Long.				
		90457 HM. QZ-CB veinlets, porph PY (1%) and tr. CP.	90457	50.32	50.55	0.23	0.10			
		49.00-52.75 Occ. porph PY to 3 mm	90458	50.55	51.55	1.00	0.14			
		52.75-63.00-Brecc. incr. CB alt (30%) as irreg, contor- ted veinlets gen. concord. to well dev. sch., but often parallel to C.A.	90459	51.55	52.75	1.20	-0.03			
		-Sch loc deflected to 0-15 to C.A.	90460	52.75	54.00	1.25	0.03			
		-Occ. Sl+, HM with QZ and assoc. PY	90461	54.00	55.50	1.50	-0.03			
		-Sl. magnetic, decr. to non magnetic downhole	90462	55.50	57.00	1.50	-0.03			
		57.65-57.80-HM+, Sl+	90463	57.00	58.50	1.50	-0.03			
		61.00-61.25-Rusty alt zone with vugs.	90464	58.50	60.00	1.50	-0.03			
		63.00-64.95-Y. well foliated zone (42 C.A.) marked by the alternation of white/green bands.	90465	60.00	61.50	1.50	-0.03			
		-Iron CB last 10 cm at contact with felsic dyke (5 cm gradational).	90466	61.50	63.00	1.50	-0.03			
		64.95-66.05-Str, HM+, Sl+, well foliated at 45 to C.A.	90467	63.00	64.00	1.00	0.06			
		-QZ-feld veins <1 cm	90468	64.00	64.95	0.95	-0.03			
		-sl. magnetic	90469	64.95	66.05	1.10	-0.03			
		-2% v. f. diss. PY. (cubic)	90470	66.05	67.25	1.20	0.37			
		-sharp lower contact with 2 cm gray Sl+ zone	90471	67.25	68.25	1.00	0.05			
		66.05-67.25-Zone having to 100% gray Sl+ and irreg. Qz-feld veins and pods in brecc. zone.	90472	71.80	72.90	1.10	0.04			
		-loc. sch. is 30 to C.A. (in brecc. zone).	90473	75.00	76.20	1.20	0.04			
		-2% diss. PY incr. to 5% diss or 10%-15% in bands <1 cm in brecc. zone	90474	76.85	77.40	0.55	0.09			
		67.25-84.40-inc. PY to 3%, f. diss or mm bands assoc. with C.B veins/pods	90475	81.00	81.50	0.50	0.11			
		82.75-83.17-int. dyke, white/green mm discont. bands, no min.								
		91475- at 81.08-Sil. zone (4 cm- QZ veins containing 5-7% f. diss. PY.								

Profondeur		Description	Echantillon				Au	Ag		
De	A		Numéro	De	A	Long.	g/T	g/T		
		90945 dk brown/gray alt. (or dyke?) with patchy CB sharp	90946	158.20	159.17	0.97	-0.03			
		irreg. contacts, 2% f. diss. PY	90947	159.17	160.15	0.98	-0.03			
		90946-1-2% diss. PY, sch. 70 to C.A.	90948	160.15	161.20	1.05	-0.03			
		90947-1-2% f. diss. PY	90949	161.20	162.17	0.97	-0.03			
		90948-idem	90950	162.17	162.81	0.64	-0.03			
		90949-idem								
		90950-1%r. diss. PY								
163.37		E.I.H. (CASING LEFT IN HOLE)								

Collet		Client EXPLORATION BREX INC.	Tests d'inclinaison			Sondage		DJ-87-15	
Grille			Profond	Angle	Azimut	Commencé le	87-11-11		
Ligne 8+25W		Projet	COLLAR	-50.00	180.00	Terminé le	87-11-13		
Station 3+25N		Propriété DESJARDINS	61.00	-48.00		Décrit par	N. REARDON		
Elévation		Canton/Rang/Lot DESJARDINS	122.00	-40.00		Date	87-12-03		
Azimut 180.00		Claim 435309-3	200.00	-40.00		Longueur	203.00 m		
Angle -50.00		Coordonnées				Co. forage	SONDEX		
Profondeur		Notes CASING LEFT IN				Objectifs	TEST GOLD ZONE OF 87-10 AT 25 M		
De	A	Description	Numéro	Echantillon		Long.	Au g/T	Ag g/T	
0.00	15.85	OVERBURDEN		De	A				
15.85	91.82	SHEARED MAFIC VOLCANIC (BASALT)	22601	21.20	22.20	1.00	0.03		
		-f gr, dk green, gen quite homogeneous rock having a well dev sch at 40 to 55 to C.A. marked by mineral foliation and sometimes by CB. alt. as bands parallel to sch.	22602	22.20	22.80	0.60	-0.03		
		-str CB (CC) alt. as f diss. grains, veins (mm to cm) and lenses. This alt. is both concord. and discord. to the sch.	22603	22.80	23.80	1.00	-0.03		
		-frac and sch, planes are commonly CL	22604	23.80	24.75	0.95	0.29		
		-non to mod. magnetic, loc having MT as pods to 3 mm or as euhedral sls. to 1 mm	22605	27.40	28.58	1.18	-0.03		
		-0 to 2% f. diss. PY loc to 6% f. diss. PY	22606	30.23	31.23	1.00	-0.03		
		-lower contact gradational over 10 cm with frag tuff	22607	31.50	32.31	0.81	-0.03		
		15.85-24.75	22608	32.31	33.06	0.75	-0.03		
		-sl coarser gr. than typical rock, lighter in colour (green/white specks), v. sl magnetic	22609	33.06	33.89	0.83	-0.03		
		-QZ-CB (feldspaths) irreg. veins to 5 cm cutting sch.; CB alt. with CL and cubic or f. diss. PY to 25%	22610	33.95	34.95	1.00	-0.03		
		-tr to 2% PY diss. or as discont. mm bands assoc. with CB alt. or QZ-CB veins	22611	35.20	38.85	0.65	-0.03		
		20.40-21.05	22612	39.10	39.90	0.80	-0.03		
		zone of rusty alt with some rubble	22613	40.40	41.24	0.84	-0.03		
			22614	41.75	42.05	0.30	-0.03		

Profondeur		Description	Numéro	Echantillon		Long.	Au g/T	Ag g/T		
De	A			De	A					
		24.75-56.75	22615	42.05	43.05	1.00	-0.03			
		-darker (dk green), finer gr, non to mod magnetic.	22616	43.05	44.05	1.00	0.12			
		-sch 48 to C.A.								
		-QZ veins absent	22617	44.50	45.50	1.00	-0.03			
		-CB alt. reduces 33.84-41.80	22618	45.50	46.50	1.00	-0.03			
		-PY 1-3% as f. diss. or in discont. beds assoc. with CB alt.	22619	46.50	46.80	0.30	-0.03			
			22620	46.80	47.35	0.80	-0.03			
		31.50-32.31								
		-zone of str. sil., HM., reddish brown to brown gray, 2% diss and cubic (to 1 mm) PY-CB veins <0.5 cm often	22621	47.72	48.52	0.80	-0.03			
		contain PY, <1 mm fractures with chl also have assoc. PY	22622	48.52	49.52	1.00	-0.03			
			22623	49.52	50.60	1.08	0.03			
			22624	50.60	51.50	0.90	-0.03			
		43.75-47.00	22625	51.50	52.20	0.70	-0.03			
		-common rusty to yellow brown CB alt. on frac	22626	52.20	53.20	1.00	0.14			
		42.25-45.65 barren white or pink irreg. veins/pods of CB to 2 cm	22648	53.90	54.75	0.85	-0.03			
		44.75-46.80 MT (to 1 mm) to 20% assoc. with CB altr.	22649	54.75	56.00	1.25	-0.03			
		47.72-48.52	22650	56.00	56.75	0.75	-0.03			
		-diorite (?) dyke, well foliated, sharp contacts								
		-tr. PY	260501	59.00	60.00	1.00	-0.03			
		53.90-56.75	260502	60.67	60.97	0.30	-0.03			
		-CB alt. as irreg bands/pods with QZ								
		-some minor HM, iron CB alt. on frac.	260503	62.00	62.79	0.79	-0.03			
		-CB veins to 5 mm run parallel to C.A.								
		-1-2% v.f. diss PY, minor MT	260504	63.30	63.70	0.40	-0.03			
		56.75-63.98								
		incr (str) CB alt, as discont. bands gen <1 mm and black- green CL bands both of which follow the sch. (53 to C.A.)	260505	64.20	64.70	0.50	-0.03			
		Loc. HM bands with sharp contacts (cm) to 15% MT, 1-2% f. diss. PY	260506	65.00	65.50	0.50	-0.03			
			260549	73.80	74.80	1.00	0.04			
		63.98-64.76 gabbro will?	22627	74.80	75.10	0.30	0.60			
		-CB alt. bands more discont., dk gray spots to 3 mm of CL or BI	22628	75.10	75.70	0.60	1.87			
		-sch less well defined	260507	75.70	77.00	1.30	-0.03			
		-1% diss. PY	22629	77.00	77.70	0.70	-0.03			
			260508	77.70	78.85	1.15	0.03			

Profondeur		Description	Numéro	Echantillon		Long.	Au g/T	Ag g/T		
De	A			De	A					
		64.76-65.84	260509	78.85	79.85	1.00	0.18			
		-no BI pods, little CB alt. (volc frag ? mafic duke ?)	260510	79.85	80.85	1.00	0.04			
		-well dev sch. 50 to C.A.	260511	80.85	82.00	1.15	0.03			
		65.84-73.95	260512	82.00	82.50	0.50	-0.03			
		as 63.98-64.76 but becoming darker. incr. MT (to 20%,	260513	82.50	82.80	0.30	-0.03			
		xls to 4 mm), incr PY (to 3%)	260514	82.80	84.10	1.30	-0.03			
		73.95-74.80	260515	84.10	84.80	0.70	-0.03			
		return to sheared volcanic, well defined sch.	260516	84.80	85.60	0.80	0.20			
		-<1% f. diss PY	260517	85.60	86.00	0.40	0.03			
		74.80-91.82	260518	86.75	87.25	0.50	0.16			
		CB alt. sheared (micro frac), folded								
		-QZ-CB pods to 1 cm (one with assoc (at 76.90) PY band	260519	88.78	89.10	0.32	-0.03			
		3 mm is tightly kink folded)								
		-slip (1-2 mm) occurs along CL bands 1-2 mm	260520	89.45	90.00	0.55	-0.03			
		-to 1% f. diss. PY, rare pods to 5 mm								
		-shear decr downhole becoming discont. alternating with	260521	91.00	91.45	0.45	-0.03			
		zones of undisturbed sch 52 to C.A.								
		-freq zones of rusty iron CB alt. 10-20 cm								
		-v. wk magnetic								
		-a second less common set of QZ-CB veins cut sch at approx.								
		90 A.C.								
		260516-contains 15 cm zone of irreg CB alt. with 3% f.								
		diss PY.								
		260517-SI, HM zone with <1% f. diss. PY, tr. CP, grada-								
		tional contacts								
91.82	137.70	MAFIC GRAGMENTAL TUFF	260522	91.90	93.00	1.10	0.05			
			22630	93.00	93.30	0.30	1.57			
		-v. f. gr dk blue-gray to dk gray-green	260548	93.30	94.30	1.00	0.05			
		-well dev sch marked by CL bands 50-55 to C.A.	260615	94.30	95.40	1.10	-0.03			
		-freq well banded and containing abundant frag (lapilli) to	260547	95.40	96.40	1.00	0.03			
		5 cm	22631	96.40	96.95	0.55	11.10			
		-sometimes spotty with round (flattened) CC xls to 3 mm	260546	97.00	97.65	0.70	-0.03			
		-gen 1-2% f. diss. PY but with freq discont. to cont. PY	260523	97.65	98.30	0.65	-0.03			
		bands to 5 cm (90% PY) concord or discord to sch.	260524	98.30	99.30	1.00	0.03			
		-wk to str. magnetic MT as diss. grains with PY or as	260525	99.30	100.10	0.80	0.04			

Profondeur		Description	Numéro	Echantillon		Long.	Au g/T	Ag g/T		
De	A			De	A					
		aphanitic black pods.	22632	100.10	100.40	0.30	1.89			
		- pervasive CB as mm bands parallel to sch, fracture filling	260526	100.40	101.40	1.00	-0.03			
		both perpendicular to sch. Also cut by mm to cm QZ-CB	260527	101.40	101.80	0.40	0.05			
		veins both concord and discord to sch.	260528	101.80	102.80	1.00	0.04			
		- Lower contact gradual over 6 m, intercalated with basalt	260529	102.80	103.10	0.30	-0.03			
		91.82-97.40	260530	103.10	104.10	1.00	0.03			
		freq rusty alt. on frac surfaces perpendicular to sch or	22633	104.10	104.50	0.40	0.63			
		parallel to C.A. sometimes frac have open spaces 2 mm.	260531	104.50	106.00	1.50	-0.03			
		This alt. has permeated the rock along planes of sch away	260532	106.00	107.00	1.00	-0.03			
		from frac.	260533	107.00	107.60	0.60	-0.03			
		22630-buff alt. with QZ, CB as irreg veins to 3 cm and	260534	107.60	109.00	1.40	-0.03			
		assoc. PY (cubic) approx. 7%	260535	109.00	109.90	0.90	0.03			
		22631-buff alt. as brecc frags, with QZ, CC, TO, CL, f. diss.	260536	109.90	110.14	0.24	-0.03			
		cc has yellow alt. on frac.	260537	110.14	110.90	0.76	0.09			
		- 15% cubic PY < 1 mm	260538	110.90	112.00	1.10	0.04			
			260539	112.00	112.90	0.90	0.05			
		22632-includes zone of buff alt. (SI) with QZ-CB - 30% f.	22634	112.90	113.30	0.40	0.12			
		diss PY	260540	113.30	114.60	1.30	0.05			
			260541	114.60	115.75	1.15	0.03			
		102.80-114.75-common QZ and CC (often yellow) vein to	260542	115.75	116.63	0.88	0.05			
		2 cm both semi-concord and discord to sch., boudinaged	260543	116.63	117.75	1.12	0.03			
		(and in one case also folded tightly?)	260544	117.75	118.40	0.65	-0.03			
		260529-contains 2 boudinaged QZ vein 1-2 cm, gen. con-	22635	118.40	118.85	0.45	-0.03			
		cord with sch. containing black needle-like tourmaline	260545	118.85	120.00	1.15	0.04			
		- 1% PY	260550	120.00	121.35	1.35	-0.03			
		22633-includes (1) QZ vein 4 cm with CB with	260551	121.35	121.75	0.40	0.05			
		brecc frags of beige/gray SI+, alt. No min. within QZ vein	260552	121.75	122.30	0.55	0.07			
		(2) 3 cm. irreg. QZ-feld? vein with CB, tourmaline and	260553	122.30	122.90	0.60	0.03			
		adjacent cubic PY pods to 3 mm. gen 3% diss. PY minor CP	260554	122.90	123.20	0.30	-0.03			
		v. wk magnetic sch, 54 to C. A.	260555	123.20	124.00	0.80	0.04			
		26536-pinkish gray int. dyke (?) with 2% v.f. diss PY	22636	124.00	124.50	0.50	-0.03			
		sharp contacts, cut by frac. semi-parallel to C. A. having	22637	124.50	125.00	0.50	-0.03			
		pink alt. haloes	22638	125.00	125.50	0.50	0.10			
		260537-contains 15 cm zone with SI+ and 15% f. diss. PY	22639	125.50	126.00	0.50	0.30			
		-sch at 56 to C.A.	22640	126.00	126.50	0.50	0.26			
		22634-contains 15 cm brown-gray zone. SI+, CB, with	260556	126.50	127.05	0.55	0.05			
		20% f. diss. PY	260557	127.05	127.70	0.65	-0.03			
		260540-PY (f. diss) rich CB bands with MT?, sl coarser gr	260558	127.70	128.25	0.55	0.19			

Profondeur		Description	Numéro	Echantillon		Long.	Au g/T	Ag g/T		
De	A			De	A					
		260563- 10 cm zone of discont. 2-3 mm PY bands, folded, and QZ-CB vein with PY, also folded. Also includes adjacent zone of dk brown-mauve SI+ (no PY) which runs as bands approx. parallel to C.A. and cut by mm QZ-CB veins approx. parallel to sch.								
		260566- bands of SI+, PY as bands, one pod to 2 cm, mm QZ-CB veins cut sch are approx. perpendicular to C.A. and cut earlier mm QZ veins approx parallel to sch.								
		260567- brecc, QZ-CB veins 1-0 to sch. 2-90 to sch.								
		3-15 to C.A., some SI+								
		260568- sheared mafic volcanic (basalt) with in tuff								
		260569- tuff with some pyritic/CB bands <1 cm sch. 62 to C.A. with str magnetic black bands to 3 cm.								
		260570- inc. PY hands (MT bands as 260569), 5% to PY lower contact gradational, last 3 m contain intercalation of tuff								
137.70	169.00	SHEARED MAFIC VOLCANIC (basalt) (as 15.82-91.82)	260571	137.70	138.54	0.84	-0.03			
		260571- lighter in colour, no banding as in tuff (basalt?)	260576	138.54	138.90	0.36	-0.03			
		QZ, CB veins sl. HM, non magnetic, sch 60 C.A., 1% f. diss PY	260572	138.90	139.15	0.25	-0.03			
		260572- in. dyke white/green/brown mottled, 1% f. diss. PY non magnetic	260573	139.85	140.18	0.33	-0.03			
		260573- incr. CB alt., minor SI+ 1% f. diss. PY assoc. with black MT bands	260574	140.75	141.25	0.50	-0.03			
		260574- mod magnetic, 15% f. diss. MT, 1 mm	22641	142.35	142.85	0.50	0.12			
			22642	142.85	143.50	0.65	-0.03			
			22643	143.50	143.90	0.40	-0.03			
		22641- zone of incr CB alt. with brecc of beig. SI+ alt. and QZ pods, 1 cm, 5-10% MT, 1 mm, one PY stringer, 1 mm	22644	143.90	144.35	0.45	-0.03			
		is wavy, irreg. (microfolded?)	22645	144.35	144.75	0.40	0.04			
			260575	144.75	145.08	0.33	0.04			

Collet		Client	Tests d'inclinaison			Sondage		DJ-87-16D	
		EXPLORATION BREX INC.	Profond	Angle	Azimat	Commencé le	87-11-13		
Grille	Projet		COLLAR	-50.00	180.00	Terminé le	87-11-18		
Ligne	Propriété		30.50	-49.00		Décrit par	A. YACHON		
7+75W	DESJARDINS		61.00	-49.00		Date	87-11-24		
Station	Canton/Rang/Lot		90.50	-48.00		Longueur	181.66 m		
3+44N	DESJARDINS		122.00	-48.00		Co. forage	SONDEX		
Elévation	Claim		152.50	-48.00		Objectifs	TEST EAST.		
	435309-3					EXTENSION OF 87-10			
Azimat	Coordonnées					Résultats			
180.00						A SIMILAR ZONE HAS BEEN INTERSECTED FROM 94.45 TO 96.80			
Angle	Notes								
-50.00	CASING LEFT IN								
Profondeur		Description	Echantillon			Au	Ag		
De	A		Numéro	De	A	Long.	g/T	g/T	
0.00	19.51	OVERBURDEN							
19.51	36.36	SHEARED BASALT-GABBRO	90418	24.00	25.00	1.00	0.05		
		Medium green, fine to medium grained, strongly schistose, 10 to 20% spotted chloritized amphibole (2-4 mm), weakly to mod. magnetic, increasing down hole, strongly chloritized, 5% C.B. veinlets at all core angle, weak carbonatization of the matrix (some CB veins appear to be affected by the schistosity: at least 2 ages of veins are visible), become fine grained in last 3 meters. also fairly well schistosed at 50 C.A., Tr to 1% diss PY. occasionnal Tr. CP	90419	27.00	28.50	1.50	-0.03		
			90420	29.90	30.90	1.00	-0.03		
			90421	34.60	35.60	1.00	-0.03		
			90422	35.60	36.36	0.76	-0.03		
		24.35 - 24.85: Pale greenish-grey section, intense CB, QZ-CB, veins at lower contact. Tr PY							
		34.60 - 36.36: Increasing schistosity, intensity 10% QZ-CB veins, 1% PY lower contact sharp at 50 C.A.							

Profondeur		Description	Numéro	Echantillon			Au	Ag			
De	A			De	A	Long.	g/T	g/T			
36.36	48.20	FRAGMENTAL VOLCANICS	90423	36.36	37.50	1.14	-0.03				
			90424	37.50	39.00	1.50	-0.03				
		Dark grey to greenish grey, very fine grained mod. silicified matrix, also chloritized and CB, hard rock, 20-30% elongated QZ-CB-feld fragments locally appearing as beds., occasionally broken up (transposition), good schistosity at 50 C.A., 5-10% white xtals (carbonate) through the unit. 2-5 mm in size possible amygdules, mod to strongly magnetic throughout. Minor green CL zones are not magnetic., Tr to 1% finely diss PY, Tr. CP	90425	39.00	40.50	1.50	0.13				
			90426	40.50	42.00	1.50	0.07				
			90427	42.00	43.50	1.50	-0.03				
			90428	43.50	45.00	1.50	-0.03				
			90429	45.00	45.75	0.75	-0.03				
			90430	45.75	46.40	0.60	-0.03				
			90431	46.40	47.00	0.60	-0.03				
			90432	47.00	47.50	0.50	-0.03				
			90433	47.50	48.20	0.70	-0.03				
			45.75 - 46.40: Grey silicified zone, 2% PY, 5% QZ, vein (boudinage) very hard rock.								
			46.40 - 48.70: Well bedded zone: white fel beds (2-10 mm) alternating rapidly in a green mafic rock, bedding at 40% C.A. some MT beds, iron formation?								
	47.00 - 47.20: Fault - fold zone, Z shape fold, dextral fault, millimetric veinlets HM.										
	47.50 - 47.20: Light grey silicified zone, schistosity at 50 C.A. 5% QZ-CB veinlets at 30, 50 and 60 C.A. some mm to cm slightly buff zone - 2% PY										
48.20	68.40	SHEARED AND SILICIFIED TUFF	90434	48.20	49.20	1.00	-0.03				
		(same unit than above - intently altered-sheared), the rock is grey, aphanitic, with 10-15% diffuse felsic porphyritic, fragments. The matrix becomes locally green (chloritized) and fragments are much visible that in the silicified one. There are abundant veins, streaks and beds of massive magnetite varying from 1 mm to 20 cm in size. The matrix is also highly magnetic (fine diss MT.)	90435	49.20	50.20	1.00	-0.03				
			90436	50.20	50.90	0.70	-0.03				
			90437	50.90	52.00	1.10	0.05				
			90438	52.00	53.00	1.00	0.03				
			90439	53.00	53.90	0.90	0.07				
			90440	53.90	54.20	0.30	0.04				
			90401	54.20	54.60	0.40	0.18				
	90441	54.60	55.40	0.80	0.03						

Profondeur		Description	Numéro	Echantillon			Au g/T	Ag g/T		
De	A			De	A	Long.				
		The rock is criss-crossed by several veinlets of QZ-CB, CB QZ-AB-CB at any angle of C.A., 2 or 3 different ages of veins one is pre-formation and other(s) are syn. to tardi tectonic. Bleached, silicified and hematized zones are abundant, schistosity varies from 35-60 - common angle at 50 C.A.	90442	55.40	56.40	1.00	0.38			
			90443	56.40	56.90	0.50	0.04			
			90402	56.90	57.80	0.90	0.48			
			90444	57.80	58.30	0.50	-0.03			
			90445	58.30	59.00	0.70	-0.03			
			90446	59.00	59.80	0.80	-0.03			
		1-3% diss PY Tr. PY. local pods or veins up to 10% PY abundant QZ pods as tension gash - Fault zone+ brecciation + highly fractured.	90447	59.80	60.70	0.90	-0.03			
			90403	60.70	61.50	0.35	2.21			
			90417	61.50	61.35	0.30	0.17			
		48.20 - 50.90: Well developed schistosity at 50 C.A. around 50, 30, a weak zone of buff alteration, 2-3% PY.	90404	61.35	62.25	0.90	-0.03			
			90416	62.25	62.80	0.55	-0.03			
			90405	62.80	63.80	1.00	0.11			
			90406	63.80	65.30	1.50	0.20			
			90407	65.30	65.60	0.30	-0.03			
		50.90 - 54.20: Zone of intense fracturation - brecciation - filled by QZ-AB -CB.	90408	65.60	65.84	0.24	-0.03			
			90409	65.84	66.30	0.46	-0.03			
			90410	66.30	66.75	0.45	0.05			
			90411	66.75	67.65	0.90	0.04			
		52.10 - 52.20: Massive MT	90412	67.65	68.40	0.75	0.06			
		52.10 - 52.80: 5-7% PY								
		53.90 - 54.30: 5% PY., some MT beds with dragging along shear plans - 54.15 zone of hematization - sch. 50 C.A.								
		54.20 - 54.60: Shearing at 60 C.A., 5% QZ veins at 70% C.A., 5 to locally 20% fine diss PY. highly silicified, some buff and hematite alt.								
		54.60 - 56.90 as 50.90 - 54.20: Purple tint appears locally - some PY in micro folded veins with rich dragged MT beds. PY. content varies from 1-3% shearing at 50 C.A. weak development of buff alt. in last 15 cm.								

Profondeur		Description	Numéro	Echantillon			Au g/T	Ag g/T		
De	A			De	A	Long.				
		64.00 - 64.55: Buff altered zone with hematite, 5-7% PY								
		64.55 - 64.95: Greenish grey rock, chloritic.								
		64.95 - 65.30: Buff silicified quartz veins zone-strong brecciation, 5-10% diss. PY.								
		65.30 - 65.84: Intermediate dyke, shearing at 50 C.A. 5% diss. PY in the last 24 cm.								
		65.84 - 68.40: Same tuff, grey silicified 5-20% QZ injections, 3-5 diss. PY, at 66.50 good CP as blebs (1 cm) in a QZ veins., local hematite PY occurs as diss and beds at 50 C.A. local PY up to 25%, 67.70: typical buff alteration zone (5 cm) with 10% PY shearing at 40% C.A.								
68.40	81.14	FRAGMENTAL VOLCANICS AS 36.36 to 48.20	90413	68.40	69.10	0.70	-0.03			
			90414	69.10	70.10	1.00	-0.03			
		Alternating massive sections with fragmentals ones. Frag- ments are of felsic compositions (QZ-CB-AB), they are also injected by QZ-CB veins which are restricted to the frag- ments. They composed up to 40% of the rock. Matrix is highly chloritized.	90415	70.10	71.00	0.90	-0.03			
			90448	71.00	72.00	1.00	-0.03			
			90449	72.00	73.00	1.00	-0.03			
			90450	73.00	74.00	1.00	-0.03			
			90952	74.00	75.00	1.00	-0.03			
			90953	75.00	76.00	1.00	-0.03			
		68.40 - 73.00	90954	76.00	77.00	1.00	0.03			
		Fine grained schistose chloritized volcanics, moderatly sili- cified 3-5% PY.	90955	77.00	78.00	1.00	-0.03			
			90956	78.00	79.00	1.00	-0.03			
			90957	79.00	80.00	1.00	-0.03			
		73.00 - 81.14: Highly fragmentals, 5% MT beds, schistosity varies from 35-45% C.A., Matrix generally chloritized and less sili-	90958	80.00	81.14	1.14	-0.03			

Profondeur		Description	Numéro	Echantillon			Au g/T	Ag g/T		
De	A			De	A	Long.				
		95.00 - 95.60: Grey and SI zone 1% PY. 90973: well sheared, loc. sil. bands 3-5% diss. PY 90974 and 90975: well banded tuff at 45 C.A., 1% diss. PY 90979: 5% diss. and veins of PY								
		105.90 - 107.90: 10 centimetric zones of patchy (fragments) greenish grey alteration - silification with 5-10% PY and fine grained magnetite (zone similar to the one in hole 87-14)								
		108.60 - 108.90: Pale green silicified - epidotized? zone with 5% diss. PY. MT.								
		112.30 - 112.50: Occasional bands of buff altered zones. <1% PY.								
		113.43 - 113.52: Zone of buff alteration, one quartz vein in the middle of the zone - 3% PY.								
		114.61 - 114.90: Grey silification zone.								
		115.18 - 115.43: Fine to medium schistose intermediate to felsic dyke. Both contacts are sharp at 70 C.A.	90991	116.70	117.00	0.30	-0.03			
			90992	117.00	118.00	1.00	-0.03			
		116.00 - 118.90: Fairly massive green homogeneous section - basalt?	90993	118.90	120.00	1.10	-0.03			
			90994	120.00	121.40	1.40	-0.03			
			90995	124.52	125.30	0.78	-0.03			
		116.77 - 116.86: Light buff alteration zone, developpement along folded/irregular QZ-CB-vein. 3% diss. PY.	90996	125.30	126.40	11.00	-0.03			
			90997	126.40	127.00	0.60	-0.03			
			90998	127.00	127.93	0.93	-0.03			
			90999	127.93	128.30	0.37	0.04			

Profondeur		Description	Echantillon			Au	Ag		
De	A		Numéro	De	A	Long.	g/T	g/T	
134.47	181.66	MAFIC VOLCANICS (BASALT/TUFF)	174606	134.47	134.79	0.32	-0.03		
		Fine grained greenish grey rock, well schistosed at 45-50 C.A., Colour indicates a mafic composition, several narrow zones with relics of stretched lapilli of intermediate composition - some larger centimetric (up to 20 cm) pale green to grey zone could also be interpreted as blocks	174607	134.79	135.70	0.91	-0.03		
		Possible QZ-CB amygdules? throughout. Magnetic varies from v. weak from 134.40 to 146.00 to moderate from 146.00 to 157 to weak up to the end of the unit. 3% finely diss. or veinlets of PY locally up to 10% over few cm.	174608	135.70	137.00	1.30	-0.03		
		134.47 - 134.79:	174609	137.00	138.45	1.45	0.05		
		Pale yellow green zone with 10% oriented forest green mica (fuchsite) at 55 C.A. parallel to both contacts. 3% very finely diss. PY.	174610	138.45	139.20	0.75	0.05		
		135.52 - 135.65 as 134.47 - 134.79:	174611	139.20	140.20	1.00	-0.03		
		<1% PY	174612	140.20	141.20	1.00	-0.03		
		137.23 - 137.46 as 134.47 - 134.79:							
		<1% PY							
		138.45 - 138.65:							
		Grey siliceous zone - some millimetric QZ veinlets at 138.55 QZ-CB. veinlets with buff altered walls (<1 cm) 1-2% PY.							
		145.00 - 145.55:	174613	144.00	145.00	1.00	0.03		
		Greyish zone - appear fine gr. - granular - altered due a sub - parallel white - CB-QZ veins at 15 C.A. no sulphides.	174614	145.00	145.55	0.55	0.03		
		150.64 - 150.86:	174615	145.55	146.50	0.95	0.03		
		Zone with 10-15% veining shearing at 55 C.A. Host rock chloritized and wk buff altered	174616	149.90	150.60	0.70	0.03		
			174617	150.60	150.90	0.30	0.14		
			174618	150.90	151.50	0.60	-0.03		

Profondeur		Description	Numéro	Echantillon			Au g/T	Ag g/T		
De	A			De	A	Long.				
		151.30 - 151.45: Weak buff alteration 3% diss. PY	174619	155.50	156.20	0.70	-0.03			
			174620	156.20	156.55	0.35	-0.03			
			174621	156.55	157.50	0.95	-0.03			
		156.23 - 156.55: Zone of QZ injection at 70 C.A., rock is pale grey to weakly buff, sheared at 50 C.A. micro-folding and offsetting of the QZ veins. 20% PY. over 10 first cm, 1-3 % in the rest of the sample.								
		162.80 - 162.93: Int. to felsic dyke sharp contact at 90 C.A.								
		168.35 - : Fine irregular QZ veinlets with a single Tr. of CP	174622	168.00	168.83	0.83	-0.03			
			174623	168.83	169.15	0.32	-0.03			
			174624	169.15	169.70	0.55	-0.03			
		168.83 - 169.13: QZ veins at 10 C.A. Host rock becomes light grey and look granular. No visible sulphides. irregular and sharp contacts of the altered zone.	174625	174.80	176.00	1.20	-0.03			
			174626	176.00	177.00	1.00	-0.03			
			174627	177.00	178.00	1.00	-0.03			
		174.80 - 178.00: mm to cm QZ Veinlets at 55 C.A. with, 1-3% diss. PY. and Tr. CP.								
	181.66	END OF THE HOLE (CASING LEFT IN)								

Collet		Client	Tests d'inclinaison			Sondage #				
		EXPLORATION BREX INC.	Profond	Angle	Azimet	DJ-87-17				
Grille	Projet		COLLAR	-50.00	180.00	Commencé le		87-11-18		
Ligne	Propriété		30.50	-48.00		Terminé le		87-11-19		
8+00 W	DESJARDINS		61.00	-48.00		Décrit par		Alain Yachon		
Station	Canton/Rang/Lot		91.50	-47.00		Date		87-11-26		
3+10 N	DESJARDINS		122.00	-47.00		Longueur		138.99 m		
Elévation	Claim		135.94	-46.00		Co. forage		SONDEX		
	435309-3					Objectifs		Test at depth (25 m under) gold in 87-10. Not inters. same min. unit in 87-14		
Azimet	Coordonnées					Résultats		ZONE NOT INTERSECTED SAME MINERALIZED UNIT CUT IN HOLE 87-14 OBSERVED FROM 88.00 - 89.10		
180°										
Angle	Notes									
-50°	CASING PULLED OUT									
Profondeur		Description	Echantillon			Au	Ag			
De	A		Numéro	De	A	Long.	g/T	g/T		
0.00	20.12	OVERBURDEN								
20.12	54.00	SHEARED MAFIC VOLCANICS (basalt)	174651	20.12	20.90	0.78	-0.03			
		-very fine to fine grained rock, green to locally greenish grey with a strong schistosity which varies from 50 at the top of the hole to 35 C.A. near the lower contact.	174652	20.90	22.30	1.40	-0.03			
		-the schistosity is well underlined by 10-20% mm QZ-CB injections. The matrix is variably chloritized, silicified, carbonatized and hematized.	174653	23.90	25.20	1.30	-0.03			
		-magnetic varies from nil to strong	174654	30.00	30.80	0.80	0.03			
		20,12 - 30,00 - mod to strong, 5% diss. MT	174655	30.80	31.60	0.80	0.04			
		30,00 - 37,50 - very weak to nil	174656	34.00	35.00	1.00	1.06			
		37,50 - 46,00 - mod. to strong	174657	35.00	35.80	0.80	0.07			
		46,00 - 52,30 - very weak	174658	35.80	36.36	0.56	0.33			
		52,30 - 55,00 - mod to strong, 10% diss. MT.	174659	36.36	36.82	0.46	0.20			
		1% - 2% diss. PY at top of the hole porphyroblastic xtals; generally as fine diss., coatings or veinlet. tr PY.	174660	36.82	37.75	0.93	0.46			
		20,90 - 25,75: silicified zone - greyish to locally brownish, highly fractured with abundant tension gashes	174661	37.75	39.00	1.25	0.07			
		5% very fine QZ-CB veinlets perpendicular to schistosity	174662	39.00	40.50	1.50	0.06			
		at 55 C.a. sharp contacts with chloritized basalt. Near the lower contact, the schistosity runs at 30 C.A. some frac-	174663	40.50	42.00	1.50	0.04			
		at 30 C.A. some fracturing at 0 C.A.	174664	42.00	42.84	0.84	0.13			
			174665	42.84	44.04	1.20	0.04			
			174666	44.04	44.50	0.46	1.05			
			174667	44.50	45.20	0.70	-0.03			
			174668	45.20	46.30	1.10	0.08			
			174669	46.30	47.70	1.40	-0.03			
			174670	47.70	49.00	1.30	0.04			

Profondeur		Description	Numéro	Echantillon			Au g/T	Ag g/T		
De	A			De	A	Long.				
		25,75 - 37,00: Abundant fracturing at 0 C.A. filled by QZ-CB veinlets some CB-QZ veinlets are strongly affected by this deformation	174671	49.00	49.60	0.60	0.09			
		30,00 - 31,60: 10% weakly hematized concordant QZ veinlets	174672	49.60	50.50	0.90	1.57			
		34,00 - 35,00: pseudo-banding at 35-40 C.A. pale felsic bands are mod. hem. 2% diss. PY.	174673	50.50	51.50	1.00	0.05			
		36,00 : Kink bands, Z shape deformation	174674	51.50	53.00	1.50	0.03			
		36,36 - 36,82: strongly deformed zone - fault 35% QZ-CB veins at 25 C.A. A 16 cm vein with 10% PY as fine veinlet or diss grains.	174675	53.00	53.85	0.85	-0.03			
		36,82 - 42,84: 3-5% diss. PY	174676	53.85	55.00	1.15	0.05			
		37,70 - : 2 ages of pyrite can be observed - the first is a concordant mineralization at 30 C.A. the second cuts the schistosity through a QZ-CB vein at 80 C.A.								
		44,04 - 46,30: strong deformation at 0 C.A. schistosity and veins at 40 C.A. strongly affected.								
		15% QZ veins material some kink banding and micro folding, Z shape, 1-3% diss. PY.								
		49,60 - 50,50: 25% QZ-CB injections at all core angle. Prominent angle of schis. at 35 C.A. some faulting and folding up to 50,30 - narrow irregular zones of buff alteration along QZ veins walls. - 3% diss. PY.								
		53,00 - 53,85: 35% white felsic bands at 35 C.A.								
		53,85 - 55,00: dark grey chloritized and ankeritized zone shearing at 35 C.A.								
		Lower contact at 35 C.A.								
54.00	138.99	AMYGDALOIDAL FRAGMENTAL SHEARED BASALT	174677	55.00	55.65	0.65	1.43			
		Aphanitic to very fine grained rock, generally light to dark grey, locally green and rusty. Mod. hardness. Overall composition is intermediate.	174678	55.65	56.00	0.35	6.62			
		Well developed schis. at 50 C.A., Occasional zones of banding at 50 C.A.	174679	56.00	56.50	0.50	0.32			
			174680	56.50	58.00	1.50	0.06			
			174681	58.00	59.15	1.15	0.03			
			174682	59.15	59.63	0.48	1.10			
			174683	59.63	60.70	1.07	0.06			

Profondeur		Description	Numéro	Echantillon		Long.	Au g/T	Ag g/T		
De	A			De	A					
		5% fine (mm to 10 mm) QZ-CB veinlets generally, parallel to the schistosity	174684	60.70	61.20	0.50	-0.03			
			174685	62.79	64.00	1.21	-0.03			
		- network of veins cross-cutting perpendicularly the main schistosity	174686	67.40	67.95	0.55	-0.03			
		- Mod pervasive silicification, most of schistosity planes are chloritized (black)	174687	67.95	68.80	0.85	-0.03			
		- possible lapilli and blocks, very diffuse and strongly affected by the sch.	174688	68.80	69.90	1.10	-0.03			
			174689	69.90	71.00	1.10	-0.03			
		- 0 to 5% QZ-CB rounded to stretched mm to cm spots: amygdules?	174690	72.97	73.65	0.68	0.09			
			174691	73.65	74.65	1.00	-0.03			
		- Non magnetic till 88,00 which marks the gradual appearance of strongly magnetic patches (fragments?)	174692	84.20	85.00	0.80	0.13			
		- 1 to 3% diss. PY.	174693	85.00	86.00	1.00	0.03			
			174694	86.00	87.00	1.00	-0.03			
		55,70 - 55,90: Weakly buff altered zone, 10% fine QZ-CB veinlets at all core angle 5-7% PY very finely diss. str. silicified.	174695	87.00	88.00	1.00	-0.03			
			174696	88.00	89.50	1.50	-0.03			
			174697	89.50	91.00	1.50	0.10			
			174698	91.00	92.50	1.50	-0.03			
		59,15 - 59,32: QZ-CB vein at 35 C.A.: buff to brown CB alteration. some tourmaline tr PY, 1% in host rock	174699	92.50	94.00	1.50	0.07			
		59,48 - 59,62: as 59,15 - 59,32	174700	94.00	95.50	1.50	-0.03			
		60,80 - 61,10: 20% QZ-CB veins at 50 C.A. 2% PY.	174701	95.50	97.00	1.50	-0.03			
			174702	97.00	98.00	1.00	-0.03			
		67,40 - 67,95: Rusty oxydized zone. tr PY	174703	98.00	99.10	1.10	-0.03			
			174704	99.10	100.10	1.00	-0.03			
		72,97 - 73,65: pale green silicified zone - good sch. at 50 C.A. tr CP, PY - fine network of black QZ veins at 90 C.A. some tension gashes.	174705	100.90	101.80	0.90	-0.03			
			174706	106.00	107.10	1.10	-0.03			
		76,90 - 82,40: Several rusty oxydized zones in weakly silicified tuff. strong fracturation (water penetration) schistosity at 50 C.A.	174707	114.20	114.85	0.65	-0.03			
			174708	121.20	122.10	0.90	-0.03			
		84,20 - 87,00: pale greenish grey zone: fragmental? - 3-5% diss PY, locally as mm to cm bands/veins. 5% forest green mica (fuchsite?) they are aligned parallel to the sch.	174709	125.80	127.30	1.50	-0.03			
			174710	127.30	128.80	1.50	0.04			

Profondeur		Description	Numéro	Echantillon			Au g/T	Ag g/T		
De	A			De	A	Long.				
		84,75: QZ-CB veins - pods with chlorite	174711	131.60	132.60	1.00	-0.03			
		88,00 - 99,10: 10-15% pale green silicified bands-pods fragments with 5-7% PY and 10% MT. They vary in size from 1 cm to 15 cm and have sharp contacts with host rock and irregular shapes, tend to be concordant. This zone includes several siliceous concordant bands with 5% oriented forest green micas (fuchsite) and 3-5% diss. PY.	174712	134.60	135.05	0.45	-0.03			
		Overall - 3% diss PY, overall weakly magnetic schistosity at 50 C.A. Same zone intersected in hole DJ-87-14.	174713	137.50	138.99	1.49	-0.03			
		99,10 - 138,99: Very weakly magnetic - one zone of mod magnetic from 107,00 to 110,00 m.								
		174706: 3 bands of pale greenish grey siliceous material with green forest mica.								
		114,20 - 114,83: Felsic dyke, slightly hematized, sch. at 50 C.A. fracture system (tension gashes) at 0 C.A. 2% diss. PY. both contacts are sharp at 90 C.A.								
		121,20 - 122,10: Weakly silicified/brecciated zone; some micro-folding of QZ veins. 1-3% diss. PY.								
		128,50 : open fracture filled by well cristallized calcite and 3% very finely sugary pyrite.								
		134,75 - 134,87: Brecciated zone; mod. HM.; 20% QZ-CB material, 3% diss. PY.								
	138.99	E.O.H. (CASING PULLED OUT)								

Profondeur		Description	Numéro	Echantillon			Au g/T	Ag g/T		
De	A			De	A	Long.				
		same as above but loc HM+, lower contact not seen but marked by incr. magnetism.								
48.07	76.30	SHEARED FRAGMENTAL VOLCANIC (TUFF?)	260689	48.07	49.40	1.33	-0.03			
			260690	49.40	50.85	1.45	-0.03			
		med to dark green/gray banded loc having rounded CC xls to 3 mm, f. to v.f. gr. (frags are coarser gr.) sch. well dev. at 45-50 to C.A. (defined by banding) CL+; CB+ as gabbro, w/k to str. magnetic., Tr. to 3% f. diss. PY., sch. flattens to 30 near lower contact - shear zone.	260654	53.90	54.85	0.95	-0.03			
		48.07 - 50.85 looks fragmental(?), v. str. magnetic	260655	57.65	58.00	0.35	0.4			
			90878	58.00	59.00	1.00	0.03			
			90879	59.00	60.00	1.00	-0.03			
			90880	60.00	61.00	1.00	-0.03			
		50.85 - 53.25: coarser grained, faintly or not banded, homogeneous	90881	61.00	61.65	1.00	-0.03			
			260656	61.65	62.10	0.45	1.20			
		260655 - disturbed sch., v. str. magnetic, 5% PY	260691	62.70	63.30	0.60	-0.03			
		260656 - contains PY rich bands (to 10% v.f. diss PY)	260692	63.30	64.15	0.85	-0.03			
		260691 - 5% PY, 30% gray Sl+ zones, str. magnetic								
			260933	72.30	73.30	1.00	-0.03			
		64.57 - 64.79: mottled black/green; slightly HM+, int. dyke with sharp concordant contacts, upper contact has 2 cm brecc. zone 1% f. diss. PY., non magnetic	260934	73.30	74.30	1.00	0.03			
			260935	74.30	75.30	1.00	0.05			
			260693	75.30	76.30	1.00	0.50			
		68.40 - 68.92: 5% tension gash veins at 80 to C.A., lower contact with shear zone marked by gradational decr. of sch. angle from 50 to 20 to C.A.								
76.30	82.90	FAULT ZONE	260657	76.30	77.30	1.00	0.53			
			260658	77.30	78.05	0.75	-0.03			
		76.30 - 79.30: silicified and brecciated, v. f. gr. to aphanitic. light to medium grey rock, local developpement of buff alt., weakly to str. magnetic, Tr. to 5% diss PY, overall 2%, 5-15% QZ-CB veins-pods at all angles with C.A. some off sehing (micro fault) of the veins system	260659	78.05	78.85	0.80	-0.03			
			260660	78.85	79.30	0.45	0.18			
			260661	79.30	81.20	1.90	-0.03			
			260662	81.20	82.20	1.00	-0.03			
			260663	82.20	82.90	0.70	0.04			

Profondeur		Description	Numéro	Echantillon			Au g/T	Ag g/T		
De	A			De	A	Long.				
		260659 - incr. beige alt. chloritic streaks. 260660 - incr. beige alt. first 10 cm highly brecc., 2% f. diss. PY								
		79.30 - 82.90: highly chloritic shear zone, dark green/white mm bands concordant with sch. (20 - 25 C.A.), loc. str. iron CB alt.								
		QZ vein to 2 cm with CP, gen. 1% v.f. diss PY.								
		*81.20 is actually 80.60 - probably due to missing core since this zone is highly frac.								
		decr. sch. downhole, sch. incr. to 50 C.A. lower contact relatively sharp								
82.90	113.03	MAGNETIC BASALT (ULTRAMAFIC)	260694	82.90	84.00	1.10	-0.03			
			260695	84.00	85.50	1.50	-0.03			
		82.90 - 86.50: zone of mixing - 70% gray 30% green as alt. material in in the gray, 5% mm QZ-CB veinlets (<1 mm) at all core an- gle. 2% PY., str. magnetic	260696	85.50	86.50	1.00	0.04			
			260664	86.50	88.00	1.50	0.21			
			260697	88.00	89.15	1.15	-0.03			
			260698	89.15	89.70	0.55	1.11			
			260699	89.70	91.00	1.30	0.21			
		86.50 - 88.00: green CL mafic band, last 75 cm are injected by 30% crea- my white QZ - CB - epidote band at 35-40 C.A.	260700	91.00	92.20	1.20	0.03			
			260801	92.20	92.80	0.60	-0.03			
			260802	92.80	94.25	1.45	0.04			
			260665	94.25	94.75	0.50	0.09			
		88.00 - 89.15: mixed zone 70% - 30% green. Fracturing and brecc. is ob- vious. 2% PY.	260803	94.75	95.75	1.00	0.05			
			260804	95.75	96.75	1.00	0.05			
			260805	96.75	97.75	1.00	-0.03			
			260806	97.75	98.70	0.95	-0.03			
		89.15 - 89.70: Mafic, both contact zones are mod. sil. and injected by QZ-CB - epidote veins. Contact zones (15 cm) contain 10% PY shearing at 30 C.A.	260807	98.70	99.50	0.80	0.05			
			260666	99.50	100.05	0.55	-0.03			
			260808	100.05	101.50	1.45	-0.03			
			260809	101.50	101.95	0.45	0.05			
			260810	101.95	102.50	0.55	0.04			
		89.70 - 92.20: Gray band, 10-20% CL+ material shearing at 50 C.A. 10%	260667	102.50	103.25	0.40	-0.03			

Profondeur		Description	Numéro	Echantillon			Au g/T	Ag g/T		
De	A			De	A	Long.				
		QZ veins at all core angles - 1-2% diss. PY	260811	103.25	104.00	0.75	0.03			
		92.20 - 92.80:	260812	104.00	105.10	1.10	-0.03			
		As 89.15 - 89.70 upper contact at 30 C.A., sch. at 30 C.A.	260668	105.10	105.65	0.55	0.08			
			260813	105.65	107.00	1.35	-0.03			
		90.80 - 97.75 as 89.70 to 92.20:	260814	107.00	108.50	1.50	-0.03			
		abundant micro folding - faulting. 1-2% diss. or veinlets of	260815	108.50	110.00	1.50	0.03			
		PY. tension gash veins at 0-10 C.A. shearing at 55 C.A., 3%	260816	110.00	111.50	1.50	-0.03			
		PY	260817	111.50	113.03	1.53	-0.03			
		97.75 - 98.70:								
		mixed zone - 40 first cm are green, the, rest is greenish-								
		gray, a 10 cm QZ-feld-CB vein at 99.40 m, sch. at 50 C.A.								
		Missed 15 cm of core of (mafic unit)								
		98.70 - 99.50: As 92.80 - 97.75								
		260666 - 2% f. diss. PY								
		99.50 - 105.10:								
		as 89.15-87.90, shearing at 50 C.A. 5-10% irreg. QZ-CB								
		veins and veinlets.								
		101.50-101.95:								
		v. f. foliated/sheared at 55 C.A., 3% PY								
		101.95-102.50:								
		pinkish gray rich magnetic band (as 92.80-97.75) slightly								
		HM+.								
		102.85 - 103.25:- Int. str. HM+ dyke. 3% f. diss. PY,								
		Int. str. HM+ dyke. 3% f. diss. PY, upper contact sharp at								
		70 C.A., lower contact sharp at 80 C.A.								
		103.25 - 105.10:								
		alt. 20 cm band of gray magnetic material with mafite,								
		shearing at 50 C.A., sl. HM+								

Profondeur		Description	Numéro	Echantillon			Au g/T	Ag g/T		
De	A			De	A	Long.				
		156.00 - 157.50: as 152.90 - 155.10: shearing at 65 C.A. near the lower contact								
		157.50 - 161.50: as 155.10 - 156.00: sch. still visible at 60 C.A., frac. (tension gash) at 0-15 C.A., 10% CL., pods, bands, streaks and frags. (tectonic) loc. up to 10% diss. PY. - overall 2%								
		161.50 - 162.70: as 152.90 - 155.10 shearing at 65 C.A.								
		162.70 - 163.40: as 155.10 - 156.00 shearing at 60 C.A. frac. at 0 C.A.								
		163.40 - 165.00: as 152.90 - 155.10 shearing at 65 C.A.								
		165.00 - 168.80: steel gray zone - with wl. CL+, faint., loc. SI+ and epidotized < 2% f. CB. veinlets, str, magnetic, shearing at 60 C.A. lower contact is sharp at 45 C.A.								
168.80	203.00	260674 - 2% f. diss. PY, SI+, frac.; sch 66 C.A. 260675 - v. f. g. gray, SI+, 1% diss. PY	260676	171.45	171.95	0.50	-0.03			
		SPOTTED GABBRO (as 32,31 - 48,07)	260677	190.30	190.60	0.30	-0.03			
		sch. 45-55 to C.A., weakly magnetic gen < 1% v.f. diss. PY, incr. CB alt. downhole, lower contact at int. dyke.	260678	191.70	192.22	0.52	-0.03			
			260679	201.65	202.40	0.75	-0.03			
			260680	202.40	203.00	0.60	-0.03			
		168.80 - 170.40: looks like *sheared mafic volcanic*, v. CL+.								
		170.40 - 171.45: f. g. transition zone, dark green, homogeneous								

Profondeur		Description	Numéro	Echantillon			Au g/T	Ag g/T		
De	A			De	A	Long.				
		171.45 - 171.95 (260675): v.f.g., SI+, mm CB veins, frac (with very red min - HM+?) 1% v. f. diss PY								
		190.30 - 190.34 and 190.44 - 190.60: lamprophyre(?) dyke, str. HM+ 2% diss. cubic PY. sharp. contacts at 80 C.A.								
		190.60 - 191.70: patchy alt. as above, some pink CB, EP alt.								
		191.70 - 192.22: as 260677, v. CB (pink), discordant, irreg. contacts 2% f. diss cubic PY (< 1 mm)								
		193.20 - 193.40 as 190.30 - 190.34								
		201.65 - 201.92 (260679): v. f. gr., SI+, HM+?, CB (pink) green/purple zone of alt. with irreg. QZ - CB (feld?) vein 2-4 cm, 3% v. f. diss. PY								
		202.40 - 202.78 and 202.91 - 203.00: int. dyke?) brown/green mottled, upper contact sharp reg., semi-concordant with sch., lower contact gradational, dark green CL pods with rounded QZ-CB frag., 2% v. f. diss PY (cubic, <1 mm)								
203.00	224.00	FAULT ZONE - SHEARED GABBRO	260830	203.00	204.00	1.00	-0.03			
			260831	204.00	205.00	1.00	-0.03			
		CL, CB, TC, schist; med green, f. gr., v. sch., gen. 55 C.A. but often disturbed (openly folded), later sch. at 6-10 C.A.	260832	205.00	206.00	1.00	0.62			
		str. CL+, str. CB; talc; CB as 19.67-32.31: 20% veins non mineralized; non to weakly magnetic, Tr to 1% f. diss. PY	260833	206.00	207.00	1.00	-0.03			
			260834	207.00	208.50	1.50	0.03			
			260835	208.50	210.00	1.50	0.04			
			260836	210.00	211.50	1.50	-0.03			
		219.75 - 224.00 - shearing decreasing in intensity	260837	211.50	213.00	1.50	-0.03			
		gradual disappearance of CB veins (<3%)	260838	213.00	214.50	1.50	-0.03			
			260839	214.50	216.00	1.50	-0.03			
			260840	216.00	217.50	1.50	-0.03			
			260681	217.50	219.00	1.50	-0.03			

Collet		Client		Tests d'inclinaison			Sondage		DJ-87-19		
		EXPLORATION BREX INC.		Profond	Angle	Azimet	Commencé le	87-11-24			
Grille		Projet		COLLAR	-55.00	180.00	Terminé le	87-12-01			
Ligre		Propriété		30.50	-54.00		Décrit par	N. REARDON			
12+00W		DESJARDINS		61.00	-52.00		Date	87-12-03			
Station		Canton/Rang/Lot		91.50	-51.00		Longueur	187,76 m			
1+50 N		DESJARDINS		122.00	-48.00		Co. forage	SONDEX			
Elévation		Claim		152.50	-45.00		Objectifs	To investigate the I.P. anomaly			
		425842-2					Résultats				
Azimet		Coordonnées					The I.P. anomaly has been intersected at 144.35 - 151.45				
180°											
Angle		Notes									
-55°		CASING PULLED OUT									
Profondeur		Description		Echantillon			Au	Ag			
De	A			Numéro	De	A	Long.	g/T	g/T		
0.00	41.45	OVERBURDEN									
41.45	154.82	INTERMEDIATE FRAGMENTAL VOLCANIC									
		-v.f.gr., v. dark green to blue-gray or dark purple with green or pink-brown frags. containing round pale gray xls (< 1 mm) and round white CC to 5 mm, mod. sch., banding and sch. 50-55 to C.A.		260751	44.90	45.90	1.00	-0.03			
		-wk. to str. CB+ matrix, also CB as discordant or concordant veins to 1 cm or fracture fillings < 1 mm; discordant, reg. to irreg. QZ-CB-TO veins (TO as reg. to irreg. < 1 mm band at centre of vein) to 5 cm 80 - 90 to C.A. sometimes with assoc. PY; irreg. discordant QZ veins < 1 cm, sometimes folded (Z shape).		260752	45.90	46.60	0.70	-0.03			
		-freq. frac. 1 to 2 mm slip on frac. planes (QZ-CB veins cut and are cut by frac.) Frac. surfaces often have rusty alt.		260753	46.60	47.45	0.85	-0.03			
		-freq. int. dykes.		260754	47.45	48.20	0.75	-0.03			
		-often altered to mustard yellow or beige sometimes this alt. is str. banded (45 to C.A.) loc. str. Si+, HM+		260755	48.20	48.70	0.50	-0.03			
		-gen. non to wk. magnetic, loc. mod. magnetic, occ. MT < 1mm		260756	48.70	50.10	1.40	0.17			
		-PY variable from 0 to 5% loc., diss. or as bands < 1 cm		260757	50.10	50.73	0.63	-0.03			
				260758	50.73	51.60	0.87	0.1			
				260759	51.60	53.00	1.40	0.04			
				260760	53.00	53.65	0.65	0.04			
				260761	53.65	55.00	1.35	0.03			
				260762	55.00	56.50	1.50	0.06			
				260763	56.50	57.60	1.10	-0.03			
				260764	57.60	57.90	0.30	-0.03			
				260765	57.90	59.50	1.60	0.04			
				260766	59.50	61.00	1.50	0.03			
				260767	61.00	61.80	0.80	0.25			
				260768	61.80	62.70	0.90	0.07			
				260769	62.70	63.15	0.45	-0.03			

Profondeur		Description	Numéro	Echantillon			Au g/T	Ag g/T		
De	A			De	A	Long.				
		41.81 2 mm QZ-CB-TO vein 80 to C.A. with 10% f. diss. PY	260770	63.15	63.50	0.35	-0.03			
		42.00 - 62.00	260771	63.50	64.15	0.65	0.1			
		-freq. rusty alt. with 5-10% iron CB as veins, pods or	260772	64.15	64.60	0.45	0.27			
		vugs; 45.38 2 cm QZ-CB (yellow) vein 35 to C.A.	260773	64.60	65.20	0.60	0.08			
			260774	65.20	65.50	0.30	0.08			
		45.90 - 46.60 nice frags to 3 cm (45 to C.A.); < 1% v.f diss. PY								
		46.60 - 46.75 discount. QZ-CB veins < 1 cm, some tight folding of these veins;								
		46.81 - 4 mm QZ-CB-TO vein with PY 65 to C.A.								
		47.40 - 47.44 QZ-CB (yellow) vein 60 to C.A.								
		48.20 - 48.70 30 to 40% dark pink irreg. bands.								
		48.70 - 50.10 beige/gray mottled int. dyke, sch. 45 to C.A.; Sl. HM+, (SIL+), sharp discordant contacts (60 to C.A. uphole, 70 to C.A. downhole); 1% v. f. diss. PY; 2 mm discount. QZ-CB veins one 15 to C.A., one 60 to C.A.								
		50.76 - 50.73 tightly folded QZ-CB-TO? vein (1 cm) and pod.								
		51.94, 52.79 some mm QZ-CB-TO veins 75 to 85 to C.A.								
		51.94 - folded (Z shape)								
		52.79 - bifurcating, tr. PY								
		53.64 1 cm CB vein perpendicular to C.A., boudinaged								
		53.79 1 cm QZ-CB-TO vein 70 to C.A., boudinaged								
		56.45 concordant 1 mm CB band offset 2 mm by 1 mm QZ- CA (TO?) vein 70 to C.A.								
		56.96 - 57.00 pale pink/white CB vein								
		57.60 - 57.90 caramel alt., rusty (secondary) alt.; 1 cm QZ-CB-TO vein, folded (Z shape); 1 cm brecc. bands								
		58.40 6 mm QZ-CB-TO vein 80 to C.A. offset 1 mm by < 1 mm CL frac. 2-3 to C.A.								
		58.78 3 mm QZ-CB-TO vein 85 to C.A. offset 1 mm by < 1 mm CB frac. 55 to C.A.								
		59.50 - 61.00 some mm QZ-CB-TO veins at 65 to 80 to C.A., larger one boudinaged								
		61.00 - 61.80 incr. rusty alt.								
		62.41 - 2mm QZ-CB-TO vein 60 to C.A.								

Profondeur		Description	Numéro	Echantillon			Au g/T	Ag g/T		
De	A			De	A	Long.				
		65.50-107.95: FAULT ZONE								
		- predominantly v. str. mustard yellow to gray-beige speckled alt. often str. brecc. SI+, CB (wk. to str.), loc. HM+, non magnetic.	260775	65.50	66.80	1.30	-0.03			
			260776	66.80	67.55	0.75	-0.03			
			260777	67.55	67.85	0.30	-0.03			
			260778	67.85	68.25	0.40	0.22			
		65.50 - 65.74 v. str. yellow alt., 40% mm CL? streaks 45-80 to C.A., loc. brecc. with bifurcating QZ-CB veins (1-5 mm width) at 25 to C.A., mm QZ vein 45 to C.A., sch 55 to C.A. Frac. and veins bordered by a coating of CL. Tr. PY assoc. with CL. streaks. Lower contact (40 to C.A.) marked by 2 cm zone of QZ-CB and beige gray SI+.								
		65.74 - 65.84 green banded, mafic, CB, SI+ (beige-gray) band 2 cm with 35% PY., mm concord CB veins.								
		65.84 - 66.13 yellow alt. as 65.50 to 65.74, brecc., some irreg. discordant mm CB pods, sch. 40 to C.A., one mm QZ vein (90 to sch.) with orange specks, another (80 to C.A.) cuts and offsets CB pod 1 mm.								
		66.13 - 66.80 yellow alt. becomes yellow-beige with elongated mm black spots (20%), some mm QZ veins 80 to C.A., 5 mm CB veins 35 and 55 to C.A., last 20 cm more yellow but still has spots, tr. PY.								
		66.80 - 67.55 int. dyke as 48.70 - 50.10 (but no HM+), sch. not well dev. (55 to C.A.), str. CB+ principally as diss. CB but also some mm concordant and discordant and CB veins, one QZ-iron CB vein 50 to C.A. (perpendicular to sch.), loc. rusty alt., last 20 cm contains some fragments of pink-beige altered material and one irreg. PY. stringer < 1 mm, 2-3% v. f. diss. PY. upper contact irreg. with zone of brecc. yellow material, lower contact sharp 65 to C.A.								
		67.55 - 67.85 as 66.13 - 66.80 but more beige and black spots more lineated at 50 to C.A.								
		67.85 - 68.05 int. dyke as 66.80 - 67.55, few mm CB veins 30 to 60 C.A. upper contact sharp. 45 to C.A., lower contact not seen.								

Profondeur		Description	Numéro	Echantillon			Au g/T	Ag g/T		
De	A			De	A	Long.				
		68.05 - 71.60 as 67.55 - 67.85 but spots elongated as discont. bands 55 to C.A. occ. < 1 mm CL veinlets 70 to 80 to C.A.	260779	68.25	69.00	0.75	0.05			
			260780	69.00	70.50	1.50	0.03			
			260781	70.50	71.25	0.75	-0.03			
			260782	71.25	71.60	0.35	-0.03			
		260782 - last 3 cm is QZ-CB-(feld?) T0? vein 65 to C.A. no min.	260783	71.60	72.90	1.20	-0.03			
			260784	72.90	73.40	0.50	0.03			
		71.60 - 71.80 green black mafic (dyke?) with v. f. beige flecks aligned 45 to C.A. with irreg. 7 cm zone of CB-QZ- CL (+black min); some mm reg. CB veins 45-55 to C.A.	260785	73.40	73.70	0.30	-0.03			
			260786	73.70	74.70	1.00	0.18			
		tension gashes (CB) 0-10 to C.A. upper contact irreg.	260787	74.70	75.55	0.85	-0.03			
		lower contact not seen.	260788	75.55	76.00	0.45	-0.03			
			90854	76.00	76.90	0.90	0.05			
		71.80 - 72.90 dark purplish brown alt. (SI+, HM+), mass ive (sch? 50 to C.A.). First 10 cm spotty as 66.13-66.80	260789	76.90	77.55	0.65	-0.03			
		10% mm reg. and irreg. CB and QZ-CB veins and tension gashes all angles to C.A. sometimes with CL. and some	260790	77.55	78.35	0.80	0.08			
		CB pods < 1 cm, 1-3% v. f. diss. PY	260791	78.35	78.90	0.55	0.05			
			260792	78.90	80.55	1.65	-0.03			
		72.23 - 72.45 alt. more beige, SI caramel adj. to QZ-CB vein at 72.45, lower contact not seen.	260793	80.55	82.07	1.52	-0.03			
			260794	82.07	82.40	0.33	-0.03			
			260795	82.40	82.85	0.45	-0.03			
		72.90 - 73.70 dark beige alt., SI. yellow spotty, reg. QZ vein (2 mm) 40 to C.A. (73.03) frac., offset < 1 mm	260796	82.85	83.80	0.95	-0.03			
		by mm perpendicular QZ-CB veins has 10% PY, some mm reg. QZ-CB (CL?) veins at 35-40 C.A. (no min.) some CB	260797	83.80	84.12	0.32	0.03			
		tension gashes 5-10 C.A., CL. frac. < 1 mm (sometimes with PY) at various angles to C.A., 2% f. diss. PY.	260798	84.12	84.80	0.68	-0.03			
			260799	84.80	85.50	0.70	-0.03			
		73.45 - 73.70 becomes gradually darker, with beige flecks as 71.60 - 71.80 one QZ-CB vein (1 mm) with beige alt. haloe, 4% v. f. diss. PY.	260800	85.50	86.56	1.06	-0.03			
			260851	86.56	87.00	0.44	-0.03			
		73.70 - 75.55 caramel alt. (as yellow alt. but darker), 30% spots (elongated, sch. 60 C.A.), occ. as reg. (30-40 C.A.) and irreg. mm CB veins, < 5% CB tension gashes 0-15 C.A., occ. as mm QZ veins which are cut and offset (2 mm) by CB veins, tr. PY	260852	87.00	87.35	0.35	-0.03			
		75.55 - 76.00 sl. HM+ (less orange colour), less spotty, tr. PY								

Profondeur		Description	Numéro	Echantillon			Au	Ag		
De	A			De	A	Long.	g/T	g/T		
		HM+, SI+, sch. 50-65 C.A., 5-10% reg. and irreg. CB veins, veinlets, pods at various angles to C.A., loc. SI+ HM+, wk. to str. (magnetic bands) magnetic, 1-3% PY some PY rich (30-40%) bands. Loc. v. f. white spots in cm bands. 82.20 - mm CB vein 15 C.A. offsets 2.5 cm QZ-CB vein (50 C.A.) 82.40 - 82.65 70% orange-brown alt. as irreg. bands and CL. streaks 25% cm CB-QZ pods., no min. 83.82 irreg. QZ-TD vein < 1 mm TD 1 cm with 30% PY 84.00 - 84.12 as 82.74 - 82.85 but alt. more pervasive, only in one half of the diameter of the core, other half is mafic volc., contact sharp, scalloped. 84.80 - 85.50 30% gradual appearance pale pink beige alt throughout the rock and concentrated as bands. Becomes darker, more red downhole, lower contact rel. sharp, irreg. < 1% v. f. diss. PY 84.12 - 84.80 84.85 3 mm purple QZ-CB vein 70 C.A., adj. pinkish alt. concord with sch. 85.08 - 85.45 mm QZ-CB vein, sl. pink, brecc. 85.50 - 86.56 sl. HM+, pale pink bands, 2-3% v. f. diss. PY 86.56 - 87.00 patchy brick red alt. also along frac, mm CB veins 45 to 50 C.A., 87.00 - 1 cm QZ-CB-TD feld? veins 90 C.A., 1% v. f. diss. PY 87.00 - 87.35 alt. as 84.80 - 85.50 but 60%, v. little CB veins, sch. 55 C.A., 1-3% PY incr. PY in green bands								
		87.35 - 88.25 (as 82.07 - 88.26) - first 15 cm has mm CC spots, lower contact sharp 70 C.A. spots 5-10%, 7% v. f. diss. PY; somme mm PY pods	260853	87.35	88.25	0.90	-0.03			
			260854	88.25	89.07	0.82	-0.03			
			260855	89.07	89.28	0.21	-0.03			
		87.90 - 87.95 zone with irreg. brick red alt. 50%	260856	89.28	90.50	1.22	-0.03			
		88.25 - 89.07 as 75.55-76.00 but pinker	260857	90.50	92.00	1.50	-0.03			
		88.38 - 88.58 v. similar to 80.55 - 80.75, brecc., some caramel alt., 2 cm QZ-CB vein with brecc., 2 mm slip.	260858	92.00	93.00	1.00	-0.03			
		89.07 - 89.28 as 87.35 - 88.25 with central 10 cm irreg. zone of dark beige alt. frac. mm CC vein at 35 C.A.,	260859	93.00	93.75	0.75	-0.03			

Profondeur		Description	Numéro	Echantillon			Au g/T	Ag g/T		
De	A			De	A	Long.				
		sch. 55 C.A. some mm PY stringers (concordant). 89.28 - 93.75 as 68.05 - 71.60, 5% mm discont CB veins 25-35 C.A. (tension gashes), some discont. mm CB veins 70 C.A. sch. 60-65 C.A., tr. to 1% v. f. diss. PY.								
		93.75-94.50 v. dark reddish brown, m. gr. lamprophyre dyke, sharp irreg. contacts, vuggy (to 6 mm) sometimes filled with pink CB., brecc., CB filled frac. < 1 mm	260860	93.75	94.50	0.75	-0.03			
		0 to 15 C.A., some mm discont., irreg. CB-QZ (TO?) vein /pods. Last 10 cm contains cm frags of beige alt. and dark pink CB., non magnetic, 3% v. f. diss. PY	260861	94.50	96.25	1.75	-0.03			
		94.50 - 96.25 dark gray-green, sl. sch. (but not possible to see angle) 15% pink CB-QZ veins (irreg. one 45 C.A. mm) and pods (mm to cm) v. sl. magnetic, tr. - 1% v.f. diss. PY.	260862	96.25	96.50	0.25	-0.03			
		96.25 - 96.40 100% dark brick red alt., sch. wk (60 C.A. some brecc., tr PY. Upper contact sharp, irreg., lower contact gradual with sl, incr. PY.	260863	96.50	97.05	0.55	-0.03			
		96.40 - 97.05 dark brown gray, m. gr., white speckled (< 1 mm) CB; HM+ massive mafic dyke. Brick red 5 mm CB (with QZ?) veins 60-70 C.A., some mm CB veins 0-25 C.A. Tr. PY. lower contact not seen.	90855	97.05	97.40	0.35	0.08			
		97.05 - 97.40 dark green-black sch. (45 C.A.) volc., dis- cont. mm CB veins, discont. mm PY stringers 1% (3% PY) both concordant and discordant to sch. sl. magnetic, First 15 cm: brecc. with 1 cm sl. pink CB vein, brecc. (5 mm slip) beige to red-beige alt. cut by mm discont. QZ- CB-TO vein and mm CB veins, 5% PY in mafic matrix, f. diss. some cubic.	260864	97.40	98.00	0.60	-0.03			
		97.40 - 98.00 as 96.25 - 96.40 upper contact sharp, 75 C.A., lower contact gradational	260865	98.00	98.40	0.40	0.10			
		98.00 - 98.40 as 94.50 - 96.25 < 1% v. f. diss. PY, sl. magnetic	260866	98.40	99.50	1.10	-0.03			
		98.40 - 107.95 as 68.05 - 71.60 (yellow gray to beige gray banded alt.) wk. to str. CB+, sch. 45-55 C.A., mm CB veins 30-45 and 60 to C.A., one at 75 C.A., frac, some- times offset 1-2 mm on frac. or parallel to sch., mm QZ-TO	260867	99.50	101.00	1.50	-0.03			
			260868	101.00	102.50	1.50	-0.03			
			260869	102.50	104.00	1.50	-0.03			
			260870	104.00	105.50	1.50	-0.03			
			260871	105.50	107.00	1.50	-0.03			
			260872	107.00	107.50	0.50	-0.03			
			260873	107.50	107.95	0.45	-0.03			

Profondeur		Description	Numéro	Echantillon			Au g/T	Ag g/T		
De	A			De	A	Long.				
		123.95 - 124.50 banding disturbed (folded), some mm to cm caramel bands.	260888	125.85	126.15	0.30	-0.03			
		125.85 - 127.35 faint mm spots 60 - 70%	260889	127.55	127.85	0.30	-0.03			
		125.92 2 cm QZ-TO vein, 90 C.A. with a few mm PY pods	260890	127.85	129.10	1.25	-0.03			
		127.42 1 cm band of pale white green waxy min.	260714	110.20	129.10	16.90	-0.03			
		127.65 - 127.75 3% f. diss. PY	260891	129.10	130.10	1.00	-0.03			
		128.00 - 129.05 as 123.95 - 124.50 folded? - some bands appear as elongated circles; some QZ-TO veins with PY 80 - 90 to C.A.	260892	131.50	131.95	0.45	-0.03			
		260714 for major elements	260893	135.00	136.00	1.00	-0.03			
		138.00 - 139.00 CB tension gashes to 5 mm 0 - 25 C.A.	260894	138.00	139.00	1.00	-0.03			
		138.20 - 138.55 caramel alt., gradational contacts contains 5 cm cone of irreg. dark green mafic material similar to 119.88 - 119.94								
		142.16 - 142.34 dark green mafic dyke similar to 119.88 - 119.94 but sl. sch. (65 C.A.), sharp contacts 85 C.A., 2% f. diss. PY, Sl+. incr. PY at contacts.	260895	141.80	142.10	0.30	-0.03			
		144.35 - 151.45 gray-beige/caramel alt., sl. lighter, often well banded (bands often discontinuous patchy) with abundant PY rich (80%) blue gray bands to 2 cm, to 10%. These bands are concordant to sch. (50 - 60 C.A.)	260896	144.15	144.45	0.30	-0.03			
			260897	144.45	145.08	0.63	-0.03			
			260898	145.08	146.00	0.92	-0.03			
			260899	146.00	147.20	1.20	-0.03			
		144.45 - 144.60 int. green-gray/white mm banded, sch. (60 C.A.) contacts sharp, 60 C.A., 1% f. diss. PY, incr. at contacts to 2%	260900	147.20	148.70	1.50	-0.03			
			260901	148.70	150.20	1.50	-0.03			
			260902	150.20	151.45	1.25	-0.03			
		144.90 - 145.08 as 144.45 - 144.60								
		145.39 - 145.67 as 115.08 - 151.85								
		145.67 - 145.73 similar to 144.45 - 144.60 but paler, more yellow, less schistose (60 C.A.), sharp contacts, 70 C.A. uphole 55 C.A. downhole 2% f. diss. PY								
		145.93 - 145.97 as 144.90 - 145.08 2% f. diss. PY								
		145.97 - 146.54 mixed beige-gray with caramel-beige-pyrite bands (25%)								
		146.54 - 146.68 as 144.45 - 144.60 upper contact 50								

Profondeur		Description	Numéro	Echantillon			Au g/T	Ag g/T		
De	A			De	A	Long.				
		C.A., lower contact irreg. 1 cm QZ vein 45 C.A. (perpendicular to sch, 45 C.A.) has 2 mm pods of CP, discont. mm CB vein parallel to QZ vein. 2% f. diss. PY 146.72 - 146.75 and 146.81 - 146.84 pieces of dyke as 146.54 - 146.68 irreg., undulous contacts with beige bands. 147.20 - 148.70 felsic dyke? yellow-cream sometimes with pale green mm spots, f. to c. gr., sometimes faintly sch? 50 - 55 to C.A., some mm to cm QZ veins 0 to 20 to C.A., some 35-40 C.A., 1 cm QZ-CB vein 55 C.A. at 147.83; 147.40 - 147.75 30% dark green to black mm flecks parallel to sch., 147.50 - mm fucshite? band (forest green) parallel to sch. (55 C.A.) 1-3% f. diss. PY 149.72 mm QZ-CB vein 45 C.A. and perpendicular to sch. with CP (5%) 151.45 - 151.80 beige alt., sl. frac., microfolded some sheared mm QZ veins, tr. PY. 151.72 QZ pod with chalk white mineral. 5% PY 151.75 - 151.80 60% QZ (some T0?) mixed semi-concordantly with beige material. 151.80 - 154.82 m. gr., dark green-gray white specked mafic dyke, sch. 55 C.A., sharp contacts upper 60 C.A. lower SL irreg. but gen. 60 C.A., v. sl. magnetic, 1-2% v. f. diss. PY								
			260903	151.45	151.80	0.35	-0.03			
			260904	151.80	152.80	1.00	-0.03			
154.82	187.76	FRAGMENTAL MAFIC VOLCANIC -f. gr. dark green banded, frags porphyritic, gen. to 3 cm (to 10 cm downhole), str. CB+, SI+, CL+; wk. magnetic loc. str. magnetic, sch. 45-50 C.A. 154.82 - 162.10 mm and sometimes cm medium to dark brown gen. concordant discontinuous and sometimes folded? bands, locally with mm to cm *porphyritic* bands having abundant mm white carbonate dots, some reg. mm CB veins 40-50 C.A., loc. mm CB tension gashes 0-25 C.A., occ. mm QZ-T0 veins (sometimes HM+) 75-90 C.A. cut, offset 1 mm by tension gashes, 1-2% v. f. diss. PY.	260905	154.82	155.15	0.33	-0.03			
			260906	155.15	155.87	0.72	-0.03			
			260907	155.87	157.00	1.13	-0.03			
			260908	157.00	157.50	0.50	-0.03			
			260909	157.50	158.00	0.50	-0.03			
			260910	158.00	159.00	1.00	-0.03			
			260911	159.00	160.40	1.40	-0.03			
			260912	162.50	163.50	1.00	-0.03			
			260913	165.17	166.00	0.83	-0.03			

Profondeur		Description	Numéro	Echantillon			Au	Ag		
De	A			De	A	Long.	g/T	g/T		
		154.82 - 154.95 beige/caramel alt. also HM+ with 40% blue-gray QZ-CB as elongated irreg. mm pods lower contact gradational, tr. PY to 154.93 incr. to 2% v. f. diss. PY at lower contact.	260914	169.40	169.90	0.50	-0.03			
			260915	169.90	170.75	0.85	-0.03			
			260916	170.75	171.25	0.50	-0.03			
			260917	171.25	171.95	0.70	-0.03			
		155.15 - 155.87 incr. CB+ as irreg. mm veinlets (5-10%).	260918	171.95	172.52	0.57	-0.03			
			260919	172.52	173.00	0.48	0.03			
			260920	173.00	174.20	1.20	-0.03			
		157.50 - 158.00 med. green, reduced banding after 157.6 tr. PY	260921	174.20	175.70	1.50	-0.03			
			260922	175.70	176.40	0.70	-0.03			
		159.00 - 159.20 dark brown bands str. contorted, frags?	260923	176.40	177.10	0.70	-0.03			
			260924	177.10	177.75	0.65	-0.03			
		159.44 - 159.47 as 159.00 - 159.20	260925	177.75	178.55	0.80	-0.03			
			260926	180.00	180.75	0.75	-0.03			
		162.10 - 169.30 abundant porphyritic frags (abundant mm round CB *dots*) surrounded by steel-gray mm to cm contorted bands flow breccia? - possible to see frags completely surrounded by these bands. sch. 45-50 C.A. tr. to 2% f. diss. PY.	260927	180.75	181.05	0.30	-0.03			
			260928	184.30	185.35	1.05	-0.03			
			260929	185.35	186.35	1.00	-0.03			
		166.75-167.85 to 30% black xls < 1 mm surrounded by CC	260930	186.35	187.76	1.41	-0.03			
		167.50 - 167.90 str. magnetic								
		169.90 - 170.75 str. sheared, loc. brecc., 20% irreg. beige bands (folded), 1-2% v. f. diss. PY								
		170.75 - 174.20 faintly banded to massive, med. green to dark gray-brown								
		170.75 - 171.65 med. green. faintly sch. 45 C.A. almost no bands, rare round mm blue gray QZ?. tr. PY.								
		171.65 - 174.20 dark gray-brown to gray green, as 170.75 - 171.65								
		172.50 - 173.00 sl. coarser gr., 15% purplish brown discont. bands (frags?) tr. PY.								
		173.40 - 173.67 5 mm CB tension gash, sigmoidal but mostly parallel to C.A.								
		174.20 - 176.40 mod. banded 50 C.A. Some mm porph. frags (?) 1-3% v. f. diss. PY, 174.20 - 175.10 str. magnetic								

Collet		Client	Tests d'inclinaison			Sondage #				
		EXPLORATION BREX INC.	Profond	Angle	Azimat	Commencé le	DJ-87-20D			
Grille	Projet		COLLAR	-50.00	180.00	87-12-01				
			30.50	-45.00		87-12-03				
Ligne	Propriété		61.00	-45.00		Décrit par	N. REARDON			
7+50 W	DESJARDINS		91.50	-42.00		Date	87-12-05			
Station	Canton/Rang/Lot					Longueur	114,60 m			
3+44 N	DESJARDINS					Co. forage	SONDEX			
Elévation	Claim					Objectifs	INVESTIGATE EASTERN EXTENSION OF GOLD BEARING			
	435309-3					Résultats	A SIMILAR ZONE HAS BEEN INTERSECTED AT 74.45-80.65			
Azimat	Coordonnées									
180										
Angle	Notes									
-50	CASING LEFT IN									
Profondeur		Description	Numéro	Echantillon		Long.	Au g/T	Ag g/T		
De	A			De	A					
0.00	18.90	OYERBURDEN								
18.90	22.35	MAFIC (FRAGMENTAL?) VOLCANIC	260715	18.90	19.30	0.40	1.12			
		-dark gray green, v. f. gr., faintly to well banded (bands are dark gray/green, gray bands CB+)	260716	19.30	20.80	1.50	0.03			
		-possible frags (to 2 cm) brown (SI+?) and str. CB+; may be just alt.	260717	20.80	22.30	1.50	0.03			
		-mod. to str. EP+, loc. CB+ (few mm CB veins all angles to C.A.), sl. SI+?								
		-sch./banding 50 - 55 C.A., 1% f. diss. PY, str. magnetic								
		18.90 - 19.05 mm vugs, rusty alt., some massive PY, 3% PY								
		19.05 - 19.60 str. EP+, brecc., some irreg., vuggy EP-CB veins to 1 cm								
22.35	41.67	SHEARED MAFIC VOLCANIC	260718	27.65	28.65	1.00	0.05			
		-dark green, fine grained, sch. (mod. to str.) 50- 55 C.A.	260719	30.03	31.03	1.00	-0.03			
		-str. CL+, 5-10% CL streaks parallel to sch.	260720	31.03	32.50	1.47	-0.03			
		-str. CB+ as diss. CB, mm bands or irreg pods, loc. EP+	260721	32.50	34.00	1.50	-0.03			
		loc. vuggy.	260722	34.00	35.50	1.50	-0.03			

Profondeur		Description	Numéro	Echantillon		Long.	Au g/T	Ag g/T		
De	A			De	A					
		-occ. mm to cm CB, QZ-CB veins at various angles to C.A. some frac.	260723	39.00	40.50	1.50	-0.03			
		-mod. to str. magnetic (loc. 5-10% f. diss. MT), tr. to 1% f. diss. PY	260724	40.50	41.67	1.17	-0.03			
		27.65 - 35.00 incr. shear 10-15% irreg. white CB bands 260718: 28.00-28.10 3% f. diss. Py.								
		32.60 tr. CP								
		39.00 - 40.50 occ. cubic PY to 3 mm, 10% mm CL streaks 41.27 - 41.40 reddish brown banded alt. HM+, SI+? 5% QZ no min., CL streaks; 41.47 5 mm beige-gray band, 1% v. f. diss. PY.								
		41.51 - 41.53 tightly folded QZ-CB-(FELD?) veins. no min.								
41.67	114.60	FRAGMENTAL MAFIC VOLCANIC	260701	41.67	41.95	0.28	0.62			
		-dark blue-gray/dark green banded (mm to cm), v. f. gr.	260725	41.95	43.50	1.55	0.05			
		-CL+ loc. sl. SI+, HM+, SI. to mod. CB+; loc. str. sch., bleached - SI+ with yellowish green gray appearance, str. banded (QZ-CB veins parallel to sch.)	260726	43.50	45.00	1.50	0.05			
		-5-15% mm white CB spots flattened parallel to sch.	260727	45.00	46.50	1.50	-0.03			
		-sch. 45-50 C.A. incr. downhole to 50-55 C.A.	260728	46.50	47.50	1.00	0.03			
		-boudinaged mm to cm QZ-CB veins at various angles to C.A.	260729	47.50	48.00	0.50	0.04			
		-sch. freg kinked, sometimes folded, kink axes 68-70 C.A. and perpendicular to sch.	260730	48.00	49.50	1.50	-0.03			
		-gen. non to sl. magnetic, loc. mod. to str. magnetic	260731	49.50	51.00	1.50	0.19			
		-0-3% PY, loc. to 5% or more PY.	260732	51.00	52.25	1.25	-0.03			
		41.67 - 41.95 str. SI+, 75% beige alt., 5% QZ as discont. bands parallel to sch., some mm CL bands, some CL frac < 1 mm 20-30 C.A., first 7 cm HM+, 4% PY, str. magnetic (to 5% MT).	260733	52.25	53.95	1.70	-0.03			
			260734	53.95	55.50	1.55	-0.03			
			260735	55.50	56.40	0.90	0.08			
			260736	56.40	57.90	1.50	-0.03			
			260737	57.90	59.00	1.10	-0.03			
			260738	59.00	60.15	1.15	-0.03			
			260739	60.15	61.50	1.35	0.03			
			260740	61.50	63.00	1.50	-0.03			
			260741	63.00	64.50	1.50	-0.03			
			260742	64.50	66.00	1.50	0.11			

Profondeur		Description	Numéro	Echantillon		Long.	Au g/T	Ag g/T		
De	A			De	A					
		42.20 - 42.40 gray-green bleached Sl+?, well banded, but sharp concordant contacts, no min., 5 mm PY rich band	260743	66.00	67.50	1.50	-0.03			
			260744	67.50	69.00	1.50	-0.03			
		lower contact	260745	69.00	70.35	1.35	0.28			
		42.81 - 42.86 pink beige alt. Sl+, HM+, 3% PY	260746	70.35	71.85	1.50	-0.03			
		43.95 - 44.27 as 42.20 - 42.40 less banded, no min.	260747	71.85	73.45	1.60	-0.03			
			260705	73.45	74.45	1.00	0.95			
		260729: 1 cm 90% PY-CB bands at 47.61, 47.68, boudinaged 1 cm QZ vein with 3% CP; 2% f. diss. PY.	260706	74.45	74.75	0.30	5.02			
			260702	74.75	75.05	0.30	11.22			
			260704	75.05	75.55	0.50	9.97			
		48.10 - 48.44 as 42.20 - 42.40 first 5 cm HM+, sch. deflected, gradual contacts.	260707	75.55	76.55	1.00	1.35			
			260708	76.55	78.10	1.55	0.24			
			260709	78.10	79.10	1.00	0.4			
		52.25 - 53.95 as 42.20 - 42.40 lower contact gradational over 20 cm.	260710	79.10	79.95	0.85	1.58			
			260711	79.95	80.65	0.70	2.51			
		56.20 - 56.28 some mm discont. concordant PY bands (wisps)	260703	80.65	81.08	0.43	3.91			
			260712	81.08	81.60	0.52	2.8			
		56.55 tr. CP in 1 cm frac. QZ-CB vein.	260713	81.60	82.08	0.48	0.07			
		57.97 - 58.01 discont. mm PY rich bands with CB, MT	260748	82.08	83.00	0.92	-0.03			
		60.15 - 80.65 occas. CB-MT-PY pods gen. < 3 cm, pale green specked with MT < 1 mm 20% (str. magnetic), 1-3% f. diss. PY often with PY concentrated at margins.	260749	83.00	83.80	0.80	-0.03			
			260750	83.80	84.90	1.10	-0.03			
		Those pods resemble those seen in 87.14	261001	84.90	85.25	0.35	-0.03			
			261002	85.25	86.50	1.25	-0.03			
		64.75-64.87 kind banding axis parallel to C.A., some brecc.	261003	86.50	88.00	1.50	-0.03			
		66.83 - 66.86 rusty alt.	261004	88.00	89.50	1.50	-0.03			
		67.52 - 67.62 rusty alt.	261005	89.50	90.37	0.87	0.08			
		68.86 - 69.00 gray/white mottled int. dyke, faintly sch. 45 C.A. no min.	261006	90.37	90.70	0.33	-0.03			
			261007	90.70	92.00	1.30	-0.03			
		69.05 - 69.10 mod. kink folded	261008	92.00	92.85	0.85	-0.03			
		69.15 - 69.28 irreg. CB-MT-PY pod to 10 cm, brecc. 20% MT, 2% PY.	261009	92.85	93.27	0.42	-0.03			
			261010	93.27	94.16	0.89	-0.03			
		70.96 - 71.02, 71.67 - 71.76, 71.91 - 71.93 rusty alt.	261011	94.16	94.58	0.42	-0.03			
		260705: 20% QZ-CB (concordant) 4% PY, 5-10% CC spots	261012	94.58	95.11	0.53	-0.03			
		260706: 20% beige (buff) alt. Sl+, massive 4% PY. 10% mm QZ-CB veins (most 50 C.A.)	261013	95.11	95.80	0.69	-0.03			
			261014	95.80	96.32	0.52	-0.03			
		260702: str. Sl+, 60% beige (buff) alt., 3% PY	261015	96.32	97.50	1.18	-0.03			
		260704: str. Sl+ 60% buff, 4% PY, loc. str. magnetic	261016	97.50	99.00	1.50	0.13			

Collet		Client	Tests d'inclinaison			Sondage # DJ-87-21			
		EXPLORATION BREX INC.	Profond	Angle	Azimet	Commencé le 87-12-03			
Grille		Projet	COLLAR	-50.00	180.00	Terminé le 87-12-05			
Ligne		Propriété	30.50	-50.00		Décrit par N. REARDON			
2+00 W		DESJARDINS	61.00	-49.00		Date 87-12-08			
Station		Canton/Rang/Lot	91.50	-47.00		Longueur 260.91 m			
4+40 N		DESJARDINS	122.00	-44.00		Co. forage SONDEX			
Elévation		Claim	152.50	-42.00		Objectifs TO INVESTIGATE THE GOLD BEARING ZONE OF 86-2,			
		435310-1	183.00	-42.00		Résultats			
Azimet		Coordonnées	213.50	-42.00		Zone intersected at 194.58-199.12			
180.00			244.00	-42.00					
Angle		Notes							
-50.00		CASING PULLED OUT							
Profondeur		Description	Echantillon			Au	Ag		
De	A		Numéro	De	A	Long.	g/T	g/T	
0.00	10.02	OVERBURDEN							
10.02	20.50	MAFIC VOLCANIC (Y3B)	260951	10.02	10.70	0.68	-0.03		
		-f. to v. f. gr., dark green-gray to black, amygdaloidal and possibly pillowed, sch. 45-50 C.A., CB+, CL+, SI+, loc. sl. HM+, BI+, CB as irreg. mm stringers at various angles to C.A., sometimes as tension gashes 0-20 C.A., loc. 2-3% white mm spots (no reaction acid)-amygdules?, sl. to str. magnetic, str. magnetic at lower contact, 2-6% PY f. diss. or as mm to cm bands/pods (concordant to sch.)	260952	10.70	12.00	1.30	-0.03		
		-lower contact gradational over approx. 1 m. (greener, incr. CL+)	260953	12.00	13.00	1.00	-0.03		
			260954	13.00	14.50	1.50	0.04		
			260955	14.50	16.00	1.50	-0.03		
			260956	16.00	17.50	1.50	-0.03		
			260957	17.50	18.00	0.50	-0.03		
			260958	18.00	19.50	1.50	0.21		
			260959	19.50	20.70	1.20	-0.03		
20.50	76.10	SHEARED GABBRO?	260960	24.10	25.00	0.90	-0.03		
		-unhomogeneous, massive and sheared sections alternate, f. to c. gr., med. to dark olive green, loc. *spotty* texture, highly variable texture, to 15% MT to 2 mm locally, CL+, CB+, EP+, loc. BI+, SI+, CB as diss. grains, irreg mm to cm veins/pods (1-10%), occ. mm to cm QZ-CB veins concordant to sch., occ. rusty alt. on frac. surfaces, sch. 45-50 C.A. -tr. to 2% f. diss. PY.	260961	27.50	29.00	1.50	-0.03		
			260962	29.00	30.50	1.50	0.07		
			260963	30.50	32.00	1.50	0.03		
			260964	32.00	32.83	0.83	0.14		
			90856	32.83	33.15	0.32	0.65		
			90868	33.15	33.65	0.50	0.69		

Profondeur		Description	Numéro	Echantillon			Au g/T	Ag g/T		
De	A			De	A	Long.				
		-24.10 - 25.00 massive, coarser gr., sl. Bl alt. 1-2% f. diss. or cubic PY to 5 mm	260965	33.65	35.00	1.35	-0.03			
			260966	35.00	36.50	1.50	-0.03			
			260967	36.50	37.75	1.25	-0.03			
		26.20 - 26.35; wavy sch., deflected to 30-35 C.A.	90877	37.75	38.15	0.40	0.27			
		27.70 - 34.40; incr. CB+ as 10-15% *wavy* white v. irreg. pods 32.51 *z* shape folded mm QZ-CB vein.	90876	38.15	38.90	0.75	0.10			
			90874	38.90	39.57	0.67	0.62			
			90875	39.57	40.60	1.03	0.27			
		32.83 - 33.15; Sl+, cream/gray/beige, 2% QZ-CB veins < 1 cm, CL streaks some rusty alt., occ. fuschite? (forest green mineral) 4% f. diss. PY.	260968	43.40	43.70	0.30	0.31			
			260969	46.70	47.00	0.30	-0.03			
		36.90 - 37.00; vuggy 15 cm CC vein 15 C.A.	260970	47.00	48.60	1.60	-0.03			
			260971	48.60	50.00	1.40	-0.03			
		37.80 - 38.15; 50% QZ as concordant, sl. irreg. cm bands with med. green CL? within the QZ 1-2% f. diss. PY	260972	50.00	50.50	0.50	5.50			
			5101	50.50	51.50	1.00	0.04			
			5102	51.50	52.50	1.00	-0.03			
		38.90 - 39.57; Sl+, mottled cream-beige/dark gray irreg contacts. (possible int. dyke)	5103	52.50	53.60	1.10	-0.03			
			106866	53.60	54.60	1.00	0.03			
			260973	54.60	54.92	0.32	-0.03			
		42.92 - 43.22; as 42.40-42.55 but finer gr., darker brownish Bl alt.	106867	54.92	55.92	1.00	0.03			
			106974	59.30	60.30	1.00	0.08			
		43.40 - 43.60; 15% QZ-CB (folded), 1% f. diss. PY	106975	60.30	61.80	0.70	0.55			
		44.50; becomes gradually coarser grained downhole also gradual appearance of spotty texture, MT (to 20%)	106976	61.80	63.00	1.20	1.20			
			106977	63.00	64.00	1.00	-0.03			
			106978	64.00	65.00	1.00	0.30			
		46.77 - 46.98; str. Bl alt., 2% cubic PY to 1 mm	106979	73.80	74.10	0.30	-0.03			
		48.70 - 48.75; QZ-CB vein, one mm spot of CP (adj.)								
		48.84 - 50.00; Sl+, 5-15% gray/beige QZ, some mm QZ-CB veins 25-30 to C.A.								

Profondeur		Description	Numéro	Echantillon			Au g/T	Ag g/T		
De	A			De	A	Long.				
		50.50 - 54.60; 10-20% fractured, sheared MT to 3 mm with shear increasing downhole, also incr. SI+ downhole.								
		54.60 - 60.30; str. sheared, f. gr. 3% QZ-CB veins parallel to sch. (50 C.A.) loc. folded								
		54.75 - 54.92; 70% gray to beige SI+, sl. HM+ some 1 cm QZ-CB veins perpendicular to sch.								
		60.30 - 63.00; v. str. SI+, 90% cream/gray/beige with CL streaks 2-3%, 1-2% mm black xls.								
		63.00 - 63.75; 5% white mm CB+, black frac./sheared xls; shear, CB+ decr. downhole.								
		63.75 - 71.50; massive, m. to c. gr., spotty, 5% peach-beige (feldspar?) mineral.								
		71.50 - 76.10; finer gr., massive to sl. sch. (50 C.A.) loc. black crystals, occ. EP pods near lower contact.								
		73.90 - 74.10; SI+, sl. HM+, 3% f. diss. PY lower contact arbitrary (within 1 m) marked by a decreasing grain size.								
76.10	102.80	MASSIVE TO SHEARED MAFIC VOLCANIC (MAFIC V3B)	260980	80.50	82.00	1.50	-0.03			
		-occasional amygdules, f. to v. f. gr. dark green to v. dark gray, massive to mod. sch. 45-55 C.A., sl. to str. CB+, mod. (and loc. str.) SI+, mod. to str. EP+ as local patches. CB as mm veins/veinlets at various angles to C.A. (1-2%) massive section str. magnetic, schistose sections sl. to mod. magnetic - overall str. magnetic: no visible MT	260981	84.12	84.40	0.28	-0.03			
			260982	84.40	85.20	0.80	-0.03			
			260983	85.20	86.00	0.80	-0.03			
			260984	86.00	86.60	0.60	0.05			
			260985	86.60	87.07	0.47	0.30			
			260986	87.07	88.50	1.43	-0.03			
			260987	88.50	89.97	1.47	-0.03			
		-0 to 2% v. f. diss. PY, gen. 0% to tr. PY	260988	89.97	90.58	0.61	-0.03			
			260989	90.58	91.50	0.92	0.15			

Profondeur		Description	Numéro	Echantillon			Au g/T	Ag g/T		
De	A			De	A	Long.				
		82.97 - 83.03; str. EP+, frac EP veinlets approx. parallel to sch. cut by HM+ mm QZ-CB veins 70-80 C.A. no min.	260990	91.50	92.10	0.60	2.26			
			260991	92.10	93.50	1.40	-0.03			
			260992	93.50	94.70	1.20	-0.03			
		84.18 - 84.34; int. dyke (or alt.?), med. olive green, sch., CL streaks. 1 cm of 1% cubic PY <1 mm in volcanic at upper contact sharp concordant contacts	260993	94.70	95.05	0.35	-0.03			
			260994	95.05	96.45	1.40	-0.03			
			260995	96.45	98.00	1.55	-0.03			
			260996	98.00	99.50	1.50	-0.03			
		85.20 - 86.00; as 84.18-84.34 but interior sl. banded, SI+, sl. HM+, Tr. to 1% f. diss. PY	260997	99.50	101.00	1.50	-0.03			
			260998	101.00	101.30	0.30	-0.03			
			260999	101.30	102.80	1.50	-0.03			
		86.00 - 87.70; 2% white CC spots to 4 mm, round to elongated, with incr. shear downhole these spots become streaks								
		86.60 - 87.07; 15% fairly reg. mm to cm QZ-CB bands, adj. gray SI+, 1% f. diss. PY sometimes in faint bands or wisps								
		87.07 - 87.17 as 84.18 - 84.34								
		88.55 - 88.58 as 84.18 - 84.34								
		88.64 - 88.66 as 84.18 - 84.34								
		89.03 - 89.27 as 84.18 - 84.34								
		89.97 - 90.58 as 84.18 - 84.34								
		box 15 (90.75 - 96.45) dropped								
		91.50 - 92.10; str. SI+, gray, 3-5% f. diss. PY. also as mm wisps, bands (concordant and discordant)								
		94.75 - 95.00; irreg. 10 cm EP pod and smaller round mm to cm QZ-CB-(feldspar?)- EP pods. Tr. PY								
		101.00 - 101.30; incr. SI+, mod banded (gray/green) no min.								

Profondeur		Description	Numéro	Echantillon			Au g/T	Ag g/T		
De	A			De	A	Long.				
102.80	109.20	AMYGDALOIDAL AND PILLOWED ALTERED BASALT	261000	102.80	103.70	0.90	-0.03			
		-dark green/blue gray banded, bands mm to cm most dark green bands v. str. magnetic and decr. downhole, mod. to str. CB+ as diss. grains or mm spots elongated parallel to sch. (50 C.A.) occ. mm CB veins at various angles to sch. and sometimes offset 2-4 mm parallel to sch. or microfolded	106801	103.70	105.00	1.30	-0.03			
		Tr. PY	106802	105.00	106.50	1.50	-0.03			
		107.80 - 108.10 as 84.18 - 84.34	106803	106.50	107.80	1.30	0.04			
		108.78 - 109.20; SI+, 20% QZ and dark beige alt., Tr. PY	106804	107.80	108.10	0.30	-0.03			
			106805	108.10	108.78	0.68	0.14			
			90857	108.78	109.20	0.42	0.23			
109.20	124.50	GABBRO - AS 20.70 - 76.10	106806	109.20	110.80	1.60	-0.03			
		-Of possible coarse grained flow?, sch. 50 C.A., v. str. CB+ sl. magnetic	106807	123.50	124.50	1.00	-0.03			
		109.90 - 110.80; mod. BI alt., str. CB+, 1% cubic PY < 1 mm	90858	124.50	125.05	0.55	1.32			
124.50	188.70	BANDED MAFIC VOLCANIC (Y3B)	106808	125.05	126.50	1.45	-0.03			
		-possible tuff? (int. to mafic), v.f. to f. gr., med olive green to pale blue gray, varies (cm to metric) from CL+, CB+, white speckled (possibly intercalations of sheared gabbro) to SI+, banded (mm silicious bands, 5-10% often HM+)	106809	126.50	128.00	1.50	-0.03			
		-mod. sch., 45-55 C.A., CB veins commonly mod. to intensely folded, occc. rusty alt. on frac. surfaces, non to sl. magnetic, Tr. to 3% f. diss. PY, loc mm to cm PY bands, lower contact gradual over 30 cm	106810	128.00	129.00	1.00	-0.03			
		124.50 - 125.05; str. SI+, sl. HM+, dark beige, 2% v.f. diss. PY	90859	129.00	129.45	0.45	0.03			
		127.60 - 127.68; incr. SI+, blue gray, cm irreg. QZ-CB pod deflecting sch. (45 C.A.), no min.	106811	134.00	135.50	1.50	0.07			
			106812	139.10	139.65	0.55	0.15			
			106813	143.35	144.85	1.50	-0.03			
			106814	144.85	145.40	0.55	-0.03			
			106815	145.40	146.90	1.50	0.07			
			106816	146.90	148.00	1.10	-0.03			
			106817	148.00	149.20	1.20	-0.03			
			106818	149.20	149.60	0.40	0.11			
			106819	149.60	150.60	1.00	0.12			

Profondeur		Description	Numéro	Echantillon			Au g/T	Ag g/T		
De	A			De	A	Long.				
		129.15 - 129.17; banded beige alt. and QZ-CB, faint mm PY band	106820	150.60	151.18	0.58	0.07			
			106821	151.18	152.20	1.02	0.03			
			106822	152.20	153.20	1.00	-0.03			
		131.50; irreg. (folded tightly) 5 mm QZ (feld?) vein	174760	153.20	154.23	1.03	0.03			
		139.10 - 139.65; 30% mm to cm cream to pink-red (HM+) bands of QZ-CB	106823	156.38	156.83	0.45	-0.03			
		143.84; 2 cm CB-MT-PY pod with central QZ pod with TO. 2% PY as mm *streaks* pods str. rusty alt. on frac.	106824	163.80	164.60	0.80	-0.03			
		144.85 - 145.40; int. dyke as 84.18 - 84.34 3% PY within 1 cm of upper contact in host rock, 1-2% f. diss. PY, decr. downhole. Shear, concordant contacts	106825	171.55	172.52	0.97	-0.03			
			106826	172.52	174.00	1.48	0.39			
			106827	174.00	175.50	1.50	0.30			
			106828	175.50	175.95	0.45	-0.03			
		145.40 - 153.58; f. gr. dark gray-green banded volcanic, mod. to str. SI+ with freq. mm to cm blue-gray SI+ bands. These bands are often assoc. with a CB band or CB-PY band to 1% mm round white CC. 2-4% f. diss. or banded PY. lower contact gradational.	106829	175.95	177.33	1.38	-0.03			
			106830	177.33	178.50	1.17	0.23			
			106831	178.50	180.00	1.50	0.33			
			106832	180.00	181.50	1.50	-0.03			
		142.80 - 144.83; 2-5% diss. MT or as round mm CB pods or (rarely) veins 0-10 C.A.	106834	183.00	184.50	1.50	-0.03			
			106835	184.50	185.00	0.50	-0.03			
			106836	185.00	186.50	1.50	-0.03			
		146.12 - 146.90; 3% PY bands (to 2 cm) parallel to sch., freq. HM+, 4% PY tot.	106837	186.50	188.00	1.50	-0.03			
			106838	188.00	189.50	1.50	-0.03			
		149.20 - 149.60; 30% HM+ QZ-CB								
		149.90 - 150.30; purple gray, SI+, HM+, sl. brecc. 2-3% f. diss. PY								
		150.85 - 151.18; str. SI+, HM+, brecc., 15% irreg. QZ-CB, 1-2% v. f. diss. PY								

Profondeur		Description	Numéro	Echantillon			Au g/T	Ag g/T		
De	A			De	A	Long.				
		90863 - 1-3% f. diss. PY, some mm PY bands, 3-5% MT								
		90869 as 90863								
		90870 as 90863 1-2% MT								
		90865 - 90% buff, 3% f. diss. PY, 1 cm magnetic pod (black) at 197.25								
		90866 - first 20 cm sl. beige alt., some HM+								
		90867 as 90863								
203.00	235.80	MASSIVE TO FOLIATED GABBRO (AS 20.70 - 76.10)	106842	229.85	230.70	0.85	-0.03			
			106843	230.70	231.32	0.62	-0.03			
		sch. 50-60 C.A. slightly magnetic, medium grained flow?, magnetism is weak: except from 210-213 and 227 to 232 where it is strong: (5-10% MT)	106844	231.32	231.75	0.43	0.18			
			106845	231.75	232.85	1.10	0.04			
			106846	232.85	234.15	1.30	0.09			
			106847	234.15	235.30	1.15	0.12			
		210 - 213: str. magnetic, coarse grained, EP+, 211.30 - 211.60 HM-CB filled fracture 15 C.A.	106848	235.30	236.00	0.70	0.06			
		218.25 - 231.75; 5-10% f. diss. to *white wavy* CB+ loc. 5-10% MT, 1-2% f. diss. PY, CL+, loc. sl. SI+, brecc.								
		230.55 - 230.60; gray SI+, brecc.								
		230.70 - 231.32; sl. SI+, BI alt.: CL streaks, frac. 0-10 C.A., 1% f. diss. PY								
		231.32 - 231.75; mod. SI+ (gray QZ band 231.50 - 231.55), mod banded, 3% diss. PY to 1 mm.								
		231.75 - 235.80; contact zone, str. brecc. cm to dm inter- calation of sheared gabbro with massive to banded mafic vol- canic								
		232.85 - 234.15; mod. SI+, sl. HM+, sl. BI alt. str. CB+, 3-4% f. diss. PY, loc. str. magnetic (no visible MT)								
		234.90 - 235.20 as 232.85 - 234.15, 2% PY								

Profondeur		Description	Numéro	Echantillon			Au g/T	Ag g/T		
De	A			De	A	Long.				
235.80	260.91	BASALT	106849	236.00	237.50	1.50	-0.03			
		235.80 - 246.60: pillowed and weakly amygdaloidal massive dark green, f. gr., sl. to mod. CB+, CL+, EP+ (freq. cm irreg. med. green EP+ pods) Tr. to 2% PY as diss. and veinlets; mod. to str. magnetic (no visible MT)	106850	237.50	239.00	1.50	-0.03			
			106851	239.00	240.00	1.00	0.03			
			106852	240.00	241.55	1.55	0.03			
			106853	241.55	243.00	1.45	-0.03			
			106854	243.00	244.50	1.50	-0.03			
			106855	244.50	246.00	1.50	-0.03			
		246.60 - 249.80: flow brecc. abundant cm CL bands at various (steep) angles to C.A. defining small pillows? or flow brecc; str. CB as 2-4% mm spots, loc. brecc. occ. mm CB veins at various angles to C.A. variably magnetic (sl. to mod.), v. loc. to 3% MT Tr. to 1% f. diss. PY	106856	246.00	247.50	1.50	-0.03			
			106857	247.50	249.00	1.50	-0.03			
			106858	249.00	250.50	1.50	-0.03			
			106859	250.50	252.00	1.50	-0.03			
			106860	252.00	253.50	1.50	-0.03			
		249.80 - 260.91: schistose and carbonatized sch. at 65 C.A. str. carbonatized non to wk. magnetic.	106861	253.50	255.00	1.50	-0.03			
			106862	255.00	256.50	1.50	-0.03			
			106863	256.50	258.00	1.50	0.03			
	260.91	END OF HOLE (CASING PULLED OUT)	106864	258.00	259.50	1.50	0.06			
			106865	259.50	260.91	1.41	0.03			

Profondeur		Description	Numéro	Echantillon		Long.	Au g/T	Ag g/T		
De	A			De	A					
		<p>33.77 - 34.92 less sch. but 10% irreg. discont. *wavy* white CB veins.</p> <p>35.21 2 cm QZ-CB-EP vein (concordant)</p> <p>34.92 - 35.08, 35.23 - 36.97 as 31.05 - 33.77 but sch. decr. to 35 - 25 - 35 through 35.23 - 36.97; bands loc. folded brecc., some mm microfolded CB-EP+? veinlets. Sharp lower contact at 35 C.A.</p> <p>36.97 incr. grain size</p> <p>261057 - loc. 1% PY</p> <p>41.70 - 42.10 B1 alt. (mod.) 1% f. diss. PY</p> <p>42.84 - 43.15 str. B1 alt., some brecc. 1% f. diss. PY assoc. with QZ-CB</p> <p>43.15 - 43.70 sl. B1 alt.</p> <p>44.70 - 45.50 occ. gray cm magnetic bands</p> <p>45.50 - 47.75 as 22.35 - 22.63 but bands not as well defined, loc. brecc., abundant mm x mm and some mm x cm tension gashes (CB) 0-20 C.A., str. magnetic.</p> <p>47.75 - 48.23 str. CB-EP alt. (to 100%)</p> <p>48.23 - 50.80 abundant (> 5%) CL streaks</p> <p>49.00 gradual appearance of spotty texture - decr. shearing</p> <p>50.80 disappearance of CB streaks - spotty texture</p> <p>54.42 faint PY band</p> <p>54.70 incr. shear, CB+</p> <p>57.95 2 cm boudinaged QZ-CB vein</p> <p>59.15 - 59.35 mm CB tension gashes 10 and 15 to C.A.</p> <p>59.80 - 62.50 occ. gray magnetic bands</p> <p>61.96 - 62.25 as 31.05 - 33.77 but 80% gray</p> <p>66.34 - 66.58 and 66.62 - 66.77 as 31.05 - 33.77 but pale peach/gray banded, 2% f. diss. PY in gray bands.</p>	261065	66.34	66.77	0.43	-0.03			

Profondeur		Description	Numéro	Echantillon		Long.	Au g/T	Ag g/T		
De	A			De	A					
		68.40 - 68.87 as 31.05 - 33.77 bands less well defined, some discont. pale peach - beige bands, tr. PY								
		69.25 - 71.93 as 33.77 - 34.92 but < 10% CB. and CB tends to be more aligned with sch. (less irreg.), occ. cubic PY to 3 mm	261066	70.50	71.93	1.43	-0.03			
			261067	71.93	73.20	1.27	-0.03			
			261068	73.20	74.50	1.30	-0.03			
			261069	74.50	76.00	1.50	-0.03			
		71.93 - 77.46 TRANSITION ZONE	261070	76.00	77.46	1.46	-0.03			
		-lower contact of gabbro with tuff not seen. This zone is v. sch. and has characteristics of both lithologies. -well banded - med. green with 10-40% white CB and QZ- CB mm bands parallel to sch. (45-50 C.A.), banding decr. downhole. Occ. CB+ as 69.25 - 71.93 -loc. sl. EP+ -non to mod. magnetic -< 1% f. diss. PY								
77.46	145.20	AMYGDALOIDAL . MASSIVE BASALT, FRAGMENTAL	261071	77.46	78.25	0.79	0.07			
			261072	78.25	78.90	0.65	-0.03			
		-f. to v. f. gr., faintly to str. banded (gen. well banded) - bands med. to dark olive green, green-gray, gray or blue gray	261073	78.90	79.45	0.55	-0.03			
			261074	79.45	80.30	0.85	0.06			
		-commonly has abundant (to 10%) mm (to 5 mm) round white to gray CC crystals often elongated parallel to sch.	261075	80.30	81.00	0.70	-0.03			
			261076	81.00	81.45	0.45	-0.03			
			261077	81.45	81.75	0.30	1.48			
			261078	81.75	82.70	0.95	-0.03			
		-mod. to str. CB+ loc. Sl+, rarely HM+, CL+ (wk to str.)	90872	82.70	83.20	0.50	-0.03			
		-occ. CB veinlets < 1 mm at all angles to C.A., sometimes sheared along sch. (appear microfolded)	90871	83.20	83.50	0.30	2.36			
			90873	83.50	84.00	0.50	-0.03			
		-occ. mm to cm QZ-CB veins (sometimes with TO and/or PY) boudinaged and parallel to sch.	261079	84.00	85.40	1.40	0.06			
			261080	85.40	85.90	0.50	0.09			
		-sch. 50-55 C.A. incr. downhole to 55-60 C.A.	261081	85.90	87.00	1.10	-0.03			
		-gen. non to sl. magnetic, loc. mod. to str. magnetic								
		-tr. to 4% f. diss. PY, gen. 1% PY, occ. mm PY wisps or bands parallel to sch.	261082	90.00	91.00	1.00	-0.03			
		77.46 - 79.45 med. green str. banded 10% mm cream bands	261083	93.15	93.60	0.45	-0.03			

Profondeur		Description	Numéro	Echantillon		Long.	Au g/T	Ag g/T		
De	A			De	A					
		occ. CB veinlets (< 1 mm) at various angles to C.A.	261084	93.60	95.00	1.40	-0.03			
		offset 2 mm along frac.	261085	95.00	96.50	1.50	0.03			
		-occ. rusty alt. on frac.	261086	96.50	97.50	1.00	-0.03			
		-wk CB+	261087	97.50	98.28	0.78	-0.03			
		-some bands microfolded								
		77.46 - 77.56 beige-gray alt., 3% MT, 2% f. diss. PY	261088	102.50	103.50	1.00	-0.03			
		77.60 - 77.66 semi-concordant cm orange bands and QZ-CB	261089	103.50	104.75	1.25	-0.03			
			261090	104.75	106.10	1.35	0.33			
		78.25 - 78.90 irreg. pink-gray alt. (HM+, SI+), irreg.	261091	106.10	107.00	0.90	0.14			
		pale beige alt. some concordant pale beige alt. (not buff). 2% f. diss. PY	261092	107.00	108.51	1.51	-0.03			
			261093	108.51	109.55	1.04	-0.03			
		79.45 - 79.82 faintly banded, 1% round CC xls. to 5 mm.	261095	110.32	111.60	1.28	-0.03			
			261112	111.60	113.00	1.40	-0.03			
		79.82 becomes well banded	261113	113.00	114.45	1.45	0.03			
			261114	114.45	115.45	1.00	-0.03			
		80.00 vuggy CC vein 20 C.A., rusty alt., adjacent brecc. 2 downhole.	261096	115.45	116.95	1.50	-0.03			
			261097	116.95	118.00	1.05	0.03			
			261098	118.00	119.50	1.50	-0.03			
		80.30 - 80.90 zone of brecc. with QZ-CB	261099	119.50	121.00	1.50	-0.03			
			261100	121.00	121.60	0.60	-0.03			
		81.45 - 81.60 10% PY as bands parallel to sch., last 4 cm HM+ SI+ (gray/pink)	261101	121.60	121.90	0.30	-0.03			
			261102	121.90	123.30	1.40	-0.03			
		81.60 - 81.75 sl. HM+, SI+	261103	123.30	124.30	1.00	-0.03			
			261104	124.30	125.40	1.10	0.03			
		81.75 - 82.00 and 84.30 - 84.80 undulous frac. with rusty alt. parallel to 20 to	261105	125.40	126.80	1.40	-0.03			
			261106	126.80	127.45	0.65	-0.03			
		C.A. (wave length = 15 cm). with adjacent zone of brecc.,	261107	127.45	127.90	0.45	0.04			
		CL? 84.30 - 84.40 str. brecc. with black (CL?) filling	261108	127.90	129.00	1.10	-0.03			
		82.78 2 cm band of CB, MT with 10% PY (f. diss.)	261109	129.00	130.50	1.50	-0.03			
		83.37 - 83.44 buff alt. 2% f. diss. PY cut by 6 mm QZ-CB vein SI. folded, 30 C.A. (90871)	261110	130.50	131.70	1.20	-0.03			
			261111	131.70	132.30	0.60	-0.03			
			261115	132.30	133.00	0.70	-0.03			
		85.40-85.90 str. brecc. with QZ-CB - black CL filling, loc.	261116	133.00	134.50	1.50	-0.03			
		HM+ QZ-CB, 1-2% f. diss. PY.	261117	134.50	135.90	1.40	0.03			
		85.40 - 85.50 CB - MT - PY pods (cm) as in holes 87-14, 87-20	261118	135.90	137.20	1.30	0.05			

Profondeur		Description	Numéro	Echantillon		Long.	Au g/T	Ag g/T		
De	A			De	A					
		and HM+ - good development of hematite in a halo around small black QZ-CB veinlets at 80 C.A. - shearing at 45 C.A. 24.60 - 33.70: look like sheared basalt - with differential alteration - (CL+ and SI+) producing a vague banding. Fragments are not obvious. - Possibly amygdaloidal.								
33.70	55.95	GABBRO	107564	33.70	34.80	1.10	0.03			
			107565	34.80	35.30	0.50	-0.03			
		33.70 - 48.55: coarse grained epidotized gabbro - 5% 1 mm to 7 mm plagioclase phenocrysts. Shearing decreasing from the upper contact *flow over 10 cm* to 36.00 m shearing at 50 C.A.	107566	35.30	36.30	1.00	-0.03			
			107567	36.30	37.30	1.00	-0.03			
		5% CC veinlets at 0 to 20 C.A.	107568	50.20	51.20	1.00	-0.03			
		< 2% diss. PY., strongly magnetic in sheared area - mod. magnetic in massive section. 5-10% diss. MT	107569	51.20	52.60	1.40	-0.03			
		At 35.00: 5% PY in the gabbro near a 4 cm QZ vein. Mod. CB+, EP+ and HM+	107570	52.60	53.80	1.20	-0.03			
		48.55 - 55.95 - sheared and highly fractured gabbro - fine grained, green-black to loc. brownish. shearing at 50 C.A. fine millimetric fracturation filled by QZ-CB veinlets at 0 and 80 C.A. Mod. SI+, CB+ and CL+ loc. EP+								
		51.20 - 53.80 - strongly magnetic zone - forest green matrix with 25% pseudo-tectonic fragments.								
		lower contact has been put arbitrary (could be within 2 m)								
55.95	83.35	AMYGDALOIDAL BASALT + FRAGMENTAL AMYGDALOIDAL BASALT	107571	58.70	59.70	1.00	-0.03			
			107572	59.70	60.70	1.00	-0.03			
			107573	60.70	61.70	1.00	-0.03			
		green to greenish gray, very highly sheared rock at 50 C.A. loc. at 35 C.A. Approx. 5% greyish bands/fragments. Those are highly amygdaloidal	107574	66.00	66.90	0.90	-0.03			
			107575	66.90	67.30	0.40	0.10			
			107576	67.30	67.90	0.60	0.04			
		10-20% mm to cm CB veinlets under lining the schistosity.	107577	67.90	68.20	0.30	0.04			
		2% fine irreg. veinlets cross cutting the sch. at 90 C.A.	107578	68.20	69.00	0.80	-0.03			
		tension gashes at 0 C.A. - str. CL+	107579	69.00	70.50	1.50	-0.03			

Profondeur		Description	Numéro	Echantillon		Long.	Au g/T	Ag g/T
De	A			De	A			
		Magnetism varies from low at the top of the unit to mod.-strong near the lower contact.	107580	70.50	72.00	1.50	-0.03	
		55.95-58.70: amygdoloidal basalt	107581	72.00	73.50	1.50	-0.03	
		58.70: look well fragmental	107582	73.50	74.48	0.98	-0.03	
		Tr. to 1% diss. PY. as fine cubes up to 1 mm., loc. up to 3% PY.	107583	74.48	74.98	0.50	-0.03	
			107584	74.98	75.23	0.25	0.12	
			107585	75.23	75.83	0.60	-0.03	
			107586	75.83	76.10	0.27	-0.03	
		66.94 - 67.27: Mod. SI+ - grey aphanitic rock injected by 5% irreg. QZ veins: 5% PY. overall.	107587	76.10	77.10	1.00	0.03	
		67.90 - 68.15: As 66.94 - 67.27: 3% PY.	107588	77.10	78.03	0.93	-0.03	
			107589	82.35	83.35	1.00	0.13	
		74.98 - 75.23: str. SI+ zone: 20% irreg. - folded and faulted QZ veins - at all core angles. 10% PY: developed as bands near the upper contact and finely diss. in the rest of the sample.						
		75.90 - 76.00: As 74.98 - 75.23						
		lower contact sharp at 35 C.A.: strongly brecc. in the preceding meter: 2% PY.						
83.55	148.03	SHEARED GABBRO	107590	87.17	87.80	0.63	-0.03	
		Heterogeneous rock; highly variable texture. The rock is generally medium to coarse grained.	107591	93.27	94.30	1.03	-0.03	
		Strongly CB+ and CL+, fine grained zones also occur throughout the unit.	107592	94.30	95.30	1.00	-0.03	
		It is gen. str. sheared at 50-55 C.A.	107593	95.30	96.32	1.02	-0.03	
		Narrow massive to wk. foliated sections show remnants of primary texture as spotty porphyritic texture.	107594	96.32	97.32	1.00	-0.03	
			107595	105.46	106.20	0.74	-0.03	
			107596	106.20	107.30	1.10	-0.03	
			107597	107.30	108.40	1.10	-0.03	
		-Good development of CB in veins producing a fine lamination	107598	108.40	109.40	1.00	-0.03	
			107599	109.40	110.65	1.25	-0.03	
		-Less than 1% diss. PY., wk. to non magnetic.	107600	110.65	111.40	0.75	-0.03	
			107601	111.40	112.40	1.00	-0.03	
		83.55 - 91.50: well developed shearing at 55 C.A.						
		91.50 - 96.00: Massive to wk. foliated at 55 C.A.	107602	124.30	124.75	0.45	0.10	

Profondeur		Description	Numéro	Echantillon		Long.	Au g/T	Ag g/T		
De	A			De	A					
		96.00 - 115.00: str. sheared at 50-55 C.A.: local zone of strong HM+: 105.90 - 106.18, 108.51 - 108.74. These zones have sharp contacts and might be associated to dykes.	107603	124.75	125.55	0.80	0.03			
			107604	125.55	126.05	0.50	-0.03			
			107605	135.35	136.35	1.00	-0.03			
			107606	136.35	136.85	0.50	-0.03			
		115.00 - 134.70 coarse grained massive to sch. section. Loc. sheared over few cm. - sch. at 40 to 70 C.A.	107607	136.85	137.85	1.00	-0.03			
		increasing shearing downhole (124.30-124.75 -str. HM+) 3% PY.	107608	145.70	146.70	1.00	-0.03			
		128.00 - 134.70: Mod. shearing at 60 C.A. (125.55-126.05 - HM+, 3% PY)	107609	146.70	148.03	1.33	-0.03			
		134.70 - 148.03 - loc. more schistosed at 60-70 C.A., CL+ CB+, loc. HM+ and EP+.								
		136.35 - 136.85 - grey-brown Sl+ - 5% PY - brecc. zone 3-10% finely diss (<1 mm) MT								
		lower contact is sharp at 70 C.A.								
148.03	164.65	SHEARED *FRAGMENTAL VOLCANITE* (SAME AS 87-18)	107610	148.03	149.50	1.47	-0.03			
		MAGNETITE BASALT: BRECCIATED	107611	149.50	151.00	1.50	0.11			
			107612	151.00	152.50	1.50	-0.03			
		Dark green to black rock with intercalated sections of typical basalt. The main unit (90%) is black-dark grey to green (chloritization) fine grained and str. magnetic	107613	152.50	154.00	1.50	-0.03			
		(chloritization) fine grained and str. magnetic	107614	154.00	154.70	0.70	-0.03			
		The green bands are not magnetic.	107615	154.70	155.00	0.30	-0.03			
		The gray bands show some Sl+ and abundant tension gashes indicative of brecc.	107616	155.00	156.00	1.00	-0.03			
			107617	156.00	157.50	1.50	-0.03			
			107618	157.50	159.00	1.50	0.06			
			107619	159.00	160.00	1.00	0.03			
		Overall the unit looks banded (at 60 C.A.) fragmental and sheared.	107620	160.00	160.60	0.60	-0.03			
		Tr. to 2% diss. PY. or occasional as veinlets. Loc., over less than 5 cm, PY content increase to 5%.	107621	160.60	161.00	0.40	0.05			
			107622	161.00	162.00	1.00	-0.03			
			107623	162.00	162.40	0.40	-0.03			
			107624	162.40	162.70	0.30	0.11			
		154.85: QZ vein at 60 C.A. with 5% diss. PY. Some Sl+ near the vein.	107625	162.70	163.50	0.80	-0.03			
			107626	163.50	164.65	1.15	0.03			

Profondeur		Description	Numéro	Echantillon			Au g/T	Ag g/T		
De	A			De	A	Long.				
30.95	51.30	GABBRO	107643	29.35	30.95	1.60	-0.03			
		30.95 - 41.70; massive to weakly foliated coarse grained gabbro. weakly to mod. magnetic. loc. HM+.: spotted	107644	41.75	43.00	1.25	-0.03			
			107645	43.00	44.50	1.50	-0.03			
		41.75 - 51.30; medium to fine grained sheared gabbro, shearing at 55-60 C.A., CL+ and CB+, 5% QZ-CB veins at all core angles. 3% MT - tr. PY	107646	49.70	51.30	1.60	-0.03			
		46.55 - 47.90; lamprophyre dyke: upper contact not visible lower contact sharp at 85 C.A.								
		49.70 - 51.30: zone of high magnetism; green forest CL+ matrix with gray-bluish rich tectonic fragments.								
51.30	77.90	SHEARED MAFIC FRAGMENTAL VOLCANICS	107647	51.30	52.50	1.20	-0.03			
			107648	52.50	53.50	1.00	-0.03			
		51.30 - 57.50 - well developed shearing at 45 C.A. 5-10% greyish white rich amygdaloidal *fragments*.	107649	53.50	54.30	0.80	-0.03			
		Contacts of the fragments are slightly diffuse. CL+, CB	107650	54.30	54.93	0.63	0.17			
		3-5% PY as diss. and bands/veins up to 52.00 m.	106751	54.93	56.00	1.07	-0.03			
			106752	56.00	57.50	1.50	-0.03			
		54.30 - 54.90: wk. to mod. SI+ - 10% QZ-CB veins at all core angle; strongest part of the alteration zone is from	106753	64.90	66.00	1.10	-0.03			
		54.70 to 54.90 where the rock is strongly SI+ and contains	106754	66.00	67.00	1.00	-0.03			
		7% PY. - weakly HM+	106755	67.00	68.00	1.00	-0.03			
			106756	68.00	69.00	1.00	-0.03			
		57.50 - 69.00: uniformly textured rock - 10% stretched	106757	69.00	70.00	1.00	-0.03			
		CB grains, strong shearing at 45-50 C.A. - possibly amygdaloidal - non-magnetic. < 1% diss. PY.	106758	70.00	70.60	0.60	-0.03			
		65.84 - 69.00 - mod. to strongly magnetic, 2% diss. PY.	106759	70.60	70.90	0.30	0.17			
			106760	70.90	71.50	0.60	0.11			
		66.90 - 66.93 - int. to felsic sheared dyke-sharp contacts	106761	71.50	72.50	1.00	0.04			
		at 50 C.A. 2% PY. weakly hematized.	106762	72.50	73.50	1.00	-0.03			
		67.00 - 69.00 - increasing silicification	106763	73.50	74.50	1.00	-0.03			
		69.00 - 77.90: strongly SI+ - brecc. (fault) zone. grey	106764	74.50	75.50	1.00	0.33			
		aphanitic, glassy looking and hard rock.	106765	75.50	76.50	1.00	-0.03			
		5-10% veinlets, veins and pods of QZ-CB at all core angles.	106766	76.50	77.90	1.40	0.03			
		shearing at 55-60 C.A.								
		strongly magnetic, < 2% diss. PY.								

Profondeur		Description	Numéro	Echantillon			Au g/T	Ag g/T		
De	A			De	A	Long.				
		70.74 - 70.78 - 4 cm band (60 C.A.) of BUFF alteration. 5% PY.								
77.90	190.80	SHEARED GABBRO								
		sheared dark green CL+ - CB+ fine to medium grained gabbro shearing at 50 C.A. underlined by a series (5%) of QZ-CB veinlets, also 3 to 5% irreg. and discordant QZ-CB veins - veinlets - pods at any core angles (20 C.A., 90 C.A.)	106767	77.90	79.00	1.10	-0.03			
			106768	79.00	80.00	1.00	-0.03			
			106769	80.00	81.00	1.00	-0.03			
		92.00 - fault - chlorite schist over 8.50 cm non to weakly magnetic, < 1% PY.	106770	100.50	101.50	1.00	-0.03			
			106771	101.50	102.30	0.80	-0.03			
			106772	102.30	103.30	1.00	-0.03			
		loc. spotty texture. This texture is gen. associated to gabbro	106773	108.60	109.60	1.00	-0.03			
		102.66 - 102.70 and 101.88 - 101.95 - HM+ band at 55 C.A., 3% PY in each.	106774	109.60	110.10	0.50	-0.03			
			106775	110.10	111.35	1.25	-0.03			
		108.5-110.00- 10-15% diss MT (<2 mm)	106776	113.55	113.95	0.40	-0.03			
		109.60-110.10- mod. HM+ - 5% coarse grained MT-5% PY	106777	114.90	115.57	0.67	-0.03			
		111.00 - rock becomes very strongly sheared, very highly CL+ and somewhat talcose - no mineralization. Occ. slightly HM+ QZ veins.	106778	126.00	127.15	1.15	-0.03			
		112.93 - 113.00: lamprophyre dyke 3-5% diss. PY,	106779	141.35	142.35	1.00	-0.03			
		113.58-113.95: lamprophyre dyke 3-5% diss. PY: tension gash at 20 C.A.	106780	142.35	142.65	0.30	0.10			
			106781	142.65	143.65	1.00	-0.03			
		114.92-115.57: lamprophyre dyke 3-5% diss. PY: tension gash at 20 C.A.	106782	151.75	153.25	1.50	-0.03			
		From 129.00 - gradational development of tension gashes - fracturation and/or sch. at 0 C.A.	106783	157.60	158.10	0.50	-0.03			
			106784	160.80	162.30	1.50	-0.03			
		At 142.50 - irreg. 4 mm QZ vein at 30 C.A., with HM+ of host rock, 1% CP in the vein and the contact zone < 1% PY	106785	162.30	163.75	1.45	-0.03			
		-shearing and kink banding are prominent to the end of hole. - becomes slightly less sheared in the last meter.	106786	166.25	167.75	1.50	-0.03			
			106787	167.75	169.10	1.35	-0.03			
		167.65 - fault gouge	106788	169.10	170.10	1.00	-0.03			

Profondeur		Description	Numéro	Echantillon			Au	Ag		
De	A			De	A	Long.	g/T	g/T		
		176.10 - 177.10 20% QZ-CB veins (5 to 10 cm wide) in a fine grained CL+ matrix, some TO, < 1% Py.	106789	172.00	173.00	1.00	-0.03			
			106790	173.00	174.00	1.00	-0.03			
		179.30 - 180.70: lamprophyre dyke, sharp contacts at 85 C.A.	1067	176.10	177.10	1.00	1.00			
			106792	177.10	178.10	1.00	-0.03			
		179.90 - 180.20: QZ-CB-CL vein at 60 C.A. - slightly HM + - no visible sulphide	106793	178.10	179.30	1.20	-0.03			
			106794	179.30	179.90	0.60	-0.03			
		180.35 - 180.45: as 179.90 - 180.20: at 30 C.A.	106795	179.90	180.70	0.80	-0.03			
			106796	180.70	182.00	1.30	-0.03			
	190.80	END OF HOLE (CASING PULLED OUT)								
			106797	185.05	186.05	1.00	-0.03			
			106798	186.05	187.00	0.95	-0.03			

Collet		Client	Tests d'inclinaison			Sondage # DJ-87-25D				
		EXPLORATION BREX INC.	Profond	Angle	Azimut	Commencé le 87-12-15				
Grille		Projet	COLLAR	-50.00	180.00	Terminé le 87-12-16				
Ligne		Propriété	30.50	-45.00		Décrit par N. REARDON				
5+00 W		DESJARDINS	61.00	-43.00		Date 87-12-18				
Station		Canton/Rang/Lot	91.50	-43.00		Longueur 188.25 m				
4+00 N		DESJARDINS	122.00	-40.00		Co. forage SONDEX				
Elévation		Claim	152.50	-39.00		Objectifs Investigate the eastern extension of the gold bearing zone of 86-03				
		435310-3	183.00	-35.00		Résultats				
Azimut		Coordonnées				Zone not intersected				
180.00										
Angle		Notes								
-50.00		CASING LEFT IN (END OF HOLE)								
Profondeur		Description	Echantillon				Au	Ag		
De	A		Numéro	De	A	Long.	g/T	g/T		
0.00	14.63	OVERBURDEN								
14.63	24.40	SHEARED MAFIC VOLCANIC (OR SHEARED GABBRO?)	261153	23.65	24.30	0.65	-0.03			
		f. to m. gr., med. to dark green, sch. (50-55 C.A.), sch. loc. deflected to as little as 25 C.A. v.str. CL+, to 25% CL streaks., v. str. CB+ as diss. CB and mm veins and pods (3%), reg. and irreg., concordant and discordant to sch. sl. magnetic. Tr. PY	261154	24.30	24.60	0.30	0.11			
		14.63 - 17.20 freq. str. sheared, sch. disturbed (flattened to shallow angles to C.A., folded)								
24.40	80.40	SHEARED AMYGDALOIDAL BASALT, MASSIVE AND LOCALLY FRAGMENTAL	261155	24.60	25.80	1.20	0.15			
		-v.f.gr., dark green/dark blue-grey banded, sch. (50-55 C.A.), str. CL+, mod to str. CB+, CB as diss., mm spots (to 15%) and as occ. mm CB or QZ-CB veins often concordant to sch. but also at other various angles, occ. rusty alt. on frac. surfaces, non to sl. magnetic, loc. str. magnetic, Tr. to 2% PY f. diss., abundant (loc. to 10%) round xls often flattened parallel to sch. - white to dark gray. Most are CB but dark gray xls appear to be QZ (sent for thin section) and have CC pressure shadows.	261151	25.80	26.21	0.41	0.18			
		24.40 - 80.40 freq. cm CB-MT-PY pods as seen in 87-14,	261152	26.21	27.20	0.99	-0.03			
			261156	40.80	42.30	1.50	0.04			
			261157	42.30	43.80	1.50	0.09			
			261158	43.80	45.30	1.50	-0.03			
			261159	45.30	45.60	0.30	-0.03			
			261163	45.60	46.25	0.65	0.03			
			261164	46.25	46.80	0.55	-0.03			
			261160	46.80	48.30	1.50	-0.03			
			261161	48.30	49.95	1.65	-0.03			
			261162	49.95	50.80	0.85	0.03			

Profondeur		Description	Numéro	Echantillon			Au g/T	Ag g/T		
De	A			De	A	Long.				
		87-20, 87-22 - elongated parallel to sch., gen. lens shaped	261165	50.80	52.15	1.35	-0.03			
		deflect sch. 1-10% MT, 1-3% f. diss. PY.	261166	52.15	53.35	1.20	-0.03			
		25.80 - 26.21 sl. SI+ (grey, sl. beige) sl. brecc. QZ-CB	261167	53.35	54.90	1.55	0.04			
		vein (brecc. irreg.) 45 C.A. but perpendicular to sch., 5%	261168	54.90	56.50	1.60	-0.03			
		PY diss. and as cm bands.	261169	56.50	56.87	0.37	-0.03			
		31.50 - 45.58 abundant (to 10%) dark grey (QZ?) xls to	261170	56.87	58.00	1.13	-0.03			
		3 mm	261171	58.00	59.50	1.50	-0.03			
		34.10 3 mm sl. wavy QZ-CB vein 15 C.A.	261172	59.50	60.70	1.20	-0.03			
		40.80 incr. abundance of CB-MT-PY pods	261173	60.70	62.20	1.50	-0.03			
		42.45 1 cm boudinaged QZ vein 60 C.A.	261174	62.20	63.75	1.55	0.03			
		45.30 - 45.33 milky QZ pod (irreg.)	261175	63.75	65.25	1.50	-0.03			
		45.60 - 46.25 m. gr. pale greenish cream/grey mottled	261176	65.25	66.50	1.25	-0.03			
		int. dyke sch. - 55 C.A., sharp concordant contacts, some CL	261177	66.50	67.50	1.00	-0.03			
		streaks, 1% f. diss. PY.	261178	67.50	68.55	1.05	-0.03			
		48.30 - 48.90 occ. cm boudinaged concordant QZ veins	261179	68.55	70.00	1.45	-0.03			
		49.95 - 50.80 int. dyke as 45.60 - 46.25 but browner.	261180	70.00	71.40	1.40	-0.03			
		53.35 - 56.50 massive to faintly banded, round white CC to	261181	71.40	72.50	1.10	-0.03			
		5 mm (2%) - amygdules?	261182	72.50	73.85	1.35	-0.03			
		56.50 - 56.87 m. gr. green/white speckled int. dyke, sl.	261183	73.85	74.15	0.30	-0.03			
		HM+, 2% f. diss. or cubic PY to 1 mm sharp, concordant	261184	74.15	75.25	1.10	-0.03			
		contacts.	261185	75.25	76.75	1.50	-0.03			
		61.25 2 cm QZ irreg. pod with TO in CB-MT-PY pod with	261186	76.75	77.62	0.87	0.07			
		one 3 mm PY pod.	261187	77.62	78.25	0.63	-0.03			
		62.90 sch. loc. wavy	261188	78.25	79.45	1.20	-0.03			
		64.26 - 64.33 f. gr. yellowish-cream felsic dyke with	261189	79.45	80.40	0.95	-0.03			
		grey streaks, sch. (55 C.A.), sharp concordant contacts. no								
		min.								
		66.50 - 68.55 as 53.35 - 56.50								
		68.55 - 80.40 many CB-MT-PY pods have mm to 1 cm								
		purplish blue gray alt. haloes., freq. rusty alt. on frac. sur-								
		faces pervasive to 10 cm, loc. SI+.								

Profondeur		Description	Numéro	Echantillon			Au g/T	Ag g/T		
De	A			De	A	Long.				
		73.95 - 74.10 irreg. milky QZ pod with some CB, esp. at margins, no min.								
		75.15 1 cm QZ-CB vein 30 C.A.								
		77.62 - 78.75 f. gr. olive green, sch. (55 C.A.) 3% v. fine CL streaks, fairly sharp, concordant contacts, last 15 cm/mm banded, 1% f. diss. PY.								
		78.54 - 78.65; Sl+, beige, beige-grey alt. 2% f. diss. PY (and mm discont. PY bands)								
		78.65 - 79.45 loc. sl. Sl+, 1-2% f. diss. PY.								
		79.75 - 79.95 2% PY bands, 5% diss. PY. tot.								
80.40	97.60	MASSIVE MAFIC VOLCANIC	261190	80.40	81.20	0.80	-0.03			
		f. gr., med. olive green, sch. (55 C.A.), freq. str. CB (to 10% white irreg. CB), also occ. reg. mm CB veins 40-45 C.A.	261191	81.20	81.75	0.55	-0.03			
			261192	81.75	82.70	0.95	-0.03			
			261193	82.70	84.20	1.50	-0.03			
			261194	84.20	85.60	1.40	-0.03			
			261195	85.60	87.17	1.57	-0.03			
		-loc. wk to mod. Bl alt., < 1% f. diss. PY, loc. to 20% pale beige hypidiomorphic rhombohedral xls to 1 mm CB?								
		80.40 - 81.20 10% irreg. white CB+, sheared, sl. Bl alt.								
		81.20 - 81.75 10-20% beige xls., less sheared								
		81.75 - 84.20 as 80.40 - 81.20								
		84.20 - 85.60 as 81.20 - 81.75 but 5% - 10% xls.								
		85.60 - 87.17 as 80.40 - 87.17 loc. sl. bleached (Sl+)								
		85.66 1 cm pink CB vein (concordant)								
		85.88 - 86.10 20% white CB bands and cream QZ-CB pods sl. irreg. but gen. concordant to sch., rusty CB alt. on frac., some boudinage of pods, < 1% f. diss. PY.								
		86.20 - 86.30 as 85.88 - 86.10 one QZ-CB pod to 2 cm								

Profondeur		Description	Numéro	Echantillon			Au g/T	Ag g/T		
De	A			De	A	Long.				
		87.17 - 88.55; fragmental and amygdaloïdal section								
		88.41 - 88.49 folded, sheared white QZ-CB pods, sl. SI+, discont. mm PY bands, 3% f. diss. PY.	261196	91.45	92.45	1.00	-0.03			
		90.70 - 97.60; transition - irregular alternance of frag- ment amygdaloïdal volcanic with pseudo massive sections.	261197	96.32	97.60	1.28	0.03			
97.60	146.65	FRAGMENTAL MAFIC VOLCANIC AS 24.40 - 80.40	261198	97.60	98.00	0.40	-0.03			
			261199	98.00	98.70	0.70	-0.03			
			261200	98.70	99.27	0.57	0.23			
		97.60 - 98.00 grey-green/pale green mottled m. gr. int. dyke sharp concordant contacts, sl. EP+? 3 cm irreg. QZ- CB vein with one 2 mm PY pod, < 1% f. diss. PY.	261201	99.27	100.40	1.13	0.21			
			261202	100.40	101.00	0.60	1.56			
			261203	101.00	102.00	1.00	-0.03			
			261204	102.00	103.15	1.15	-0.03			
		98.00 - 98.70 well banded (55 C.A.), bleached, green to gray-green. < 1% f. diss. PY	261205	103.15	104.10	0.95	-0.03			
			261206	104.10	105.48	1.38	-0.03			
			261207	105.48	106.50	1.02	-0.03			
		98.70 - 99.27 SI+ dark grey to blue grey, 10% concor- dant mm QZ-CB veins/bands, occ. mm PY rich bands, 3% f. diss. PY.	261208	106.50	108.00	1.50	-0.03			
			261209	108.00	109.00	1.00	-0.03			
		98.99 - 99.03 str. magnetic 20% MT.	261210	109.00	110.05	1.05	0.03			
			261211	110.05	110.65	0.60	-0.03			
			261212	110.65	111.35	0.70	0.85			
		99.27 - 103.15 well banded olive green becoming dark grey (SI+) downhole, freq. rusty alt. at frac. but penetra- ting to 5 cm beyond frac. tr. to 3% f. diss. PY.	261213	111.35	111.90	0.55	-0.03			
			261214	111.90	113.00	1.10	0.06			
			261215	113.00	114.60	1.60	-0.03			
			261216	114.60	115.65	1.05	0.03			
		100.40 - 101.00 brecc., dark beige alt. (SI+), 3% discont CL mm bands mm to cm QZ-CB pods. 2% f. diss. PY., last 20 cm str. rusty alt.	261217	115.65	116.27	0.62	0.03			
			261218	116.27	117.65	1.38	-0.03			
		102.35 - 102.40 cm QZ-CB pods/bands cut by 5 mm QZ vein with CB, 3% f. diss. PY.	261219	117.65	118.70	1.05	0.05			
			261220	123.00	123.90	0.90	-0.03			
			261221	123.90	124.20	0.30	0.19			
		103.15 - 105.48; int. dyke brown-green to gray-green m. gr. mottled int. dyke, sl. SI+, loc. sl. HM+, sch. 50 C.A. defi- ned by CL streaks, sharp concordant contacts, first 30 cm	261222	124.20	125.10	0.90	-0.03			
			261223	125.10	126.00	0.90	0.04			
			261224	126.00	126.75	0.75	-0.03			
			261225	126.75	127.20	0.45	0.56			

Profondeur		Description	Numéro	Echantillon			Au g/T	Ag g/T		
De	A			De	A	Long.				
		speckled (white spots < 1 mm), gen. becomes coarser gr. downhole, to 10% mm to cm sl. pink QZ-CB veins/pods, concordant discordant, sometimes boudinaged.	261226	127.20	128.20	1.00	-0.03			
			261227	128.20	129.44	1.24	-0.03			
			261228	129.44	130.40	0.96	-0.03			
		104.60 - 104.77 40% brown QZ-CB (SI+), occ. cubic PY to 2 mm.	261229	130.40	131.35	0.95	0.03			
			261230	131.35	131.70	0.35	-0.03			
		104.77 - 104.95 sch. microfolded.	261231	131.70	132.70	1.00	0.03			
			261232	132.70	134.00	1.30	-0.03			
		105.48 - 108.20 sl. coarser grained, faintly banded fairly homogeneous olive green.	261233	134.00	135.50	1.50	-0.03			
			261234	135.50	136.85	1.35	-0.03			
		106.90 and 107.05 blue gray alt. 1 cm around frac.	261235	136.85	137.50	0.65	-0.03			
			261236	137.50	137.90	0.40	0.34			
		110.05 - 111.35 yellow beige (100%) SI+, faintly to fairly well banded, 5-15% MT, 1-3% f. diss. PY.	261237	137.90	138.40	0.50	0.13			
			261238	138.40	139.40	1.00	-0.03			
		110.90 - 111.30 sl. pink, faint mm reddish spots 5%	261239	139.40	141.00	1.60	-0.03			
			261240	141.00	142.00	1.00	-0.03			
		111.35 - 111.90 beige-gray, SI+, 1-2% f. diss. PY., str. magnetic (5-10% MT)	261241	142.00	142.80	0.80	-0.03			
			261242	142.80	143.10	0.30	0.03			
		111.90 - 114.58 loc. SI+, sl. HM+ with QZ-CB 1% f. diss. PY	261243	143.10	144.00	0.90	-0.03			
			261244	144.00	144.85	0.85	0.03			
		113.75 - 114.58 5% MT to 3 mm. 1-2% f. diss. PY	261245	144.85	146.05	1.20	0.03			
		114.58 - 115.65 as 56.50 - 56.87 but no HM+	261246	146.05	146.65	0.60	0.12			
		115.65 - 116.27 mm to cm black/peach to brick red bands less pronounced downhole, some brecc., mm tension gashes CB parallel to C.A. 1-2% f. diss. PY. sch. 55 C.A.								
		117.75 brecc., 3 cm QZ-CB vein with TO								
		118.25 - 118.30 brecc. QZ-CB filling								
		120.70 - 123.75 more massive, as 105.48 - 108.20 sch. 55-60 C.A.								
		123.75 - 129.35; amygdaloidal flow								
		125.10 - 126.75 freq. steel-gray SI+ as mm to cm bands with assoc. QZ-CB veins/pods and PY								
		125.45 - 125.55 two cm PY rich pods								

Profondeur		Description	Numéro	Echantillon			Au g/T	Ag g/T		
De	A			De	A	Long.				
		126.85 - 127.10 dark beige/grey alt, 5% MT, 1-2% f. diss. 2 cm QZ vein 70 CA at 126.94								
		129.35 - 146.05; fairly massive, very little amygdule								
		129.44 - 130.40 sl. bleached, gen. massive, loc. cream to beige mm bands, SI+								
		135.40 - 135.75 mm boudinaged QZ-CB veins (concordant)								
		137.50 - 137.90 90% banded beige alt. and QZ-CB. first 10 cm brecc., 2% f. diss. PY assoc. with beige SI "buff alt."								
		141.20 - 141.80 as 129.44 - 130.40								
		142.80 - 143.10 str. banded, mm to cm dark gray bands 15%, 10% mm concordant QZ-CB veins, tr. HM+. 5% mm PY rich CB bands 20-50% PY; 3% PY total. some relief of amygdules								
		143.20 5 mm PY rich band								
		143.75 - 144.85 almost black, 1-2% round white CC, 5-10% mm QZ-CB or QZ veins/pods. sometimes with TO, occ. mm gray PY - rich bands; 2-3% f. diss. PY.								
146.65	156.80	SHEARED MAFIC VOLCANIC	261247	146.65	147.65	1.00	0.08			
		146.65 - 156.80	261248	147.65	149.05	1.40	-0.03			
		- wk. to str. bleached SI+, gen. str. banded (cream to pale yellow mm bands 60 C.A.), CL+, 10-15% QZ veins, wk to str. SI+, often gray-green, loc. HM+, v. little CB+, occ. cm QZ veins pods at various angles C.A.	261249	149.05	150.05	1.00	0.12			
			261250	150.05	150.80	0.75	0.12			
			261251	150.80	151.60	0.80	0.08			
			261252	151.60	152.15	0.55	0.33			
			261253	152.15	152.97	0.82	0.8			
			261254	152.97	153.45	0.48	0.31			
		149.40 - 150.05 gray to pink gray str. SI+, loc. str. HM+ some microfolding of bands.	261255	153.45	153.75	0.30	0.53			
			261256	153.75	154.23	0.48	0.68			
		149.80 - 150.05 80% beige alt. 10% QZ, 2-3% f. diss. PY. assoc. with beige alt.	261257	154.23	155.10	0.87	0.09			
			261258	155.10	156.40	1.30	-0.03			

Profondeur		Description	Echantillon				Au	Ag		
De	A		Numéro	De	A	Long.	g/T	g/T		
		150.65 - 150.82 as 137.50 - 137.60	261259	156.40	156.80	0.40	0.18			
		152.15 - 152.97 as 137.50 - 137.60 some bands but mostly sheared or brecc., 5% QZ, 2% f. diss. PY.								
		153.45 - 153.75 as 149.80 - 150.05								
		153.75 - 154.23 dark gray green/pale beige cm bands str. sheared, occ. folded. str. folded cm QZ veins with CB, Tr PY								
		154.23 - 156.80 str. sheared, microfolded.								
156.80	163.50	MAFIC VOLCANIC (BASALT)	261260	156.80	158.00	1.20	-0.03			
			261261	158.00	159.50	1.50	-0.03			
		green, f. gr., sch. at 60 C.A., rarely massive and uniformly textured rock. less than 5% f. QZ-CB veinlets mostly concordant to the sch. non-magnetic. matrix str. CB+ (CC) < 1% diss. PY	261262	159.50	161.00	1.50	-0.03			
			261263	161.00	162.50	1.50	-0.03			
			261264	162.50	163.50	1.00	-0.03			
163.50	188.25	SHEARED MAFIC VOLCANIC	261265	163.50	164.20	0.70	0.03			
			261266	164.20	164.90	0.70	0.07			
		Probably the same unit than above, however, shearing and faulting is obvious - shearing at 60 C.A.	261267	164.90	165.90	1.00	-0.03			
			261268	165.90	167.30	1.40	0.04			
			261269	167.30	167.80	0.50	0.03			
		greenish-gray to black, very fine to fine grained, strongly CB+ and CL+. 5% white to vitrous 2 cm QZ veins and pods.	261270	167.80	169.56	1.76	-0.03			
			261271	169.56	170.60	1.04	0.03			
			261272	170.60	171.20	0.60	-0.03			
		Zones of QZ injections appear loc. banded - possibly inter-flow tuff. 3-5% white stretched CB-QZ*pods* or amygdules throughout the unit.	261273	171.20	171.80	0.60	0.42			
			261274	171.80	172.10	0.30	1.4			
			261275	172.10	173.00	0.90	-0.03			
			261276	173.00	173.70	0.70	-0.03			
		163.50 - 177.20: 10% PY as diss. and bands parallel to the sch. - bands/veins vary from few mm to loc. 3 cm and are composed of QZ-CB-PY, loc. they contain MT. loc., the PY content can reach up to 25% over 20 cm.	261277	173.70	174.30	0.60	1.61			
			261278	174.30	174.63	0.33	-0.03			
			261279	174.63	175.20	0.57	0.16			
			261280	175.20	176.20	1.00	0.14			
			261281	176.20	177.20	1.00	-0.03			

Collet		Client	Tests d'inclinaison			Sondage # DJ-88-26				
		EXPLORATION BREX INC.	Profond	Angle	Azimet	Commencé le	88-01-05			
Grille	Projet		COLLAR	-50.00	180.00	Terminé le	88-01-09			
Ligne	Propriété		30.50	-48.00		Décrit par	N. REARDON			
3+00 W	DESJARDINS		61.00	-47.00		Date	87-12-13			
Station	Canton/Rang/Lot		91.50	-46.00		Longueur	273.10 m			
4+20N	DESJARDINS		122.00	-46.00		Co. forage	SONDEX			
Elévation	Claim		152.50	-45.00		Objectifs	Investigate the eastern extension of the gold-bearing zone of hole 86-03			
	435310-1		183.00	-44.00		Résultats	Zone intersected at 119.10-122.10			
Azimet	Coordonnées		213.50	-44.00			132.30 - 133.12			
180			244.00	-42.00						
Angle	Notes		267.00	-40.00						
50	CASING PULLED OUT									
Profondeur		Description	Echantillon				Au	Ag		
De	A		Numéro	De	A	Long.	g/T	g/T		
0.00	16.46	OVERBURDEN								
16.46	32.15	MAGNETIC BASALT (Y3B)	261301	16.46	17.10	0.64	-0.03			
		-v. f. to f. gr. massive to sch. (45-50 C.A.) -v. dark gray, sl. green, occ. rusty alt. on frac. -CL+, (occ. mm to cm CL bands) SI+, loc. sl. EP+, loc. str. CB+ (diss.) - also reg. and irreg. mm CB veins at various angles to C.A. -str. to v. str. magnetic -gen. 0 - Tr. PY, v. loc. to 2%. - lower contact net sharp, concordant, marked by decr. magnetism	261302	17.10	18.00	0.90	-0.03			
		19.60 - 20.20 m. gr. mafic dyke, dark green-gray/white (CB+) mottled, str. CB+ (diss. grains), sl. magnetic, 1% cubic PY to 1 mm. Contacts not seen (broken core)	261303	18.00	19.60	1.60	-0.03			
		25.02 - 25.10; 3% f. diss. PY	261304	19.60	20.20	0.60	-0.03			
		28.75 - 29.15 as 19.60 - 20.20 upper contact sharp, concordant (45 C.A.), lower contact not seen (lost core)	261305	20.20	21.20	1.00	-0.03			
			261306	21.20	22.50	1.30	-0.03			
			261307	22.50	24.00	1.50	-0.03			
			261308	24.00	24.90	0.90	-0.03			
			261309	24.90	25.20	0.30	0.55			
			261310	25.20	26.21	1.01	-0.03			
			261311	26.21	27.20	0.99	-0.03			
			261312	27.20	28.75	1.55	-0.03			
			261313	28.75	29.15	0.40	-0.03			
			261314	29.15	30.50	1.35	-0.03			
			261315	30.50	32.00	1.50	-0.03			
			261316	32.00	32.31	0.31	-0.03			
32.15	115.25	BASALT (Y3B) - GABBRO (I3G)	261317	32.31	33.31	1.00	-0.03			
		-f. to m. gr. - v. dark gray to dark gray green homogeneous, sch. (50 - 55 C.A.) to massive -sl. to str. CB+, CB incr.	261318	36.50	37.50	1.00	0.04			

Profondeur		Description	Numéro	Echantillon			Au g/T	Ag g/T		
De	A			De	A	Long.				
		with incr. shear - mod. CL+, loc EP+ as irreg. to reg. EP or or QZ-EP veins /pods (mm to 10 cm) -sl. to str. CB+, CB+ incr. with incr. shear, 1% reg. to irreg. mm CB veins at various angles to C.A., some concordant to sch.	261319	39.00	39.75	0.75	-0.03			
			261320	48.05	48.35	0.30	0.03			
		39.00 - 39.75; incr. sch. CB+	261321	50.00	50.30	0.30	0.03			
		42.40 - 42.60 folded irreg. 1 cm EP-CB vein approx. parallel to C.A.	261322	56.00	56.75	0.75	0.12			
			261323	58.50	58.80	0.30	-0.03			
		46.74 - 46.81; diffuse EP-CB-QZ bands 50 C.A.	261324	58.80	59.74	0.94	-0.03			
			261325	59.74	60.50	0.76	0.03			
			261326	60.50	61.50	1.00	0.03			
		48.17 - 48.26 as 46.74 - 46.81 but more EP	261327	61.50	62.79	1.29	-0.03			
		50.09 - 50.11; SI+, gray-brown QZ	261328	66.90	68.50	1.60	-0.03			
			261329	68.50	69.33	0.83	-0.03			
		58.60 - 58.75; incr. sch., CB+, CL+	261330	69.33	69.80	0.47	-0.03			
			261331	69.80	70.10	0.30	-0.03			
		58.90 - 59.75 occ. mm PY pods/wisps, to 1% PY; incr. sch. CB+	261332	70.10	71.70	1.60	-0.03			
			261333	81.65	83.05	1.40	0.06			
		61.50 - 62.80 mod. SI+, str. CB+, sl. brownish, some gray -brown cm QZ pods, veins, 1-2% f. diss. PY	261334	83.05	83.32	0.27	2.60			
			261335	83.32	83.60	0.28	0.10			
			261336	83.60	85.15	1.55	-0.03			
		66.94 - 67.09 as 48.17 - 48.26								
			261337	87.50	89.90	1.95	-0.03			
		67.09 - 68.45; str. magnetic								
			261338	87.90	89.45	1.55	-0.03			
		68.45 - 69.33 mod. SI+, str. CB+ (f. diss.), loc. gray-brown QZ 1-2% f. diss. PY, sl. magnetic	261339	89.45	89.75	0.30	0.03			
			261340	89.75	91.10	1.35	-0.03			
			261341	91.10	92.60	1.50	-0.03			
		69.33 - 69.80; 5% CL streaks parallel to sch. (45 C.A.) sl magnetic	261342	92.60	94.00	1.40	-0.03			
			261343	94.00	95.50	1.50	0.04			
		69.80 - 70.10; black SI+, Tr. PY, str. magnetic	261344	95.50	97.00	1.50	0.03			
			261345	97.00	98.50	1.50	0.17			
		80.56 - 80.60; QZ-CB-EP vein 45 C.A.	261346	98.50	100.00	1.50	-0.03			

Profondeur		Description	Echantillon			Au	Ag		
De	A		Numéro	De	A	Long.	g/T	g/T	
		81.65 - 83.60; incr. sch. (45-50 C.A.), incr. CB+	261347	100.00	101.00	1.00	-0.03		
			261348	101.00	101.50	0.50	0.03		
			261349	101.50	103.00	1.50	-0.03		
		83.05 - 83.32; SI+, BI alt. v. str. CB+ (f. diss.), sch. 50 C.A.	261350	103.00	104.50	1.50	-0.03		
			261351	104.50	106.00	1.50	-0.03		
			90882	106.00	106.60	0.60	0.07		
		83.60 - 85.15; Tr. to 1% PY, occ. mm PY wisps	90883	106.60	107.15	0.55	-0.03		
			90884	107.15	108.07	0.92	0.04		
		87.50 - 87.90; gray green, sl. mottled, sl. SI+	90885	108.07	108.51	0.44	-0.03		
			90886	108.51	109.00	0.49	0.04		
		89.05 - 102.50; incr. shearing, to 10% mm CB bands parallel to sch.: 35-40 C.A. (92.00 - 102.99 20 C.A.)	90887	109.00	109.50	0.50	0.07		
			90888	109.50	110.50	1.00	0.06		
			261352	110.50	111.57	1.07	0.04		
		89.45 - 89.65; mm banded (white CB) BI alt.	261353	111.57	111.89	0.32	-0.03		
			261354	111.89	112.80	0.91	-0.03		
		93.05 - 93.15; CB+, SI+, brecc.	261355	112.80	113.25	0.45	-0.03		
			261356	113.25	114.35	1.10	-0.03		
		101.00 - 101.50; 40% QZ-CB as bands (mm to cm) and pods with CL, Tr. PY	261357	114.35	115.25	0.90	-0.03		
		90882 - 1% QZ-CB-feldspar? mm to cm bands/pods, loc. becc. 106.43 - 2 mm PY band concordant (50 C.A.)							
		90883 - 30% QZ-CB veins, gen. concordant, str. SI+, blue-gray, sl. BI alt., 5-7% f. diss. Py							
		90884 - mod. SI+, 1% QZ-CB veins, loc. BI alt. first 15 cm 5% v. f. diss. PY, first 2 cm QZ vein with massive (adj.) PY							
		90885 - 20% QZ-CB veins, str. SI+, sl. BI alt., 5% f. diss. PY							
		90886 - sl. SI+, <1% QZ-CB, sl. BI alt. 2-3% f. diss. PY or as mm wisps parallel to sch. (50 C.A.)							
		90887 - 15% mm QZ-CB veins (concordant), str. SI+, first 10 cm str. BI alt., 7% f. diss. PY, decr. downhole							
		90888 - as 90886							

Profondeur		Description	Numéro	Echantillon			Au g/T	Ag g/T		
De	A			De	A	Long.				
		122.70 - 122.73; for thin section 261359 - 1-3% f. diss. PY 5% v. f. diss. MT 261360 - 1-2% v. f. diss. PY, 10% v.f. diss. MT								
124.70	135.50	MASSIVE BASALT (PROBABLY AS 115.25 - 124.70 BUT LESS SI+) AS 32.15 - 115.25 BUT NO EP+ -10-15% v.f. diss. MT -tr. to 1% f. diss. PY 131.50 - 135.40; banded with 5% mm to cm cream to gray silicious bands (50 C.A.), loc. str. SI+ (same as 115.25 - 124.70?) 90897 - 5% gray SI+, 1% f. diss. PY 90898 str. SI+, light beige-gray 5-10% v. f. diss. MT, 2- 4% v. f. diss. PY 90899 - 5% gray SI+, mottled green (chloritic) white	261361 261362 261363 261364 261365 90897 90898 90899 261366 261367	124.70 126.00 127.50 129.00 130.20 131.30 132.30 133.12 133.80 135.40 136.50	126.00 127.50 129.00 130.20 131.30 132.30 133.12 133.80 135.40 136.50	1.30 1.50 1.50 1.20 1.10 1.00 0.82 0.68 1.60 1.10	0.07 -0.03 -0.03 0.06 0.03 0.14 9.81 0.07 0.05 0.11	0.07 -0.03 -0.03 0.06 0.03 0.14 9.81 0.07 0.05 0.11		
135.50	166.10	SHEARED BASALT (Y3B) -f. gr., dark olive green -mod. to str. sheared, sch. 50 C.A., shear incr. downhole -str. CL+, str. CB+ as 5-10% white wavy or mm banded CB (concordant to sch.), v. loc. well banded CB -loc. SI+, BI alt., loc. HM+ -loc. SI+, BI alt., loc. HM+, -sl. to mod. magnetic, 3-6% v. f. diss. MT, incr. downhole -Tr. to 1% f. diss. PY Box 22 (135.94 - 1421.99) dropped at drill 146.03 - 146.19; str. SI+, black/dark brown, mm QZ veins 45 and 75 C.A. 162.65 -163.20; str. BI alt., 5% QZ, QZ-CB, 1-2% f. diss. PY	261368 261369 261370 261371 261372 261373 261374 261375 261376 261377 261378 261379 5104 5105 261380	136.50 138.00 139.50 141.00 142.50 144.00 145.50 147.00 148.50 150.00 151.50 153.00 153.00 160.50 161.65 162.65	138.00 139.50 141.00 142.50 144.00 145.50 147.00 148.50 150.00 151.50 153.00 154.50 161.50 162.65 163.20	1.50 1.50 1.50 1.50 1.50 1.50 1.50 1.50 1.50 1.50 1.50 1.50 1.00 1.00 0.55	-0.03 0.07 -0.03 0.04 -0.03 -0.03 -0.03 -0.03 -0.03 -0.03 0.05 -0.03 0.65 -0.03 1.95	-0.03 0.07 -0.03 0.04 -0.03 -0.03 -0.03 -0.03 -0.03 -0.03 0.05 -0.03 0.65 -0.03 1.95		

Profondeur		Description	Echantillon			Au	Ag		
De	A		Numéro	De	A	Long.	g/T	g/T	
		165.55 - 165.85 as 162.65 - 163.20 but sl. BI alt.	5106	163.20	164.20	1.00	-0.03	0.03	
			5107	164.20	165.55	1.35	-0.03	-0.03	
			261381	165.55	165.85	0.30	0.68	0.68	
			5108	165.85	166.85	1.00	-0.03	-0.03	
			5109	166.85	167.85	1.00	-0.03	-0.03	
166.10	179.00	SPOTTED GABBRO (OR COARSE GRAINED VOLCANIC?)	261382	170.50	170.80	0.30	0.23	0.23	
		-c. gr. dark green, spotty texture -loc. mm to mm x cm cl. streaks -mod. to str. CB+, CB+ incr. with incr. shear - CB as f. diss. or blue gray mm to cm QZ-CB veins at various angles to C.A. -sl. to mod. EP+, str. CL+ -loc. BI alt. 5-10% f. diss. MT tr. to 1% f. diss. PY	261383	173.05	173.35	0.30	-0.03	-0.03	
			261384	174.30	174.60	0.30	0.09	0.09	
		170.62 - 170.70 sl. HM+ blue-gray QZ-CB vein/pod with 3% f. diss. PY							
		173.22 mm PY pod							
		174.37 - 174.50: brecc. cm EP-CB pods							
179.00	206.36	SHEARED GABBRO	261385	179.00	179.75	0.75	-0.03	-0.03	
			261386	179.75	180.00	0.25	-0.03	-0.03	
		-m to c. gr., dark green, massive to sheared -sch. (when present) 45-55 C.A., loc. shows good gabbro texture as 166.10 - 179.00 -CL+, CB+, EP+, loc. BI alt.	261387	180.15	181.66	1.51	-0.03	-0.03	
			261388	181.66	182.00	0.34	0.04	0.04	
		179.00 - 196.00; mod to str. magnetic	261389	187.80	189.00	1.20	-0.03	-0.03	
		179.90 - 179.95; SI+, brecc., 2-3% f. diss. PY	261390	196.00	196.65	0.65	0.03	0.03	
			261391	196.65	198.00	1.35	0.59	0.59	
		187.80 - 189.00; sch. deflected to 30-35 C.A.	261392	204.50	206.00	1.50	-0.03	-0.03	
		196.00 - sch. 60 C.A.	261393	206.00	206.36	0.36	-0.03	-0.03	
		194.30 - 194.60; euhedral plagioclase xls to 3 mm (needle-like) 15%							
		196.00 - 206.36; sl. magnetic							

Profondeur		Description	Numéro	Echantillon			Au g/T	Ag g/T		
De	A			De	A	Long.				
		204.50 - 206.36; well developed chilled margin, f. gr., homogeneous -lower contact defined by marked incr. in magnetism								
206.36	212.75	MAGNETIC BASALT (PILLOWED?)	261394	206.36	207.60	1.24	0.33	0.33		
			261395	207.60	209.00	1.40	-0.03	-0.03		
		-v.f. to f. gr., dark gray-green with 20% mm to cm irreg. EP patches (pillow junctions?) -sl. porphyritic, non to loc. mod. sch. 60 C.A. - appears banded, mod CB+ as diss. CB	261396	209.00	210.50	1.50	-0.03	-0.03		
		or occ. mm veins 50 - 60 C.A., mod. CL+, v. str. magnetic, esp. dark gray *bands*, EP patches less magnetic, Tr. PY	261397	210.50	212.00	1.50	-0.03	-0.03		
		-lower contact defined by disappearance of EP pods and str. magnetism	261398	212.00	212.75	0.75	-0.03	-0.03		
212.75	262.65	SHEARED, PILLOWED? *PSEUDO FRAGMENTAL* BASALT	261399	212.75	214.00	1.25	-0.03	-0.03		
			261400	214.00	215.50	1.50	-0.03	-0.03		
		-v. f. to f. gr. dark gray-green with 20-25% mm to cm (but gen. 1 cm) green chloritic bands parallel to sch. (55, loc. 60 C.A.) - pillow rims?, gray sections str. CB+ as 10	261401	215.50	217.00	1.50	-0.03	-0.03		
		-15% mm gray-white spots elongated parallel to sch.; loc., with incr. shear, CB as mm bands parallel to sch., occ. mm	261402	217.00	218.00	1.00	0.08	0.08		
		CB veins at various angles to C.A. but often 45 C.A. (perpendicular to sch.) Also 1-2% mm CB tension gashes 0-25 C.A.	174751	218.00	219.00	1.00	0.57	0.57		
		-loc. Sl+, sl. to mod. magnetic, Tr. to 3% f. diss. PY	174752	219.00	219.70	0.70	4.91	4.91		
			174753	219.75	220.50	0.75	1.16	1.16		
		218.00 - 219.00; sl. to mod. Sl+, loc. str. CB+. 2-4% PY	174754	220.50	221.50	1.00	0.19	0.19		
		f. diss. or as veinlets	261403	221.50	223.00	1.50	0.32	0.32		
			261404	223.00	224.50	1.50	0.09	0.09		
		219.00 - 220.30; med. gray. str. Sl+, to 30% mm (occ. cm) QZ veins, 5-10% PY as f. diss., veinlets or patches to 1	261405	224.50	226.00	1.50	-0.03	-0.03		
		cm loc. str. CB+	261406	226.00	227.50	1.50	-0.03	-0.03		
			261407	227.50	228.90	1.40	-0.03	-0.03		
		174754 - first 50 cm 50-60% QZ, QZ-CB, 10% PY	261408	228.90	230.43	1.53	-0.03	-0.03		
			261409	230.43	232.00	1.57	0.08	0.08		
			261410	232.00	233.48	1.48	0.24	0.24		
			261411	233.48	234.95	1.47	1.43	0.43		
			261412	234.95	236.52	1.57	-0.03	-0.03		
			261413	236.52	238.00	1.48	-0.03	-0.03		
		220.60 - 223.00; str. sheared (sch. 60 C.A.)	261414	238.00	239.50	1.50	-0.03	-0.03		
			261415	239.50	241.00	1.50	0.06	0.06		
		228.92 - 229.18; green/white mottled mafic dyke 25% CL	261416	241.00	242.50	1.50	-0.03	-0.03		
		streaks - sch. 60 C.A.	261417	242.50	244.00	1.50	-0.03	-0.03		

Collet		Client		Tests d'inclinaison			Sondage # DJ-88-27			
		EXPLORATION BREX INC.		Profond	Angle	Azimet	Commencé le 88-01-09			
Grille		Projet		COLLAR	-50.00	180.00	Terminé le 88-01-12			
Ligne		Propriété		30.50	-48.00		Décrit par N. REARDON			
2+50 W		DESJARDINS		61.00	-46.00		Date 88-01-13			
Station		Canton/Rang/Lot		91.50	-45.00		Longueur 224.33 m			
4+15 N		DESJARDINS		122.00	-41.00		Co. forage SONDEX			
Elévation		Claim		152.50	-38.00		Objectifs To investigate the eastern extension of the gold-bearing zone tending NE and the gold-bearing zone of 87-13 at depth			
		435310-1		183.00	-36.00		Résultats			
Azimet		Coordonnées		213.50	-34.00		Zone not intersected			
180.00										
Angle		Notes								
-50.00		CASING PULLED OUT								
Profondeur				Echantillon			Au	Ag		
De	A	Description		Numéro	De	A	Long.	g/T	g/T	
0.00	19.81	OVERBURDEN								
19.81	27.87	MAGNETIC BASALT (V3B)		261451	21.95	22.83	0.88	-0.03		
		dark green to green-black, f. gr., str. magnetic black mm to cm bands reg. and somewhat irreg., gen. parallel to sch., sl. sch., 50 C.A. incr. sch. last 2 m., mod. CB+ as diss. CB and occ. reg. mm veins 45 C.A. or tension gashes 0-15 C.A., occ. CB-EP pods, mod. CL+, EP+ as cm EP pods or mm irreg. EP veins, loc. SI+, BI alt., lower contact (?) sharp 52 C.A. Tr PY, mod. to st. magnetic		261452	24.50	25.62	1.12	0.03		
		21.95 - 22.83: mod. SI+, BI alt.;								
		22.30 - 22.53: sch. mottled with white CB, 2% f. diss. PY (mafic dyke?)								
27.87	56.69	BASALT (V3B)		261453	42.02	42.40	0.38	0.12		
		green-black, f. gr. homogeneous, loc. mod schistose., sch. 45-50 C.A., str. CB+ as diss. CB, also some (<1%) mm reg and irreg. CB veins parallel to sch. and at various angles to C.A.		261454	42.40	43.90	1.50	0.04		
		or as tension gashes 0-15 C.A., mod CL+, loc. EP+ (occ. EP-		261455	43.90	45.40	1.50	-0.03		
				261456	45.40	46.90	1.50	0.05		
				261457	46.90	47.55	0.65	0.04		
				261458	47.55	48.42	0.87	0.05		

Profondeur		Description	Numéro	Echantillon			Au	Ag		
De	A			De	A	Long.	g/T	g/T		
		CB veins), loc. SI+, BI alt. wk. to st. magnetic, Tr. to 1% f. diss. PY, occ. PY wisps	261459	48.42	49.18	0.76	-0.03			
			261460	49.18	50.60	1.42	1.40			
			261466	50.60	50.95	0.35	-0.03			
		31.82 - 33.18: sl. magnetic, incr. shear, 1-2% CB veins no min.	261461	50.95	51.92	0.97	0.03			
			261462	55.50	56.69	1.19	-0.03			
		42.02 - 43.90: as 31.82 - 33.18 but 2% PY as mm wisps parallel to sch. (50 C.A.), 42.40 - 43.90 mod. SI+, black	261463	59.10	60.35	1.25	0.06			
			261464	60.35	61.90	1.55	0.03			
			261465	61.90	63.40	1.50	-0.03			
		46.90 - 47.55: SI+ (black), sl. BI alt. tr. to 1% f. diss. PY or mm PY wisps	261467	67.70	69.00	1.30	0.03			
			261468	71.70	72.08	0.38	0.05			
		47.55 - 48.35: brown, SI+, BI alt., sl. brecc., 1% f. diss. PY, mafic dyke?	261469	74.00	74.64	0.64	0.06			
			261470	74.64	75.55	0.91	0.04			
		48.35 - 48.42: black, SI+, 2% cubic PY < 1 mm	261471	75.55	76.37	0.82	0.04			
			261472	76.37	77.81	1.44	0.03			
		48.42 - 49.18: green/white mottled int. dyke, sharp concordant contacts, no min.	261473	80.70	82.00	1.30	-0.03			
			261474	82.00	83.27	1.27	-0.03			
			261475	83.27	83.58	0.31	0.50			
		49.80 - 50.60: 3% QZ-CB veins, 1-2% PY, f. diss. and as wisps	261476	83.58	85.03	1.45	0.03			
			261477	85.03	86.50	1.47	-0.03			
			261478	86.50	87.17	0.67	-0.03			
		50.60 - 50.95: 15% *wavy white* CB+, tr. PY	261479	87.17	88.30	1.13	0.63			
		50.95 - 51.92: m. gr. dark brown CB+ mafic dyke, sch. (50 C.A.), sharp concordant contacts, tr. to 1% f. diss. PY								
56.69	74.64	SHEARED BASALT (Y3B) dark green-black to dark gray green, f. gr., mod to str. sheared (sch. 45-50 C.A.), str. CB+ as diss. CB and as reg. and irreg. (sheared) mm veins at various angles to C.A. loc. SI+, BI alt.								

Profondeur		Description	Numéro	Echantillon			Au g/T	Ag g/T		
De	A			De	A	Long.				
		59.25 - 64.50: sch. to 35-40 C.A.								
		69.20 - 74.60: sch. at 45-50 C.A.								
		71.86 - 72.03: mod. SI+, (black) BI alt., 1% f. diss. PY								
		74.07 - 74.64: mod. SI+, (black) BI alt. str. CB+, lower contact sharp, 30 C.A.								
74.64	88.30	MAGNETIC BASALT : as 27.87 - 56.69								
		74.64 - 76.20: sch. 35-40 C.A.								
		77.15 - 77.43: mm vuggy iron CB vein 0 - 10 C.A.								
		83.27 - 83.50: sl. SI+, 2% f. diss. PY								
		87.54 irreg. brecc. 1 cm feldspar? - QZ - CL vein								
		87.17 - 88.30: med. to dark gray SI+, loc. sl. dark beige sl. banded (3% mm to cm QZ veins) 2-3% f. diss. PY, str. magnetic, lower contact defined by loss of strong magnetism								
88.30	145.05	SHEARED TO BANDED MAFIC VOLCANIC (Y3B)	261480	88.30	89.50	1.20	1.80			
		f. gr. dark green homogeneous composition, mod to str. shea- red, becoming banded (mm silicious, often HM+ and/or bands) with incr. shear, sch. 45-50 C.A., incr. downhole (approx. 112 m) to 55- 60 C.A.	261481	89.50	90.55	1.05	0.32			
		-mod. to str. CB+ (when not banded), banded sections mod. to str. SI+, CB+ as diss. CB, mm CB or QZ-CB veins at vari-	261482	90.55	91.80	1.25	0.72			
			261483	91.80	92.70	0.90	1.15			
			261484	92.70	93.20	0.50	0.98			
			261485	93.20	93.75	0.55	0.18			
			261486	93.75	95.25	1.50	-0.03			
			261487	95.25	96.70	1.45	-0.03			

Profondeur		Description	Echantillon			Au	Ag		
De	A		Numéro	De	A	Long.	g/T	g/T	
		ous angles to C.A., but gen. parallel to sch., or as mm to cm irreg. *wavy white* CB pods.	261488	96.70	98.15	1.45	-0.03		
		-mod. CL+, freq. has mm CL streaks parallel to sch.	261489	98.15	98.60	0.45	0.16		
		-variably magnetic - non to mod., loc. v. f. to f. diss MT to 20%, Tr. to 1% f. diss. PY	261490	98.60	99.58	0.98	0.03		
			261491	99.58	101.05	1.47	0.03		
			261492	101.05	102.55	1.50	0.05		
			261493	102.55	103.40	0.85	-0.03		
		88.30 - 126.80: sheared, look locally as banded du to abundant felsic (20%) intrusion parallel to the sch.: intrusion are of CB,CB-QZ, QZ-CB-HM composition	261494	103.40	103.70	0.30	-0.03		
			261495	103.70	105.20	1.50	0.03		
			261496	105.20	105.60	0.40	-0.03		
			261497	105.60	106.20	0.60	0.16		
			261498	106.20	107.70	1.50	-0.03		
		88.30 - 89.50: 100% gray Sl+, 1-2% f. diss. PY or PY wisps	261499	107.70	108.17	0.47	0.71		
			261500	108.17	108.70	0.53	0.06		
			261501	108.70	110.00	1.30	-0.03		
		89.50 - 90.55: str. Sl+, gray, 3% mm green CL streaks, 2% black streaks (CL?), occ. mm QZ, QZ-felspar veins, Tr. to 2% f. diss. PY	261502	110.00	110.60	0.60	0.08		
			261503	110.60	111.33	0.73	0.70		
			261504	111.33	112.75	1.42	0.18		
			261505	112.75	114.15	1.40	-0.03		
		92.70 - 93.20 as 89.50 - 90.55 but no CL	261512	114.15	115.67	1.52	-0.03		
			261513	115.67	117.20	1.53	0.03		
		93.20 - 93.70 as 90.55 - 92.70 but less Sl+	261506	117.20	117.65	0.45	0.16		
			261507	117.65	118.43	0.78	-0.03		
		98.34 - 98.50: gray/beige str. Sl+ 4% v. f. diss. PY	261508	118.43	118.95	0.52	0.34		
			261514	118.95	120.45	1.50	-0.03		
			261515	120.45	122.00	1.55	-0.03		
		103.58 - 103.63: gray, Sl+, Tr. PY	261516	122.00	123.18	1.18	0.04		
			261509	123.18	124.15	0.97	0.03		
			261510	124.15	124.55	0.40	0.04		
		105.68 - 106.15: 70% dark gray Sl+ as irreg. pods/bands, 2% f. diss. PY	261511	124.55	126.00	1.45	0.03		
			261517	126.00	127.50	1.50	-0.03		
			261518	127.50	129.00	1.50	-0.03		
		108.70 - 114.16: freq. banded, occ. Sl+ and/or HM+	261519	129.00	130.50	1.50	-0.03		
			261520	130.50	132.00	1.50	-0.03		
			261521	132.00	133.50	1.50	-0.03		
		110.60 - 111.33: 100% beige/gray Sl+, sl. HM+, banded occ. irreg. mm QZ- feldspar veins, 2-4% f. diss. PY	261522	133.50	135.00	1.50	-0.03		
			261523	135.00	136.50	1.50	-0.03		
			261524	136.50	138.00	1.50	0.26		
			261525	138.00	139.50	1.50	-0.03		

Profondeur		Description	Numéro	Echantillon			Au g/T	Ag g/T		
De	A			De	A	Long.				
		188.50 - 190.00: v. dark gray/green, mod. Sl+, 2-3% f. diss. PY								
		190.80 - 193.30: incr. banding - dark green CL, non CB+ bands to 1 cm 5-10% in CB+ rock, Tr. to loc. 2% f. diss. PY								
		193.30 - 193.40 as 182.65 - 185.35 Tr. PY								
		lower contact marked by commencement of EP pods.								
193.40	204.00	PILLOWED BASALT (Y3B)	261553	193.40	194.20	0.80	0.06			
		f. gr. dark green-gray/gray green, 15-20% v. dark green-gray cm bands (pillow rims) at various steep angles to C.A.	261554	194.20	195.70	1.50	-0.03			
		loc. sl. to mod. Sl+, 80% med. to pale gray, gray-green or green mod. to str. EP+, CB+ pods to 20 cm, often porphyritic, gen. mod. CB+, sl. to str. magnetic, Tr. to 3% f. diss. PY	261555	195.70	197.20	1.50	-0.03			
		loc. to 6% PY	261556	197.20	198.70	1.50	-0.03			
			261557	198.70	200.23	1.53	-0.03			
			261558	200.23	201.38	1.15	-0.03			
			261559	201.38	202.18	0.80	-0.03			
			261560	202.18	202.65	0.47	1.16			
			261561	202.65	204.00	1.35	-0.03			
		199.38 - 199.71: 6-7% f. diss. PY, some clusters to 2 mm								
		202.20 - 202.65: mod. to str. Sl+, black, gray, sl. dk. beige 3-5% f. diss. PY								
		lower contact arbitrary within 1 m.								
204.00	224.33	SHEARED *PSEUDO-FRAGMENTAL AMYGDALOIDAL PILLOWED BASALT	261562	204.00	205.50	1.50	-0.03			
		v. f. to f. gr. dark gray green to dark green gray with 5% mm to cm (but en. cm) green chloritic bands parallel to sch. (pillow rims?), sch. 65 C.A., incr. downhole, str. CB+ as diss. CB, loc. as mm CB spots (to 10%) elongated parallel to sch. and as mm CB veins at various angles to C.A. or mm bands parallel to sch., occ. mm tension gashes 0-20 C.A.	261564	205.50	206.40	0.90	-0.03			
		mod. CL+; sl. to mod. Sl+, incr. downhole, occ. irreg. cm QZ	261565	206.40	207.80	1.40	-0.03			
			261566	207.80	209.30	1.50	0.03			
			261567	209.30	210.80	1.50	-0.03			
			261568	210.80	212.30	1.50	0.05			
			261569	212.30	213.80	1.50	-0.03			
			261570	213.80	215.25	1.45	0.03			
			261571	215.25	216.75	1.50	-0.03			
			261572	216.75	217.30	0.55	-0.03			

Collet		Client		Tests d'inclinaison			Sondage # DJ-88-28		
		EXPLORATION BREX INC.		Profond	Angle	Azimet	Commencé le	88-01-18	
Grille	Projet			COLLAR	-50.00	180.00	Terminé le	88-01-22	
Ligne	Propriété	DESJARDINS		30.50	-47.00		Décrit par	N. REARDON	
7+00 W				61.00	-46.00		Date	88-01-24	
Station	Canton/Rang/Lot	DESJARDINS		91.50	-44.00		Longueur	218.24 m	
4+00 N				122.00	-43.00		Co. forage	SONDEX	
Elévation	Claim	435309-3		152.50	-39.00		Objectifs	TO INVESTIGATE THE GOLD BEARING ZONES OF 87-13	
Azimet	Coordonnées			183.00	-38.00		Résultats	ZONE NOT INTERSECTED	
180.00				213.50	-34.00				
Angle	Notes	CASING PULLED OUT							
-50.00									
Profondeur		Description		Echantillon			Au	Ag	
De	A			Numéro	De	A	Long.	g/T	g/T
0.00	15.85	OVERBURDEN							
15.85	64.70	SHEARED (AMYGDULAR?) BASALT		261601	17.43	17.92	0.49	-0.03	
		v. f. to f. gr. med to dark gray-green, mod. sheared, sch. 45-50 C.A., str. CB+ as diss. CB, mm CB spots (to 3 mm) elongated parallel to sch. with incr. shear-amygdules, mm CB veins parallel to sch. and at various angles to C.A., occ. mm tension gashes 20 C.A., loc. sl. SI+, decimetric to metric sections are amygdular, (approx. 75% to 43.35 M), less freq. amygdular downhole. Loc. decimetric sections appear *pseudo-fragmental*. non to sl. magnetic, loc. mod. magnetic with f. diss MT to 5%, sometimes in mm CB bands, Tr. to 2% f. diss. PY in mm CB bands (often with MT)		261602	17.92	19.00	1.08	-0.03	
		16.70 - 17.43; sl. BI alt., sl. SI+		261603	19.00	20.50	1.50	-0.03	
		17.43 - 17.92; str. CB+, BI rich mafic dyke, sch. 50 C.A. sharp discordant contacts, 2-3% f. diss. or cubic PY to 2 mm		261604	23.30	24.75	1.45	-0.03	
		17.92 - 18.05; sl. SI+ (black), cubic PY at dyke contact		261605	27.72	29.26	1.54	-0.03	
				261606	29.26	30.75	1.49	-0.03	
				261607	30.75	32.25	1.50	-0.03	
				261608	32.25	33.75	1.50	-0.03	
				261609	33.75	35.25	1.50	-0.03	
				261610	35.25	36.75	1.50	-0.03	
				261613	36.75	38.25	1.50	-0.03	
				261611	38.25	39.27	1.02	-0.03	
				261612	39.27	40.80	1.53	0.05	
				261614	40.80	42.00	1.20	-0.03	
				261615	42.00	43.30	1.30	-0.03	
				261616	43.30	43.66	0.36	-0.03	
				261617	43.66	45.10	1.44	-0.03	
				261618	45.10	46.25	1.15	0.04	
				261619	46.25	47.55	1.30	-0.03	

Profondeur		Description	Numéro	Echantillon			Au	Ag	
De	A			De	A	Long.	g/T	g/T	
		26.34 - 27.03; green/white mottled m. gr. int. dyke, occ. QZ-CB-feldspar pods, upper contact sharp concordant. Lower contact sl. irreg. 35 C.A., no min.	261620	47.55	48.03	0.48	-0.03		
			261621	48.03	49.00	0.97	-0.03		
			261622	49.00	50.50	1.50	-0.03		
			261623	50.50	52.00	1.50	-0.03		
		32.11 - 32.25; f. gr. gray-green int. dyke, contacts not seen, no min., sch. 50 C.A.	261624	52.00	53.50	1.50	-0.03		
			261625	53.50	54.45	0.95	-0.03		
		39.35 - 39.55; sl. Sl+, 4% f. diss. PY in CB bands	261626	54.45	55.30	0.85	-0.03		
			261627	55.30	56.00	0.70	-0.03		
		43.30 - 43.51; gray mod. Sl+, sl. brecc. some dark beige 1-3% f. diss. PY	261628	60.00	60.92	0.92	-0.03		
		46.25 - 46.56; black sl. Sl+, Tr. PY	261629	62.28	62.90	0.62	-0.03		
		47.60 - 48.03; sl. Sl+ gray/black, 1-2% v.f. diss. PY							
		51.20 - 7 mm QZ-CB pod with 10% PY							
		60.92 - 62.28; m. gr. white to sl. pink/green mottled int. dyke, banded, sch. 50 C.A., sharp concordant contacts to 1% PY f. diss. or cubic to 2 mm, freq. cm sl. HM+ QZ-CB veins parallel to sch.							
64.70	71.75	FRAGMENTAL? BASALT	261630	64.70	66.20	1.50	-0.03		
		-f. gr. dark green with purplish-gray mm to cm bands/pods (20%) - possibly fragments, loc. abundant non elongated CB spots, str. CB+, (as 15.85 - 64.70) CL+ (dark green sections), sl. magnetic, loc. mod. magnetic, Tr to 2% v. f. diss. PY	261631	70.25	71.75	1.50	0.04		
71.75	80.04	MASSIVE BASALT	261632	74.00	75.50	1.50	-0.03		
		-v. f. to f. gr. med. olive green, massive, homogeneous, sl. sch. 45 C.A., str. CB+ as diss. CB, occ. mm CB veins parallel to sch. or tension gashes (often very fine, irreg.) 0-20 C.A. loc. sl. brecc., str. CL+, sl. magnetic, loc. mod. magnetic, becoming str. magnetic last 10 cm; occ. brecc. mm MT/CB pods, < 1% f. diss. PY	261633	77.50	79.00	1.50	-0.03		

Profondeur		Description	Numéro	Echantillon			Au g/T	Ag g/T
De	A			De	A	Long.		
80.04	104.88	MAGNETIC, SHEARED PILLOWED BASALT	261634	80.04	81.50	1.46	-0.03	
		v. f. to f. gr. med. green to dark green gray metric, intercalations, sl. to mod. sch., 45-50 C.A., loc. sl. Sl+, mod. Cl+, sl. to str. EP+, sl. to str. (but gen. str.) CB as diss. CB, mm CB or QZ-CB veins freq. parallel to sch. but occ. at other angles to C.A., freq. mm tension gashes 0-20 C.A. occ. decimetric intercalations of massive basalt (as 71.75-80.04) -mod. to v. str. magnetic loc. sl. magnetic, abundant black, str. magnetic mm to cm bands parallel to sch., Tr. to 1% f. diss. PY	261635	81.50	82.00	0.50	-0.03	
			261636	82.00	82.55	0.55	0.06	
			261637	82.55	83.20	0.65	-0.03	
			261638	83.20	83.75	0.55	-0.03	
			261639	83.75	84.38	0.63	-0.03	
			261640	84.38	85.50	1.12	-0.03	
		82.28 - 82.40 - 3-4% f. diss. PY	261641	87.00	88.50	1.50	-0.03	
			261642	90.00	91.50	1.50	-0.03	
		83.75 - 83.90; dark gray, Sl+, 1 cm pink CB pod, some cubic PY adj. to pod and at contact with chloritic section at 83.9	261643	91.50	92.93	1.43	-0.03	
			261644	92.93	93.27	0.34	3.00	
			261645	93.27	94.00	0.73	0.04	
		92.93 - 93.27; mod. Sl+, 15% gray QZ 3% f. diss. PY	261646	95.50	97.00	1.50	-0.03	
			261647	98.50	100.00	1.50	-0.03	
		93.27 - 94.00; sl. Sl+, 2% f. diss. PY decr. downhole	261648	102.00	103.50	1.50	0.05	
			261649	103.50	104.88	1.38	-0.03	
		99.80 - 104.88; well banded dark green chloritic bands gen. concordant to sch. but often deflected around purplish *fragments*, equivalent to *sheared pillowed pseudofragmental basalt as in 88-26						
		lower contact sharp, concordant						
104.88	119.70	SHEARED TO BANDED BASALT	261650	104.88	106.00	1.12	-0.03	
		-f. to m. gr. med. olive green homogeneous, mod. to str. sch., 45-50 C.A., incr. downhole to 50-55 C.A., str. CB+ as diss. CB and mm CB bands parallel to sch. (10%), occ. mm QZ-CB veins parallel to sch. (often as a series of 5 to 10 together), occ. mm tension gashes 0-20 C.A., mod. Cl+, sl. to mod magnetic. Tr. PY, lower contact v. sharp, concordant.	261651	106.00	107.50	1.50	-0.03	
			261652	107.50	108.45	0.95	0.03	
			261653	108.45	110.00	1.55	-0.03	
			261654	110.00	111.50	1.50	-0.03	
			261655	111.50	113.00	1.50	0.04	
			261656	113.00	114.50	1.50	-0.03	
			261657	114.50	116.00	1.50	-0.03	

Profondeur		Description	Numéro	Echantillon			Au	Ag	
De	A			De	A	Long.	g/T	g/T	
		116.00 - 117.65; well banded, 10-30% mm concordant QZ-CB sl. to mod. HM+ bands 1% f. diss. PY	261658	116.00	117.00	1.00	0.13		
			261659	117.00	117.65	0.65	0.06		
			261660	117.65	119.00	1.35	0.03		
			261661	119.00	119.70	0.70	0.05		
119.70	120.50	MAFIC FRAGMENTAL VOLCANIC -f. gr. black/green/purplish brown banded (mm to cm) -black band (10%) v. str. magnetic, green bands (10%) chloritic; purplish bands prophyritic fragments as frags CB+, occ. PY rich mm bands, 1-2% PY, sheared, sch. 55 C.A.	261662	119.70	120.50	0.80	0.07		
120.50	145.52	SHEARED AMYGDULAR? BASALT	261663	120.50	121.35	0.85	-0.03		
			261664	121.35	122.50	1.15	0.03		
		v. f. to f. gr. dark green/steel (bluish) gray, inhomogeneous -sch. 55-60 C.A., green sections (cm to dm) chloritic, mod. to str. CB+, gray sections (cm to dm) sl. SI+, non or sl. CB+ somewhat banded appearance due to mm CB, QZ-CB, QZ-CB-feldspar bands and mm CB, QZ-CB, QZ pods, spots (white to sl. pink) elongated parallel to sch. occ. is as *sheared pillowed basalt*	261665	122.50	123.95	1.45	-0.03		
			261666	123.95	124.45	0.50	2.27		
			261667	124.45	125.60	1.15	0.06		
			261668	125.60	126.24	0.64	0.03		
			261669	126.24	126.80	0.56	0.29		
			261670	126.80	127.80	1.00	0.07		
			261671	127.80	128.25	0.45	0.52		
			261672	128.50	129.25	1.00	-0.03		
			261673	129.25	130.18	0.93	0.03		
			261674	130.18	131.70	1.52	-0.03		
			261675	131.70	133.00	1.30	-0.03		
			261676	133.00	134.50	1.50	-0.03		
			261677	134.50	136.00	1.50	-0.03		
			261678	136.00	137.50	1.50	-0.03		
	261679	137.50	138.99	1.49	-0.03				
	261680	138.99	140.50	1.51	0.04				
	261681	140.50	142.04	1.54	0.08				
	261682	126.24 - 126.34 and 126.42 - 126.53 dark gray, SI+	261682	142.04	143.50	1.46	-0.03		
	261683	126.40 - 126.45 - 50% beige SI+, tr. PY	261683	143.50	145.08	1.58	-0.03		
	261684		261684	145.08	145.52	0.44	0.07		

Profondeur		Description	Numéro	Echantillon			Au g/T	Ag g/T
De	A			De	A	Long.		
		126.90 - 127.01; gray Sl+, brecc., sl. HM+, 1% f. diss. PY						
		127.99 - 128.15; 25% dark beige Sl+, 10% QZ, brecc. <1% f. diss. PY						
		133.70 - 133.82; m. gr. pink/green mottled int. to felsic dyke, sl. HM+, sharp contacts 85 C.A., interior has pink felsic pods to 1 cm, no min.						
		134.15 - 134.36; m. gr. cream, sl. HM+ felsic dyke, 5% CL specks. upper contact sharp 85 C.A., lower contact sharp 60 C.A.						
		134.41 - 134.49 as 134.15 - 134.36 contacts sharp 85 C.A.						
		138.40 - 138.99; freq. rusty frac. as steep angles (80-90) to C.A.						
		143.50 - 145.52; freq. frac. (often rusty) perpendicular to sch.						
145.52	218.24	MASSIVE TO SHEARED BASALT	261685	145.52	147.00	1.48	-0.03	
		f. gr. massive med. olive green to sheared dark gray-green, sl. banded (green, chlorite/blue-gray Sl+), sl. amygdylar with 1% round to sl. flattened white to sl. pink CB spots to 4 mm and some discontinuous mm CB bands (as 120.50 - 145.52) parallel to sch. (55-60 C.A.) *massive* and *sheared* sections are intercalated (dm to metric) and may be of different compositions, str. CB+ as diss. CB and mm CB veins parallel to sch. and at angles 45-90 C.A., occ. mm QZ-CB veins parallel to sch.	261686	151.50	153.00	1.50	-0.03	
			261687	153.00	154.58	1.58	-0.03	
			261690	154.58	156.00	1.42	-0.03	
			261688	156.00	157.50	1.50	-0.03	
			261691	157.50	159.00	1.50	-0.03	
			261689	159.00	160.42	1.42	-0.03	
			261692	160.42	160.80	0.38	-0.03	
			261693	160.80	162.27	1.47	-0.03	
			261694	162.27	162.75	0.48	-0.03	
			261695	162.75	163.47	0.72	-0.03	
		-occ. mm tension gashes parallel to C.A. to 20 C.A., loc. sl. Sl+ (black or bleached) sl. to mod. magnetic, loc. to 5% f. diss. MT Tr. to 1% f. diss. PY, v. loc. to 2% f. diss. PY	261696	163.47	164.12	0.65	-0.03	
			261697	164.12	165.15	1.03	0.25	
			261698	165.15	165.65	0.50	-0.03	

Profondeur		Description	Numéro	Echantillon			Au g/T	Ag g/T
De	A			De	A	Long.		
		145.52 - 153.00; freq. rusty alt. on frac. perpendicular to sch.	261699	165.65	167.00	1.35	-0.03	
			261700	167.00	168.00	1.00	-0.03	
		162.20 - 162.27; faint peach SI+ as discont. bands	261701	169.47	171.00	1.53	-0.03	
		162.27 - 162.75; m. gr. gray/white specked int. dyke, sharp contacts 70 C.A., sl. sch. 55 C.A.	261702	172.52	174.00	1.48	-0.03	
			261703	175.56	177.00	1.44	-0.03	
		162.75 - 163.47; 30% peach-beige and black magnetic discont. banded SI+, incr. at dyke contacts	261704	178.50	179.56	1.06	0.06	
		163.47 - 163.71 as 162.27 - 162.75	261705	179.83	181.30	1.47	-0.03	
		163.71 - 164.12 as 162.75 - 163.47	261706	181.30	182.50	1.20	-0.03	
		164.12 - 165.15 as 162.27 - 162.75	261707	182.50	183.80	1.30	-0.03	
		165.15 - 165.25 as 162.75 - 163.47	261708	183.80	184.30	0.50	-0.03	
			261709	184.30	185.70	1.40	-0.03	
		168.00 - 168.89 as 162.27 - 162.75 but sl. to mod. HM+, incr. HM+ on frac. 30-90 C.A. upper contact sharp concordant 50 C.A. lower contact sharp 45 C.A.	261728	185.70	187.00	1.30	-0.03	
			261710	187.00	188.00	1.00	-0.03	
			261729	188.00	189.50	1.50	-0.03	
			261711	189.50	191.00	1.50	-0.03	
		179.56 - 179.83; gray-green/pale pink mottled m. gr. dyke	261712	193.70	194.00	0.30	0.39	
		181.75 - 185.70; lighter in colour (med. green), sl. bleached, banded	261713	195.55	196.90	1.35	-0.03	
			261714	198.50	199.00	0.50	0.23	
		184.05 - 184.12; beige/peach SI+, some mm QZ veins (concordant), 2% f. diss. PY	261715	202.00	202.56	0.56	-0.03	
			261716	202.56	204.00	1.44	-0.03	
		193.88 - 193.93; QZ-CB vein with adj. dark beige SI+, sl. HM+, 3% f. diss. PY	261717	204.00	205.28	1.28	-0.03	
			261718	205.28	205.60	0.32	-0.03	
			261719	205.60	207.05	1.45	-0.03	
		194.57 - 194.80; f. gr. gray sl. HM+ int. dyke, sharp concordant contacts	261720	207.05	208.58	1.53	-0.03	
			261721	208.58	210.00	1.42	-0.03	
			261722	210.00	211.40	1.40	-0.03	
		195.19 - 195.26; green/white (pink) mottled int. dyke, sharp concordant contacts, sch. banded 50 C.A.	261723	211.40	212.95	1.55	-0.03	
			261724	212.95	214.50	1.55	-0.03	
			261725	214.50	216.00	1.50	-0.03	

Profondeur		Description	Numéro	Echantillon			Au	Ag	
De	A			De	A	Long.	g/T	g/T	
		198.71 - 198.76; irreg. QZ-CB-TO vein/pods one mm x 1 cm PY pod, 3% f. diss. PY	261726	216.00	217.50	1.50	-0.03		
			261727	217.50	218.24	0.74	0.03		
		203.92 - 204.00; f. gr. gray-brown int. dyke upper contact sharp 80 C.A. lower sharp 85 C.A.							
		205.16 - 205.23; m. gr. gray-green mottled int. dyke, contacts sharp, 90 C.A.							
		208.36; irreg. cm QZ-TO-CB vein, some mm PY pods							
		211.40 - 211.58; m. gr. dark gray/green mottled int. dyke some mm silicious (?) bands, contacts sharp, 70 C.A.							
		212.40 - 212.49 as 211.40 - 211.58; no bands, white/green mottled							
		202.56 - 218.24; 75% spotted, mm CB spots to 15% appear as amygdules, sch. 60 C.A.							
		213.26 - 213.44 as 212.40 - 212.49							
		217.71 - 217.76; gray-brown SI+, brecc., 10% mm QZ pods, CB veinlets 3% f. diss. or patchy PY							
	218.24	END OF HOLE (CASING PULLED OUT)							

Collet		Client EXPLORATION BREX INC.	Tests d'inclinaison			Sondage # DJ-88-29		
Grille			Profond	Angle	Azimet	Commencé le	88-01-22	
Ligne 7+75 W		Projet	COLLAR	-50.00	180.00	Terminé le	88-01-26	
Station 4+05 N		Propriété DESJARDINS	30.50	-45.00		Décrit par	N. REARDON	
Elévation		Canton/Rang/Lot DESJARDINS	61.00	-44.00		Date	88-01-31	
Azimut 180.00		Claim 43 ⁵ 309-3	90.50	-41.00		Longueur	203.00 m	
Angle -50.00		Notes CASING PULLED OUT	121.00	-34.00		Co. forage	SONDEX	
Profondeur			151.50	-34.00		Objectifs	TO INVESTIGATE	
De	A	Description	183.00	-32.00		THE GOLD BEARING ZONES OF		
			203.00	-30.00		87-16		
						Résultats		
						ZONE HAS BEEN INTERSECTED		
						FROM 154.70 AT 155.90 M		
Profondeur		Description	Echantillon			Au	Ag	
De	A		Numéro	De	A	Long.	g/T	g/T
0.00	9.75	OYERBURDEN						
9.75	60.54	SHEARED AMYGDULAR BASALT (Y3B)	261751	11.20	12.20	1.00	-0.03	
		-f. gr. dark gray-green to dark green-gray, mod. CL+, sl. to mod SI+, occ. bleached/banded, sl. to mod. CB+ as mm discont. CB bands, spots, occ. rusty alt. on frac. surfaces (parallel and perpendicular to sch. or 90 C.A. sometimes with CB, mod. sch. 45 C.A. incr. downhole to 50-60 C.A., dm to metric sections amygdular (to 2%) amygdules round to flattened, to 5 mm, occ. mm to cm QZ, QZ-CB, QZ-CB-TO, veins pods sometimes boudinages, parallel to sch. to 90 C.A., occ. mm tension gashes 0-20 C.A. sl. magnetic, v. loc. mod. magnetic. Tr. to 1% f. diss. or wispy PY, loc. 2-3% PY, 9.75 - 16.32 massive to sl. sch., occ. amygdules only.	261752	17.40	18.90	1.50	-0.03	
			261753	18.90	20.45	1.55	-0.03	
			261754	20.45	21.38	0.93	-0.03	
			261755	23.00	24.50	1.50	-0.03	
			261756	26.21	27.32	1.11	-0.03	
			261757	27.32	28.50	1.18	-0.03	
			261758	28.50	29.49	0.99	0.12	
			261759	29.49	29.86	0.37	-0.03	
			261760	29.86	30.24	0.38	-0.03	
			261761	30.24	31.39	1.15	-0.03	
		9.75 - 10.72; str. AK+, to 40% mm AK	261762	31.39	32.00	0.61	1.14	
			261763	32.00	32.31	0.31	0.03	
		11.20 - 12.20; 2-4% PY as mm wisps bands parallel to sch. with CB	261764	32.31	33.11	0.80	-0.03	
			261765	33.11	34.20	1.09	-0.03	
		16.89 - 17.23; gray int. dyke with pink felsic pods to 3 cm sharp concordant contacts no min.	261766	36.00	37.50	1.50	-0.03	
			261767	38.73	39.50	0.77	0.19	
		19.37 - 19.53; as 16.89 - 17.23 but no felsic pods cut by						

Profondeur		Description	Numéro	Echantillon			Au	Ag	
De	A			De	A	Long.	g/T	g/T	
		1 cm QZ veins with feldspar 85 C.A. (discont.)	261768	40.84	41.20	0.36	0.08		
		22.21 - 22.41; as 19.37 - 19.53 irreg. QZ vein to 6 cm with feldspar	261769	43.00	44.22	1.22	-0.03		
		28.50 - 29.49; 2% PY as mm wisps, bands	261770	46.00	47.50	1.50	-0.03		
		29.49 - 29.86; 5-10% peach-beige Sl+, sl. HM+ with 2-3% f. diss. PY adj. to int. dyke (as 88-28)	261771	49.00	50.43	1.43	-0.03		
			261772	50.43	51.15	0.72	-0.03		
		29.86 - 30.24; f. gr. green/white mottled sch. int. dyke, sharp concordant contacts, Tr PY	261773	53.64	55.00	1.36	0.06		
			261774	56.50	58.00	1.50	-0.03		
		31.39 - 31.66; 40% gray, beige, str. Sl+, <1% f. diss. PY							
		31.66 - 32.00; green with beige silicious bands to 3 cm with to 1% f. diss. PY							
		32.00 - 32.31; peach beige Sl+, HM+ with 4% f. diss. PY adj. to int. dyke							
		32.31 - 33.11; m. to c. gr. green white (to pink) mottled int. dyke, 10% felsic (mainly QZ) pods, sl. HM+							
		32.42 - 32.53; HM+, QZ-feldspar vein, irre. with dark mm spots (dyke inclusions ?) and Tr. PY, f. diss.							
		33.11 - 33.82 and 33.97 - 34.20; sl. Sl+, mod. HM+ mm to cm, 3% mm black magnetic bands, 2-3% PY as f. diss. or mm bands 50% PY parallel to sch.							
		36.35 - 36.60; mod. Sl+ black, Tr. PY							
		39.08 - 1 cm sl. HM+ PY rich CB band parallel to sch.							
		39.26 - <1 cm Qz vein with adj. 1 mm of beige alt., PY							
		40.92 - 41.20; sl. bleached, (silicious) banded (mm to							

Profondeur		Description	Numéro	Echantillon			Au	Ag	
De	A			De	A	Long.	g/T	g/T	
		cm), v. sl. HM+, some dark beige alt. adj. to QZ-CB veins parallel to sch.							
		42.50; incr. abundance of QZ veins, mm to 6 cm, both reg. and irreg. and various angles to C.A., often folded and/or boudinaged, sometimes with CB, TO, minor PY							
		45.80 - 46.04; f. gr. pale gray/green mottled int. dyke contacts not seen (concordant)							
		50.83 - 51.02; incr. CL+, shear, QZ-CB (10%), <1% PY							
		lower contact gradational as decimetric intercalations with lower unit in fault zone.							
60.54	90.30	FAULT ZONE	261775	60.54	60.86	0.32	-0.03		
			261776	60.86	62.18	1.32	0.03		
		the contact between the above and below units is within the fault zone, however it is difficult to determine its exact position. Decimetric sections of amygdular basalt, non-amygdular str. CL+ basalt (or gabbro?) and several int. dykes occur in this zone, str. sheared 45-50 C.A., loc. deflected 0-10 C.A., and often also str. brecc. with assoc. QZ, QZ-CB-feldspar (5-15%), freq. str. folded or micro-folded, Tr. to 1% f. diss. or cubic PY to 2 mm, loc. to 3% f. diss. PY, gen. sl. magnetic v. loc. mod. magnetic (remnants of black magnetic bands?)	261777	62.18	63.29	1.11	-0.03		
			261778	63.29	64.15	0.86	-0.03		
			261779	64.15	65.53	1.38	-0.03		
			261780	65.53	67.00	1.47	-0.03		
			261781	67.00	67.60	0.60	-0.03		
			261782	67.60	68.67	1.07	-0.03		
			261783	68.67	70.00	1.33	-0.03		
			261784	70.00	70.88	0.88	-0.03		
			261785	70.88	72.00	1.12	-0.03		
			261786	72.00	73.38	1.38	-0.03		
			261787	73.38	74.05	0.67	0.07		
		60.54 - 60.86; m. gr. green/white mottled int. dyke upper contact sharp concordant, lower contact difficult to define - 5% mm AK at lower contact sch. 45 C.A.	261788	74.05	75.50	1.45	0.10		
			261789	75.50	76.50	1.00	-0.03		
			261790	76.50	78.03	1.53	0.29		
			261791	78.03	78.55	0.52	0.07		
		61.48 - 62.18; irreg. dark beige alt. as mm wavy bands to 5%, 1% PY as f. diss. or cubic to 2 mm	261792	78.55	78.90	0.35	0.06		
			261793	78.90	80.00	1.10	-0.03		
		62.18 - 63.29 as 60.54 - 60.86; sch. 50-55 C.A. upper contact gradual, lower contact rel. sharp, concordant but sl. irreg. occ. cubic PY to 2mm.	261794	81.50	83.00	1.50	-0.03		
			261795	84.50	86.00	1.50	0.04		

Profondeur		Description	Numéro	Echantillon			Au g/T	Ag g/T
De	A			De	A	Long.		
		63.29 - 64.15; 50-60% beige to peach *wavy* alt. as 61.48 - 62.18 - str. micro-folded sheared 1% irreg. mm CB pods/bands, 1% mmm AK, 1% f. diss. PY	261796	87.50	89.00	1.50	-0.03	
		64.15 - 82.10; freq. cm irreg. QZ-feldspar-CB pods/veins assoc. with brecc. and v. str. CL+, occ. cm to dm int. dykes as above, Tr. to 2% f. diss. PY						
		73.78 - 73.82; band of QZ-CB with brecc. dark beige alt. 10%, v. sl. HM+.						
		76.22 - 76.50; mod. magnetic.						
		82.10 - 89.00 str. sheared, 15-20% irreg. CB (little re- action to acid) with mm chloritic bands spaced at approx. 1 cm, concordant to sch. (50 C.A.), shear decr. downhole, this deformation in the same as seen in holes 15 and 17						
		89.00 - 90.30; 3-5% sl. irreg. CB bands gen. parallel to sch. last 30 cm begins to show mafic *spots*						
90.30	121.06	SPOTTY GABBRO (13G) OR BASALT (Y3B)	261797	90.50	92.00	1.50	-0.03	
		-c. gr., med. olive green, str. sch. 50-55 C.A., str. CL+, sl. CB+ as f. diss. and occ. mm veins parallel to sch., also per- pendicular to sch. occ. mm tension gashes 0-10 C.A., wk.	261798	93.50	95.00	1.50	-0.03	
		magnetic, occ. mod. magnetic with 2-3% mm MT, 5% mm mafic xls (CL+), Tr. PY	261799	99.00	100.50	1.50	-0.03	
			261800	104.60	104.90	0.30	-0.03	
		104.66 - 104.80; gray, SI+, sl. HM+, sharp irreg. con- tacts - dyke? 1% f. diss. PY at contacts	261801	107.50	109.00	1.50	-0.03	
			261802	109.00	110.00	1.00	-0.03	
		106.47 - 106.52; v. sl. HM+, sl. SI+, brecc. 5% mm irreg CB streaks, < 1% cubic PY < 1%	261803	112.45	113.83	1.38	0.03	
			261804	116.00	117.50	1.50	-0.03	
		107.96 - 107.99; sl. HM+, mod. BI alt?, 1% f. diss, PY						

Profondeur		Description	Numéro	Echantillon			Au g/T	Ag g/T	
De	A			De	A	Long.			
		109.75 - 109.95; v. sl. Sl+, HM+, Tr. PY	261805	119.00	120.30	1.30	-0.03		
		114.00 - 120.35; loss of *spots* with incr. shear down-hole, also incr. CB+ (as f. diss. CB) downhole occ. cm (to 15 cm) coarse gr., CB+ int. pods or dykes, sharp irreg. contacts	261806	120.30	121.06	0.76	0.37		
		120.35 - 121.06; 60% mm to cm felsic bands, sl. Sl+, sl. HM+, tr. to 1% loc.							
		120.85 - 120.93; incr. Sl+, dark beige peach alt., 1% v. f. diss. PY, lower contact sharp, concordant							
121.06	147.92	MASSIVE TO SHEARED PILLOWED? *PSEUDO FRAGMENTAL* BASALT	261807	121.06	122.50	1.44	0.08		
			261808	122.50	124.00	1.50	0.19		
			261809	124.00	124.50	0.50	-0.03		
		-f.gr., dark gray to dark green-gray, mod. - str. Sl+, occ. mm banded CL+ sections to 15 cm with incr. shear sl. CB+	261810	124.50	125.50	1.00	0.21		
		as f. diss. CB, 1% reg. and irreg. mm (occ. to 2 cm) QZ, QZ-feldspar pods/veins occ. with TO, freq. assoc. with brecc.,	261811	125.50	127.00	1.50	0.09		
		-freq. mm to 1 cm black magnetic bands; gen. str. magnetic.	261812	127.00	128.50	1.50	0.26		
			261813	128.50	130.00	1.50	0.03		
			261814	130.00	131.00	1.00	-0.03		
			261815	131.00	132.50	1.50	0.03		
		124.89 - 124.97; 2% PY as mm PY - rich bands with assoc. brown Sl+, sl. HM+ cut and offset to 3 mm by irreg. mm QZ veins with CB these QZ veins also contain PY	261816	132.50	134.00	1.50	-0.03		
			261817	134.00	135.40	1.40	0.12		
			261818	135.40	135.70	0.30	0.37		
			261819	135.70	137.00	1.30	0.03		
		133.07 - 133.43, 133.60 - 133.70, 133.76 - 133.80 str. (pervasive) rusty alt.	261820	137.00	138.50	1.50	-0.03		
			261821	138.50	139.80	1.30	-0.03		
			261822	139.80	141.33	1.53	0.03		
		135.51 - 135.56; 5% dark beige alt., 3% f. diss. PY	261823	141.33	142.50	1.17	-0.03		
			261824	142.50	144.00	1.50	0.04		
		139.80 - 141.33; f. gr. dark green/white specked int. dyke, occ. dark beige, irreg. felsic bands, contacts not seen, Tr. PY	261825	144.00	145.22	1.22	0.06		
			261826	145.22	146.00	0.78	0.03		
			261827	146.00	147.00	1.00	-0.03		
			261828	147.00	147.92	0.92	-0.03		

Profondeur		Description	Numéro	Echantillon			Au g/T	Ag g/T
De	A			De	A	Long.		
		145.22 - 147.00; massive basalt?-str. AK+ (10-15% mm AK)						
		147.00 - 147.92; 25% dark brown SI+, (v. sl. HM+?) as cm bands with irreg. mm CB filled tension gashes which are often gently curved.						
147.92	154.80	MASSIVE TO SHEARED BASALT (Y3B)	261829	147.92	149.50	1.58	-0.03	
			261830	149.50	151.00	1.50	0.03	
		-f. gr., dark green, massive uphole becoming incr. sheared altered downhole, str. CL+, sl. CB+ - downhole (with incr. shear) to 15% mm discont. bands parallel to sch. (55-60 C.A.) which appear as CB with QZ but have little reaction to acid (iron CB?) freq. tightly folded *z* shape occ. mm to 1 cm irreg. CB pods, non magnetic, Tr to 1% f. diss. PY, incr. downhole to 2-4% PY	261831	151.00	152.00	1.00	0.18	
			261832	152.00	153.20	1.20	0.24	
			174759	153.20	154.70	1.50	0.50	
			174756	154.70	155.60	0.90	1.39	
		147.92 - 149.50; iron CB alt. (orange)-5% mm AK, decr. downhole						
		153.00 - 154.80; 2-3% pale green min., CL? or fuschite, decr. downhole						
154.80	156.80	BUFF ALTERED ZONE	174755	155.60	155.90	0.30	3.60	
			174757	155.90	156.90	1.00	0.05	
		-30-100% med. to dark beige SI+, contact between sheared basalt and *pseudo-fragmental* basalt lies within this zone but is difficult to define, only v. sl. CB+, variably magnetic, sl. to mod., 2-4% v. f. diss. PY						
		154.80 - 154.90 as 153.00 - 154.80 but no pale green min. (CL only)						
		154.90 - 155.90; gray beige to dark beige SI+, incr. downhole. 2% v. f. diss. PY incr. downhole to 2-4% v. f. diss. PY						
		155.90 - 156.80; banded basalt? (mm felsic bands) with 50% SI+, loc. HM+, dark beige to dark pinkish brown.						
		156.80 - contact?						

Profondeur		Description	Numéro	Echantillon			Au	Ag	
De	A			De	A	Long.	g/T	g/T	
156.80	164.50	*PSEUDO-FRAGMENTAL* BASALT as 121.06 -147.92 -f. gr., dark green (chloritic) /steel gray mm to cm bands. -str. CL+, v. sl. CB; < 1% mm QZ-CB bands parallel to sch. (65 C.A.) occ. round (sl. flattened) mm QZ-CB amygdules (?) also 1% < 1 mm QZ-CB spots, sl. magnetic, loc. mod. magnetic, Tr. to 2% f. diss. PY 158.36 - 159.05; str. CB+ as v. f. diss. CB 159.38 - 159.78; c. gr. white/green (Cl streaks) mottled int. dyke, sharp concordant contacts, no min. 161.00 - 163.45; occ. CB-MT-PY pods to 3 cm, occ. mm PY bands parallel to sch.	174758	156.90	158.00	1.10	-0.03		
			261833	158.00	159.38	1.38	-0.03		
			261864	159.38	159.78	0.40	-0.03		
			261834	159.78	161.00	1.22	0.33		
			261835	161.00	162.50	1.50	-0.03		
			261836	162.50	164.00	1.50	-0.03		
			261837	164.00	164.50	0.50	-0.03		
164.50	203.00	AMYGDULAR BASALT -v. dark gray-green to steel gray, v. f. to f. gr., sl. to mod. CL+, sl. to mod. SI+, v. sl. CB+, occ. mm QZ-CB veins parallel to sch. (mod sch. 60 - 65 C.A.) to 90 C.A., <1% round mm QZ-CB (feldspar) amgdules, gen. non to sl. magnetic, occ. str. magnetic bands. freq. mm to 4 cm (occ. to 10 cm) irreg. CB-MT pods, often with PY (to 15%), gen. Tr. to 1% f. diss. PY but loc. PY rich (50-90% PY) bands parallel to sch. to 3 cm (166.59 - 178.00) 164.50 - 164.73; yellowish-gray f. gr. int. dyke, contacts not seen, <1% mm cubic PY at contacts. 164.73 - 165.78 and 166.00 - 166.59 pink-gray f. gr. felsic dyke, mod. HM+, particularly on frac. surfaces 10-60 C.A. and at the borders of mm QZ-TO veins with PY 85 C.A. upper contact not seen, lower contact sharp, 60 C.A.	261865	164.50	165.78	1.28	-0.03		
			261838	165.78	166.59	0.81	-0.03		
			261866	166.59	167.20	0.61	-0.03		
			261839	167.20	168.50	1.30	0.05		
			261840	168.50	170.00	1.50	0.04		
			261841	170.00	171.50	1.50	-0.03		
			261842	171.50	173.00	1.50	-0.03		
			261843	173.00	174.50	1.50	-0.03		
			261844	174.50	175.83	1.33	0.04		
			261845	175.83	177.26	1.43	0.08		
			261846	177.26	178.61	1.35	-0.03		
			261847	178.61	180.00	1.39	-0.03		
			261848	180.00	181.50	1.50	0.06		
			261849	181.50	183.00	1.50	-0.03		
			261850	183.00	184.50	1.50	-0.03		
			261851	184.50	185.50	1.00	-0.03		
261867	185.50	185.90	0.40	-0.03					
261852	185.90	187.50	1.60	-0.03					
261853	187.50	187.88	0.38	-0.03					
261854	187.88	188.42	0.54	0.12					

Profondeur		Description	Echantillon				Au	Ag	
De	A		Numéro	De	A	Long.	g/T	g/T	
		166.90 - 167.16; med. brown alt. Sl+, sl. brecc., frac. 20 C.A.	261868	188.42	188.72	0.30	0.20		
			261869	188.72	189.15	0.43	-0.03		
		167.42 - 167.55; pale gray, f. gr. int. dyke sharp concordant contacts no min.	261855	191.18	192.68	1.50	-0.03		
			261856	192.68	193.80	1.12	0.04		
			261857	193.80	194.50	0.70	0.03		
		168.27 - 168.50; pink/gray mottled int. dyke, upper contact sharp, 80 C.A., lower sharp 85 C.A.	174859	194.50	195.10	0.60	-0.03		
			261858	195.10	196.62	1.52	0.03		
			261859	196.62	198.27	1.65	-0.03		
		185.57 - 185.67; mod. Sl+, dark gray, sl. dark beige, brecc. with 15% QZ veins (irreg.)	261860	198.27	199.50	1.23	-0.03		
			261861	199.50	201.00	1.50	-0.03		
			261862	201.00	202.00	1.00	-0.03		
		188.45 - 188.61; brecc., CL+ 15% QZ-CB (irreg. mm veinlets), 4-5% f. diss. PY	261863	202.00	203.00	1.00	-0.03		
		189.15 - 191.18, 191.30 - 191.50 greenish yellow/gray v. f. gr. int. to felsic dyke, 10% CL streaks parallel to sch., not all contacts seen, those seen are sharp concordant, no min.							
		194.50 - 195.10; sl. HM+ gray-brown m. gr. int. dyke contacts not seen. cut by 1 cm QZ vein with feldspar at contacts 15 C.A., Tr. PY							
		197.00 - 197.15; 10% folded mm to 1 cm QZ-CB veins							
		198.98 - 199.20 as 189.15 - 191.18; but with fuschite streaks. contacts sharp, concordant 1% f. diss. PY							
		201.81 - 201.86; m. gr. beige-gray int. dyke, sharp, concordant, contacts, no min.							
	203.00	END OF HOLE (CASING PULLED OUT)							

Collet		Client		Tests d'inclinaison			Sondage * DJ-88-30			
		EXPLORATION BREX INC.		Profond	Angle	Azimet	Commencé le		88-02-03	
Grille		Projet		0.00	50.00	180.00	Terminé le		88-02-05	
Ligne		Propriété		30.48	50.00		Décrit par		D. Turcotte	
7+50 W		DESJARDINS		60.96	50.00		Date		88-02-07	
Station		Canton/Rang/Lot		91.44	49.00		Longueur		190.8	
3+95 N		DESJARDINS		121.92	47.00		Co. forage		SONDEX	
Elévation		Claim		152.40	43.00		Objectifs		Vérifier extension latérale de la zone entre les sondages 87-14-15 et 88-29	
		43 ⁵ 309-3		190.80	40.00		Résultats		Extension latérale de la zone observée entre 136.75 et 140.60	
Azimet		Coordonnées								
180.00										
Angle		Notes								
-50.00		TUBAGE ENLEVE								
Profondeur		Description		Echantillon			Au	Ag		
De	A			Numéro	De	A	Long.	g/T	g/T	
0.00	17.07	MORT-TERRAIN								
17.07	36.00	BASALTE CISAILLE ET AMYGDALAIRE		106951	23.02	24.52	1.50	-0.03		
		-a grains fins, vert pale a fonce, localement grisatre, schistosite bien developpee a 45 C.A., 1 a 10% amygdules, alt. en CB et CL, localement SI+, plus ou moins 1% PY en fines veinules mm.		106952	24.52	25.34	0.82	-0.03		
		25.34 - 26.76 dyke mafique a intermediaire, quelques bandes de QZ, Feldspath dm a cm. 1% PY hypidio. contacts sup. et inf. concordants.		106953	26.76	28.26	1.50	0.05		
				106954	34.50	35.73	1.23	-0.03		
				106755	35.73	37.23	1.50	-0.03		
36.00	67.30	BASALTE MASSIF		106956	38.64	40.39	1.75	0.03		
		-a grains fins, vert pale, legerement cisaille a approx. 40 C.A., alt. en CB, CL et EP., 1-3% MT, hypidio. en fines bandes mm selon la schistosite, tr. de PY gen. xenomor. en veinules mm et finement diss. dans la roche, contacts sup. et inf. concordants.		106957	40.39	41.89	1.50	-0.03		
				106958	49.54	51.00	1.46	-0.03		
				106959	51.00	52.50	1.50	-0.03		
				106960	52.50	53.64	1.14	-0.03		
				106961	56.24	56.69	0.45	0.04		
		56.24 - 66.31 SI+, CB+ et leg. CL+, section fortement brechiffiee avec bandes de CB et MT noir en grains xeno. egal ou plus grand .1 mm, concordant avec schistosite variable de 25 a 40 C.A., *fractures de tension probables*?		106962	56.69	58.20	1.51	0.04		
				106963	58.20	59.74	1.54	-0.03		
				106964	59.74	61.24	1.50	-0.03		
		106965	61.24	62.79	1.55	-0.03				

Profondeur		Description	Numéro	Echantillon			Au	Ag	
De	A			De	A	Long.	g/T	g/T	
67.30	80.55	variant de 5 a 45 C.A. plus ou moins de 1 a 3% PY finement dissiminee	106966	62.79	64.29	1.50	-0.03		
			106967	64.29	65.84	1.55	0.03		
			106968	65.84	66.51	0.67	-0.03		
		BASALTE OU GABBRO MASSIF -avec materiel blanchatre (CB) diminuant vers contact inf. -section legerement cisaillee	106969	68.88	70.40	1.52	-0.03		
			106970	70.40	71.20	0.80	-0.03		
			106971	71.93	73.43	1.50	-0.03		
			106972	73.43	74.04	0.61	-0.03		
106973	74.98	76.50	1.52	-0.03					
80.55	105.73	BASALTE OU GABBRO - basalte avec taches (*spots*), grains fins a moyens homogenes, alt. en CL surtout, un peu de CB et loc. EP leg. MT, tr. de PY, *fentes de tension probables*? de 0 a 30 C.A.	106974	80.55	82.15	1.60	-0.03		
			106975	82.15	83.65	1.50	-0.03		
		71.60 - 71.78 dyke mafique a intermediaire, alt. en CL surtout avec CB, tr. PY. contacts concordants	106976	86.67	88.37	1.70	-0.03		
			106977	88.37	89.87	1.50	-0.03		
			106978	89.87	91.37	1.50	-0.03		
		74.04- 74.41 idem 71.60 - 71.78	106979	91.37	92.80	1.43	0.07		
			106980	92.80	94.30	1.50	-0.03		
		90.22 - 102.00 Quelques veinules (2 a 5%) dm a cm de CB blanc selon schistosite a 45 C.A.	106981	94.30	95.80	1.50	-0.03		
			106982	98.60	100.10	1.50	-0.03		
			106983	100.10	101.60	1.50	0.06		
			106984	101.60	103.10	1.50	0.35		
106985	103.10		104.30	1.20	-0.03				
104.30 - 104.80 alt. en CL, CB, un peu de SI+, tr. de PY et CP en amas plus grand ou egal .1 mm	106986	104.30	104.80	0.50	0.12				
	106987	104.80	105.73	0.93	0.56				
105.73	117.85	BASALTE COUSSINE? ET AMYGDALAIRE -plus ou moins 2% amygdules, fragments avec bordure de MT massive en veinules mm a dm non parallele, quelques porph.de Feldspath, loc. SI, leg. a fortement MT plus ou	106988	105.73	107.23	1.50	0.05		
			106989	107.23	108.72	1.49	0.06		
			106990	108.72	109.15	0.43	0.20		
			106991	109.15	110.65	1.50	-0.03		
			106992	110.65	112.20	1.55	-0.03		

Profondeur		Description	Echantillon			Au	Ag	
De	A		Numéro	De	A	Long.	g/T	g/T
117.85	190.80	moins 1 a 4% PY finement diss. schistosite 55 a 60 C.A.	174766	112.20	112.75	0.55	1.50	
		112.20-116.22-SI+, leg. brechique, de 1 a 5% PY finement dissiminee, localement en veinules mm, MT en bande mm,	174767	112.75	113.72	0.97	4.30	
			174768	113.72	114.14	0.42	0.07	
			174769	114.14	114.99	0.85	0.18	
			174770	114.99	115.55	0.56	0.06	
		114.14 - 114.99 plus ou moins 90% d'alt. gris beige a violet, leg. MT. 1 a 5% PY finement diss.	174771	115.55	116.22	0.67	0.05	
			106993	116.40	117.95	1.55	0.10	
		BASALTE CISAILLE, LOC. AMYGDALAIRE	174860	117.95	118.93	0.98	0.19	
			106994	118.93	120.43	1.50	-0.03	
		-avec quelques bandes mm a dm de QZ, CB, loc, MT.	106995	120.43	121.93	1.50	-0.03	
		118.13 - 118.93 dyke mafique a intermediaire, alt. en CL et CB	106996	124.10	124.60	0.50	-0.03	
			106997	124.60	126.10	1.50	-0.03	
			106998	126.10	127.60	1.50	0.04	
		124.10 - 124.60 section brec. avec *kink*, alt. en CB surtout et CL	106999	130.78	131.10	0.32	-0.03	
			107000	131.10	132.60	1.50	-0.03	
		129.85 - 129.95 dyke intermediaire a gr. moyens, alt. en CL	104801	132.60	134.70	2.10	-0.03	
			174802	135.70	136.75	1.05	-0.03	
		130.73 - 131.10 forte brechification avec veinules de QZ CB dm a cm, de 40 a 50 C.A., trace PY et CP alt. CL	174761	136.75	137.75	1.00	0.04	
			174762	137.75	138.30	0.55	0.03	
		136.75 - 138.30	174763	138.30	138.72	0.42	3.00	
		forte schistosite gen. a 45 C.A., plus ou moins 1 a 5% PY finement dissiminee, alt. en CL, CB	174764	138.72	139.19	0.47	0.44	
	174765	139.19	140.20	1.01	0.03			
	174803	140.20	141.70	1.50	-0.03			
138.30 a 138.60	174804	141.70	143.20	1.50	0.94			
zone avec *buff alteration* gris beige 1 a 5% PY finement disseminee	174805	143.20	143.70	0.50	0.03			
	174806	143.70	145.08	1.38	-0.03			
	174807	145.08	146.60	1.52	-0.03			
	174808	146.60	148.13	1.53	-0.03			
138.60 - 150.20	174809	148.13	148.87	0.74	-0.03			
idem a 136.75 - 138.30	174810	154.61	156.10	1.49	-0.03			

Profondeur		Description	Echantillon	Au	Ag			
De	A						Numéro	De
		148.87 - 151.70 dyke mafique a intermediaire, gr. fins a moyens, trace de PY contacts sup. et inf. concordants	174811	156.10	157.60	1.50	-0.03	
			174812	161.51	163.00	1.49	-0.03	
			174813	163.00	163.57	0.57	-0.03	
		160.32 - 161.15 dyke felsique a intermediaire, gr. fins a moyens, SI	174814	166.00	167.00	1.00	0.08	
			174815	167.00	168.50	1.50	-0.03	
		166.00 - 171.00 30% de veinules mm a cm CB et MT (pods?)	174816	168.50	170.00	1.50	-0.03	
			174817	170.00	171.50	1.50	-0.03	
			174818	171.50	173.10	1.60	-0.03	
		186.14 - 186.75 dyke intermediaire a mafique, gr. fins, moyens	174819	173.10	174.50	1.40	-0.03	
			174820	174.50	176.00	1.50	-0.03	
			174821	176.00	177.50	1.50	-0.03	
			174822	177.50	179.00	1.50	-0.03	
			174823	179.00	180.50	1.50	-0.03	
			174824	180.50	182.00	1.50	-0.03	
			174825	182.00	183.50	1.50	-0.03	
			174826	183.50	184.71	1.21	-0.03	
			174827	184.71	186.14	1.43	-0.03	
			174828	186.77	188.27	1.50	-0.03	
			174829	188.27	189.77	1.50	-0.03	
	190.80	FIN DU SONDAGE	174830	189.77	190.80	1.03	-0.03	

Profondeur		Description	Numéro	Echantillon			Au	Ag		
De	A			De	A	Long.	g/T	g/T		
	90.34 - 91.10	dyke mafique, gr. moyens a grossiers. SI, trace de PY	174845	112.40	112.90	0.50	-0.03			
	93.75 - 95.40	idem 73.73 - 75.67	174772	118.50	119.20	0.70	0.03			
			174773	119.20	119.70	0.50	-0.03			
			174774	119.70	121.20	1.50	0.07			
	103.63 - 104.37	dyke idem 90.34 - 91.10	174775	121.80	122.50	0.70	0.03			
			174776	122.50	123.50	1.00	-0.03			
	112.40 - 112.90	section brechique avec nombreuses veinules de CB, QZ mm a 20 A.C.	174777	123.50	124.40	0.90	0.03			
			174846	126.80	128.30	1.50	0.03			
	118.50 - 121.80	section brechique avec 30% de v. QZ, CB loc. fragmentales, a plus ou moins 20 A.C., leg. HM et SI alt. en CL et CB, faiblement MT, plus ou moins 1 a 3% PY en veinules mm et finement disseminee, micro-plis vers 121.30	174847	132.89	134.39	1.50	-0.03			
			174848	137.49	138.99	1.50	-0.03			
			174849	138.99	140.49	1.50	-0.03			
			174850	140.49	142.04	1.55	-0.03			
	121.80 - 122.50	grisatre a beige (*zone non probable) de 70 a 80% QZ, sch. parallele A.C. leg. HM+, forte SI+, contact sup. a 45 A.C. contact inf. sub. parallele A.C. ± 1% PY finement diss.	174851	148.13	149.63	1.50	-0.03			
			174852	149.63	151.18	1.55	-0.03			
			174853	157.60	159.10	1.50	-0.03			
	122.50 - 123.50	sch. plutot sub. parallele A.C., 3 a 5% QZ selon sch. tr. de PY	174854	162.60	163.00	0.40	0.04			
	123.50 - 124.40	Rush section brechique avec 30% v. de QZ mod. MT, ± 1% MT hypidio .1 m a .3 mm tr. de PY								
	141.10 - 163.37	Quelques v. de QZ, QZ, CB, Feldspath mm a cm a 45 A.C., discordante p/r a la sch. de 50 a 60 A.C., section leg. a mod. MT. alt. en CL et CB, tr. de PY								

Collet		Client	Tests d'inclinaison			Sondage # DJ-88-32			
		EXPLORATION BREX INC.	Profond	Angle	Azimut	Commencé le 88-02-08			
Grille		Projet	0.00	50.00	180.00	Terminé le 88-02-10			
Ligne		Propriété	30.50	50.00		Décrit par D. Turcotte			
8+12.50 W		DESJARDINS	61.00	50.00		Date 88-02-11			
Station		Canton/Rang/Lot	91.50	47.00		Longueur 196.00 m			
3+90 N		DESJARDINS	122.00	44.00		Co. forage SONDEX			
Elévation		Claim	152.50	40.00		Objectifs Vérifier l'ex- tension latérale du trou 87-15 et 87-14			
		435 309-3	183.00	40.00		Résultats			
Azimut		Coordonnées	196.00	40.00		Zone observée entre 161.00- 163.2			
180									
Angle		Notes							
-50		TUBAGE ENLEVE							
Profondeur		Description	Echantillon			Au	Ag		
De	A		Numéro	De	A	Long.	g/T	g/T	
0.00	12.79	MORT TERRAIN							
12.19	46.40	BASALTE MASSIF A AMYGDALAIRE	174863	12.79	14.02	1.23	0.08		
		vert pale a vert fonce. grs fins, 5 a 15% amygdules, sch.	174789	14.02	15.02	1.00	1.40		
		bien developpee de 40 a 50 A.C. loc. SI et HM., faiblement	174790	15.02	16.02	1.00	0.33		
		a mod. MT (loc.), alt. en CB et CL., plus ou moins 1 a 5% PY	174791	16.02	17.02	1.00	0.90		
		1 mm a .2 mm, gen. hypidio. et finement disseminee, loc. en	174792	17.02	17.39	0.37	-0.03		
		veinules mm. 1-3% veinules de CB avec 1 a 5% MT, la MT	174862	17.39	17.93	0.54	-0.03		
		et la PY sont en bandes mm. dans le CB (alignement prefe-	174864	17.93	19.40	1.47	-0.03		
		rentiel?)	174865	19.40	20.90	1.50	-0.03		
		14.02 - 15.02	174866	20.90	22.40	1.50	-0.03		
		10% v. de QZ, CB, mm perpendiculaire A.C. avec 30 cm de	174867	22.40	23.90	1.50	-0.03		
		fracturation plus ou moins intenses, 45 A.C., mod. MT	174868	25.40	26.90	1.50	-0.03		
		15.02 - 16.02	174869	23.90	25.40	1.50	-0.03		
		5% v. de QZ, dm 'a cm, 45A.C., 5-10% PY en veinules mm	174870	30.40	31.00	0.60	0.05		
		et finement disseminee, alt. en oxyde de FE et CA de FE	174871	31.50	33.00	1.50	-0.03		
		16.02 - 17.02 (zone non probable)	174872	33.00	34.50	1.50	-0.03		
		section alt. beige brunatre a violet (loc.) 10-15% Py en	174873	34.50	35.70	1.20	0.04		
		veinules mm a dm, q.q. v. de QZ, CB, faiblement MT	174874	35.70	36.20	0.50	-0.03		
			174875	36.20	37.70	1.50	-0.03		

Profondeur		Description	Numéro	Echantillon			Au	Ag	
De	A			De	A	Long.	g/T	g/T	
		17.02 - 17.39 idem 14.02 - 15.02	174876	38.50	39.50	1.00	-0.03		
		22.50 - 23.16 5% de veinules CB, CB, QZ, dm a cm, concordantes avec sch.	174877	40.00	40.80	0.80	-0.03		
		29.60 - 30.38 dyke intermediaire a felsique avec phenocristaux de QZ de .1 a .7 mm, contacts sup. et inf. concordants	174878	43.00	44.50	1.50	-0.03		
		30.38 - 31.10 section HM et SI, plus ou moins 5% MT en bandes mm et diss.							
		32.31 - 43.60 5% veinules CB, QZ et QZ, TO mm a dm concordantes sch. 1-5% PY, finement diss. tr. de CP., q.q. fractures concordantes sch.							
46.40	59.74	BASALTE MASSIF vert pale a vert fonce, grs. fins, plus ou moins 1% veinules de QZ, CB de 0 a 40 C.A., q.q. fentes de tensions 20 à 70 A.C. alt. en CL-CB, plus ou moins 1% PY, finement disseminee							
59.74	148.13	BASALTE CISAILLE *LOCALEMENT FRAGMENTAL * ET AMYGDALAIRE vert olive a vert fonce grs. fins, sch. fortement developpee a 50A.C., 10-25% bandes CB, CB, QZ concordantes sch., faiblement MT., alt. en CB surtout, loc. CL, q.q. sections SI et HM, plus ou moins 1 a 5% PY finement disseminee et en veinules mm., les bandes de CB montrent deux systemes de deformations: 1: de 40 a 50 A.C., 2: 10 a 20 A.C.	174879	59.90	61.40	1.50	-0.03		
			174880	61.40	62.90	1.50	-0.03		
			174881	62.90	64.40	1.50	-0.03		
			174882	64.40	65.90	1.50	-0.03		
			174883	65.90	67.40	1.50	-0.03		
			174884	67.40	68.90	1.50	0.09		
			174885	68.90	70.40	1.50	-0.03		
			174886	70.40	72.00	1.60	-0.03		
			174887	72.00	73.50	1.50	-0.03		
			174888	73.50	75.00	1.50	-0.03		

Profondeur		Description	Numéro	Echantillon			Au	Ag	
De	A			De	A	Long.	g/T	g/T	
		60.00 - 71.93	174889	78.00	79.00	1.00	-0.03		
		10 - 25% veinules CB, CB, QZ mm a cm en alternance avec bandes verdâtres de CL, plus ou moins 1-3% MT et PY. q.q. sections SI et HM	174890	79.00	80.50	1.50	-0.03		
			174891	82.80	84.12	1.32	-0.03		
			174892	84.12	84.80	0.68	-0.03		
		72.00 - 72.25	174893	84.80	85.30	0.50	-0.03		
		dyke intermediaire, contacts sup. et inf. concordants	174894	85.30	86.80	1.50	0.03		
			174895	86.80	88.30	1.50	-0.03		
		79.90 - 81.10	174896	88.30	89.80	1.50	-0.03		
		1% veinules QZ, CB 45 a 70 A.C., fracturation avec oxyde de FE.	174897	89.80	91.30	1.50	0.03		
			174898	93.22	94.60	1.38	-0.03		
		81.70 - 82.60	174899	95.60	97.00	1.40	-0.03		
		5 - 15% PY en veinules mm. concordantes avec sch.	174900	97.00	98.50	1.50	-0.03		
		82.60 - 90.22	174901	99.00	100.50	1.50	-0.03		
		section mod. a forte MT., 3-5% PY finement disseminee, q.q. fractures.	174902	100.50	101.00	0.50	0.10		
			174903	101.00	102.50	1.50	0.04		
		92.90 - 102.41	174904	102.50	104.00	1.50	-0.03		
		5-10% veinules mm a dm de QZ, CB et QZ, TO, gen. brechiq. de 40 a 50 A.C., plus ou moins 1% fentes de tensions 0-10 A.C., 1 - 3% PY finement disseminee, plus ou moins 5% fractures avec oxydes de FE.	174905	105.69	106.02	0.33	-0.03		
			174906	107.62	108.00	0.38	-0.03		
		114.60 - 116.67	174907	109.13	109.67	0.54	-0.03		
		sch. 50 A.C., alt. beige a grisatre, plus ou moins 1% oxyde de FE, plus ou moins 3% PY finement disseminee	174908	112.42	112.73	0.31	-0.03		
		126.80 - 131.54	174909	113.26	113.65	0.39	-0.03		
		section cisaillee a 50 A.C. avec 20% de veinules QZ, CB, QZ, TO, mm a cm leg. brechique, tr. HM+ et SI+, alt. en CL, CB plus ou moins 1% de fentes de tensions, plus ou moins 5% PY finement disseminee, faiblement MT	174910	113.88	114.24	0.36	-0.03		
			174778	114.60	115.00	0.40	0.80		

Profondeur		Description	Numéro	Echantillon			Au	Ag
De	A			De	A	Long.	g/T	g/T
		138.70 - 140.00	174779	115.00	115.50	0.50	0.27	
		dyke mafique, contact sup. et inf. concordant	174780	115.50	116.00	0.50	0.05	
			174781	116.00	116.50	0.50	0.05	
		140.00 - 143.00						
		20% alt. CB, plus ou moins 1% veinules mm de QZ, TO	174911	117.19	117.65	0.46	0.03	
			174912	117.65	119.43	1.78	0.12	
		143.00 - 146.30						
		intense fracturation	174913	122.32	122.72	0.40	-0.03	
		146.30 - 148.13						
		section HM et SI, plus ou moins 3% PY et MT finement disseminees et en bandes mm, concordantes sch. 70 A.C.	174914	125.57	125.92	0.35	-0.03	
			174915	126.80	127.52	0.72	0.05	
			174916	128.00	129.43	1.43	0.10	
			174917	129.43	130.33	0.90	0.04	
			174918	132.69	133.79	1.10	0.03	
			174919	135.94	136.67	0.73	-0.03	
			174920	143.67	144.03	0.36	-0.03	
			174782	145.90	146.30	0.40	0.03	
			174783	146.30	146.86	0.56	0.09	
			174921	146.86	148.08	1.22	-0.03	
148.13	196.00	BASALTE AMYGDALAIRE A MASSIF	174922	150.20	150.54	0.34	-0.03	
		idem 12.19 - 46.40	174923	150.68	151.93	1.25	-0.03	
		148.13 - 161.80						
		SI+ et HM+, plus ou moins 20% amygdules, plus ou moins 3% de bandes vert pale mm a cm avec MT et PY, plus ou moins 5% PY, MT finement disseminee et en veinules mm.	174924	152.05	153.23	1.18	-0.03	
			174925	154.48	154.96	0.48	-0.03	
			174926	154.96	155.94	0.98	-0.03	

Profondeur		Description	Numéro	Echantillon			Au g/T	Ag g/T	
De	A			De	A	Long.			
	161.80 - 162.20	3% veinules de QZ-T0, brechique, 1% fentes de tensions 30-60 A.C., 5% PY disseminee	174927	155.94	157.24	1.30	1.45		
	162.20 - 163.37	forte SI+, 3% PY disseminee	174943	157.28	157.78	0.50	-0.03		
	166.42 - 167.97	sch. perpendiculaire A.C., plus ou moins 1% PY, MT, finement disseminee	174944	157.78	158.50	0.72	-0.03		
	167.97 - 169.47	section cisaillee, brechique, alt. grisatre a brunatre plus ou moins 5% PY finement disseminee.	5110	158.50	159.50	1.00	-0.03		
	169.67 - 170.17	boue de faille	5111	159.50	160.50	1.00	-0.03		
	171.80 - 172.70	idem 167.97 - 169.47	5112	160.50	161.00	0.50	1.41		
	173.80 - 174.50	SI+, HM+, plus ou moins 1% fentes de tensions 0-30 C.A. tr. PY	5113	161.00	161.80	0.80	0.33		
	174.50 - 175.40	dyke intermediaire	174928	161.80	162.20	0.40	2.80		
	175.56 - 187.76	forte SI+ et HM+, 5% de bandes CB, QZ dm a cm, approx. 70 A.C., plus ou moins 1% fentes de tensions 0-40 A.C. une bande *pods* approx. 10 cm de materiel verdatre avec plus ou moins 20% MT finement disseminee, tr. PY	5114	162.20	163.20	1.00	0.33		
			5115	163.20	164.52	1.32	0.14		
			174929	164.52	164.97	0.35	0.06		
			174784	166.42	166.92	0.50	-0.03		
			174785	166.92	167.97	1.05	-0.03		
			174786	167.97	168.47	0.50	0.12		
			174787	168.47	169.47	1.00	1.10		
			5120	169.47	170.47	1.00	-0.03		
			5121	170.47	171.80	1.33	0.07		
			174788	171.80	172.70	0.90	0.75		
			5122	172.70	173.70	1.00	-0.03		
			5123	173.70	174.24	0.54	-0.03		
			174930	174.24	174.54	0.30	-0.03		
			174931	177.46	177.94	0.48	0.04		
			174932	178.42	179.61	1.19	0.04		
			174933	183.21	183.63	0.42	0.04		
			174934	185.00	185.35	0.35	-0.03		
			174935	186.22	186.79	0.57	0.03		

Profondeur		Description	Numéro	Echantillon			Au	Ag	
De	A			De	A	Long.	g/T	g/T	
		180.40 - 181.00 dyke intermediaire	174936	187.03	187.71	0.68	0.04		
			174937	188.14	188.54	0.40	0.03		
		191.30 - 192.30 bandes de QZ, CB et QZ,TO de 0 a 70 A.C. dm a cm, loc. brech. tr. de SI+ et HM+ plus ou moins 1% PY en veinules mm a 70 A.C.	174938	188.54	188.90	0.36	0.03		
			174939	190.00	190.59	0.59	0.07		
			174940	191.75	192.92	1.17	0.12		
		193.85 - 196.00 alternance de bandes dm a cm. verdatre a grisatre avec 5% MT. finement disseminee	174941	192.92	193.30	0.38	0.28		
			174942	194.35	194.86	0.51	-0.03		
	196.00	FIND DU SONDAGE (CASING PULLED OUT)							

Profondeur		Description	Numéro	Echantillon			Au g/T	Ag g/T		
De	A			De	A	Long.				
32.80	99.05	BASALTE AMYGDALAIRE	174948	35.37	36.87	1.50	0.06			
		grs. fins, gris fonces, plus ou moins 15% amygdules de CB	174949	38.41	39.00	0.59	-0.03			
		legerement etirees paralleles a la sch.; 35-45 A.C. 1% PY	174950	41.45	42.00	0.55	-0.03			
		automorphe de .1 a 3 mm et <.1 mm, f. disseminee, fractures	174951	44.50	46.00	1.50	-0.03			
		de tensions sub. paralleles a sch., tr. de CB de FE dans zones								
		fractures, alt. CL - CB								
		33.64 - 33.98	174952	47.55	49.00	1.45	-0.03			
		< dyke intermediaire	174953	49.00	49.30	0.30	-0.03			
		contacts concordants, amas mm de TO	174793	49.30	49.95	0.65	4.37			
			262088	49.95	50.60	0.65	2.27			
		39.49 - 40.60	5136	50.60	51.20	0.60	-0.03			
		dyke intermediaire	5137	51.20	52.00	0.80	0.07			
			174954	52.00	53.50	1.50	-0.03			
		49.30 - 49.95								
		5% PY en veinules mm dans et en bordure v. QZ, zone SI,	174955	55.65	56.69	1.04	-0.03			
		leg. HM	174956	56.69	57.80	1.11	-0.03			
		53.70-87.40	174957	58.40	59.10	0.70	-0.03			
		Basalte massif loc. amygdalaire (50% massif/50% amygd.)	174958	59.10	59.80	0.70	-0.03			
			174959	59.80	61.30	1.50	-0.03			
		54.95 - 55.84	174960	61.30	62.80	1.50	-0.03			
		dyke intermediaire	174961	62.80	64.30	1.50	-0.03			
			174962	64.30	64.60	0.30	-0.03			
		64.65 - 65.13								
		idem 54.95 - 55.84	174963	66.00	67.50	1.50	-0.03			
		74.76 - 75.80	174965	69.20	70.65	1.45	-0.03			
		dyke idem 54.95 - 55.84								
			174966	73.70	74.90	1.20	-0.03			
		79.65 - 88.00								
		diminution des amygdules, plus ou moins 5%, alt. grisatre	174967	75.80	76.30	0.50	-0.03			
		a violet, mauve tr. PY, un peu HM+, SI+	174968	77.00	77.50	0.50	-0.03			
			174969	80.10	81.10	1.00	-0.03			

Profondeur		Description	Numéro	Echantillon			Au g/T	Ag g/T		
De	A			De	A	Long.				
		98.50 - 99.05 3% veinules CB, QZ mm a dm 5% PY en veinules mm et f. diss. 3% veinules MT massive mm de 50-60 A.C. alt. CL-CB.	174970	83.00	84.42	1.42	1.14			
			174971	87.90	88.40	0.50	-0.03			
			174794	84.42	84.76	0.34	0.03			
			174795	98.50	99.05	0.55	0.03			
99.05	105.46	BASALTE COUSSINE (V3B)	174972	99.05	100.55	1.50	0.17			
			174973	100.55	102.00	1.45	0.14			
		100.54 - 101.00 zone brechique, veinules de QZ CB mm, deformees, HM+, tr. PY	174974	102.00	103.50	1.50	0.51			
105.46	116.00	BASALTE MASSIF	174980	105.46	106.96	1.50	-0.03			
			174981	106.96	108.50	1.54	-0.03			
		aspect SI, leg. bréchique	174982	108.50	110.00	1.50	-0.03			
		vert fonce, generalement massif, plus ou moins 5% amygdule	174983	110.00	111.60	1.60	-0.03			
		diminution vers contact inferieur sch. approx. 50 A.C. leg. developpee	174796	112.52	112.85	0.33	0.03			
		10 - 20% v. CB mm. sub. parallele A.C.	174984	112.85	114.35	1.50	-0.03			
		1% fentes de tensions 0 - 10 A.C.	174985	114.35	115.12	0.77	0.14			
		<1% PY automorphe fortement MT., contact inferieur net.								
		105.46 - 116.00 SI+, forte alt. en CB, 10% veinules MT massive dm a cm de 40 a 80 A.C. concordantes avec sch. plus ou moins 1% PY f. diss.								
		112.52 - 112.85 SI+, HM+, plus ou moins 1% v. CB plus ou moins 70 A.C. plus ou moins 1% PY f. diss.								

Profondeur		Description	Numéro	Echantillon			Au g/T	Ag g/T		
De	A			De	A	Long.				
116.00	136.00	BASALTE SCHISTEUX (ASPECT GRENU)	174797	119.15	119.51	0.36	0.10			
		idem 22.00 - 32.80, alt. CB, CL, SI, HM, loc. EP et oxyde FE., texture sel et poivre (loc)	174986	124.40	124.70	0.30	0.41			
		119.15 - 119.50	174798	131.50	131.88	0.38	0.03			
		20% bandes CB, QZ, brechique a 50 A.C.	174799	134.87	135.47	0.60	0.03			
		5% PY f. diss., tr. HM+	174979	135.47	136.40	0.93	0.07			
		131.50 - 131.88								
		10% v. de QZ plus ou moins 70 A.C. plus ou moins 5% PY f. diss. et en veinules mm, leg. MT								
		134.87 - 135.47								
		SI+, HM+, mod. MT plus ou moins 3% PY en bandes mm et f. diss.								
136.00	146.43	YOLCANITE MAFIQUE	174800	136.40	136.90	0.50	0.30			
		SI+, HM+, CB+, 10-15% v. QZ 11 échantillons alt. diffe- rentiel produisant un rubannement de 0 à 70 A.C.	261901	136.90	137.92	1.02	0.17			
		136.40 - 139.22	261902	138.56	139.22	0.66	0.30			
		SI+, HM+, sch. approx. 50 A.C., mod. MT, plus ou moins 5% PY f. diss. et en veinules mm, 3% veinules MT massive concordantes sch.	174975	137.92	138.56	0.64	0.07			
		141.68 - 146.43	174976	139.22	140.72	1.50	0.24			
		SI+, HM+, 3% bandes MT massives loc., sch. 50 a 60 A.C.	174977	140.72	141.68	0.96	0.55			
		3-5% PY f. diss. et en veinules mm loc., 1-3% bandes QZ- CB	261903	141.68	142.45	0.77	0.62			
			261904	142.45	143.42	0.97	3.22			
			174978	143.42	143.74	0.32	0.07			
			261905	143.74	144.15	0.41	0.10			
			261906	144.15	144.68	0.53	1.52			
			261907	144.68	145.76	1.08	0.03			
			261908	145.76	146.08	0.32	0.37			

Profondeur		Description	Numéro	Echantillon			Au	Ag		
De	A			De	A	Long.	g/T	g/T		
146.43	181.66	BASALTE AMYGDALAIRE D'ASPECT FRAGMENTALE	261909	146.08	146.43	0.35	0.27			
			262090	146.43	147.40	0.97	0.03			
		idem 32.80-87.40	262089	147.40	147.90	0.50	0.13			
			174988	151.18	152.68	1.50	0.72			
		158.35 - 159.46								
		SI+, HM+, sch. 50 A.C.	261910	158.35	159.10	0.75	-0.03			
		plus ou moins 1% PY f. diss.	261911	159.10	159.46	0.36	0.64			
			261912	159.46	159.87	0.41	0.34			
		160.32 - 161.82								
		> fracturation perpendiculaire A.C..	174987	160.32	161.82	1.50	0.45			
		plus ou moins 3% PY f. diss. et veinules mm.								
			261913	164.54	164.80	0.26	0.30			
		166.42 - 167.80								
		SI+, HM+, 1% fente de tension, 3% bandes MT, massive	261914	166.42	167.06	0.64	-0.03			
		plus ou moins 3% PY f. diss. tr. de CP	261915	167.06	167.40	0.34	-0.03			
			261916	167.40	167.80	0.40	0.03			
		167.80 - 168.45								
		dyke intermediaire conc. sch.	174989	178.61	180.11	1.50	-0.03			
			174990	180.11	181.66	1.55	-0.03			
	181.66	FIN DU SONDAGE (TUBAGE EN PLACE)								

Collet		Client EXPLORATION BREX	Tests d'inclinaison			Sondage # DJ-88-34			
Grille			Profond	Angle	Azimut	Commencé le		88-02-18	
Projet		DESJARDINS	COLLAR	-50.00	180.00	Terminé le		88-02-21	
Ligne		Propriété	30.50	50.00		Décrit par		D. TURCOTTE	
3+50W		DESJARDINS	61.00	47.00		Date		88-02-23	
Station		Canton/Rang/Lot	91.50	45.00		Longueur		278.50 m	
4+20N		DESJARDINS	122.00	44.00		Co. forage		SONDEX	
Elévation		Claim	152.50	44.00		Objectifs Vérifier l'extension latérale du trou 86-4			
		435310-1	183.00	40.00					
Azimut		Coordonnées	213.50	38.00		Résultats Zone intersectée entre 132.00 - 132.90			
180			244.00	36.00					
Angle		Notes	272.20	35.00					
-50		TUBAGE ENLEVE							
Profondeur		Description	Numéro	Echantillon		Long.	Au g/T	Ag g/T	
De	A			De	A				
0.00	12.80	MORT TERRAIN							
12.80	88.67	BASALTE MASSIF	174991	18.00	19.00	1.00	-0.03		
		grs. tres fins, gen. massif a leg. sch. (45-50 C.A.), grisatre	174992	20.12	21.40	1.28	0.03		
		a verdatre, alt. en CL - CB, CB en < v. irregulieres mm	174993	25.80	26.40	0.60	0.07		
		d'angles variables, loc. EP	174994	28.80	29.60	0.80	-0.03		
		-leg. a fort. MT	174995	36.03	37.50	1.47	-0.03		
		-tr. a 2% PY fin diss.	174996	56.69	58.19	1.50	-0.03		
		-qq. fractures de tensions variant de 0 a 90 C.A.	174997	60.00	61.50	1.50	-0.03		
		-nombreuses fractures de 40 a 50 C.A.	174998	61.50	62.79	1.29	-0.03		
		17.30 - 18.00	174999	62.79	63.40	0.61	-0.03		
		dyke mafique a intermediaire, contacts concordants	175000	65.84	66.86	1.02	-0.03		
		18.00 - 19.00	262001	71.93	73.20	1.27	-0.03		
		5% MT gen. hypidio. < .1 a .1 mm en bandes mm d'angles	262002	73.20	74.10	0.90	0.03		
		variables	262003	87.17	88.67	1.50	-0.03		
		20.12 - 21.40							
		alt. en EP (5%) qq bandes de CB (45-50C.A.)							
		25.80 - 26.40							
		5% bandes de CB mm 45 - 50 C.A.							
		3% PY f. diss.							
		mod. MT							

Profondeur		Description	Numéro	Echantillon		Long.	Au g/T	Ag g/T	
De	A			De	A				
		28.50 - 28.80 <dyke intermediaire, contacts concordants plus ou moins 1% PY							
		28.80 - 29.60 mod. MT 3% PY fin diss. selon sch. 40 - 50 C.A.							
		36.03 - 37.50 3% bandes CB 45 C.A. plus ou moins 1% MT et PY							
		38.10 - 44.50 5% bandes CB mm avec grs. de MT <.1 mm diss. tr. PY							
		56.69 - 63.40 10% CB en bandes mm selon sch. 40 - 50 C.A.							
		65.84 - 66.86 SI+ CB+ tr. PY							
		71.93 - 73.20 loc. SI+ CB+, section fracturée plus ou moins 3% PY finement diss.							
		73.20 - 74.10 forte fracturation 40 - 50 C.A. leg. MT, alt. CB, CL							
		84.46 - 85.10 dyke lamprophyre							
88.67	115.3	BASALTE CISAILLE A MASSIF	262004	88.67	90.00	1.33	-0.03		
			262005	90.00	91.50	1.50	-0.03		
		Contact superieur, augmentation graduel sch. grisatre a verdatre, grs. fins, sch. bien developpee 45	262006	94.30	95.70	1.40	-0.03		
		-50 C.A., 10-20% bandes mm de CB selon sch.	262007	95.70	97.20	1.50	0.03		
		-alt. CL - CB, tr. EP CB de FE	262008	97.20	97.82	0.62	-0.03		

Profondeur		Description	Numéro	Echantillon		Long.	Au g/T	Ag g/T	
De	A			De	A				
		-Tr. a 5% PY en bandes mm et fin. diss.	262009	97.82	99.37	1.55	1.00		
		-leg. a mod. MT (loc.)	262010	99.37	100.00	0.63	0.72		
		90.00 - 91.50	5124	100.00	101.50	1.50	-0.03		
		leg. SI+, 3% fentes de tension, *kink* vers 91.00 tr.	5129	103.46	104.46	1.00	-0.03		
		PY, plus ou moins 1% MT	5130	104.46	105.46	1.00	-0.03		
		94.30 - 95.70							
		idem 90.00 - 91.50							
		97.82 - 99.37	262011	105.46	106.96	1.50	1.11		
		loc. SI+, 5% bandes CB mm 45 C.A. evidence de	5131	106.96	108.46	1.50	-0.03		
		plissement *kink* vers 99.00 plus ou moins 5% PY en	5132	108.46	110.60	1.54	0.14		
		veinules mm concordantes.	262012	110.60	111.70	1.10	0.09		
			262014	111.70	112.00	0.30	0.05		
		102.52 - 103.60							
		dyke intermediaire, contacts concordants	262015	112.80	113.17	0.37	-0.03		
		110.60 - 111.70	262013	114.60	115.30	0.70	-0.03		
		-leg. SI+							
		-leg. MT							
		-5% PY en veinules mm et diss.							
		114.60 - 115.30							
		5% PY en bandes mm conc. sch. (40-50 C.A.) leg. MT							
115.30	118.30	BASALTE AMYGDALAIRE							
		grs. fins, verdatre a leg. bleuatre, sch. faible 35-45	262016	115.30	116.80	1.50	-0.03		
		C.A.	262017	116.80	118.30	1.50	-0.03		
		-SI+, CB+ CL+	262018	118.30	119.15	0.85	-0.03		
		-10-15% PY (loc. sur q. q. cm)							
		-augmentation fracturation vers contact inferieur							
		contact inf. disparition des amygdules							
		115.30 - 116.80							
		10% PY en bandes mm							
		SI+, CB+							

Profondeur		Description	Numéro	Echantillon		Long.	Au g/T	Ag g/T	
De	A			De	A				
118.3	138.99	116.80 - 118.30 idem 115.30 - 116.80							
		BASALTE MASSIF A LEG.SCHISTEUX	262019	119.15	119.70	0.55	-0.03		
		idem 12.80 - 88.67	262020	120.15	121.65	1.50	0.08		
			262021	121.65	122.50	0.85	0.03		
		118.30-121.70	262022	122.50	124.00	1.50	-0.03		
		SI+	262023	124.00	124.50	0.50	3.35		
		5% PY en veinules mm concordantes sch.	262024	124.50	125.70	1.20	0.28		
		120.15 - 122.50	261917	129.84	130.90	1.06	0.05		
		10-15% d'alternance de bandes mm	261918	130.90	132.00	1.10	0.27		
		40-50 C.A. de CB et CL loc. EP	261919	132.00	132.90	0.90	2.55		
		plus ou moins 5% MT fin. diss.	261920	132.90	134.40	1.50	0.61		
		plus ou moins 1% PY, loc. SI+	261921	134.40	134.80	0.40	1.70		
			261922	134.80	135.94	1.14	0.26		
		124.00 - 124.50	262079	135.94	137.44	1.50	0.04		
		SI+, CB+ 25% veinules de QZ	262025	137.44	138.94	1.50	-0.03		
		10-15% PY finement diss. mm 40-50 C.A. plus ou moins 3% MT, hypidio fin. diss.							
		124.50 - 125.70							
3% MT diss. plus ou moins 1% PY f. diss. 5% bandes mm de CB									
129.84 - 130.90									
3% v. QZ, CB, conc. sch. 40-50 C.A. tr. PY, leg. MT									
130.90 - 132.00									
SI+, 1% fente de tension parallele C.A., 3% v. QZ, CB -5-10% MT f. diss., 5% PY en grs. < .1 mm a .1 mm f. diss. en veinules associes au QZ-CB et dans fractures 11 A.C. sch. 50-55A.C.									

Profondeur		Description	Numéro	Echantillon		Long.	Au g/T	Ag g/T	
De	A			De	A				
		132.00 - 132.90 zone avec *buff alteration* SI+ HM+ 10% MT f. diss. amas de QZ dm recoupe a 45 par v. de T0 mm, 10% v. de QZ se recoupant dans toutes directions, 5-15% PY f. diss. en veinules et placage							
		132.90 - 134.40 idem 132.00 - 132.90, 5% veinules (mm) MT massives recoupant sch. a 45 A.C.							
		134.40 - 135.94 SI+ leg. HM+, 5-15% MT, grs. .1 a .3 mm, 1-5% MT massive [] vers la fin de la section. gen. diss. sch. et conc. vers la fin sch. à 45 A.C., augmentation de CL dans dernier 30 cm							
		137.44 - 138.94 15% de bandes de QZ avec CB de FE tr. PY							
138.99	181.06	BASALTE GRENU/GABBRO SCHISTEUX A CISAILLE	262026	138.94	140.50	1.51	0.03		
		verdâtre, grs. fins a moyens (loc.)	262027	140.50	142.00	1.50	0.09		
		15-20% MT, en grs. de .1 a .3 mm, diss.	262028	142.00	143.50	1.50	-0.03		
		CL+, CB+, CB augmente avec l'augmentation du cisaillement	262029	143.50	145.08	1.58	0.07		
		5-15% PY, f. diss. et en veinules mm concordantes sch.	262030	145.08	145.50	0.42	-0.03		
			262080	145.50	146.90	1.40	-0.03		
			262031	146.90	148.13	1.23	-0.03		
		146.60 - 151.90 zone de faille, forte CL+, CB+ intense fracturation	262032	148.13	148.83	0.70	0.16		
		sch. de 0 a 45 C.A. 10-15% MT f. diss.	262081	148.33	149.83	1.50	-0.03		
		3%, grs. de QZ de .1 a .7 mm (loc.)	262082	149.83	151.33	1.50	0.05		
		3% PY f. diss.	262083	151.33	152.83	1.50	-0.03		
		qq. v. de CB disc. 40-80 C.A.	262084	152.83	153.10	0.27	-0.03		
		5-10% mx grisâtre (métallique) (trait rouge) f. diss. et en veinules probablement hématite.	262085	153.10	154.00	0.90	-0.03		
			262033	154.00	155.50	1.50	0.19		
			262034	155.50	157.00	1.50	0.25		
		151.13 brèche de faille, 10 cm	262035	157.00	158.50	1.50	0.44		
			262036	158.50	160.10	1.60	0.23		

Profondeur		Description	Numéro	Echantillon		Long.	Au g/T	Ag g/T	
De	A			De	A				
		154.00 - 160.10 SI+ - CL+ - CB+ en alternance de bandes mm de 45-55 C.A., evidence d'une deformation (plissotement) 5-15% MT, plus ou moins 1-3% PY f. diss.	262037	160.10	161.40	1.30	-0.03		
			262038	161.40	162.90	1.50	-0.03		
			262039	162.90	164.40	1.50	0.04		
			262040	169.47	170.00	0.53	-0.03		
		162.90 - 164.40 5-10% bandes CB	262041	170.90	172.50	1.60	0.03		
			262042	172.50	174.00	1.50	0.03		
		169.47 - 170.00 3% bandes CB discordantes sch. approx. 70-80 C.A. sch. 40 C.A. tr. PY 5% MT finement disséminé	262043	178.61	179.95	1.34	0.03		
			262044	181.66	183.16	1.50	0.06		
			262045	183.16	184.66	1.50	-0.03		
			262046	184.66	186.16	1.50	-0.03		
		170.90 - 172.50 SI+, v. QZ cm concordantes sch. 15% MT, 1-3% PY finement diss.	262047	186.16	187.76	1.60	-0.03		
		172.50 - 174.00 5-15% MT, CB, EP loc.							
		177.11 - 179.95 30% v. CB dans toutes directions 3% fentes de tension vers la fin de la section surtout tr. PY, intense fracturation conc. sch.							
		181.66 - 187.76 section fracturée, SI+ loc. plus ou moins cisailée leg. Mt 3-5% PY loc. ds. les sections SI.							
181.06	262.40	BASALTE CISAILLE, COUSSINE *PSEUDO FRAGMENTAL*	262048	187.76	189.26	1.50	0.04		
			262049	189.26	190.56	1.30	-0.03		
		grisatre a verdâtre, grs. fins, 10-20% de veinules de CB cm parallèle a sch. 45-55 C.A. sections grisatre fort. CB+ avec *spots* allonges parallèles a la sch. plus ou moins 3% de fentes de tension 0-40 C.A., leg. MT tr. a 3% PY diss. association HM et EP.	262050	190.56	192.00	1.44	0.10		
			262051	192.00	193.50	1.50	-0.03		
			262052	193.50	195.00	1.50	-0.03		
			262053	195.00	196.50	1.50	0.12		
			262054	196.50	198.00	1.50	-0.03		
			262055	198.00	199.00	1.00	-0.03		

Profondeur		Description	Numéro	Echantillon		Long.	Au g/T	Ag g/T	
De	A			De	A				
		201.00 - 202.80	262056	199.00	199.95	0.95	-0.03		
		SI+, HM+, 3% PY f. diss.	262057	199.95	200.50	0.55	-0.03		
		203.00 - 203.40	262058	201.00	201.80	0.80	0.03		
		40% QZ cm avec 5% PY en amas de .1 a .6 mm, leg. HM+	262059	201.80	202.80	1.00	0.03		
			262060	202.80	203.40	0.60	0.04		
		203.40 - 204.90	262061	203.40	204.90	1.50	-0.03		
		5% PY, SI+ loc.	262062	204.90	206.40	1.50	-0.03		
			262063	206.40	207.75	1.35	-0.03		
		206.40 - 207.75							
		20% bandes mm a cm QZ - CB brechique (loc.) 1-3% PY f. diss.	262067	215.80	216.70	0.90	-0.03		
			262064	221.28	222.78	1.50	-0.03		
		215.19 - 218.24	262065	222.78	224.00	1.22	-0.03		
		10-20% MT, grs. hypidio de .1 a .4 mm et loc. en bandes non massives, 5% v. QZ leg. brechique d'angles variables	262066	224.00	224.33	0.33	-0.03		
			262068	224.33	225.83	1.50	-0.03		
			262069	225.83	227.33	1.50	-0.03		
		221.28 - 224.33	262070	239.30	240.50	1.20	-0.03		
		1-3% fentes de tension mod. MT tr. a 3% PY f. diss. et en bandes mm	262071	240.50	241.50	1.00	0.05		
		224.33 - 231.90							
		10% MT en grs. de .1 a .3 mm allonges selon sch. 50-60 C.A							
		1-3% PY en bandes mm et f. diss.							
		239.30 - 240.50							
		5% bandes QZ - CB cm disc. sch.							
		3% fentes de tension disc. sch.							
		1-3% PY en bandes selon sch. 50 C.A.							
		240.50 - 241.50							
		section SI							
		5% fentes de tension tr. PY							
		241.50 - 247.17							
		intense fracturation 70-90 A.C. qq. fentes de tension dans toutes directions mod. MT							

Profondeur		Description	Numéro	Echantillon		Long.	Au g/T	Ag g/T	
De	A			De	A				
		248.72 - 249.80 20% v. CB, 60-70 C.A. evidence de plissement *kink* leg. MT, tr. PY f. diss.	262072	246.50	247.17	0.67	-0.03		
			262073	248.72	249.80	1.08	0.04		
			261923	256.34	257.00	0.66	-0.03		
		256.34 - 257.86 5% MT hypidio grs. .1 a .3 mm 3% PY f. diss.	261924	257.00	257.86	0.86	-0.03		
			261925	257.86	258.20	0.34	-0.03		
			261926	258.20	258.80	0.60	-0.03		
		257.86 - 258.20 SI+, 5-10% PY f. diss. 3% v. QZ, CB dans toutes directions	262074	263.30	264.50	1.20	-0.03		
		258.20 - 258.80 SI+, 10% QZ - CB en amas (cm) et en v. mm dans toutes directions 3% MT grs. fins <.1 mm a .1 mm diss. 5-10% PY f. diss.							
262.40	272.10	BASALTE MASSIF idem 12.80-88.67, homogène, texture sel et poivre, alt. EP, CL 10-15% AK finement disseminée.							
		263.30 - 264.50 HM+ dans fentes de tension, parallele a 70 C.A., 1-5% MT MT en grs. hypidio de .1 a .3 mm ds fentes de tension, tr. PY							
		268.10 - 269.20 dyke fortement hématisé, concordant							
272.10	278.50	BASALTE SCHISTEUX grs. fins, grisatre a verdatre alt. CB-CL sch. bien developpe 50-60 C.A. 10% bandes CB mm concordantes évidence de plissement *kink* a la fin de la section.	262075	273.10	274.60	1.50	-0.03		
			262076	274.60	276.10	1.50	-0.03		
			262077	276.10	277.60	1.50	-0.03		
			262078	277.60	278.50	0.90	-0.03		
			262086	268.10	269.20	1.10	-0.03		
		TUBAGE ENLEVE							

Collet	Client EXPLORATION BREX INC.	Tests d'inclinaison			Sondage # DJ-88-35			
		Profond	Angle	Azimet	Commencé le	88-02-21		
Grille	Projet	0.00	54.00	210.00	Terminé le	88-02-23		
Ligne 10+00 E	Propriété DESJARDINS	30.50	52.00		Décrit par	D. TURCOTTE		
		61.00	50.00		Date	88-02-24		
Station 3+57 S	Canton/Rang/Lot DESJARDINS	91.50	50.00		Longueur	189.1		
		122.00	49.00		Co. forage	SONDEX		
Elévation	Claim 435272-1	152.50	49.00		Objectifs			
		183.00	47.00		Vérifier stratigraphie			
Azimet 210.00	Coordonnées	Notes TUBAGE EN PLACE						
Angle -50.00								
Profondeur		Echantillon			Au	Ag		
De	A	Description	Numéro	De	A	Long.	g/T	g/T
0.00	4.88	MORT TERRAIN						
4.88	46.60	VOLCANITE	22759	4.88	5.80	0.92	-0.03	
			262097	5.80	6.30	0.50	-0.03	
		gris moyen a fonce, teinte brunatre, intense fracturation	262091	6.30	7.30	1.00	-0.03	
		avec injection de V. et v. de CB, QZ de 0 a 40 A.C. et dans	262098	7.30	8.30	1.00	-0.03	
		toutes directions, loc. brechique 1-5% passage graphiteux	262099	8.30	9.40	1.10	-0.03	
		conc. sch.	262092	9.40	10.40	1.00	-0.03	
		sch. 10 - 40 A.C.	262100	10.40	11.90	1.50	-0.03	
		tr. a 10% PY (loc.) f. diss., en v. mm associee au QZ	22751	11.90	13.40	1.50	-0.03	
		tr. a 20% PO (loc.) en v. mm et diss., (association preferen-	22752	13.40	14.90	1.50	-0.03	
		tielle avec graphite), alt. CL, CB, CB de FE loc. SI+, loc. MT.	22753	14.90	16.40	1.50	-0.03	
			22754	16.40	17.90	1.50	-0.03	
			22755	17.90	19.40	1.50	-0.03	
		6.30 - 7.30	22756	19.40	20.90	1.50	-0.03	
		section brechique leg. SI avec trace HM+ alt. CL, CB, CB de	22757	20.90	22.40	1.50	-0.03	
		FE	22758	22.40	24.00	1.60	-0.03	
		1-3% Py en veinules conc. sch.						
		9.40 - 10.40						
		idem 6.30 - 7.30						

Profondeur		Description	Numéro	Echantillon			Au g/T	Ag g/T		
De	A			De	A	Long.				
		24.00 - 24.90	262093	24.00	24.90	0.90	-0.03			
		section fortement fracturée et brechique 5-15% v. QZ-CB	262094	24.90	25.50	0.60	-0.03			
		dans toutes directions	262095	25.50	25.90	0.40	-0.03			
		tr. - 1% PY f. diss. et en placage tr. graphite	262096	25.90	26.50	0.60	0.03			
			22760	26.50	27.50	1.00	-0.03			
			22761	27.50	28.50	1.00	-0.03			
		24.90 - 25.50	22762	28.50	29.50	1.00	-0.03			
		idem 24.00 - 24.90, SI+, tr. a 3% graphite	22763	29.50	30.70	1.20	-0.03			
			22764	30.70	32.20	1.50	-0.03			
		25.50 - 25.90	22765	32.20	33.20	1.00	-0.03			
		SI+ tr. - 1% CB de FE tr. PY	22766	33.20	34.20	1.00	-0.03			
			22767	34.20	35.70	1.50	-0.03			
			22768	35.70	37.20	1.50	-0.03			
		25.90 - 26.50								
		30% graphite concordant sch. 35 - 40 A.C. injecte de v. CB,								
		5-10% PO allonge selon sch. tr. PY, mod. MT								
		29.50 - 30.70								
		1-3% passages graphiteux de 50 - 60 A.C. tr.-1% PO gen.								
		allonges 50 - 60 A.C.								
		32.20 - 33.20								
		plus ou moins 1% passage graphiteux de 50 - 60 A.C. 1-3%								
		PO avec graphite								
		34.20 - 35.70								
		15 - 35% passages graphiteux 50 - 60 A.C. -15 - 20% PO								
		conc. graphite (allonges) 3 - 5% PY en v. mm discordantes								
		fort. MT								
		35.70 - 37.20								
		idem 32.20 - 33.20 + tr. PY								

Profondeur		Description	Numéro	Echantillon			Au g/T	Ag g/T			
De	A			De	A	Long.					
46.60	61.10	37.20 - 38.20	22769	37.20	38.20	1.00	0.04				
		40% graphite 40 - 50 A.C.	22770	38.20	39.20	1.00	-0.03				
		30 - 40% PO en amas et allongees selon graphite 1-5% PY	22771	39.20	40.20	1.00	-0.03				
		en v. discordantes, vers la fin de la section, évidence de plissement et intense fracturation.	22772	40.20	41.20	1.00	-0.03				
			22773	41.20	42.20	1.00	-0.03				
			22774	42.20	43.20	1.00	-0.03				
		38.20 - 46.00	22775	43.20	44.20	1.00	-0.03				
		passage massif, tr. a 1% graphite avec plus ou moins 1%	22776	44.20	45.20	1.00	-0.03				
		PO, en amas et f. diss., fracturation et brechification au contact inferieur avec injection CB, QZ, tr. sphalerite	22777	45.20	46.00	0.80	0.03				
			22778	46.00	46.60	0.60	-0.03				
				46.00 - 46.60							
				intense fracturation avec injection de minces lits mm de graphite de 40 - 45 A.C. et de v. de CB, QZ, 1-5% PO en amas allonges dans graphite et f. diss., mod. MT. 1-10% PY f. diss. et dans v. associes au CB - QZ							
				TUF GRAPHITEUX	22779	46.60	47.60	1.00	-0.03		
					22780	47.60	48.60	1.00	-0.03		
				contact superieur net 40 - 50 A.C., intense fracturation avec injection de v. de QZ, CB gen. conc., loc. discordantes, evidence de plissement sch. augmente de 50-80A.C., vers le contact inf. qq. sections brechiques et SI	22781	48.60	49.60	1.00	-0.03		
					22782	49.60	50.60	1.00	0.05		
					22783	50.60	51.60	1.00	-0.03		
					22784	51.60	52.60	1.00	-0.03		
		1-15% PY en v. mm associes au QZ-CB et f. diss., loc. en nodules de .2 a .8 mm	22785	52.60	53.60	1.00	-0.03				
			22786	53.60	54.60	1.00	0.03				
		1-25% PO en amas, f. diss. et en nodules de .1 a .4 mm mod MT alt. CB	22787	54.60	55.60	1.00	-0.03				
			22788	55.60	56.60	1.00	0.04				
			22789	56.60	57.90	1.30	-0.03				
		54.10 - 54.40	22790	57.90	59.40	1.50	-0.03				
		faille	22791	59.40	59.70	0.30	-0.03				
		57.90 - 59.70									
		volcanite massive, contact superieur net									

Profondeur		Description	Numéro	Echantillon			Au g/T	Ag g/T		
De	A			De	A	Long.				
		sch. variable de 50 au contact superieur a perpendiculaire A.C. au centre de la section, SI+ et fracturation plus ou moins 1% PY plus ou moins 1 a 3% PO f. diss. et en amas de .1 a .3 mm								
		59.70 - 61.10	22792	59.70	61.10	1.40	0.03			
		passage graphiteux idem 46.60 - 61.30	22793	61.10	62.10	1.00	-0.03			
			22794	62.10	63.10	1.00	-0.03			
			22795	63.10	64.10	1.00	-0.03			
			22796	64.10	65.10	1.00	-0.03			
61.10	81.00	VOLCANITE MASSIVE	22797	65.10	66.10	1.00	-0.03			
			22798	66.10	67.10	1.00	-0.03			
		idem 4.88 - 46.60	22799	67.10	68.10	1.00	-0.03			
		qq. passages graphiteux vers la fin de la section	22800	68.10	69.10	1.00	-0.03			
		contact superieur et inferieur net	261951	69.10	70.10	1.00	0.03			
			261952	70.10	71.10	1.00	0.06			
			261953	71.10	72.10	1.00	-0.03			
			261954	72.10	73.10	1.00	-0.03			
			261955	73.10	74.10	1.00	-0.03			
			261956	75.10	76.10	1.00	-0.03			
			261957	76.10	77.10	1.00	-0.03			
81.00	88.60	TUF GRAPHITEUX	261963	81.00	82.00	1.00	-0.03			
			261964	82.00	83.00	1.00	-0.03			
		idem 46.60 - 61.10	261965	83.00	84.00	1.00	-0.03			
		1 a 15% Py en v. mm et en nodules de .3 a 2 cm, 1-5% PO	261966	84.00	85.00	1.00	-0.03			
		en amas de .1 a .4 mm et associees a la PY	261967	85.00	86.00	1.00	-0.03			
			261968	86.00	87.00	1.00	-0.03			
		85.70 - 88.60	261969	87.00	88.00	1.00	-0.03			
		faille avec section de volcanite (60 cm) fracturee et injectee de CB, QZ dans toutes directions et de minces lits de graphite (mm)	261970	88.00	88.60	0.60	-0.03			

Profondeur		Description	Numéro	Echantillon			Au g/T	Ag g/T		
De	A			De	A	Long.				
88.60	95.90	VOLCANITE idem 4.88 - 48.60	261971	88.60	89.60	1.00	-0.03			
			261972	89.60	90.60	1.00	-0.03			
		261973	90.60	91.60	1.00	-0.03				
		88.60 - 95.90	261974	91.60	92.60	1.00	-0.03			
		intense fracturation avec 3 - 5% injection de CB, QZ dans toutes directions et de lits de graphite a 40 - 50 A.C.	261975	92.60	93.60	1.00	-0.03			
			261976	93.60	94.60	1.00	-0.03			
			261977	94.60	95.90	1.30	-0.03			
			261978	95.90	96.90	1.00	-0.03			
		95.90 - 102.40	261979	96.90	97.90	1.00	-0.03			
		section graphiteuse (40 - 60%) loc. cisaillee, 1-10% PY, PO en v. mm a cm de 40 - 50 A.C., mod. MT	261980	97.90	98.90	1.00	-0.03			
			261981	98.90	99.90	1.00	-0.03			
		104.60 - 105.30	261982	99.90	100.90	1.00	-0.03			
		SI+, 5-10% de minces lits de graphites de 40 - 50 A.C. leg. boudinees, trace a 1% PO, PY alt. CB	261983	100.90	101.90	1.00	-0.03			
			261984	101.90	102.40	0.50	-0.03			
		105.30 - 107.30	261985	102.40	103.41	1.01	-0.03			
		section graphiteuse idem 95.90 - 102.40	261986	103.41	104.41	1.00	-0.03			
			261987	104.41	104.92	0.51	-0.03			
			261988	104.92	105.43	0.51	-0.03			
			261989	105.43	106.43	1.00	-0.03			
			261990	106.43	107.43	1.00	-0.03			
107.30	187.76	VOLCANITE	261991	107.43	108.43	1.00	-0.03			
			261992	108.43	109.43	1.00	-0.03			
		idem 4.88 - 46.60 plus ou moins 1% de passage graphiteux tr. - 1% PY plus ou moins 3% PO associee au graphite	261993	109.43	110.43	1.00	-0.03			
			261994	110.43	111.43	1.00	-0.03			
			261995	111.43	112.43	1.00	-0.03			
		111.00 - 113.00	261996	112.43	113.43	1.00	-0.03			
		fracturation avec injection d'environ 3% v. QZ, QZ, CB mm a cm de 30-40 A.C. SI+, evidence de plissement, localement	261997	113.43	114.43	1.00	-0.03			
			261998	114.43	115.43	1.00	-0.03			
			261999	115.43	116.43	1.00	-0.03			
		113.00 - 117.65	262000	116.43	117.65	1.22	-0.03			
		forte SI+, loc. brechique	261927	117.65	118.10	0.45	-0.03			
			261928	118.10	119.10	1.00	-0.03			
		117.65 - 118.10	261929	119.10	120.10	1.00	-0.03			
SI+, bandes de QZ, CB 20 cm de 40 - 50 A.C.	261930	120.10	120.70	0.60	-0.03					

Profondeur		Description	Echantillon				Au	Ag		
De	A		Numéro	De	A	Long.	g/T	g/T		
		125.00 - 126.80	261931	120.70	121.70	1.00	-0.03			
		intense fracturation avec injection de v. de QZ, CB (20%)	261932	121.70	122.70	1.00	-0.03			
		dans toutes directions.	261933	122.70	123.70	1.00	-0.03			
			261934	123.70	124.70	1.00	-0.03			
			261935	124.70	125.70	1.00	-0.03			
			261936	125.70	126.10	0.40	-0.03			
			261937	126.10	126.80	0.70	-0.03			
			261938	126.80	127.80	1.00	-0.03			
			261939	127.80	128.80	1.00	-0.03			
			261940	128.80	129.80	1.00	-0.03			
			261941	129.80	130.84	1.04	-0.03			
			261942	130.84	131.84	1.00	-0.03			
			261943	131.84	132.84	1.00	-0.03			
			261944	132.84	133.20	0.36	-0.03			
			261945	133.20	134.00	0.80	-0.03			
			261946	134.00	135.00	1.00	-0.03			
			261947	135.00	136.00	1.00	-0.03			
		136.00 - 136.70	261948	136.00	137.20	1.20	-0.03			
		idem 125.00 - 126.80	261949	137.20	137.90	0.70	-0.03			
			261950	137.90	138.90	1.00	-0.03			
			262102	138.90	139.90	1.00	-0.03			
			262103	139.90	140.90	1.00	-0.03			
			262104	140.90	141.90	1.00	-0.03			
			262105	141.90	142.90	1.00	-0.03			
		141.45 - 160.32	262106	142.90	143.90	1.00	-0.03			
		intense fracturation avec injection de v. de QZ, CB mm et cm	262107	143.90	144.90	1.00	-0.03			
		dans toutes directions. forte brechification et SI+, tr. de CB	262108	144.90	145.90	1.00	-0.03			
		de FE, tr. a 1% PY en placage et f. diss., dans QZ principale-	262109	145.90	146.90	1.00	-0.03			
		ment.	262110	146.90	147.90	1.00	0.25			
			262111	147.90	148.90	1.00	-0.03			
			262112	148.90	149.90	1.00	-0.03			
			262113	149.90	150.90	1.00	-0.03			
			262114	150.90	151.90	1.00	-0.03			
			262115	151.90	152.90	1.00	-0.03			
			262116	152.90	153.90	1.00	-0.03			
			262117	153.90	154.90	1.00	-0.03			
			262118	154.90	155.90	1.00	-0.03			

Profondeur		Description	Echantillon				Au g/T	Ag g/T		
De	A		Numéro	De	A	Long.				
		163.37 - 177.20 idem 141.45 - 160.32, tr. - 3% PY in placage et f. diss. dans QZ, plus ou moins 3% PO en v. mm et f. diss. tr. de graphite	262119	155.90	156.90	1.00	-0.03			
			262120	156.90	157.90	1.00	-0.03			
			262121	157.90	158.90	1.00	-0.03			
			262122	158.90	159.90	1.00	-0.03			
			262123	159.90	160.90	1.00	-0.03			
			262124	160.90	161.90	1.00	-0.03			
			262125	161.90	162.90	1.00	-0.03			
			262126	162.90	163.90	1.00	-0.03			
			262127	163.90	164.90	1.00	-0.03			
			262128	164.90	165.90	1.00	-0.03			
			262129	165.90	166.90	1.00	-0.03			
			262130	166.90	167.90	1.00	-0.03			
			262131	167.90	168.90	1.00	-0.03			
			262132	168.90	169.90	1.00	-0.03			
			262133	169.90	170.90	1.00	-0.03			
			262134	170.90	171.90	1.00	-0.03			
			262135	171.90	172.90	1.00	-0.03			
			262136	172.90	173.90	1.00	-0.03			
			262137	173.90	174.90	1.00	-0.03			
			262138	174.90	175.90	1.00	-0.03			
		262139	175.90	176.90	1.00	-0.03				
		262140	176.90	177.90	1.00	-0.03				
		177.20 - 182.40	262101	177.90	178.30	0.40	-0.03			
		10 - 20% de lits graphiteux mm de 40 - 50 A.C. avec 1- 10% PO en v. mm a cm concordantes graphite, tr. - 3% PY en v. mm et f. diss., fracturation avec 5% de v. de QZ, CB leg. brechique	262141	178.30	179.30	1.00	-0.03			
			262142	179.30	180.30	1.00	-0.03			
			262143	180.30	181.30	1.00	-0.03			
			262144	181.30	182.30	1.00	-0.03			
			262145	182.30	183.30	1.00	-0.03			
		182.40 - 187.76 idem 163.37 - 177.20	262146	183.30	184.30	1.00	-0.03			
			262147	184.30	184.60	0.30	-0.03			
			262148	184.60	185.60	1.00	-0.03			
			262149	185.60	186.60	1.00	-0.03			
			262150	186.60	187.60	1.00	-0.03			
			262151	187.60	188.60	1.00	-0.03			
			262152	188.60	189.10	0.50	-0.03			
187.76			FIN DU SONDAGE (TUBAGE EN PLACE)							

Collet		Client	Tests d'inclinaison			Sondage * DJ-88-36				
		EXPLORATION BREX INC.	Profond	Angle	Azimut	Commencé le 88-02-23				
Grille		Projet	0.00	50.00	210.00	Terminé le 88-02-25				
Ligne		Propriété	30.50	51.00		Décrit par D. Tucotte, Y. Méthot				
9+74 E		DESJARDINS	61.00	51.00		Date 88-02-27				
Station		Canton/Rang/Lot	91.50	49.00		Longueur 181.66 m				
4+68.50 S		DESJARDINS	122.00	49.00		Co. forage SONDEX				
Elévation		Claim	152.50	47.00		Objectifs				
		435272-1	181.66	46.00		VERIFIER STRATIGRAPHIE				
Azimut		Coordonnées	Résultats							
210										
Angle		Notes								
-50		TUBAGE ENLEVE								
Profondeur		Description	Echantillon				Au g/T	Ag g/T		
De	A		Numéro	De	A	Long.				
0.00	1.52	MORT TERRAIN								
1.52	42.64	YOLCANITE	262239	1.52	3.00	1.48	-0.03			
		gris moyen a fonce, grains fins, aucune texture primaire observable, intense fracturation et brechification avec injection de (5%) Y. et v. de CB, QZ de 0-90 A.C.	262240	3.00	4.50	1.5	-0.03			
			262241	4.50	6.00	1.5	-0.03			
			262242	6.00	7.50	1.5	-0.03			
			262243	7.50	9.00	1.5	-0.03			
			262244	9.00	10.50	1.5	-0.03			
		sections brechifiées avec fragments mm a cm loc. legerement allonges et aplatis de 30 - 50 A.C. 1-3% passage graphiteux	262245	10.50	12.00	1.5	-0.03			
		Tr. - 5% PY (loc.) f. diss., en placage et en veinules mm associées au QZ Tr. - 5% PO en placage dans fracture et en veinules mm et en amas alt. différentielle observable par une variation dans la couleur de la roche (pale a fonce) quelques	262246	12.00	13.50	1.5	-0.03			
		section SI, quelques traces HM+ (tres locale) loc. MT (associée a PO) contact inferieur avec passage graphiteux de	262247	13.50	15.00	1.5	-0.03			
		50-60 A.C.	262248	15.00	16.50	1.5	-0.03			
			262249	16.50	18.00	1.5	-0.03			
		1.90 - 2.10:	262250	18.00	19.50	1.5	-0.03			
		intense fracturation avec oxyde fer	262251	19.50	21.00	1.5	-0.03			
			262252	21.00	22.50	1.5	-0.03			
			262253	22.50	24.00	1.5	-0.03			
			262254	24.00	25.50	1.5	-0.03			
		4.88 - 4.98:	262255	25.50	27.00	1.5	-0.03			
		idem 1.90 - 2.10	262256	27.00	28.50	1.5	-0.03			
			262257	28.50	30.00	1.5	-0.03			
			262258	30.00	31.50	1.5	-0.03			
			262259	31.50	33.00	1.5	-0.03			

Profondeur		Description	Numéro	Echantillon			Au g/T	Ag g/T		
De	A			De	A	Long.				
42.64	60.70	TUF GRAPHITEUX	262267	43.50	45.00	1.5	-0.03			
			262268	45.00	46.50	1.5	-0.03			
			262269	46.50	48.00	1.5	-0.03			
			262270	48.00	49.50	1.5	-0.03			
			262271	49.50	51.00	1.5	-0.03			
			262272	51.00	52.50	1.5	-0.03			
			262273	52.50	54.00	1.5	-0.03			
			262274	54.00	55.50	1.5	-0.03			
			262275	55.50	57.00	1.5	-0.03			
			262276	57.00	58.50	1.5	-0.03			
		262277	58.50	60.00	1.5	-0.03				
60.70	64.90	VOLCANITE BRECHIFORME	262278	60.00	61.50	1.5	-0.03			
			262279	61.50	63.00	1.5	-0.03			
			262280	63.00	64.50	1.5	-0.03			
			262281	64.50	66.00	1.5	-0.03			
64.90	68.50	TUF GRAPHITEUX	262282	66.00	67.50	1.5	-0.03			
			262283	67.50	69.00	1.5	-0.03			

Profondeur		Description	Numéro	Echantillon			Au g/T	Ag g/T		
De	A			De	A	Long.				
68.50	80.46	VOLCANITE BRECHIFORME idem 60.70 - 64.90 dans ce cas-ci la roche est localement blanchie (presence de calcite: vive reaction au HCl) et contient egalement du graphite lui donnant des teintes gris clair a noir. Rare v. de QZ-CB (<1%) 71.87 - 72.14: zone carbonatee *CC*, impregnation et rares veines, les fragments sont carbonates 72.99 - 73.46: 7% de v. de CB diformes, enchevetrees. La carbonatation affecte egalement une partie des fragments, PO 5% en petites plaquettes disseminees (1 mm), en veinules discontinue (0,5 a 3 mm d'epaisseur), en remplacement de quelques fragments	262284	69.00	70.50	1.5	-0.03			
			262285	70.50	72.00	1.5	-0.03			
			262286	72.00	73.50	1.5	-0.03			
			262287	73.50	75.00	1.5	-0.03			
			262288	75.00	76.50	1.5	-0.03			
			262289	76.50	78.00	1.5	-0.03			
			262290	78.00	79.50	1.5	-0.03			
			262291	79.50	81.00	1.5	0.03			
			80.46	84.59	TUF GRAPHITEUX tuf graphiteux, contact superieur a 55 C.A., litage a 45 C.A., avec environ de 2% de v. de CC, souvent associees a la PO. La mineralisation est generalement concordante. Les placadis-cordants.	262292	81.00	82.50	1.5	-0.03
262293	82.50	84.00				1.5	-0.03			
262294	84.00	85.50				1.5	-0.03			
84.59	107.10	VOLCANITE BRECHIFORME volcanite brechiforme formee de fragments generalement anguleux, de taille inferieure a 5 cm, mais frequemment bi-modale; une classe 2-3 cm (30% des fragments) et une 2e classe inferieure a 1 cm (70% des fragments). La teinte des fragments est gris moyen a fonce. L'orientation, pseudo-litage, n'est pas parfaite mais se situe aux environs de 45 C.A. Plusieurs sections ont un contenu en graphite ce qui donne une teinte noire et obscurcit l'observation des fragments., 2-5% de PO, disseminee en petites plaquettes (<1	262295	85.50	87.00	1.5	-0.03			
			262296	87.00	88.50	1.5	-0.03			
			262297	88.50	90.00	1.5	-0.03			
			262298	90.00	91.50	1.5	-0.03			
			262299	91.50	93.00	1.5	-0.03			
			262300	93.00	94.50	1.5	-0.03			
			262301	94.50	96.00	1.5	-0.03			
			262302	96.00	97.50	1.5	-0.03			
			262303	97.50	99.00	1.5	-0.03			
		262304	99.00	100.50	1.5	-0.03				
		262305	100.50	102.00	1.5	-0.03				

Profondeur		Description	Numéro	Echantillon			Au g/T	Ag g/T		
De	A			De	A	Long.				
		mm), en veinules discontinues, en remplacement de fragments (genre de nodules) et en veines de 0,5 a 2 cm, 45 a 50 A.C., PO également en placage, 1% de PY généralement associée aux veines et veinules discontinues. Il y a très peu de PY disséminée.	262306	102.00	103.50	1.5	-0.03			
			262307	103.50	105.00	1.5	-0.03			
			262308	105.00	106.50	1.5	-0.03			
			262309	106.50	108.00	1.5	-0.03			
		91.50 - 94.69: intervalle de breche graphiteuse								
		96.32 - 101.52: intervalle de breche graphiteuse								
		105.00 - 107.10: intervalle de breche graphiteuse								
107.10	108.51	DYKE INTERMEDIAIRE	262310	108.00	109.50	1.5	-0.03			
		dyke intermediaire finement grenu de couleur gris moyen, fortement impregne de CC., 1% v. de CC sans angle apparent contact superieur concordant a 45 et inferieur discordant a 85 C.A.								
108.51	141.70	TUF GRAPHITEUX	262311	109.50	111.00	1.5	-0.03			
			262312	111.00	112.50	1.5	-0.03			
		tuf graphiteux, noir, homogene au litage peu apparent (35 a 50 C.A.), recoupe par environ 3 a 5% de veines et veinules de CB souvent dans le sens du litage, bien qu'elles recourent ce dernier a plusieurs endroits. Le litage est localement plissote. Traces de v. de QZ., souvent melange CC-QZ	262313	112.50	114.00	1.5	-0.03			
		PO en veinules frequemment discontinues 5% et en placage assez rare, PY 2% généralement avec v. de QZ-CC, petites sections centimetriques a decimetriques peu graphiteuses, laissant entrevoir la fine granulometrie.	262314	114.00	115.50	1.5	-0.03			
			262315	115.50	117.00	1.5	-0.03			
			262316	117.00	118.50	1.5	-0.03			
			262317	118.50	120.00	1.5	-0.03			
			262318	120.00	121.50	1.5	0.03			
			262319	121.50	123.00	1.5	-0.03			
			262320	123.00	124.50	1.5	-0.03			
			262321	124.50	126.00	1.5	-0.03			
			262322	126.00	127.50	1.5	-0.03			
		108.68 - 109.88: 5 a 10% v. CB et impregne le tuf également	262323	127.50	129.00	1.5	-0.03			
			262324	129.00	130.50	1.5	-0.03			

Profondeur		Description	Echantillon	Au	Ag			
De	A							Numéro
141.70	181.66	122.00 - 123.28: zone silicifiée légèrement plus grise	262325	130.50	132.00	1.5	-0.03	
			262326	132.00	133.50	1.5	-0.03	
			262327	133.50	135.00	1.5	-0.03	
		123.28 - 125.08: D2 idem 107.10 a 108.51	262328	135.00	136.50	1.5	-0.03	
		contacts supérieurs et inférieurs a 45 C.A.	262329	136.50	138.00	1.5	-0.03	
			262330	138.00	139.50	1.5	-0.03	
			262331	139.50	141.00	1.5	-0.03	
		135.23 - 140.21: la roche se débite bien, 1 a 10% de veinules de calcite enchevêtrées, localement aspect cataclastique	262332	141.00	142.50	1.5	-0.03	
		140.51 - 140.75: sulfures 25% PY et PO en veinules enchevêtrées, roche cataclastique						
		140.97 - 141.05: zone broyée, poudre de graphite, probablement une zone de faille						
		VOLCANITE	262333	142.50	144.00	1.5	-0.03	
			262334	144.00	145.50	1.5	-0.03	
		volcanite mafique de couleur gris moyen, localement de teinte verdâtre et brunâtre selon l'altération, très intensément fracturée partout, avec injections multiples (3-15%) Y. et v. de CC principalement, CC-QZ et QZ dans tout sens, mais généralement entre 35 et 60 C.A. La roche prend localement un aspect brechiforme. A un endroit elle est microplissée et a deux autres elle est cataclasée et fortement chlotirisée (vert bouteille) et très injectée de veines de QZ-CC (2 zones de 10 cm entre 165.30-169.16). La roche est presque toujours schisteuse 35-50 A.C. et de nombreuses injections de CC sont concordantes, v. QZ généralement rare, moins de 1%, 1-3 cm sauf exception de 10 cm, sont généralement discordantes, Tr. a 1% PY localement, carbonate imprégné partout et silicification plus locale.	262335	145.50	147.00	1.5	0.03	
			262336	147.00	148.50	1.5	0.03	
			262337	148.50	150.00	1.5	-0.03	
			262338	150.00	151.50	1.5	-0.03	
			262339	151.50	153.00	1.5	-0.03	
			262340	153.00	154.50	1.5	-0.03	
	262341	154.50	156.00	1.5	-0.03			
	262342	156.00	157.50	1.5	-0.03			
	262343	157.50	159.00	1.5	-0.03			
	262344	159.00	160.50	1.5	-0.03			
	262345	160.50	162.00	1.5	-0.03			
	262346	162.00	163.50	1.5	-0.03			
	262347	163.50	165.00	1.5	-0.03			
	262348	165.00	166.50	1.5	-0.03			

Profondeur		Description	Numéro	Echantillon			Au g/T	Ag g/T		
De	A			De	A	Long.				
		143.00 - 143.52: zone graphiteuse, 5% v. de PO, 1% V. de QZ - CC	262349	166.50	168.00	1.5	-0.03			
			262350	168.00	169.16	1.16	-0.03			
			262351	169.16	170.54	1.38	-0.03			
		143.52 - 147.30: SI, CB, et faible EP et CL	262352	170.54	171.91	1.37	-0.03			
			262353	172.50	174.00	1.5	-0.03			
		147.30 - 152.19: intervalle brechiforme, CB, faible EP localement	262354	174.00	175.50	1.5	-0.03			
			262355	175.50	177.00	1.5	-0.03			
			262356	177.00	178.50	1.5	-0.03			
		152.19 - 154.60: intervalle brechiforme, 3% de veinules de QZ-CC, BI	262357	178.50	180.00	1.5	0.03			
			262358	180.00	181.66	1.66	0.05			
		158.31 - 158.73: BI								
		161.20 - 161.40: BI								
		162.50 - 163.85: BI								
		165.30 - 169.16: intervalle SI, avec deux zones cataclasees sur 10 cm, tres chloritisees et injectees de v. de QZ-CB (166.35 et a 167.05) et une zone microplissee de 20 cm (a 167.86)								
		170.99 - 172.82: SI								
		172.82 - 175.26: BI								
		179.28 - 179.69: BI								
		171.91 - 172.52: carotte non recuperee								
	181.66	FIN DU TROU								

Collet	Client EXPLORATION BREX INC.	Tests d'inclinaison			Sondage # DJ-88-37			
		Profond	Angle	Azimut	Commencé le	Au	Ag	
Grille	Projet	0.00	-50.00	197.00	88-02-15			
Ligne	Propriété	30.50	-46.00		88-02-17			
21+00 E	DESJARDINS	61.00	-46.00		Décrit par			
Station	Canton/Rang/Lot	91.50	-45.00		Date			
2+00 S	DESJARDINS	122.00	-45.00		88-02-19			
Elévation	Claim				Longueur			
	435272-2				142.04 m			
Azimut	Coordonnées				Co. forage			
197					SONDEX			
Angle	Notes				Objectifs			
-50	TUBAGE ENLEVE				Faille interprétée par géophysique			
					Résultats			
					Faille entre 24.43 et 43.18 m			
Profondeur		Echantillon			Au	Ag		
De	A	Description	Numéro	De	A	Long.	g/T	g/T
0.00	10.97	TUBAGE						
10.97	16.3	MONZONITE						
<p>monzonite moyennement grenue, de couleur rougeatre a texture granitique (hypidiomorphe grenu), essentiellement formee de, <2% QZ, environ 45% FP, 38% PG (aspect plus vitreux) et 15% mafiques (biotite, amphibole, chlorite, magnetite). FP et PG frequemment idiomorphe, localement grossiers et en amas glomerocristallin. Les FP sont plus roses et les PG plus blancs. AM parfois en aiguille individuelle. MT egalement seul sous forme d'octoedre souvent hypidiomorphe.</p> <p>-legere microfracturation cimentee par une faible proportion de materiel hematise -tr. de PY -RQD moyen a fort et 75% de feldspaths -contacts superieur et inferieur a 15 A.C.</p>								

Profondeur		Description	Numéro	Echantillon			Au g/T	Ag g/T		
De	A			De	A	Long.				
24.23	43.18	MONZONITE FRACTUREE	262153	24.23	25.23	1.00	-0.03			
			262154	25.23	26.23	1.00	-0.03			
		idem 10.97 a 16.30 sauf qu'on observe plutot une roche avec de nombreuses passees fortement silicifiees, environ 3% de v. de QZ parfois oriente a 45-50 A.C. La microfracturation est localement interne et la roche prend la couleur rouge brique clair. Les mafiques sont oblitérés ou lessivés par la silicification et localement sont remobilises dans le reseau de fracturation avec une faible proportion de calcite. De la PY (3%) est presente dans ces fractures, avec les veines de Qz et disseminee dans la roche et en plaquage avec les fractures ouvertes chloritisees et hematisees.	262155	26.23	27.20	0.97	-0.03			
			262156	27.20	28.34	1.14	0.06			
			262157	28.34	29.36	1.02	0.14			
			262158	29.36	30.36	1.00	0.09			
			262159	30.36	31.36	1.00	0.03			
			262160	31.36	32.52	1.16	0.03			
			262161	32.52	33.62	1.10	-0.03			
			262162	33.62	34.62	1.00	0.03			
			262163	34.62	35.62	1.00	0.13			
			262164	35.62	36.62	1.00	0.05			
			262165	36.62	37.72	1.10	-0.03			
			262166	37.72	38.82	1.10	0.12			
			262167	38.82	39.92	1.10	0.10			
	262168	39.92	41.02	1.10	0.03					
	262169	41.02	42.15	1.13	0.03					
	262170	42.15	43.18	1.03	0.05					
43.18	142.04	MONZONITE	262238	43.18	44.50	1.32	-0.03			
		idem 10.97 a 16.30.	262171	44.50	46.00	1.50	-0.03			
			262172	50.00	51.50	1.50	-0.03			
		L'hematite est toujours faiblement presente et donne une couleur rosee. Des traces de Pyrite sont observees, mais quelques concentrations restreintes (1% PY) sont generalement observees avec des veinules de calcite et plaquage de calcite et plaquage de CL. De rares veines de composition aplitique sont observees. De tres rares enclaves granitiques plus mafiques et finement grenues sont observees.	262173	56.00	57.00	1.00	-0.03			
			262174	57.00	58.00	1.00	-0.03			
			262175	62.00	63.50	1.50	-0.03			
			262359	63.50	65.00	1.50	-0.03			
			262360	65.00	66.50	1.50	-0.03			
			262361	66.50	68.00	1.50	-0.03			
			262176	68.00	69.50	1.50	-0.03			
	262177	74.00	75.50	1.50	-0.03					
	262178	82.00	83.00	1.00	-0.03					

Profondeur		Description	Numéro	Echantillon			Au g/T	Ag g/T		
De	A			De	A	Long.				
		indiquer qu'il s'agit d'un dyke tel que vu precedemment ou une large enclave?	262179	83.00	84.00	1.00	0.03			
			262180	84.00	85.00	1.00	0.03			
			262181	85.00	86.00	1.00	-0.03			
		-83.09 a 85.65								
		zone silicifiee (SI+) avec 4 veines de QZ et concentration	262182	92.00	93.50	1.50	-0.03			
		noire chloriteuse de 2 a 7 cm. L'eponte en bordure est tres								
		silicifiee sur 5 cm environ et hematisee legerement et est	262183	98.00	99.50	1.50	-0.03			
		dépourvue de mineraux mafique. De la calcite est en trace	262362	99.50	101.00	1.50	-0.03			
		localement, presente dans les veines ou au contact. Environ	262363	101.00	102.20	1.20	-0.03			
		2 a 5% de Pyrite sont associee aux veines, a l'eponte silicifiee	262364	102.20	103.50	1.30	-0.03			
		et dans les fractures ouvertes chloritisees.	262184	103.50	105.00	1.50	-0.03			
			262185	108.00	109.50	1.50	-0.03			
			262186	114.50	116.00	1.50	-0.03			
			262187	120.00	121.50	1.50	-0.03			
			262188	126.00	127.50	1.50	-0.03			
			262189	131.50	133.00	1.50	-0.03			
	142.04	FIN DU TROU (TUBAGE ENLEVE)	262190	137.50	139.00	1.50	-0.03			

RAPPORT: C88-00033.6

PROJET: SED

PAGE 1

NUMÉRO DE L'ÉCHANTILLON	ÉLÉMENT UNITÉS	Au GTN
D2 261051		<0.03
D2 261052		0.03
D2 261053		<0.03
D2 261054		<0.03
D2 261055		<0.03
D2 261056		<0.03
D2 261057		0.03
D2 261058		<0.03
D2 261059		<0.03
D2 261060		<0.03
D2 261061		<0.03
D2 261062		<0.03
D2 261063		0.06
D2 261064		<0.03
D2 261065		<0.03
D2 261066		<0.03
D2 261067		<0.03
D2 261068		<0.03
D2 261069		<0.03
D2 261070		<0.03
D2 261071		0.07
D2 261072		<0.03
D2 261073		<0.03
D2 261074		0.06
D2 261075		<0.03
D2 261076		<0.03
D2 261077		1.48
D2 261078		<0.03
D2 261079		0.06
D2 261080		0.09
D2 261081		<0.03
D2 261082		<0.03
D2 261083		<0.03
D2 261084		<0.03
D2 261085		0.03
D2 261086		<0.03
D2 261087		<0.03
D2 261088		<0.03

P. D.

RAPPORT: CBS-00034.6

PROJET: SED

PAGE 1

NUMERO DE L'ÉCHANTILLON	ELEMENT UNITÉS	AU GTM
----------------------------	-------------------	-----------

D2 260615		<0.03
D2 260918		<0.03
D2 260919		0.03
D2 260920		<0.03
D2 260921		<0.03

D2 260922		<0.03
D2 260923		<0.03
D2 260924		<0.03
D2 260925		<0.03
D2 260926		<0.03

D2 260927		<0.03
D2 260928		<0.03
D2 260929		<0.03
D2 260930		<0.03

R. S. ...

CHIMITEC LTEE

700 Rue Nérée Tremblay
 Ste-Fcy, Québec G1N 4H7
 (418) 683-1777
 TÉLEX: 051-3786 LOCAL 272

CHIMITEC LTEE

CERTIFICAT
 D'ANALYSE

RAPPORT: C88-00045.6

PROJET: SED

PAGE 1 -

NUMÉRO DE L'ÉCHANTILLON	ÉLÉMENT UNITÉS	Au GTM	NUMÉRO DE L'ÉCHANTILLON	ÉLÉMENT UNITÉS	Au GTM
D2 260715		1.12	D2 261005		0.08
D2 260716		0.03	D2 261006		<0.03
D2 260717		0.03	D2 261007		<0.03
D2 260718		0.05	D2 261008		<0.03
D2 260719		<0.03	D2 261009		<0.03
D2 260720		<0.03	D2 261010		<0.03
D2 260721		<0.03	D2 261011		<0.03
D2 260722		<0.03	D2 261012		<0.03
D2 260723		<0.03	D2 261013		<0.03
D2 260724		<0.03	D2 261014		<0.03
D2 260725		0.05	D2 261015		<0.03
D2 260726		0.05	D2 261016		0.13
D2 260727		<0.03	D2 261017		<0.03
D2 260728		0.03	D2 261018		<0.03
D2 260729		0.04	D2 261019		<0.03
D2 260730		<0.03	D2 261020		<0.03
D2 260731		0.19	D2 261021		<0.03
D2 260732		<0.03			
D2 260733		<0.03			
D2 260734		<0.03			
D2 260735		0.08			
D2 260736		<0.03			
D2 260737		<0.03			
D2 260738		<0.03			
D2 260739		0.03			
D2 260740		<0.03			
D2 260741		<0.03			
D2 260742		0.11			
D2 260743		<0.03			
D2 260744		<0.03			
D2 260745		0.28			
D2 260746		<0.03			
D2 260747		<0.03			
D2 260748		<0.03			
D2 260749		<0.03			
D2 260750		<0.03			
D2 261001		<0.03			
D2 261002		<0.03			
D2 261003		<0.03			
D2 261004		<0.03			

R. N. ...

RAPPORT: C89-00228.6

PROJET: SED

PAGE 1

NUMERO DE L'ECHANTILLON	ELEMENT UNITES	AU GTM
----------------------------	-------------------	-----------

D2 107608		<0.03
D2 107609		<0.03
D2 107610		<0.03
D2 107611		0.11
D2 107612		<0.03

D2 107613		<0.03
D2 107614		<0.03
D2 107615		<0.03
D2 107616		<0.03
D2 107617		<0.03

D2 107618		0.06
D2 107619		0.03
D2 107620		<0.03
D2 107621		0.05
D2 107622		<0.03

D2 107623		<0.03
D2 107624		0.11
D2 107625		<0.03
D2 107626		0.03

Richard Macdonald

RAPPORT: C89-00260.6

PROJET: SED

PAGE 1

NUMÉRO DE L'ÉCHANTILLON	ÉLÉMENT UNITÉS	Au GTM
----------------------------	-------------------	-----------

D2 106756		<0.03
D2 106757		<0.03
D2 106758		<0.03
D2 106759		0.17
D2 106760		0.11

D2 106761		0.04
D2 106762		<0.03
D2 106763		<0.03
D2 106764		0.33
D2 106765		<0.03

R. S. ...

RAPPORT: CBS-00264.6

PROJET: SED

PAGE 1

NUMÉRO DE L'ÉCHANTILLON	ÉLÉMENT UNITÉS	Au GTM	NUMÉRO DE L'ÉCHANTILLON	ÉLÉMENT UNITÉS	Au GTM
D2 261198		<0.03	D2 261238		<0.03
D2 261199		<0.03	D2 261239		<0.03
D2 261200		0.23	D2 261240		<0.03
D2 261201		0.21	D2 261241		<0.03
D2 261202		1.56	D2 261242		0.03
D2 261203		<0.03	D2 261243		<0.03
D2 261204		<0.03	D2 261244		0.03
D2 261205		<0.03	D2 261245		0.03
D2 261206		<0.03	D2 261246		0.12
D2 261207		<0.03	D2 261247		0.08
D2 261208		<0.03	D2 261248		<0.03
D2 261209		<0.03	D2 261249		0.20
D2 261210		0.03	D2 261250		0.12
D2 261211		<0.03	D2 261251		0.08
D2 261212		0.85	D2 261252		0.33
D2 261213		<0.03	D2 261253		0.80
D2 261214		0.06	D2 261254		0.31
D2 261215		<0.03	D2 261255		0.53
D2 261216		0.03	D2 261256		0.69
D2 261217		0.03	D2 261257		0.09
D2 261218		<0.03	D2 261258		<0.03
D2 261219		0.05	D2 261259		0.18
D2 261220		<0.03			
D2 261221		0.19			
D2 261222		<0.03			
D2 261223		0.04			
D2 261224		<0.03			
D2 261225		0.56			
D2 261226		<0.03			
D2 261227		<0.03			
D2 261228		<0.03			
D2 261229		0.03			
D2 261230		<0.03			
D2 261231		0.03			
D2 261232		<0.03			
D2 261233		<0.03			
D2 261234		<0.03			
D2 261235		<0.03			
D2 261236		0.34			
D2 261237		0.13			

Res. ind. S. L. H.

RAPPORT: C88-00342.6

PROJET: SED

PAGE 1

NUMÉRO DE L'ÉCHANTILLON	ÉLÉMENT UNITÉS	Au G/M	NUMÉRO DE L'ÉCHANTILLON	ÉLÉMENT UNITÉS	Au G/M
D2 261089		<0.03	D2 261129		<0.03
D2 261090		0.33	D2 261130		<0.03
D2 261091		0.14	D2 261131		<0.03
D2 261092		<0.03	D2 261132		<0.03
D2 261093		<0.03	D2 261133		<0.03
D2 261094		<0.03	D2 261134		<0.03
D2 261095		<0.03	D2 261135		0.15
D2 261096		<0.03	D2 261136		<0.03
D2 261097		0.02	D2 261137		<0.03
D2 261098		<0.03	D2 261138		<0.03
D2 261099		<0.03	D2 261139		<0.03
D2 261100		<0.03	D2 261140		0.05
D2 261101		<0.03			
D2 261102		<0.03			
D2 261103		<0.03			
D2 261104		0.03			
D2 261105		<0.03			
D2 261106		<0.03			
D2 261107		0.04			
D2 261108		<0.03			
D2 261109		<0.03			
D2 261110		<0.03			
D2 261111		<0.03			
D2 261112		<0.03			
D2 261113		0.03			
D2 261114		<0.03			
D2 261115		<0.03			
D2 261116		<0.03			
D2 261117		0.03			
D2 261118		0.05			
D2 261119		<0.03			
D2 261120		<0.03			
D2 261121		<0.03			
D2 261122		<0.03			
D2 261123		<0.03			
D2 261124		<0.03			
D2 261125		0.03			
D2 261126		<0.03			
D2 261127		0.03			
D2 261128		<0.03			

R. J. [Signature]

RAPPORT: C88-00357.6

PROJET: SED

PAGE 1

NUMÉRO DE L'ÉCHANTILLON	ÉLÉMENT UNITÉS	Au GTM
----------------------------	-------------------	-----------

D2 90878		0.03
D2 90879		<0.03
D2 90880		<0.03
D2 90881		<0.03
D2 261151		0.18

D2 261152		<0.03
D2 261153		<0.03
D2 261154		0.11
D2 261155		0.15
D2 261156		0.04

D2 261157		0.09
D2 261158		<0.03
D2 261159		<0.03
D2 261160		<0.03
D2 261161		<0.03

D2 261162		0.03
D2 261163		0.03
D2 261164		<0.03
D2 261165		<0.03
D2 261166		<0.03

D2 261167		0.04
D2 261168		<0.03
D2 261169		<0.03
D2 261170		<0.03
D2 261171		<0.03

D2 261172		<0.03
D2 261173		<0.03
D2 261174		0.03
D2 261175		<0.03
D2 261176		<0.03

Richard L. Lavoie

RAPPORT: C88-00410.6

PROJET: SED

PAGE 1

NUMERO DE L'ÉCHANTILLON	ÉLÉMENT UNITÉS	Au GTM
----------------------------	-------------------	-----------

D2 106766		0.03
D2 106780		0.10
D2 107583		<0.03
D2 107584		0.12
D2 107585		<0.03

D2 107586		<0.03
D2 107587		0.03
D2 107649		<0.03
D2 107650		0.17
D2 107651		<0.03



RAPPORT: CS9-00411.6

PROJET: SED

PAGE

NUMERO DE L'ECHANTILLON	ELEMENT UNITES	Au GTM	26
----------------------------	-------------------	-----------	----

D2 90862		0.07	
D2 90863		<0.03	
D2 90864		0.04	
D2 90865		<0.03	
D2 90866		0.04	

D2 90867		0.07	
D2 90868		0.06	
D2 90869		0.05	
D2 90890		0.79	
D2 90891		0.06	

D2 90892		2.45	
D2 90893		1.31	
D2 90894		1.36	
D2 90895		5.76	
D2 90896		1.31	

D2 90897		0.14	
D2 90898		9.81	
D2 90899		0.07	
D2 90900		0.08	
D2 174751		0.57	

D2 174752		4.91	
D2 174753		1.16	
D2 174754		0.19	

RAPPORT: C88-00534.6

PROJET: SED

PAGE 1

NUMÉRO DE L'ÉCHANTILLON	ÉLÉMENT UNITÉS	Au G/M
----------------------------	-------------------	-----------

D2 261478		<0.03
D2 261479		0.63
D2 261480		1.80
D2 261481		0.32
D2 261482		0.72

D2 261483		1.15
D2 261484		0.98
D2 261485		0.18
D2 261486		<0.03
D2 261487		<0.03

D2 261488		<0.03
D2 261489		0.16
D2 261496		<0.03
D2 261497		0.16
D2 261498		<0.03

D2 261502		0.08
D2 261503		0.70
D2 261504		0.18
D2 261546		0.03
D2 261547		0.42

D2 261548		3.21
D2 261549		0.36
D2 261559		<0.03
D2 261560		1.16
D2 261561		<0.03

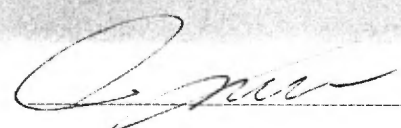
Richard L. L.

RAPPORT: C88-00578.6

PROJET: SED

PAGE 1

NUMÉRO DE L'ÉCHANTILLON	ÉLÉMENT UNITÉS	Au GTM
D2 174755		3.60
D2 174756		1.39
D2 174757		0.05
D2 174758		<0.03
D2 174759		0.50



RAPPORT: C98-00721.6

PROJET: SED

PAGE 1

NUMÉRO DE L'ÉCHANTILLON	ÉLÉMENT UNITÉS	Au G/M
----------------------------	-------------------	-----------

D2 174772		0.03
D2 174773		<0.03
D2 174774		0.07
D2 174775		0.03
D2 174776		<0.03

D2 174777		0.03
-----------	--	------

Richard Deschamps

RAPPORT: C88-00731.6

PROJET: SED

PAGE 1

NUMÉRO DE L'ÉCHANTILLON	ÉLÉMENT UNITÉS	AU G/M
----------------------------	-------------------	-----------

D2 174778		0.80
D2 174779		0.27
D2 174780		0.05
D2 174781		0.05
D2 174782		0.03

D2 174783		0.09
D2 174784		<0.03
D2 174785		<0.03
D2 174786		0.12
D2 174787		1.10

D2 174788		0.75
D2 174789		1.40
D2 174790		0.33
D2 174791		0.90
D2 174792		<0.03

R. P. ...

RAPPORT: C88-00790.6

PROJET: SED

PAGE 1

NUMÉRO DE L'ÉCHANTILLON	ÉLÉMENT UNITÉS	Au GTM
----------------------------	-------------------	-----------

D2 261811		0.09
D2 261812		0.26
D2 261813		0.03
D2 261814		<0.03
D2 261815		0.03

D2 261816		<0.03
D2 261817		0.12
D2 261818		0.37
D2 261819		0.03
D2 261820		<0.03

D2 261821		<0.03
D2 261822		0.03
D2 261823		<0.03
D2 261824		0.04
D2 261825		0.06

D2 261826		0.03
D2 261827		<0.03
D2 261828		<0.03
D2 261829		<0.03
D2 261830		0.03

Richard M. Lambert

RAPPORT: C88-00811.6

PROJET: SED

PAGE 1

NUMÉRO DE L'ÉCHANTILLON	ÉLÉMENT UNITÉS	Au GTM
----------------------------	-------------------	-----------

D2 174794		0.03
D2 174795		0.03
D2 174796		0.03
D2 174797		0.10
D2 174798		0.03

D2 174799		0.03
D2 174800		0.30
D2 261901		0.17
D2 261902		0.30
D2 261903		0.62

D2 261904		3.22
D2 261905		0.10
D2 261906		1.52
D2 261907		0.03
D2 261908		0.37

D2 261909		0.27
D2 261910		<0.03
D2 261911		0.64
D2 261912		0.34
D2 261913		0.30

D2 261914		<0.03
D2 261915		<0.03
D2 261916		0.03

Richard Richard

RAPPORT: C88-00819.6

PROJET: SED

PAGE 1

NUMÉRO DE L'ÉCHANTILLON	ÉLÉMENT UNITÉS	Au GTM
----------------------------	-------------------	-----------

D2 261917		0.05
-----------	--	------

D2 261918		0.27
-----------	--	------

D2 261919		2.55
-----------	--	------

D2 261920		0.61
-----------	--	------

D2 261921		1.70
-----------	--	------

D2 261922		0.26
-----------	--	------

R. L. L. L. L.

RAPPORT: C88-00848.6

PROJET: SED

PAGE 1

NUMÉRO DE L'ÉCHANTILLON	ÉLÉMENT UNITÉS	Au GTM
D2 261923		<0.03
D2 261924		<0.03
D2 261925		<0.03
D2 261926		<0.03

Revised/Revised/Revised

RAPPORT: C88-03117.6

PROJET: SED

PAGE 1

NUMÉRO DE L'ÉCHANTILLON	ÉLÉMENT UNITÉS	AU G/M	NUMÉRO DE L'ÉCHANTILLON	ÉLÉMENT UNITÉS	AU G/M
D2 261177		<0.03	D2 261281		<0.03
D2 261178		<0.03	D2 261282		0.03
D2 261179		<0.03	D2 261283		<0.03
D2 261180		<0.03	D2 261284		<0.03
D2 261181		<0.03	D2 261285		<0.03
D2 261182		<0.03	D2 261286		<0.03
D2 261183		<0.03	D2 261287		<0.03
D2 261184		<0.03	D2 261288		0.15
D2 261185		<0.03	D2 261289		0.35
D2 261186		0.07	D2 261290		<0.03
D2 261187		<0.03			
D2 261188		<0.03			
D2 261189		<0.03			
D2 261190		<0.03			
D2 261191		<0.03			
D2 261192		<0.03			
D2 261193		<0.03			
D2 261194		<0.03			
D2 261195		<0.03			
D2 261196		<0.03			
D2 261261		<0.03			
D2 261262		<0.03			
D2 261263		<0.03			
D2 261264		<0.03			
D2 261265		<0.03			
D2 261266		0.03			
D2 261267		0.07			
D2 261268		<0.03			
D2 261269		0.04			
D2 261270		<0.03			
D2 261271		0.03			
D2 261272		<0.03			
D2 261273		0.42			
D2 261274		1.40			
D2 261275		<0.03			
D2 261276		<0.03			
D2 261277		1.61			
D2 261278		<0.03			
D2 261279		0.16			
D2 261280		0.14			

[Signature]

RAPPORT: C89-03159.6

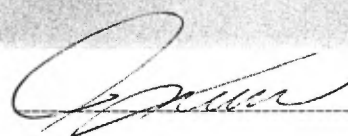
PROJET: SED

PAGE 1

NUMERO DE L'ECHANTILLON	ELEMENT UNITES	Au GTN
----------------------------	-------------------	-----------

D2 5070		<0.03
D2 5071		<0.03
D2 5072		<0.03
D2 5073		0.92
D2 5074		0.35

D2 5075		1.59
D2 5076		0.07
D2 5077		0.05
D2 5078		0.04
D2 90951		0.05



RAPPORT: C88-03268.6

PROJET: SED

PAGE 1

NUMERO DE L'ÉCHANTILLON	ÉLÉMENT UNITÉS	Au GTM
----------------------------	-------------------	-----------

D2 107551		0.14
D2 107552		<0.03
D2 107553		0.04
D2 107554		<0.03
D2 107555		<0.03

D2 107556		<0.03
D2 107557		<0.03
D2 107558		<0.03
D2 107559		0.04
D2 107560		<0.03

D2 107561		<0.03
D2 107562		<0.03
D2 107563		<0.03
D2 107564		0.03
D2 107565		<0.03

D2 107566		<0.03
D2 107567		<0.03
D2 107568		<0.03
D2 107569		<0.03
D2 107570		<0.03

D2 107571		<0.03
D2 107572		<0.03
D2 107573		<0.03
D2 107574		<0.03
D2 107575		0.10

D2 107576		0.04
D2 107577		0.04
D2 107578		<0.03
D2 107579		<0.03
D2 107580		<0.03

D2 107581		<0.03
D2 107582		<0.03

Richard Deschamps

RAPPORT: C90-03285.6

PROJET: SED

PAGE 1

NUMÉRO DE L'ÉCHANTILLON	ÉLÉMENT UNITÉS	AU GTM
----------------------------	-------------------	-----------

D2 107588		<0.03
D2 107589		0.13
D2 107590		<0.03
D2 107591		<0.03
D2 107592		<0.03

D2 107593		<0.03
D2 107594		<0.03
D2 107595		<0.03
D2 107596		<0.03
D2 107597		<0.03

D2 107598		<0.03
D2 107599		<0.03
D2 107600		<0.03
D2 107601		<0.03
D2 107602		0.10

D2 107603		0.03
D2 107604		<0.03
D2 107605		<0.03
D2 107606		<0.03
D2 107607		<0.03

D2 107627		<0.03
D2 107628		<0.03
D2 107629		0.03
D2 107630		0.03
D2 107631		0.11

D2 107632		<0.03
D2 107633		<0.03
D2 107634		0.03
D2 107635		<0.03
D2 107636		<0.03

Richard Desrosiers

RAPPORT: C88-03344.6

PROJET: SED

PAGE 1

NUMÉRO DE L'ÉCHANTILLON	ÉLÉMENT UNITÉS	Au G/M	NUMÉRO DE L'ÉCHANTILLON	ÉLÉMENT UNITÉS	Au G/M
D2 106752		<0.03	D2 107642		<0.03
D2 106753		<0.03	D2 107643		<0.03
D2 106754		<0.03	D2 107644		<0.03
D2 106755		<0.03	D2 107645		<0.03
D2 106767		<0.03	D2 107646		<0.03
D2 106768		<0.03	D2 107647		<0.03
D2 106769		<0.03	D2 107648		<0.03
D2 106770		<0.03			
D2 106771		<0.03			
D2 106772		<0.03			
D2 106773		<0.03			
D2 106774		<0.03			
D2 106775		<0.03			
D2 106776		<0.03			
D2 106777		<0.03			
D2 106778		<0.03			
D2 106779		<0.03			
D2 106781		<0.03			
D2 106782		<0.03			
D2 106783		<0.03			
D2 106784		<0.03			
D2 106785		<0.03			
D2 106786		<0.03			
D2 106787		<0.03			
D2 106788		<0.03			
D2 106789		<0.03			
D2 106790		<0.03			
D2 106791		<0.03			
D2 106792		<0.03			
D2 106793		<0.03			
D2 106794		<0.03			
D2 106795		<0.03			
D2 106796		<0.03			
D2 106797		<0.03			
D2 106798		<0.03			
D2 107637		<0.03			
D2 107638		<0.03			
D2 107639		<0.03			
D2 107640		<0.03			
D2 107641		<0.03			

R. S. ...

RAPPORT: C88-03763.6

PROJET: SED

PAGE 1

NUMÉRO DE L'ÉCHANTILLON	ÉLÉMENT UNITÉS	Au GTM	NUMÉRO DE L'ÉCHANTILLON	ÉLÉMENT UNITÉS	Au GTM
D2 106801		<0.03	D2 106841		<0.03
D2 106802		<0.03	D2 106842		<0.03
D2 106803		0.04	D2 106843		<0.03
D2 106804		<0.03	D2 106844		0.18
D2 106805		0.14	D2 106845		0.04
D2 106806		<0.03	D2 106846		0.09
D2 106807		<0.03	D2 106847		0.12
D2 106808		<0.03	D2 106848		0.06
D2 106809		<0.03	D2 106849		<0.03
D2 106810		<0.03	D2 106850		<0.03
D2 106811		0.07			
D2 106812		0.15			
D2 106813		<0.03			
D2 106814		<0.03			
D2 106815		0.07			
D2 106816		<0.03			
D2 106817		<0.03			
D2 106818		0.11			
D2 106819		0.12			
D2 106820		0.07			
D2 106821		0.03			
D2 106822		<0.03			
D2 106823		<0.03			
D2 106824		<0.03			
D2 106825		<0.03			
D2 106826		0.39			
D2 106827		0.30			
D2 106828		<0.03			
D2 106829		<0.03			
D2 106830		0.23			
D2 106831		0.33			
D2 106832		<0.03			
D2 106833		<0.03			
D2 106834		<0.03			
D2 106835		<0.03			
D2 106836		<0.03			
D2 106837		<0.03			
D2 106838		<0.03			
D2 106839		<0.03			
D2 106840		0.03			

Richard Tremblay

RAPPORT: C88-03804.6

PROJET: SED

PAGE 1

NUMÉRO DE L'ÉCHANTILLON	ÉLÉMENT UNITÉS	Au GTM
----------------------------	-------------------	-----------

D2 174767		4.30
D2 174768		0.07
D2 261366		0.05
D2 261367		0.11
D2 261368		<0.03

D2 261369		0.07
D2 261370		<0.03
D2 261371		0.04
D2 261372		<0.03
D2 261373		<0.03

D2 261374		<0.03
D2 261375		<0.03
D2 261376		<0.03
D2 261377		<0.03
D2 261378		0.05

D2 261379		<0.03
D2 261380		1.95
D2 261381		0.68
D2 261382		0.23
D2 261383		<0.03

D2 261384		0.09
D2 261385		<0.03
D2 261386		<0.03
D2 261387		<0.03
D2 261388		0.04

D2 261389		<0.03
D2 261390		0.03
D2 261391		0.59
D2 261392		<0.03
D2 261393		<0.03

D2 261394		0.33
D2 261395		<0.03
D2 261396		<0.03
D2 261397		<0.03
D2 261398		<0.03

D2 261399		<0.03
-----------	--	-------

Richard L. Lavoie

RAPPORT: C88-03805.6

PROJET: SED

PAGE 1

NUMÉRO DE L'ÉCHANTILLON	ÉLÉMENT UNITÉS	Au G/M
----------------------------	-------------------	-----------

D2 261400		<0.03
D2 261401		<0.03
D2 261402		0.08
D2 261403		0.32
D2 261404		0.09

D2 261405		<0.03
D2 261406		<0.03
D2 261407		<0.03
D2 261408		<0.03
D2 261409		0.08

D2 261410		0.24
D2 261411		1.43
D2 261412		<0.03
D2 261413		<0.03
D2 261414		<0.03

D2 261415		0.06
D2 261416		<0.03
D2 261417		<0.03
D2 261418		<0.03
D2 261419		0.09

D2 261420		<0.03
D2 261421		0.30
D2 261422		<0.03
D2 261423		<0.03
D2 261424		<0.03

D2 261425		<0.03
D2 261426		0.05
D2 261427		<0.03
D2 261428		<0.03
D2 261429		<0.03

D2 261430		<0.03
D2 261431		0.03
D2 261432		<0.03
D2 261433		<0.03

Richard J. Desjardins

RAPPORT: C88-03843.6

PROJET: SED

PAGE 1

NUMÉRO DE L'ÉCHANTILLON	ÉLÉMENT UNITÉS	Au GTM
D2 261301		<0.03
D2 261302		<0.03
D2 261303		<0.03
D2 261304		<0.03
D2 261305		<0.03
D2 261306		<0.03
D2 261307		<0.03
D2 261308		<0.03
D2 261309		0.55
D2 261310		<0.03
D2 261311		<0.03
D2 261312		<0.03
D2 261313		<0.03
D2 261314		<0.03
D2 261315		<0.03
D2 261316		<0.03
D2 261317		<0.03
D2 261318		0.04
D2 261319		<0.03
D2 261320		0.03
D2 261321		0.03
D2 261322		0.12
D2 261323		<0.03
D2 261324		<0.03
D2 261325		0.03
D2 261326		0.03
D2 261327		<0.03
D2 261328		<0.03
D2 261329		<0.03
D2 261330		<0.03
D2 261331		<0.03
D2 261332		<0.03
D2 261333		0.06

Richard Bourbonnais

RAPPORT: C88-03844.6

PROJET: SED

PAGE 1

NUMÉRO DE L'ÉCHANTILLON	ÉLÉMENT UNITÉS	Au GTM
D2 261334		2.60
D2 261335		0.10
D2 261336		<0.03
D2 261337		<0.03
D2 261338		<0.03
D2 261339		0.03
D2 261340		<0.03
D2 261341		<0.03
D2 261342		<0.03
D2 261343		0.04
D2 261344		0.03
D2 261345		0.17
D2 261346		<0.03
D2 261347		<0.03
D2 261348		0.03
D2 261349		<0.03
D2 261350		<0.03
D2 261351		<0.03
D2 261352		0.04
D2 261353		<0.03
D2 261354		<0.03
D2 261355		<0.03
D2 261356		<0.03
D2 261357		<0.03
D2 261358		0.22
D2 261359		0.19
D2 261360		0.05
D2 261361		0.07
D2 261362		<0.03
D2 261363		<0.03
D2 261364		0.06
D2 261365		0.03

Richard MacLambert

RAPPORT: C88-03850.6

PROJET: SED

PAGE 1

NUMÉRO DE L'ÉCHANTILLON	ÉLÉMENT UNITÉS	Au G/M
----------------------------	-------------------	-----------

D2 106917		<0.03
D2 106918		<0.03
D2 106919		0.13
D2 106920		0.11
D2 106921		0.04

D2 106922		0.45
D2 106923		0.05
D2 106924		<0.03
D2 106925		<0.03
D2 106926		<0.03

D2 106927		<0.03
D2 106928		<0.03
D2 106929		0.18
D2 106930		<0.03
D2 106931		<0.03

D2 106932		<0.03
D2 106933		<0.03
D2 106934		<0.03
D2 106935		<0.03
D2 106936		<0.03

D2 106937		<0.03
D2 106938		<0.03

R. J. ...

RAPPORT: C88-03911.6

PROJET: SED

PAGE 1

NUMÉRO DE L'ÉCHANTILLON	ÉLÉMENT UNITÉS	Au GTM	NUMÉRO DE L'ÉCHANTILLON	ÉLÉMENT UNITÉS	Au GTM
D2 261451		<0.03	D2 261509		0.03
D2 261452		0.03	D2 261512		<0.03
D2 261453		0.12	D2 261513		0.03
D2 261454		0.04	D2 261514		<0.03
D2 261455		<0.03	D2 261515		<0.03
D2 261456		0.05	D2 261516		0.04
D2 261457		0.04			
D2 261458		0.05			
D2 261459		<0.03			
D2 261460		1.40			
D2 261461		0.03			
D2 261462		<0.03			
D2 261463		0.06			
D2 261464		0.03			
D2 261465		<0.03			
D2 261466		<0.03			
D2 261467		0.03			
D2 261468		0.05			
D2 261469		0.06			
D2 261470		0.04			
D2 261471		0.04			
D2 261472		0.03			
D2 261473		<0.03			
D2 261474		<0.03			
D2 261475		0.50			
D2 261476		0.03			
D2 261477		<0.03			
D2 261490		0.03			
D2 261491		0.03			
D2 261492		0.05			
D2 261493		<0.03			
D2 261494		<0.03			
D2 261495		0.03			
D2 261499		0.71			
D2 261500		0.06			
D2 261501		<0.03			
D2 261505		<0.03			
D2 261506		0.16			
D2 261507		<0.03			
D2 261508		0.34			

Richard Desjardins

RAPPORT: C88-03926.6

PROJET: SED

PAGE 1

NUMERO DE L'ECHANTILLON	ELEMENT UNITÉS	Au GTM
D2 261510		0.04
D2 261511		0.03
D2 261517		<0.03
D2 261518		<0.03
D2 261519		<0.03
D2 261520		<0.03
D2 261521		<0.03
D2 261522		<0.03
D2 261523		<0.03
D2 261524		0.26
D2 261525		<0.03
D2 261526		0.52
D2 261527		0.05
D2 261528		<0.03
D2 261529		<0.03
D2 261530		0.09
D2 261531		<0.03
D2 261532		<0.03
D2 261533		<0.03
D2 261534		<0.03
D2 261535		<0.03
D2 261536		<0.03
D2 261537		<0.03
D2 261538		0.05
D2 261539		0.04
D2 261540		<0.03
D2 261541		<0.03
D2 261542		<0.03
D2 261543		0.03
D2 261544		<0.03
D2 261545		<0.03
D2 261550		<0.03
D2 261551		<0.03
D2 261552		0.07
D2 261563		0.96

Reçu par [Signature]

RAPPORT: C88-03972.6

PROJET: SED

PAGE 1

NUMÉRO DE L'ÉCHANTILLON	ÉLÉMENT UNITÉS	Au GTM
D2 261553		0.06
D2 261554		<0.03
D2 261555		<0.03
D2 261556		<0.03
D2 261557		<0.03
D2 261558		<0.03
D2 261562		<0.03
D2 261564		<0.03
D2 261565		<0.03
D2 261566		0.03
D2 261567		<0.03
D2 261568		0.05
D2 261569		<0.03
D2 261570		0.03
D2 261571		<0.03
D2 261572		<0.03
D2 261573		<0.03
D2 261574		<0.03
D2 261575		<0.03
D2 261576		<0.03
D2 261577		<0.03

Pauline L. Lavoie

RAPPORT: C88-03991.6

PROJET: SED

PAGE 1

NUMÉRO DE L'ÉCHANTILLON	ÉLÉMENT UNITÉS	Au G/M	NUMÉRO DE L'ÉCHANTILLON	ÉLÉMENT UNITÉS	Au G/M
D2 261601		<0.03	D2 261641		<0.03
D2 261602		<0.03	D2 261642		<0.03
D2 261603		<0.03	D2 261643		<0.03
D2 261604		<0.03	D2 261644		3.00
D2 261605		<0.03	D2 261645		0.04
D2 261606		<0.03	D2 261646		<0.03
D2 261607		<0.03	D2 261647		<0.03
D2 261608		<0.03	D2 261648		0.05
D2 261609		<0.03	D2 261649		<0.03
D2 261610		<0.03	D2 261650		<0.03
D2 261611		<0.03			
D2 261612		0.05			
D2 261613		<0.03			
D2 261614		<0.03			
D2 261615		<0.03			
D2 261616		<0.03			
D2 261617		<0.03			
D2 261618		0.04			
D2 261619		<0.03			
D2 261620		<0.03			
D2 261621		<0.03			
D2 261622		<0.03			
D2 261623		<0.03			
D2 261624		<0.03			
D2 261625		<0.03			
D2 261626		<0.03			
D2 261627		<0.03			
D2 261628		<0.03			
D2 261629		<0.03			
D2 261630		<0.03			
D2 261631		0.04			
D2 261632		<0.03			
D2 261633		<0.03			
D2 261634		<0.03			
D2 261635		<0.03			
D2 261636		0.06			
D2 261637		<0.03			
D2 261638		<0.03			
D2 261639		<0.03			
D2 261640		<0.03			

Richard Marchand

RAPPORT: C88-03992.6

PROJET: SED

PAGE 1

NUMÉRO DE L'ÉCHANTILLON	ÉLÉMENT UNITÉS	Au GTM	NUMÉRO DE L'ÉCHANTILLON	ÉLÉMENT UNITÉS	Au GTM
D2 261651		<0.03	D2 261691		<0.03
D2 261652		0.03	D2 261692		<0.03
D2 261653		<0.03	D2 261693		<0.03
D2 261654		<0.03	D2 261694		<0.03
D2 261655		0.04	D2 261695		<0.03
D2 261656		<0.03	D2 261696		<0.03
D2 261657		<0.03	D2 261697		0.25
D2 261658		0.13	D2 261698		<0.03
D2 261659		0.06	D2 261699		<0.03
D2 261660		0.03	D2 261700		<0.03
D2 261661		0.05			
D2 261662		0.07			
D2 261663		<0.03			
D2 261664		0.03			
D2 261665		<0.03			
D2 261666		2.27			
D2 261667		0.06			
D2 261668		0.03			
D2 261669		0.29			
D2 261670		0.07			
D2 261671		0.52			
D2 261672		<0.03			
D2 261673		0.03			
D2 261674		<0.03			
D2 261675		<0.03			
D2 261676		<0.03			
D2 261677		<0.03			
D2 261678		<0.03			
D2 261679		<0.03			
D2 261680		0.04			
D2 261681		0.08			
D2 261682		<0.03			
D2 261683		<0.03			
D2 261684		0.07			
D2 261685		<0.03			
D2 261686		<0.03			
D2 261687		<0.03			
D2 261688		<0.03			
D2 261689		<0.03			
D2 261690		<0.03			

Richard L. Lambert

RAPPORT: C88-03993.6

PROJET: SED

PAGE 1

NUMERO DE L'ÉCHANTILLON	ÉLÉMENT UNITÉS	AU G/M
----------------------------	-------------------	-----------

D2 261701		<0.03
D2 261702		<0.03
D2 261703		<0.03
D2 261704		0.06
D2 261705		<0.03

D2 261706		<0.03
D2 261707		<0.03
D2 261708		<0.03
D2 261709		<0.03
D2 261710		<0.03

D2 261711		<0.03
D2 261712		0.39
D2 261713		<0.03
D2 261714		0.23
D2 261715		<0.03

D2 261716		<0.03
D2 261717		<0.03
D2 261718		<0.03
D2 261719		<0.03
D2 261720		<0.03

D2 261721		<0.03
D2 261722		<0.03
D2 261723		<0.03
D2 261724		<0.03
D2 261725		<0.03

D2 261726		<0.03
D2 261727		0.03
D2 261728		<0.03
D2 261729		<0.03

Responsible Analyst

RAPPORT: C88-04010.6

PROJET: SED

PAGE 1

NUMÉRO DE L'ÉCHANTILLON	ÉLÉMENT UNITÉS	Au GTM
----------------------------	-------------------	-----------

D2 261751		<0.03
D2 261752		<0.03
D2 261753		<0.03
D2 261754		<0.03
D2 261755		<0.03

D2 261756		<0.03
D2 261757		<0.03
D2 261758		0.12
D2 261759		<0.03
D2 261760		<0.03

D2 261761		<0.03
D2 261762		1.14
D2 261763		0.03
D2 261764		<0.03
D2 261765		<0.03

D2 261766		<0.03
D2 261767		0.19
D2 261768		0.08
D2 261769		<0.03
D2 261770		<0.03

D2 261771		<0.03
D2 261772		<0.03
D2 261773		0.06
D2 261774		<0.03
D2 261775		<0.03

D2 261776		0.03
D2 261777		<0.03
D2 261778		<0.03
D2 261779		<0.03
D2 261780		<0.03

R. S. J. P. L. B.

RAPPORT: C88-04011.6

PROJET: SED

PAGE 1

NUMERO DE L'ECHANTILLON	ÉLÉMENT UNITÉS	Au GTM
----------------------------	-------------------	-----------

D2 261781		<0.03
D2 261782		<0.03
D2 261783		<0.03
D2 261784		<0.03
D2 261785		<0.03

D2 261786		<0.03
D2 261787		0.07
D2 261788		0.10
D2 261789		<0.03
D2 261790		0.29

D2 261791		0.07
D2 261792		0.06
D2 261793		<0.03
D2 261794		<0.03
D2 261795		0.04

D2 261796		<0.03
D2 261797		<0.03
D2 261798		<0.03
D2 261799		<0.03
D2 261800		<0.03

D2 261801		<0.03
D2 261802		<0.03
D2 261803		0.03
D2 261804		<0.03
D2 261805		<0.03

D2 261806		0.37
D2 261807		0.08
D2 261808		0.19
D2 261809		<0.03
D2 261810		0.21

R. S. ...

RAPPORT: C88-04066.6

PROJET: SED

PAGE

NUMÉRO DE L'ÉCHANTILLON	ÉLÉMENT UNITÉS	Au GTM
D2 174859		<0.03
D2 261831		0.18
D2 261832		0.24
D2 261833		<0.03
D2 261834		0.33
D2 261835		<0.03
D2 261836		<0.03
D2 261837		<0.03
D2 261838		<0.03
D2 261839		0.05
D2 261840		0.04
D2 261841		<0.03
D2 261842		<0.03
D2 261843		<0.03
D2 261844		0.04
D2 261845		0.08
D2 261846		<0.03
D2 261847		<0.03
D2 261848		0.06
D2 261849		<0.03
D2 261850		<0.03
D2 261851		<0.03
D2 261852		<0.03
D2 261853		<0.03
D2 261854		0.12
D2 261855		<0.03
D2 261856		0.04
D2 261857		0.03
D2 261858		0.03
D2 261859		<0.03
D2 261860		<0.03
D2 261861		<0.03
D2 261862		<0.03
D2 261863		<0.03
D2 261864		<0.03
D2 261865		<0.03
D2 261866		<0.03
D2 261867		<0.03
D2 261868		0.20
D2 261869		<0.03

Pauline L. Lavoie

RAPPORT: C88-04081.6

PROJET: SED

PAGE 1

NUMÉRO DE L'ÉCHANTILLON	ÉLÉMENT UNITÉS	AU G/M
----------------------------	-------------------	-----------

D2 106951		<0.03
D2 106952		<0.03
D2 106953		0.05
D2 106954		<0.03
D2 106955		<0.03

D2 106956		<0.03
D2 106957		<0.03
D2 106958		<0.03
D2 106959		<0.03
D2 106960		<0.03

D2 106961		0.04
D2 106962		0.04
D2 106963		<0.03
D2 106964		<0.03
D2 106965		<0.03

D2 106966		<0.03
D2 106967		0.03
D2 106968		<0.03
D2 106969		<0.03
D2 106970		<0.03

D2 106971		<0.03
D2 106972		<0.03
D2 106973		<0.03
D2 106974		<0.03
D2 106975		<0.03

D2 106976		<0.03
D2 106977		<0.03
D2 106978		<0.03
D2 106979		0.07

Robert J. Smith U

RAPPORT: C88-04089.6

PROJET: SED

PAGE 1

NUMERO DE L'ÉCHANTILLON	ÉLÉMENT UNITÉS	Au G/M
----------------------------	-------------------	-----------

D2 106980		<0.03
D2 106981		<0.03
D2 106982		<0.03
D2 106983		0.06
D2 106984		0.35

D2 106985		<0.03
D2 106986		0.12
D2 106987		0.56
D2 106988		0.05
D2 106989		0.06

D2 106990		0.20
D2 106991		<0.03
D2 106992		<0.03
D2 106993		0.10
D2 106994		<0.03

D2 106995		<0.03
D2 106996		<0.03
D2 106997		<0.03
D2 106998		0.04
D2 106999		<0.03

D2 107000		<0.03
D2 174860		0.19

R. S. ...

RAPPORT: C98-04120.6

PROJET: SED

PAGE 1

NUMÉRO DE L'ÉCHANTILLON	ÉLÉMENT UNITÉS	Au G/M
----------------------------	-------------------	-----------

D2 5101		0.04
D2 5102		<0.03
D2 5103		<0.03

RAPPORT: C88-04154.6

PROJET: SED

PAGE 1

NUMERO DE L'ECHANTILLON	ÉLÉMENT UNITÉS	Au GTM
----------------------------	-------------------	-----------

D2 174831		<0.03
D2 174832		<0.03
D2 174833		<0.03
D2 174834		<0.03
D2 174835		<0.03

D2 174836		<0.03
D2 174837		<0.03
D2 174838		<0.03
D2 174839		0.12
D2 174840		<0.03

D2 174841		0.05
D2 174842		<0.03
D2 174843		<0.03
D2 174844		0.12
D2 174845		<0.03

D2 174846		0.03
D2 174847		<0.03
D2 174848		<0.03
D2 174849		<0.03
D2 174850		<0.03

D2 174851		<0.03
D2 174852		<0.03
D2 174853		<0.03
D2 174854		0.04
D2 174855		<0.03

D2 174856		<0.03
D2 174857		0.06
D2 174858		<0.03
D2 174861		<0.03

Richard Bonenfant

RAPPORT: C88-04168.6

PROJET: SED

PAGE 1

NUMÉRO DE L'ÉCHANTILLON	ÉLÉMENT UNITÉS	Au GTM	NUMÉRO DE L'ÉCHANTILLON	ÉLÉMENT UNITÉS	Au GTM
D2 174862		<0.03	D2 174902		0.10
D2 174863		0.08	D2 174903		0.04
D2 174864		<0.03	D2 174904		<0.03
D2 174865		<0.03	D2 174905		<0.03
D2 174866		<0.03	D2 174906		<0.03
D2 174867		<0.03	D2 174907		<0.03
D2 174868		<0.03	D2 174908		<0.03
D2 174869		<0.03	D2 174909		<0.03
D2 174870		0.05	D2 174910		<0.03
D2 174871		<0.03			
D2 174872		<0.03			
D2 174873		0.04			
D2 174874		<0.03			
D2 174875		<0.03			
D2 174876		<0.03			
D2 174877		<0.03			
D2 174878		<0.03			
D2 174879		<0.03			
D2 174880		<0.03			
D2 174881		<0.03			
D2 174882		<0.03			
D2 174883		<0.03			
D2 174884		0.09			
D2 174885		<0.03			
D2 174886		<0.03			
D2 174887		<0.03			
D2 174888		<0.03			
D2 174889		<0.03			
D2 174890		<0.03			
D2 174891		<0.03			
D2 174892		<0.03			
D2 174893		<0.03			
D2 174894		0.03			
D2 174895		<0.03			
D2 174896		<0.03			
D2 174897		0.03			
D2 174898		<0.03			
D2 174899		<0.03			
D2 174900		<0.03			
D2 174901		<0.03			

R. D.

RAPPORT: C88-04190.6

PROJET: SED

PAGE 1

NUMERO DE L'ECHANTILLON	ÉLÉMENT UNITÉS	Au GTM
----------------------------	-------------------	-----------

D2 174911		0.03
D2 174912		0.12
D2 174913		<0.03
D2 174914		<0.03
D2 174915		0.05

D2 174916		0.10
D2 174917		0.04
D2 174918		0.03
D2 174919		<0.03
D2 174920		<0.03

D2 174921		<0.03
D2 174922		<0.03
D2 174923		<0.03
D2 174924		<0.03
D2 174925		<0.03

D2 174926		<0.03
D2 174927		1.45
D2 174928		2.80
D2 174929		0.06
D2 174930		<0.03

D2 174931		0.04
D2 174932		0.04
D2 174933		0.04
D2 174934		<0.03
D2 174935		0.03

D2 174936		0.04
D2 174937		0.03
D2 174938		0.03
D2 174939		0.07
D2 174940		0.12

D2 174941		0.28
D2 174942		<0.03
D2 174943		<0.03
D2 174944		<0.03

Richard L. Lefebvre

RAPPORT: C88-04191.6

PROJET: SED

PAGE 1

NUMÉRO DE L'ÉCHANTILLON	ÉLÉMENT UNITÉS	Au GTM	NUMÉRO DE L'ÉCHANTILLON	ÉLÉMENT UNITÉS	Au GTM
D2 174945		<0.03	D2 174985		0.14
D2 174946		<0.03	D2 174986		0.41
D2 174947		<0.03	D2 174987		0.45
D2 174948		0.06	D2 174988		0.72
D2 174949		<0.03	D2 174989		<0.03
D2 174950		<0.03	D2 174990		<0.03
D2 174951		<0.03			
D2 174952		<0.03			
D2 174953		<0.03			
D2 174954		<0.03			
D2 174955		<0.03			
D2 174956		<0.03			
D2 174957		<0.03			
D2 174958		<0.03			
D2 174959		<0.03			
D2 174960		<0.03			
D2 174961		<0.03			
D2 174962		<0.03			
D2 174963		<0.03			
D2 174964		<0.03			
D2 174965		<0.03			
D2 174966		<0.03			
D2 174967		<0.03			
D2 174968		<0.03			
D2 174969		<0.03			
D2 174970		0.14			
D2 174971		<0.03			
D2 174972		0.17			
D2 174973		0.14			
D2 174974		0.51			
D2 174975		0.07			
D2 174976		0.24			
D2 174977		0.55			
D2 174978		0.07			
D2 174979		0.07			
D2 174980		<0.03			
D2 174981		<0.03			
D2 174982		<0.03			
D2 174983		<0.03			
D2 174984		<0.03			

Richard G. Lambert

RAPPORT: C88-04210.6

PROJET: SED

PAGE 1

NUMÉRO DE L'ÉCHANTILLON	ÉLÉMENT UNITÉS	Au GTM	NUMÉRO DE L'ÉCHANTILLON	ÉLÉMENT UNITÉS	Au GTM
D2 174991		<0.03	D2 262031		<0.03
D2 174992		0.03	D2 262032		0.16
D2 174993		0.07	D2 262033		0.19
D2 174994		<0.03	D2 262034		0.25
D2 174995		<0.03	D2 262035		0.44
D2 174996		<0.03	D2 262036		0.23
D2 174997		<0.03	D2 262037		<0.03
D2 174998		<0.03	D2 262038		<0.03
D2 174999		<0.03	D2 262039		0.04
D2 175000		<0.03	D2 262040		<0.03
D2 262001		<0.03			
D2 262002		0.03			
D2 262003		<0.03			
D2 262004		<0.03			
D2 262005		<0.03			
D2 262006		<0.03			
D2 262007		0.03			
D2 262008		<0.03			
D2 262009		1.00			
D2 262010		0.72			
D2 262011		1.11			
D2 262012		0.09			
D2 262013		<0.03			
D2 262014		0.05			
D2 262015		<0.03			
D2 262016		<0.03			
D2 262017		<0.03			
D2 262018		<0.03			
D2 262019		<0.03			
D2 262020		0.08			
D2 262021		0.03			
D2 262022		<0.03			
D2 262023		3.35			
D2 262024		0.28			
D2 262025		<0.03			
D2 262026		0.03			
D2 262027		0.09			
D2 262028		<0.03			
D2 262029		0.07			
D2 262030		<0.03			

R 11

RAPPORT: C88-04211.6

PROJET: SED

PAGE 1

NUMÉRO DE L'ÉCHANTILLON	ÉLÉMENT UNITÉS	Au GTM
----------------------------	-------------------	-----------

D2 262041		0.05
D2 262042		0.03
D2 262043		0.03
D2 262044		0.06
D2 262045		<0.03

D2 262046		<0.03
D2 262047		<0.03
D2 262048		0.04
D2 262049		<0.03
D2 262050		0.10

D2 262051		<0.03
D2 262052		<0.03
D2 262053		0.12
D2 262054		<0.03
D2 262055		<0.03

D2 262056		<0.03
D2 262057		<0.03
D2 262058		0.03
D2 262059		0.03
D2 262060		0.04

D2 262061		<0.03
D2 262062		<0.03
D2 262063		<0.03
D2 262064		<0.03
D2 262065		<0.03

D2 262066		<0.03
D2 262067		<0.03
D2 262068		<0.03
D2 262069		<0.03
D2 262070		<0.03

D2 262071		0.05
D2 262072		<0.03
D2 262073		0.04
D2 262074		<0.03
D2 262075		<0.03

D2 262076		<0.03
D2 262077		<0.03
D2 262078		<0.03

Robert M. Desjardins

RAPPORT: C88-04245.6

PROJET: SED

PAGE 1

NUMERO DE L'ÉCHANTILLON	ÉLÉMENT UNITÉS	Au GTM
----------------------------	-------------------	-----------

D2 5104		0.65
---------	--	------

D2 5105		<0.03
---------	--	-------

D2 5106		0.03
---------	--	------

D2 5107		<0.03
---------	--	-------

D2 5108		<0.03
---------	--	-------

D2 5109		<0.03
---------	--	-------

R. Lacroix

RAPPORT: C88-04378.6

PROJET: SED

PAGE 1

NUMÉRO DE L'ÉCHANTILLON	ÉLÉMENT UNITÉS	Au GTM
----------------------------	-------------------	-----------

D2 262079		0.04
D2 262080		<0.03
D2 262081		<0.03
D2 262082		0.05
D2 262083		<0.03

D2 262084		<0.03
D2 262085		<0.03
D2 262086		<0.03
D2 262087		0.10
D2 262088		2.27

D2 262089		0.13
D2 262090		0.03

Richard L. L. L.

REPORT: C88-04401.0 (COMPLET)

INFO. DE RÉFÉRENCE: PO 121551

CLIENT: KIWATIN SERVICE GEOSCIENTIFIQUE INC.

SOU MIS PAR: Y.M

OBJET: AUCUN

DATE DE L'IMPRESSION: 28-MAR-88

COMMANDE	ÉLÉMENT	NOMBRE D'ANALYSES	LIMITE INFÉRIEURE DE DETECTION	EXTRACTION	MÉTHOD	
1	Au	OR	1	1 PPB	AQUA REGIA	Pyroanalyse-Plasma
2	Pt	Platine	1	10 PPB	AQUA REGIA	Pyroanalyse-Plasma
3	Pd	Palladium	1	1 PPB	AQUA REGIA	Pyroanalyse-Plasma
4	Cu	Cuivre	1	1 PPM	HCL-HNO3 (1:3)	EMISSION-PLASMA
5	Pb	Plomb	1	4 PPM	HCL-HNO3 (1:3)	EMISSION-PLASMA
6	Zn	Zinc	1	1 PPM	HCL-HNO3 (1:3)	EMISSION-PLASMA
7	Mo	Molybdène	1	1 PPM	HCL-HNO3 (1:3)	EMISSION-PLASMA
8	Co	Cobalt	1	2 PPM	HCL-HNO3 (1:3)	EMISSION-PLASMA
9	Ni	Nickel	1	1 PPM	HCL-HNO3 (1:3)	EMISSION-PLASMA
10	Ag	Argent	1	0.5 PPM	HCL-HNO3 (1:3)	EMISSION-PLASMA
11	Cd	Cadmium	1	1 PPM	HCL-HNO3 (1:3)	EMISSION-PLASMA
12	Cr	Chrome	1	1 PPM	HCL-HNO3 (1:3)	EMISSION-PLASMA
13	Li	Lithium	1	1 PPM	HCL-HNO3 (1:3)	EMISSION-PLASMA
14	V	Vanadium	1	1 PPM	HCL-HNO3 (1:3)	EMISSION-PLASMA
15	As	Arsenic	1	5 PPM	HCL-HNO3 (1:3)	EMISSION-PLASMA
16	B	Bore	1	2 PPM	HCL-HNO3 (1:3)	EMISSION-PLASMA
17	Be	Béryllium	1	0.5 PPM	HCL-HNO3 (1:3)	EMISSION-PLASMA
18	Bi	Bismuth	1	3 PPM	HCL-HNO3 (1:3)	EMISSION-PLASMA
19	Ga	Gallium	1	2 PPM	HCL-HNO3 (1:3)	EMISSION-PLASMA
20	Te	Tellure	1	10 PPM	HCL-HNO3 (1:3)	EMISSION-PLASMA
21	Tl	Thallium	1	10 PPM	HCL-HNO3 (1:3)	EMISSION-PLASMA
22	W	Tungstène	1	10 PPM	HCL-HNO3 (1:3)	EMISSION-PLASMA
23	Ba	Barium	1	1 PPM	HCL-HNO3 (1:3)	EMISSION-PLASMA
24	Ce	Cérium	1	5 PPM	HCL-HNO3 (1:3)	EMISSION-PLASMA
25	La	Lanthane	1	1 PPM	HCL-HNO3 (1:3)	EMISSION-PLASMA
26	Nb	Niobium	1	1 PPM	HCL-HNO3 (1:3)	EMISSION-PLASMA
27	Rb	Rubidium	1	20 PPM	HCL-HNO3 (1:3)	EMISSION-PLASMA
28	Sb	Antimoine	1	5 PPM	HCL-HNO3 (1:3)	EMISSION-PLASMA
29	Sc	Scandium	1	1 PPM	HCL-HNO3 (1:3)	EMISSION-PLASMA
30	Sn	Etain	1	20 PPM	HCL-HNO3 (1:3)	EMISSION-PLASMA
31	Sr	Strontium	1	1 PPM	HCL-HNO3 (1:3)	EMISSION-PLASMA
32	Ta	Tantale	1	10 PPM	HCL-HNO3 (1:3)	EMISSION-PLASMA
33	Y	Yttrium	1	1 PPM	HCL-HNO3 (1:3)	EMISSION-PLASMA
34	Zr	Zirconium	1	1 PPM	HCL-HNO3 (1:3)	EMISSION-PLASMA

RAPPORT: C88-04488.6

PROJET: SED

PAGE 1

NUMÉRO DE L'ÉCHANTILLON	ÉLÉMENT UNITÉS	Au GTM	NUMÉRO DE L'ÉCHANTILLON	ÉLÉMENT UNITÉS	Au GTM
D2 22751		<0.03	D2 262093		<0.03
D2 22752		<0.03	D2 262094		<0.03
D2 22753		<0.03	D2 262095		<0.03
D2 22754		<0.03	D2 262096		0.03
D2 22755		<0.03	D2 262097		<0.03
D2 22756		<0.03	D2 262098		<0.03
D2 22757		<0.03	D2 262099		<0.03
D2 22758		<0.03	D2 262100		<0.03
D2 22759		<0.03			
D2 22760		<0.03			
D2 22761		<0.03			
D2 22762		<0.03			
D2 22763		<0.03			
D2 22764		<0.03			
D2 22765		<0.03			
D2 22766		<0.03			
D2 22767		<0.03			
D2 22768		<0.03			
D2 22769		0.04			
D2 22770		<0.03			
D2 22771		<0.03			
D2 22772		<0.03			
D2 22773		<0.03			
D2 22774		<0.03			
D2 22775		<0.03			
D2 22776		<0.03			
D2 22777		0.03			
D2 22778		<0.03			
D2 22779		<0.03			
D2 22780		<0.03			
D2 22781		<0.03			
D2 22782		0.05			
D2 22783		<0.03			
D2 22784		<0.03			
D2 22785		<0.03			
D2 22786		0.03			
D2 22787		<0.03			
D2 22788		0.04			
D2 262091		<0.03			
D2 262092		<0.03			

R. P. ...

RAPPORT: C88-04518.6

PROJET: SED

PAGE 1

NUMÉRO DE L'ÉCHANTILLON	ÉLÉMENT UNITÉS	AU GTM
----------------------------	-------------------	-----------

D2 22789		<0.03
D2 22790		<0.03
D2 22791		<0.03
D2 22792		0.03
D2 22793		<0.03

D2 22794		<0.03
D2 22795		<0.03
D2 22796		<0.03
D2 22797		<0.03
D2 22798		<0.03

D2 22799		<0.03
D2 22800		<0.03
D2 174793		4.37
D2 261951		0.03
D2 261952		0.06

D2 261953		<0.03
D2 261954		<0.03
D2 261955		<0.03
D2 261956		<0.03
D2 261957		<0.03

D2 261958		<0.03
D2 261959		<0.03
D2 261960		0.09
D2 261961		0.04
D2 261962		0.03

D2 261963		0.03
D2 261964		<0.03
D2 261965		<0.03
D2 261966		<0.03
D2 261967		<0.03

D2 261968		<0.03
D2 261969		<0.03
D2 261970		<0.03

Richard Deschamps

RAPPORT: C88-04537.6

PROJET: SED

PAGE 1

NUMÉRO DE L'ÉCHANTILLON	ÉLÉMENT UNITÉS	Au GTM	NUMÉRO DE L'ÉCHANTILLON	ÉLÉMENT UNITÉS	Au GTM
D2 261927		<0.03	D2 261987		<0.03
D2 261928		<0.03	D2 261988		<0.03
D2 261929		<0.03	D2 261989		<0.03
D2 261930		<0.03	D2 261990		<0.03
D2 261931		<0.03	D2 261991		<0.03
D2 261932		<0.03	D2 261992		<0.03
D2 261933		<0.03	D2 261993		<0.03
D2 261934		<0.03	D2 261994		<0.03
D2 261935		<0.03	D2 261995		<0.03
D2 261936		<0.03	D2 261996		<0.03
D2 261937		<0.03	D2 261997		<0.03
D2 261938		<0.03	D2 261998		<0.03
D2 261939		<0.03	D2 261999		<0.03
D2 261940		<0.03	D2 262000		<0.03
D2 261941		<0.03			
D2 261942		<0.03			
D2 261943		<0.03			
D2 261944		<0.03			
D2 261945		<0.03			
D2 261946		<0.03			
D2 261947		<0.03			
D2 261948		<0.03			
D2 261949		<0.03			
D2 261950		<0.03			
D2 261971		<0.03			
D2 261972		<0.03			
D2 261973		<0.03			
D2 261974		<0.03			
D2 261975		<0.03			
D2 261976		<0.03			
D2 261977		<0.03			
D2 261978		<0.03			
D2 261979		<0.03			
D2 261980		<0.03			
D2 261981		<0.03			
D2 261982		<0.03			
D2 261983		<0.03			
D2 261984		<0.03			
D2 261985		<0.03			
D2 261986		<0.03			

Richard L. Lavoie H

RAPPORT: C88-04537.6

PROJET: SED

PAGE 1

NUMÉRO DE L'ÉCHANTILLON	ÉLÉMENT UNITÉS	Au GTM	NUMÉRO DE L'ÉCHANTILLON	ÉLÉMENT UNITÉS	Au GTM
D2 261727		<0.03	D2 261987		<0.03
D2 261728		<0.03	D2 261988		<0.03
D2 261729		<0.03	D2 261989		<0.03
D2 261730		<0.03	D2 261990		<0.03
D2 261731		<0.03	D2 261991		<0.03
D2 261732		<0.03	D2 261992		<0.03
D2 261733		<0.03	D2 261993		<0.03
D2 261734		<0.03	D2 261994		<0.03
D2 261735		<0.03	D2 261995		<0.03
D2 261736		<0.03	D2 261996		<0.03
D2 261737		<0.03	D2 261997		<0.03
D2 261738		<0.03	D2 261998		<0.03
D2 261739		<0.03	D2 261999		<0.03
D2 261740		<0.03	D2 262000		<0.03
D2 261741		<0.03			
D2 261742		<0.03			
D2 261743		<0.03			
D2 261744		<0.03			
D2 261745		<0.03			
D2 261746		<0.03			
D2 261747		<0.03			
D2 261748		<0.03			
D2 261749		<0.03			
D2 261750		<0.03			
D2 261751		<0.03			
D2 261772		<0.03			
D2 261773		<0.03			
D2 261774		<0.03			
D2 261775		<0.03			
D2 261776		<0.03			
D2 261777		<0.03			
D2 261778		<0.03			
D2 261779		<0.03			
D2 261980		<0.03			
D2 261981		<0.03			
D2 261982		<0.03			
D2 261983		<0.03			
D2 261984		<0.03			
D2 261985		<0.03			
D2 261986		<0.03			

R. S. [Signature]

RAPPORT: C98-04538.6

PROJET: SED

PAGE 1

NUMÉRO DE L'ÉCHANTILLON	ÉLÉMENT UNITÉS	Au GTM	NUMÉRO DE L'ÉCHANTILLON	ÉLÉMENT UNITÉS	Au GTM
D2 262101		<0.03	D2 262141		<0.03
D2 262102		<0.03	D2 262142		<0.03
D2 262103		<0.03	D2 262143		<0.03
D2 262104		<0.03	D2 262144		<0.03
D2 262105		<0.03	D2 262145		<0.03
D2 262106		<0.03	D2 262146		<0.03
D2 262107		<0.03	D2 262147		<0.03
D2 262108		<0.03	D2 262148		<0.03
D2 262109		<0.03	D2 262149		<0.03
D2 262110		0.25	D2 262150		<0.03
D2 262111		<0.03	D2 262151		<0.03
D2 262112		<0.03	D2 262152		<0.03
D2 262113		<0.03			
D2 262114		<0.03			
D2 262115		<0.03			
D2 262116		<0.03			
D2 262117		<0.03			
D2 262118		<0.03			
D2 262119		<0.03			
D2 262120		<0.03			
D2 262121		<0.03			
D2 262122		<0.03			
D2 262123		<0.03			
D2 262124		<0.03			
D2 262125		<0.03			
D2 262126		<0.03			
D2 262127		<0.03			
D2 262128		<0.03			
D2 262129		<0.03			
D2 262130		<0.03			
D2 262131		<0.03			
D2 262132		<0.03			
D2 262133		<0.03			
D2 262134		<0.03			
D2 262135		<0.03			
D2 262136		<0.03			
D2 262137		<0.03			
D2 262138		<0.03			
D2 262139		<0.03			
D2 262140		<0.03			

Richard G. G. G. G.

RAPPORT: C88-04545.6

PROJET: SAC

PAGE 1

NUMÉRO DE L'ÉCHANTILLON	ÉLÉMENT UNITÉS	Au GTM	NUMÉRO DE L'ÉCHANTILLON	ÉLÉMENT UNITÉS	Au GTM
D2 5151		<0.03	D2 5191		0.03
D2 5152		<0.03	D2 5192		<0.03
D2 5153		<0.03	D2 5193		<0.03
D2 5154		<0.03	D2 5194		<0.03
D2 5155		<0.03	D2 5195		<0.03
D2 5156		<0.03	D2 5196		<0.03
D2 5157		<0.03	D2 5197		<0.03
D2 5158		<0.03	D2 5198		<0.03
D2 5159		<0.03	D2 5199		<0.03
D2 5160		<0.03	D2 5200		<0.03
D2 5161		<0.03			
D2 5162		<0.03			
D2 5163		<0.03			
D2 5164		<0.03			
D2 5165		<0.03			
D2 5166		<0.03			
D2 5167		<0.03			
D2 5168		<0.03			
D2 5169		<0.03			
D2 5170		<0.03			
D2 5171		<0.03			
D2 5172		<0.03			
D2 5173		<0.03			
D2 5174		<0.03			
D2 5175		<0.03			
D2 5176		<0.03			
D2 5177		<0.03			
D2 5178		<0.03			
D2 5179		<0.03			
D2 5180		<0.03			
D2 5181		<0.03			
D2 5182		<0.03			
D2 5183		<0.03			
D2 5184		<0.03			
D2 5185		<0.03			
D2 5186		<0.03			
D2 5187		<0.03			
D2 5188		<0.03			
D2 5189		<0.03			
D2 5190		<0.03			

Richard Leclercq

RAPPORT: C98-04546.6

PROJET: SAC

PAGE 1

NUMÉRO DE L'ÉCHANTILLON	ÉLÉMENT UNITÉS	Au GTM	NUMÉRO DE L'ÉCHANTILLON	ÉLÉMENT UNITÉS	Au GTM
D2 5201		<0.03	D2 5241		<0.03
D2 5202		<0.03			
D2 5203		<0.03			
D2 5204		<0.03			
D2 5205		<0.03			
D2 5206		<0.03			
D2 5207		<0.03			
D2 5208		<0.03			
D2 5209		0.10			
D2 5210		<0.03			
D2 5211		<0.03			
D2 5212		<0.03			
D2 5213		<0.03			
D2 5214		<0.03			
D2 5215		<0.03			
D2 5216		<0.03			
D2 5217		<0.03			
D2 5218		<0.03			
D2 5219		<0.03			
D2 5220		0.04			
D2 5221		<0.03			
D2 5222		<0.03			
D2 5223		0.03			
D2 5224		0.05			
D2 5225		0.03			
D2 5226		<0.03			
D2 5227		<0.03			
D2 5228		0.12			
D2 5229		0.03			
D2 5230		<0.03			
D2 5231		<0.03			
D2 5232		<0.03			
D2 5233		0.06			
D2 5234		<0.03			
D2 5235		<0.03			
D2 5236		<0.03			
D2 5237		<0.03			
D2 5238		0.04			
D2 5239		<0.03			
D2 5240		<0.03			

Richard Levesque

RAPPORT: C88-04559.6

PROJET: SED

PAGE 1

NUMÉRO DE L'ÉCHANTILLON	ÉLÉMENT UNITÉS	Au GTM
D2 262153		<0.03
D2 262154		<0.03
D2 262155		<0.03
D2 262156		0.06
D2 262157		0.14
D2 262158		0.09
D2 262159		0.03
D2 262160		0.03
D2 262161		<0.03
D2 262162		0.03
D2 262163		0.13
D2 262164		0.05
D2 262165		<0.03
D2 262166		0.12
D2 262167		0.10
D2 262168		0.03
D2 262169		0.03
D2 262170		0.05
D2 262171		<0.03
D2 262172		<0.03
D2 262173		<0.03
D2 262174		<0.03
D2 262175		<0.03
D2 262176		<0.03
D2 262177		<0.03
D2 262178		<0.03
D2 262179		0.03
D2 262180		0.03
D2 262181		<0.03
D2 262182		<0.03
D2 262183		<0.03
D2 262184		<0.03
D2 262185		<0.03
D2 262186		<0.03
D2 262187		<0.03
D2 262188		<0.03
D2 262189		<0.03
D2 262190		<0.03

Robert Thériault

RAPPORT: C88-04572.6

PROJET: ARF

PAGE 1

NUMÉRO DE L'ÉCHANTILLON	ÉLÉMENT UNITÉS	Au GTM
----------------------------	-------------------	-----------

D2 262191		<0.03
D2 262192		<0.03
D2 262193		<0.03
D2 262194		<0.03
D2 262195		<0.03

D2 262196		<0.03
D2 262197		<0.03
D2 262198		<0.03
D2 262199		<0.03
D2 262200		<0.03

D2 262201		<0.03
D2 262202		<0.03
D2 262203		<0.03
D2 262204		<0.03
D2 262205		<0.03

D2 262206		<0.03
D2 262207		<0.03
D2 262208		<0.03
D2 262209		<0.03
D2 262210		<0.03

D2 262211		<0.03
D2 262212		<0.03
D2 262213		<0.03
D2 262214		<0.03
D2 262215		<0.03

D2 262216		<0.03
D2 262217		<0.03
D2 262218		<0.03
D2 262219		<0.03
D2 262220		<0.03

D2 262221		0.05
D2 262222		<0.03
D2 262223		<0.03
D2 262238		<0.03

R. P. ...

RAPPORT: C88-04593.6

PROJET: SED

PAGE 1

NUMÉRO DE L'ÉCHANTILLON	ÉLÉMENT UNITÉS	Au GTM	NUMÉRO DE L'ÉCHANTILLON	ÉLÉMENT UNITÉS	Au GTM
D2 262239		<0.03	D2 262279		<0.03
D2 262240		<0.03	D2 262280		<0.03
D2 262241		<0.03	D2 262281		<0.03
D2 262242		<0.03	D2 262282		<0.03
D2 262243		<0.03	D2 262283		<0.03
D2 262244		<0.03	D2 262284		<0.03
D2 262245		<0.03	D2 262285		0.08
D2 262246		<0.03	D2 262286		<0.03
D2 262247		<0.03	D2 262287		<0.03
D2 262248		<0.03	D2 262288		<0.03
D2 262249		<0.03	D2 262289		<0.03
D2 262250		<0.03	D2 262290		<0.03
D2 262251		<0.03			
D2 262252		<0.03			
D2 262253		<0.03			
D2 262254		<0.03			
D2 262255		<0.03			
D2 262256		<0.03			
D2 262257		<0.03			
D2 262258		<0.03			
D2 262259		<0.03			
D2 262260		<0.03			
D2 262261		<0.03			
D2 262262		<0.03			
D2 262263		<0.03			
D2 262264		<0.03			
D2 262265		<0.03			
D2 262266		<0.03			
D2 262267		<0.03			
D2 262268		<0.03			
D2 262269		<0.03			
D2 262270		<0.03			
D2 262271		<0.03			
D2 262272		<0.03			
D2 262273		<0.03			
D2 262274		<0.03			
D2 262275		<0.03			
D2 262276		<0.03			
D2 262277		<0.03			
D2 262278		<0.03			

Richard Gauthier

RAPPORT: C88-04601.6

PROJET: ARF

PAGE 1

NUMÉRO DE L'ÉCHANTILLON	ÉLÉMENT UNITÉS	Au GTM
----------------------------	-------------------	-----------

D2 262224		<0.03
D2 262225		<0.03
D2 262226		<0.03
D2 262227		<0.03
D2 262228		<0.03

D2 262229		<0.03
D2 262230		<0.03
D2 262231		0.05
D2 262232		0.05
D2 262233		<0.03

D2 262234		<0.03
D2 262235		<0.03
D2 262236		<0.03
D2 262237		<0.03

Révisé par [Signature]

RAPPORT: C88-04604.6

PROJET: SED

PAGE 1

NUMERO DE L'ECHANTILLON	ÉLÉMENT UNITÉS	Au GTM
D2 262359		<0.03
D2 262360		<0.03
D2 262361		<0.03
D2 262362		<0.03
D2 262363		<0.03
D2 262364		<0.03

[Handwritten signature]

RAPPORT: 638-0007

PROJET: SED

PAGE 1

NUMERO DE L'ÉCHANTILLON	ÉLÉMENT UNITÉS	Au GTM
D2 90964		0.05
D2 90965		<0.03
D2 90966		0.07
D2 90967		0.12
D2 260931		0.05

D2 260932		0.04
D2 260933		<0.03
D2 260934		0.03
D2 260935		0.05

Richard Kerschbaum

RAPPORT: 037-7219

PROJET: D J

PAGE 1

NUMÉRO DE L'ÉCHANTILLON	ÉLÉMENT UNITÉS	Au PPB
----------------------------	-------------------	-----------

D2 90901		75
D2 90902		250
D2 90903		<5
D2 90904		15
D2 90905		5

D2 90906		10
D2 90907		15
D2 90908		25
D2 90909		105
D2 90910		115

D2 90911		335
D2 90912		190
D2 90913		45
D2 90914		5
D2 90915		<5

D2 90916		150
D2 90917		<5
D2 90918		<5

RAPPORT: 037-7221

PROJET: D J

PAGE 1

NUMÉRO DE L'ÉCHANTILLON	ÉLÉMENT UNITÉS	AU PPB
----------------------------	-------------------	-----------

D2 90401		190
D2 90402		480
D2 90403		2210
D2 90404		20
D2 90405		115

D2 90406		205
D2 90407		<5
D2 90408		30
D2 90409		10
D2 90410		50

D2 90411		45
D2 90412		60
D2 90413		<5
D2 90414		<5
D2 90415		100

D2 90416		25
D2 90417		175

RAPPORT: 637-7929

PROJET: SED

PAGE 1

NUMÉRO DE L'ÉCHANTILLON	ÉLÉMENT UNITÉS	Au BTn
----------------------------	-------------------	-----------

D2 260682		0.05
D2 260683		0.07
D2 260684		<0.03
D2 260685		0.14
D2 260831		<0.03

D2 260832		0.02
D2 260833		<0.03
D2 260834		0.03
D2 260835		0.04
D2 260836		<0.03

D2 260837		<0.03
D2 260841		<0.03
D2 260842		<0.03
D2 260843		<0.03
D2 260844		<0.03

D2 260845		<0.03
-----------	--	-------

Richard Deschamps

RAPPORT: 637-7330

PROJET: D J

PAGE 1

NUMERO DE L'ÉCHANTILLON	ÉLÉMENT UNITÉS	Au GTM
----------------------------	-------------------	-----------

D2 90968		0.09
D2 90969		2.50
D2 90970		0.96
D2 90971		2.63
D2 90972		12.75

D2 90973		1.75
----------	--	------

Richard Duchambault

RAPPORT: 637-7349

PROJET: D J

PAGE 1

NUMÉRO DE L'ÉCHANTILLON	ÉLÉMENT UNITÉS	Au GTM	NUMÉRO DE L'ÉCHANTILLON	ÉLÉMENT UNITÉS	Au GTM
D2 22601		0.03	D2 90465		<0.03
D2 22602		<0.03	D2 90466		<0.03
D2 22603		<0.03	D2 90467		0.06
D2 22604		0.29	D2 90468		<0.03
D2 22605		<0.03			
D2 22606		<0.03			
D2 22607		<0.03			
D2 22608		<0.03			
D2 22609		<0.03			
D2 22610		<0.03			
D2 22611		<0.03			
D2 22612		<0.03			
D2 22613		<0.03			
D2 22614		<0.03			
D2 22615		<0.03			
D2 22616		0.12			
D2 22617		<0.03			
D2 22618		<0.03			
D2 22619		<0.03			
D2 22620		<0.03			
D2 22621		<0.03			
D2 22622		<0.03			
D2 22623		0.03			
D2 22624		<0.03			
D2 22625		<0.03			
D2 22626		0.14			
D2 90451		<0.03			
D2 90452		<0.03			
D2 90453		<0.03			
D2 90454		<0.03			
D2 90455		<0.03			
D2 90456		<0.03			
D2 90457		0.10			
D2 90458		0.04			
D2 90459		<0.03			
D2 90460		0.03			
D2 90461		<0.03			
D2 90462		<0.03			
D2 90463		<0.03			
D2 90464		<0.03			

ML

20 Rue Nérée Tremblay
 Québec G1N 4H7
 514-333-1777
 TÉLÉFAX: 051-3786 LOCAL 272

RAPPORT: 637-7350

PROJET: D J

PAGE 1

NUMÉRO DE L'ÉCHANTILLON	ÉLÉMENT UNITÉS	Au GTM	NUMÉRO DE L'ÉCHANTILLON	ÉLÉMENT UNITÉS	Au GTM
D2 90469		<0.03	D2 90947		<0.03
D2 90470		0.37	D2 90948		<0.03
D2 90471		0.05	D2 90949		<0.03
D2 90472		0.04	D2 90950		<0.03
D2 90473		0.04			
D2 90474		0.09			
D2 90475		0.11			
D2 90476		<0.03			
D2 90477		0.04			
D2 90478		0.21			
D2 90479		2.98			
D2 90480		0.04			
D2 90919		0.06			
D2 90920		0.06			
D2 90921		0.03			
D2 90922		<0.03			
D2 90923		<0.03			
D2 90924		<0.03			
D2 90925		0.06			
D2 90926		<0.03			
D2 90927		<0.03			
D2 90928		0.02			
D2 90929		<0.03			
D2 90930		<0.03			
D2 90931		<0.03			
D2 90932		0.07			
D2 90933		<0.03			
D2 90934		<0.03			
D2 90935		<0.03			
D2 90936		<0.03			
D2 90937		<0.03			
D2 90938		0.16			
D2 90939		<0.03			
D2 90940		<0.03			
D2 90941		<0.03			
D2 90942		<0.03			
D2 90943		0.11			
D2 90944		<0.03			
D2 90945		<0.03			
D2 90946		<0.03			

Richard Deschamps

CHIMITEC LTEE

700 Rue Nérée Tremblay
Ste-Foy, Québec G1N 4H7
(418) 683-1777
TÉLEX: 051-3786 LOCAL 272

CHIMITEC LTEE

CERTIFICAT
D'ANALYSE

RAPPORT: 637-7495

PROJET: D J

PAGE 1

NUMERO DE L'ECHANTILLON	ÉLÉMENT UNITÉS	Au GTM
----------------------------	-------------------	-----------

D2 90481		<0.03
D2 90482		<0.03
D2 90483		0.07
D2 90484		0.03
D2 90485		0.06

D2 90486		0.08
D2 90487		0.05
D2 90488		<0.03
D2 90489		<0.03
D2 90851		<0.03

Richard Deschambault

RAPPORT: 637-7726

PROJET: D J

PAGE 1

NUMÉRO DE L'ÉCHANTILLON	ÉLÉMENT UNITÉS	Au G/M	NUMÉRO DE L'ÉCHANTILLON	ÉLÉMENT UNITÉS	Au G/M
D2 90418		0.05	D2 90497		<0.03
D2 90419		<0.03	D2 90498		<0.03
D2 90420		<0.03	D2 90499		<0.03
D2 90421		<0.03	D2 90500		<0.03
D2 90422		<0.03	D2 90952		<0.03
D2 90423		<0.03	D2 90953		<0.03
D2 90424		<0.03	D2 90954		0.03
D2 90425		0.13	D2 90955		<0.03
D2 90426		0.07	D2 90956		<0.03
D2 90427		<0.03	D2 90957		<0.03
D2 90428		<0.03	D2 90958		<0.03
D2 90429		<0.03	D2 90959		<0.03
D2 90430		<0.03	D2 90960		<0.03
D2 90431		<0.03	D2 90961		<0.03
D2 90432		<0.03	D2 90962		<0.03
D2 90433		<0.03	D2 90963		<0.03
D2 90434		<0.03			
D2 90435		<0.03			
D2 90436		<0.03			
D2 90437		0.05			
D2 90438		0.03			
D2 90439		0.07			
D2 90440		0.04			
D2 90441		0.03			
D2 90442		0.38			
D2 90443		0.04			
D2 90444		<0.03			
D2 90445		<0.03			
D2 90446		<0.03			
D2 90447		<0.03			
D2 90448		<0.03			
D2 90449		<0.03			
D2 90450		<0.03			
D2 90490		<0.03			
D2 90491		<0.03			
D2 90492		<0.03			
D2 90493		<0.03			
D2 90494		<0.03			
D2 90495		<0.03			
D2 90496		<0.03			

R. S. ...

RAPPORT: 637-7778

PROJET: SED

PAGE 1

NUMÉRO DE L'ÉCHANTILLON	ÉLÉMENT UNITÉS	Au G/M
D2 260701		0.62
D2 260702		11.22
D2 260703		2.71
D2 260704		9.97

Richard Duchanault

RAPPORT: 637-7900

PROJET: D J

PAGE 1

NUMÉRO DE L'ÉCHANTILLON	ÉLÉMENT UNITÉS	Au GTM	NUMÉRO DE L'ÉCHANTILLON	ÉLÉMENT UNITÉS	Au GTM
D2 22648		<0.03	D2 260538		0.04
D2 22649		0.03	D2 260539		0.05
D2 22650		<0.03	D2 260540		0.05
D2 260501		<0.03	D2 260541		0.03
D2 260502		<0.03	D2 260542		0.05
D2 260503		<0.03	D2 260543		0.03
D2 260504		<0.03	D2 260544		<0.03
D2 260505		<0.03	D2 260545		0.04
D2 260506		<0.03	D2 260546		<0.03
D2 260507		<0.03	D2 260547		0.03
D2 260508		<0.03	D2 260548		0.05
D2 260509		0.18	D2 260549		0.04
D2 260510		0.04	D2 260550		0.03
D2 260511		0.03			
D2 260512		<0.03			
D2 260513		<0.03			
D2 260514		<0.03			
D2 260515		<0.03			
D2 260516		0.20			
D2 260517		0.03			
D2 260518		0.16			
D2 260519		<0.03			
D2 260520		<0.03			
D2 260521		<0.03			
D2 260522		0.05			
D2 260523		<0.03			
D2 260524		0.03			
D2 260525		0.04			
D2 260526		<0.03			
D2 260527		0.05			
D2 260528		0.04			
D2 260529		<0.03			
D2 260530		0.03			
D2 260531		<0.03			
D2 260532		<0.03			
D2 260533		<0.03			
D2 260534		<0.03			
D2 260535		0.03			
D2 260536		<0.03			
D2 260537		0.03			

Richard Deschamps

RAPPORT: 637-7901

PROJET: D J

PAGE 1

NUMÉRO DE L'ÉCHANTILLON	ÉLÉMENT UNITÉS	Au GTM	NUMÉRO DE L'ÉCHANTILLON	ÉLÉMENT UNITÉS	Au GTM
D2 260551		0.05	D2 260591		<0.03
D2 260552		0.07	D2 260592		<0.03
D2 260553		0.03	D2 260593		0.12
D2 260554		<0.03	D2 260594		<0.03
D2 260555		0.04	D2 260595		<0.03
D2 260556		0.05	D2 260596		<0.03
D2 260557		<0.03	D2 260597		<0.03
D2 260558		0.19	D2 260598		<0.03
D2 260559		0.05	D2 260599		<0.03
D2 260560		0.11	D2 260600		<0.03
D2 260561		0.16	D2 260601		<0.03
D2 260562		<0.03	D2 260602		<0.03
D2 260563		0.05	D2 260603		<0.03
D2 260564		0.06	D2 260604		<0.03
D2 260565		<0.03	D2 260605		<0.03
D2 260566		<0.03	D2 260606		<0.03
D2 260567		<0.03	D2 260607		<0.03
D2 260568		<0.03	D2 260608		<0.03
D2 260569		0.03	D2 260609		<0.03
D2 260570		0.04	D2 260610		<0.03
D2 260571		<0.03	D2 260611		<0.03
D2 260572		<0.03	D2 260612		<0.03
D2 260573		<0.03	D2 260613		<0.03
D2 260574		<0.03	D2 260614		<0.03
D2 260575		0.04			
D2 260576		<0.03			
D2 260577		<0.03			
D2 260578		<0.03			
D2 260579		<0.03			
D2 260580		<0.03			
D2 260581		<0.03			
D2 260582		<0.03			
D2 260583		<0.03			
D2 260584		0.03			
D2 260585		<0.03			
D2 260586		<0.03			
D2 260587		<0.03			
D2 260588		<0.03			
D2 260589		<0.03			
D2 260590		<0.03			

R. S. ...

RAPPORT: 637-7317

PROJET: SED

PAGE 1

NUMERO DE L'ÉCHANTILLON	ÉLÉMENT UNITÉS	Au GTM
----------------------------	-------------------	-----------

D2 90856		0.65
D2 90858		1.32
D2 90859		0.03
D2 90860		0.29
D2 90861		0.07

D2 90862		1.00
D2 90863		0.04
D2 90864		0.63
D2 90865		0.66
D2 90866		0.28

D2 90867		0.04
D2 90868		0.69
D2 90869		<0.03
D2 90870		0.14

Richard Duchambaut

RAPPORT: 637-7927

PROJET: SED

PAGE 1

NUMÉRO DE L'ÉCHANTILLON	ÉLÉMENT UNITÉS	AU G/M
D2 260667		<0.03
D2 260668		0.08
D2 260669		<0.03
D2 260670		0.04
D2 260671		0.08
D2 260672		0.03
D2 260673		0.07
D2 260674		<0.03
D2 260675		<0.03
D2 260676		<0.03
D2 260677		<0.03
D2 260678		<0.03
D2 260679		<0.03
D2 260680		<0.03
D2 260808		<0.03
D2 260809		0.05
D2 260810		0.04
D2 260811		0.03
D2 260812		<0.03
D2 260813		<0.03
D2 260814		<0.03
D2 260815		0.03
D2 260816		<0.03
D2 260817		<0.03
D2 260818		0.03
D2 260819		<0.03
D2 260820		<0.03
D2 260821		<0.03
D2 260822		<0.03
D2 260823		<0.03
D2 260824		0.05
D2 260825		0.95
D2 260826		<0.03
D2 260827		<0.03
D2 260828		<0.03
D2 260829		<0.03
D2 260830		<0.03

Richard H. S. S. S. S.

RAPPORT: 637-7931

PROJET: SED

PAGE 1

NUMERO DE L'ECHANTILLON	ÉLÉMENT UNITÉS	Au GTM
----------------------------	-------------------	-----------

D2 260705		0.95
D2 260706		5.02
D2 260707		1.35
D2 260708		0.24
D2 260709		0.40

D2 260710		1.58
D2 260711		2.51
D2 260712		2.80
D2 260713		0.07

Richard Deschênes

RAPPORT: 637-7932

PROJET: SED

PAGE 1

NUMÉRO DE L'ÉCHANTILLON	ÉLÉMENT UNITÉS	Au GTM
----------------------------	-------------------	-----------

D2 90857		0.23
----------	--	------

Richard Desrosiers

CHIMITEC LTEE

700 Rue Nérée Tremblay
 Ste-Foy, Québec G1N 4H7
 (418) 683-1777
 TÉLEX: 051-3786 LOCAL 272

CHIMITEC LTEE

CERTIFICAT
 D'ANALYSE

RAPPORT: 637-7942

PROJET: SED

PAGE 1

NUMERO DE L'ÉCHANTILLON	ÉLÉMENT UNITÉS	AU GTM
----------------------------	-------------------	-----------

D2 90995		<0.03
D2 90996		<0.03
D2 90997		<0.03
D2 90998		<0.03
D2 90999		0.04

D2 91000		0.08
D2 174601		<0.03
D2 174602		<0.03
D2 174603		<0.03
D2 174604		<0.03

D2 174605		0.14
D2 174606		<0.03
D2 174607		<0.03
D2 174608		<0.03
D2 174609		0.05

D2 174610		0.05
D2 174611		<0.03
D2 174612		<0.03
D2 174613		<0.03
D2 174614		<0.03

D2 174615		<0.03
D2 174616		<0.03
D2 174617		0.14
D2 174618		<0.03
D2 174619		<0.03

D2 174620		<0.03
D2 174621		<0.03
D2 174622		<0.03
D2 174623		<0.03
D2 174624		<0.03

D2 174625		<0.03
D2 260657		0.59
D2 260658		<0.03
D2 260659		<0.03
D2 260660		0.18

D2 260661		<0.03
D2 260662		<0.03
D2 260663		0.04

Richard Deschamps

RAPPORT: 637-7943

PROJET: SED

PAGE 1

NUMÉRO DE L'ÉCHANTILLON	ÉLÉMENT UNITÉS	AU G/M
----------------------------	-------------------	-----------

D2 260681		<0.03
-----------	--	-------

D2 260686		0.38
-----------	--	------

D2 260751		<0.03
-----------	--	-------

D2 260752		<0.03
-----------	--	-------

D2 260753		<0.03
-----------	--	-------

D2 260754		<0.03
-----------	--	-------

D2 260755		<0.03
-----------	--	-------

D2 260756		0.17
-----------	--	------

D2 260757		<0.03
-----------	--	-------

D2 260838		<0.03
-----------	--	-------

D2 260839		<0.03
-----------	--	-------

D2 260840		<0.03
-----------	--	-------

D2 260846		<0.03
-----------	--	-------

D2 260847		<0.03
-----------	--	-------

Richard Duchambault

RAPPORT: 637-7944

PROJET: SED

PAGE 1

NUMÉRO DE L'ÉCHANTILLON	ÉLÉMENT UNITÉS	Au GTM	NUMÉRO DE L'ÉCHANTILLON	ÉLÉMENT UNITÉS	Au GTM
D2 90974		0.03	D2 260697		<0.03
D2 90975		<0.03	D2 260698		1.11
D2 90976		<0.03	D2 260699		0.21
D2 90977		<0.03	D2 260700		0.03
D2 90978		<0.03	D2 260801		<0.03
D2 90979		<0.03	D2 260802		0.04
D2 90980		<0.03	D2 260803		0.05
D2 90981		<0.03	D2 260804		0.05
D2 90982		<0.03	D2 260805		<0.03
D2 90983		0.03	D2 260806		<0.03
D2 90984		<0.03	D2 260807		0.05
D2 90985		<0.03			
D2 90986		<0.03			
D2 90987		<0.03			
D2 90988		<0.03			
D2 90989		<0.03			
D2 90990		<0.03			
D2 90991		<0.03			
D2 90992		<0.03			
D2 90993		<0.03			
D2 90994		<0.03			
D2 260651		<0.03			
D2 260652		<0.03			
D2 260653		<0.03			
D2 260654		<0.03			
D2 260655		0.40			
D2 260656		1.20			
D2 260664		0.21			
D2 260665		0.09			
D2 260666		<0.03			
D2 260687		<0.03			
D2 260688		0.03			
D2 260689		<0.03			
D2 260690		<0.03			
D2 260691		<0.03			
D2 260692		<0.03			
D2 260693		0.50			
D2 260694		<0.03			
D2 260695		<0.03			
D2 260696		0.04			

Richard Bachmann

RAPPORT: 637-7948

PROJET: SED

PAGE 1

NUMÉRO DE L'ÉCHANTILLON	ÉLÉMENT UNITÉS	Au GTM
----------------------------	-------------------	-----------

D2 90871		2.36
D2 90872		<0.03
D2 90873		<0.03
D2 90874		0.62
D2 90875		0.27

D2 90876		0.10
D2 90877		0.27

Richard L. Hamblett

CHIMITEC LTEE

700 Rue Nérée Tremblay
 Ste-Foy, Québec G1N 4H7
 (418) 683-1777
 TÉLEX: 051-3786 LOCAL 272

CHIMITEC LTEE

CERTIFICAT
 D'ANALYSE

RAPPORT: 637-8033

PROJET: SED

PAGE 1

NUMERO DE L'ECHANTILLON	ELEMENT UNITES	AU GTM	NUMERO DE L'ECHANTILLON	ELEMENT UNITES	AU GTM
D2 90854		0.05	D2 260795		<0.03
D2 90855		0.08	D2 260796		<0.03
D2 260714		0.08	D2 260797		0.03
D2 260758		0.10	D2 260798		<0.03
D2 260759		0.04	D2 260799		<0.03
D2 260760		0.04	D2 260800		<0.03
D2 260761		0.03	D2 260851		<0.03
D2 260762		0.06	D2 260852		<0.03
D2 260763		<0.03	D2 260853		<0.03
D2 260764		<0.03	D2 260854		<0.03
D2 260765		0.04	D2 260855		<0.03
D2 260766		0.03	D2 260856		<0.03
D2 260767		0.25	D2 260857		<0.03
D2 260768		0.07	D2 260858		<0.03
D2 260769		<0.03	D2 260859		<0.03
D2 260770		<0.03	D2 260860		<0.03
D2 260771		0.10	D2 260861		<0.03
D2 260772		0.27	D2 260862		<0.03
D2 260773		0.08	D2 260863		<0.03
D2 260774		0.08	D2 260864		<0.03
D2 260775		<0.03	D2 260865		0.10
D2 260776		<0.03	D2 260866		<0.03
D2 260777		<0.03	D2 260867		<0.03
D2 260778		0.22			
D2 260779		0.05			
D2 260780		0.03			
D2 260781		<0.03			
D2 260782		<0.03			
D2 260783		<0.03			
D2 260784		0.03			
D2 260785		<0.03			
D2 260786		0.18			
D2 260787		<0.03			
D2 260788		<0.03			
D2 260789		<0.03			
D2 260790		0.08			
D2 260791		0.05			
D2 260792		<0.03			
D2 260793		<0.03			
D2 260794		<0.03			

Richard N. ...

RAPPORT: 637-8034

PROJET: SED

PAGE 1

NUMERO DE L'ECHANTILLON	ELEMENT UNITES	AU GTM
----------------------------	-------------------	-----------

D2 5051		0.03
D2 5052		0.04
D2 5053		<0.03
D2 5054		0.03
D2 5055		<0.03

D2 5056		0.05
D2 5057		0.26
D2 5058		<0.03
D2 5059		<0.03
D2 5060		0.03

D2 5061		0.05
D2 5062		<0.03
D2 5063		0.04
D2 5064		<0.03
D2 5065		<0.03

D2 5066		0.20
D2 5067		<0.03
D2 5068		0.15
D2 5069		0.04

Richard Schaubert

CHIMITEC LTEE

700 Rue Nérée Tremblay
 Ste-Foy, Québec G1N 4H7
 (418) 683-1777
 TÉLEX: 051-3786 LOCAL 272

CHIMITEC LTEE

CERTIFICAT
 D'ANALYSE

RAPPORT: 637-8065

PROJET: SED

FA

NUMÉRO DE L'ÉCHANTILLON	ÉLÉMENT UNITÉS	Au GTM	NUMÉRO DE L'ÉCHANTILLON	ÉLÉMENT UNITÉS	Au GTM
D2 260868		<0.03	D2 260908		<0.03
D2 260869		<0.03	D2 260909		<0.03
D2 260870		<0.03	D2 260910		<0.03
D2 260871		<0.03	D2 260911		<0.03
D2 260872		<0.03	D2 260912		<0.03
D2 260873		<0.03	D2 260913		<0.03
D2 260874		<0.03	D2 260914		<0.03
D2 260875		<0.03	D2 260915		<0.03
D2 260876		<0.03	D2 260916		<0.03
D2 260877		<0.03	D2 260917		<0.03
D2 260878		<0.03			
D2 260879		<0.03			
D2 260880		<0.03			
D2 260881		<0.03			
D2 260882		<0.03			
D2 260883		<0.03			
D2 260884		<0.03			
D2 260885		<0.03			
D2 260886		0.08			
D2 260887		<0.03			
D2 260888		<0.03			
D2 260889		<0.03			
D2 260890		<0.03			
D2 260891		<0.03			
D2 260892		<0.03			
D2 260893		<0.03			
D2 260894		<0.03			
D2 260895		<0.03			
D2 260896		<0.03			
D2 260897		<0.03			
D2 260898		<0.03			
D2 260899		<0.03			
D2 260900		<0.03			
D2 260901		0.08			
D2 260902		<0.03			
D2 260903		<0.03			
D2 260904		<0.03			
D2 260905		<0.03			
D2 260906		<0.03			
D2 260907		<0.03			

Revised Report 1/7

RAPPORT: 737-7100

PROJET: D J

PAGE 1

NUMERO DE L'ÉCHANTILLON	ÉLÉMENT UNITÉS	AU GM
----------------------------	-------------------	----------

D2 22627		0.60
D2 22628		1.87
D2 22630		1.57
D2 22631		11.10
D2 22632		1.89

D2 22633		0.63
D2 22634		0.12
D2 22638		0.09
D2 22639		0.17
D2 22640		0.18

D2 22641		0.12
D2 22642		<0.03
D2 22644		<0.03

Richard Deslauriers

RAPPORT: 037-7100

PROJET: D J

PAGE 1

NUMÉRO DE L'ÉCHANTILLON	ÉLÉMENT UNITÉS	AU PPB
----------------------------	-------------------	-----------

D2 22627		550
D2 22628		2000
D2 22629		20
D2 22630		1650
D2 22631		12100

D2 22632		1330
D2 22633		620
D2 22634		160
D2 22635		25
D2 22636		15

D2 22637		15
D2 22638		105
D2 22639		300
D2 22640		260
D2 22641		220

D2 22642		110
D2 22643		<5
D2 22644		340
D2 22645		40
D3 22646		<5

D2 22647		95
----------	--	----

RAPPORT: 737-7219

PROJET: D J

PAGE 1

NUMÉRO DE L'ÉCHANTILLON	ÉLÉMENT UNITÉS	Au GTM
D2 90903		0.64
D2 90909		0.20
D2 90910		0.11
D2 90911		0.42
D2 90912		0.13

D2 90916		0.23
----------	--	------

Richard Deschambault

RAPPORT: 737-7221

PROJET: D J

PAGE 1

NUMÉRO DE L'ÉCHANTILLON	ÉLÉMENT UNITÉS	Au GM
----------------------------	-------------------	----------

D2 90401		0.18
D2 90402		0.75
D2 90403		1.03
D2 90405		0.20
D2 90406		0.13

D2 90415		<0.03
D2 90417		0.20

Richard Levesque

RAPPORT: 737-7330

PROJET: D J

PAGE 1

NUMÉRO DE L'ÉCHANTILLON	ÉLÉMENT UNITÉS	Au GTM
D2 90969		3.80
D2 90970		0.34
D2 90971		2.67
D2 90972		12.34
D2 90973		2.19

Richard Deschambault

RAPPORT: 737-7778

PROJET: SED

PAGE 1

NUMÉRO DE L'ÉCHANTILLON	ÉLÉMENT UNITÉS	Au GTM
----------------------------	-------------------	-----------

D2 260708		3.91
-----------	--	------

Richard Deschambault

TABLE DES MATIERES

VOLUME IV

SECTIONS DE SONDAGE

CARTE 6 À 24

SECTIONS 86-03 À 86-08
SECTIONS 87-10 À 87-25
SECTIONS 88-26 À 88-37



Kiwatin